

Algorithmen II

Peter Sanders, Johannes Fischer (Strings)

Übungen:

Dennis Luxen und Johannes Singler

Skript:

**Robert Geisberger, Moritz Kobitzsch, Vitaly
Osipov, Christian Schulz, N.N.**

Institut für theoretische Informatik, Algorithmik II

Web:

<http://algo2.iti.kit.edu/AlgorithmenII.php>

Organisatorisches

Vorlesungen:

Di 15:45–17:15 HS Neue Chemie

Do 15:45–16:30 Gerthsen-HS

Saalübung:

Do 16:30–17:15 Gerthsen-HS

Übungsblätter: 14-täglich, jeweils Dienstag, Musterlösung 9 Tage
später vor Vorlesung/Übung. 1. Blatt: 26.10.2010

Organisatorisches

Sprechstunde:

- Peter Sanders, Dienstag 13:45–14:45 Uhr, Raum 217

Letzte Vorlesung: 10. Februar 2011

Klausur: 3. März 2011, 11:00 Uhr

Materialien

- Folien
- Übungsblätter
- Buch:
K. Mehlhorn, P. Sanders
Algorithms and Data Structures — The Basic Toolbox
Springer 2008. Ca. 40 % der Vorlesung.
- Skript: Minimalistischer Aufschrieb der Sachen, die nicht im Buch stehen, mit Verweisen auf Originalliteratur
Sprache: **Deutsch**.
Aber Literatur und ein Teil der Folien auf **Englisch**

Zum Weiterlesen

- [Mehlhorn, Näher] Algorithm Engineering, Flows, Geometrie
The LEDA Platform of Combinatorial and Geometric Computing.
- [Ahuja, Magnanti, Orlin] Network Flows
- [de Berg, Cheong, van Kreveld, Overmars] Geometrie
Computational Geometry: Algorithms and Applications
- ... wird noch ergänzt ?

Inhaltsübersicht I

- Algorithm Engineering
- Fortgeschrittene Datenstrukturen
 - (Hashing II \rightsquigarrow unter randomisierte Algorithmen)
 - Effiziente addressierbare Prioritätslisten
 - (Monotone Prioritätslisten) \rightsquigarrow unter kürzeste Wege
 - (Externe Prioritätslisten) \rightsquigarrow unter externe Algorithmen
 - (“succinct” data structures) \rightsquigarrow unter Geometrie.
- Fortgeschrittene Graphenalgorithmen
 - Starke Zusammenhangskomponenten
 - Kürzeste Wege II: negative Kreise, Potentialmethode
 - Maximale Flüsse und Matchings

Inhaltsübersicht II

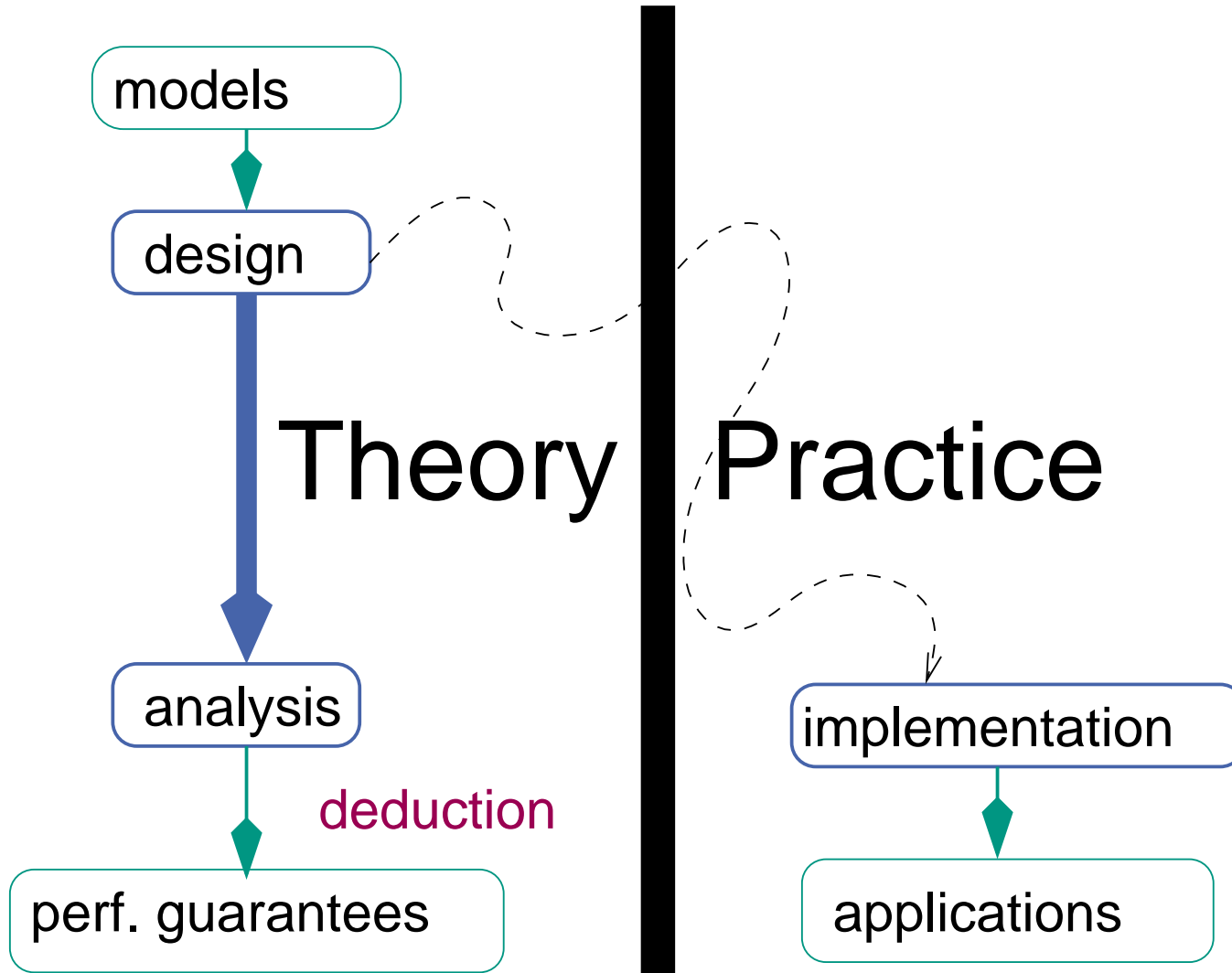
- “Bindestrichalgorithmen”
 - Randomisierte Algorithmen
 - Externe Algorithmen
 - Parallel Algorithmen
 - Stringalgorithmen: sorting, indexing,...
 - Geometrische Algorithmen
 - Approximationsalgorithmen
 - Fixed-Parameter-Algorithmen
 - Onlinealgorithmen

1 Algorithm Engineering

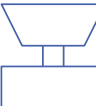
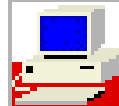
A detailed definition

- in general
 - [with Kurt Mehlhorn, Rolf Möhring, Petra Mutzel, Dorothea Wagner]
- A few examples, usually sorting
- A little bit on experimental methodology

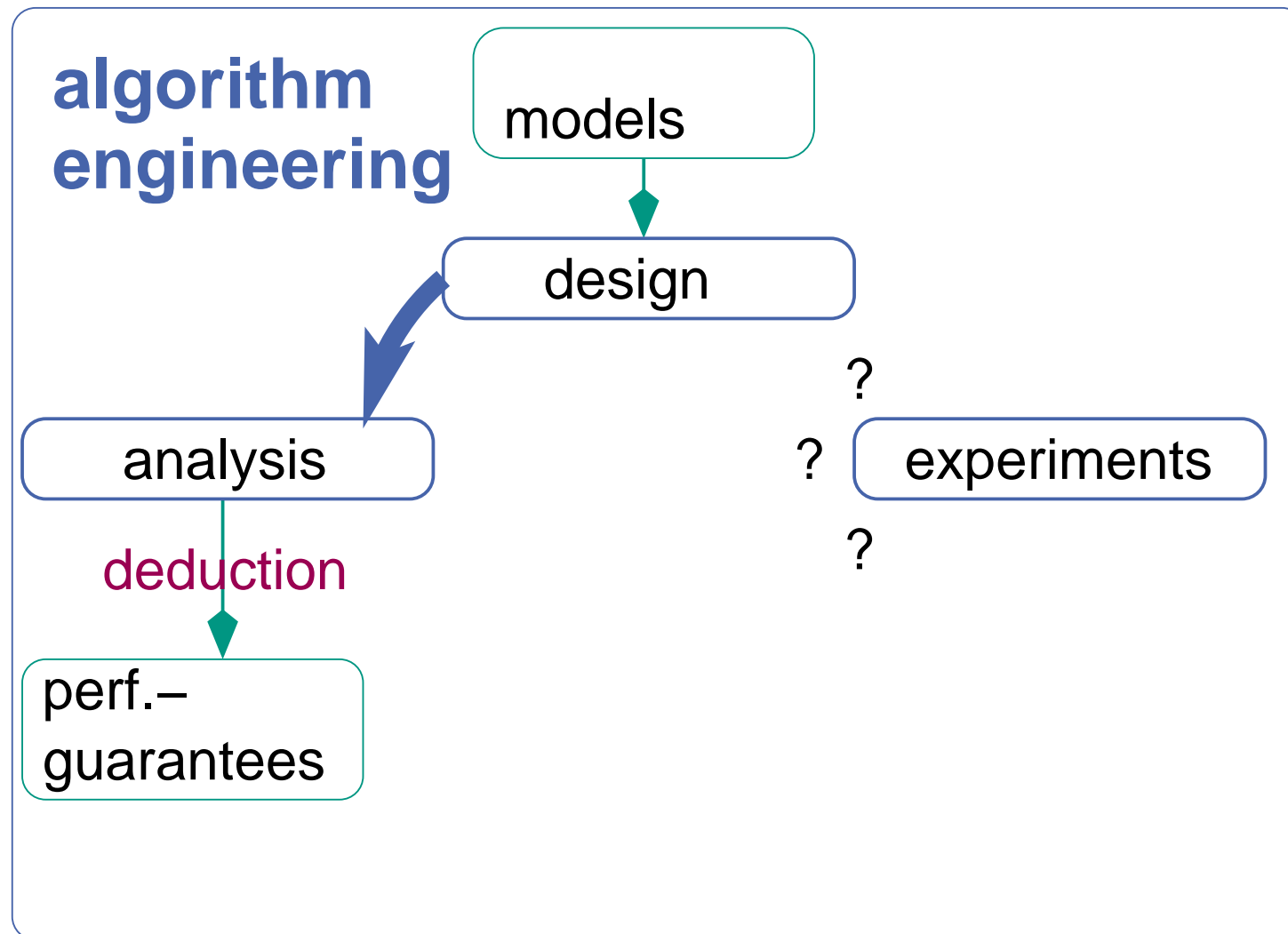
(Caricatured) Traditional View: Algorithm Theory



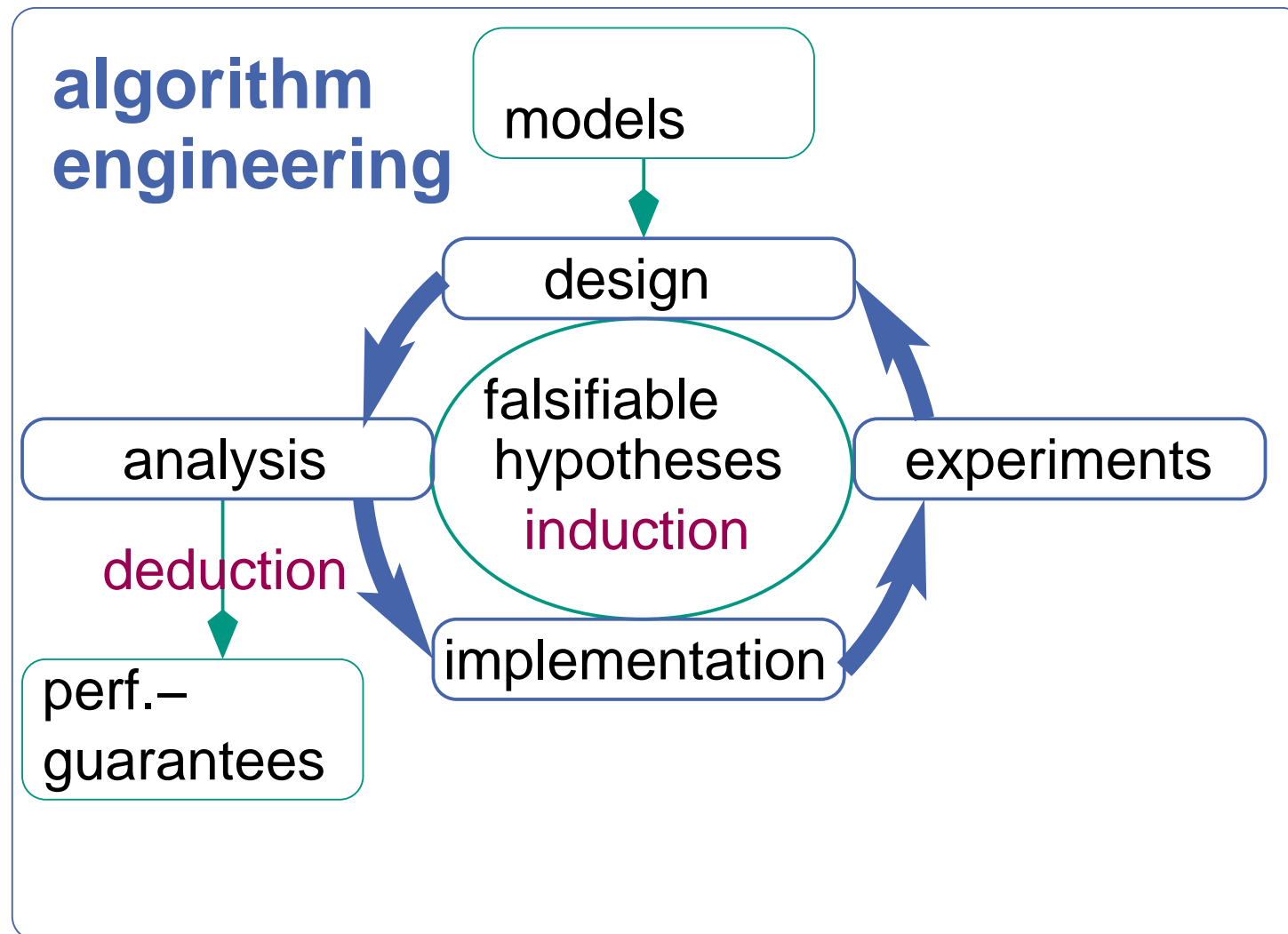
Gaps Between Theory & Practice

Theory	\longleftrightarrow	Practice
simple 	appl. model	 complex
simple 	machine model	 real
complex 	algorithms	 simple
advanced 	data structures	 arrays,...
worst case 	complexity measure	 inputs
asympt. 	efficiency	 42% constant factors

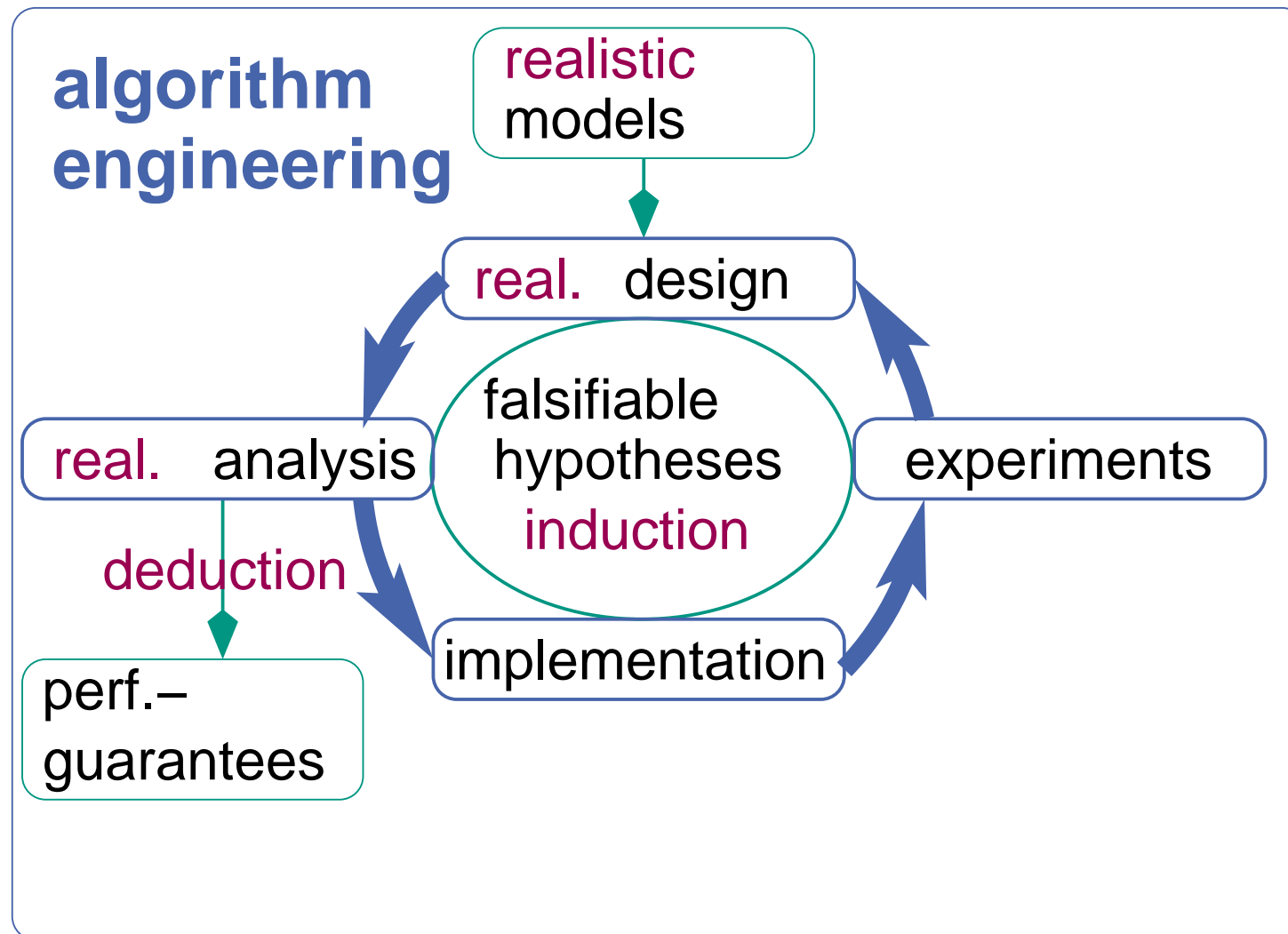
Algorithmics as Algorithm Engineering



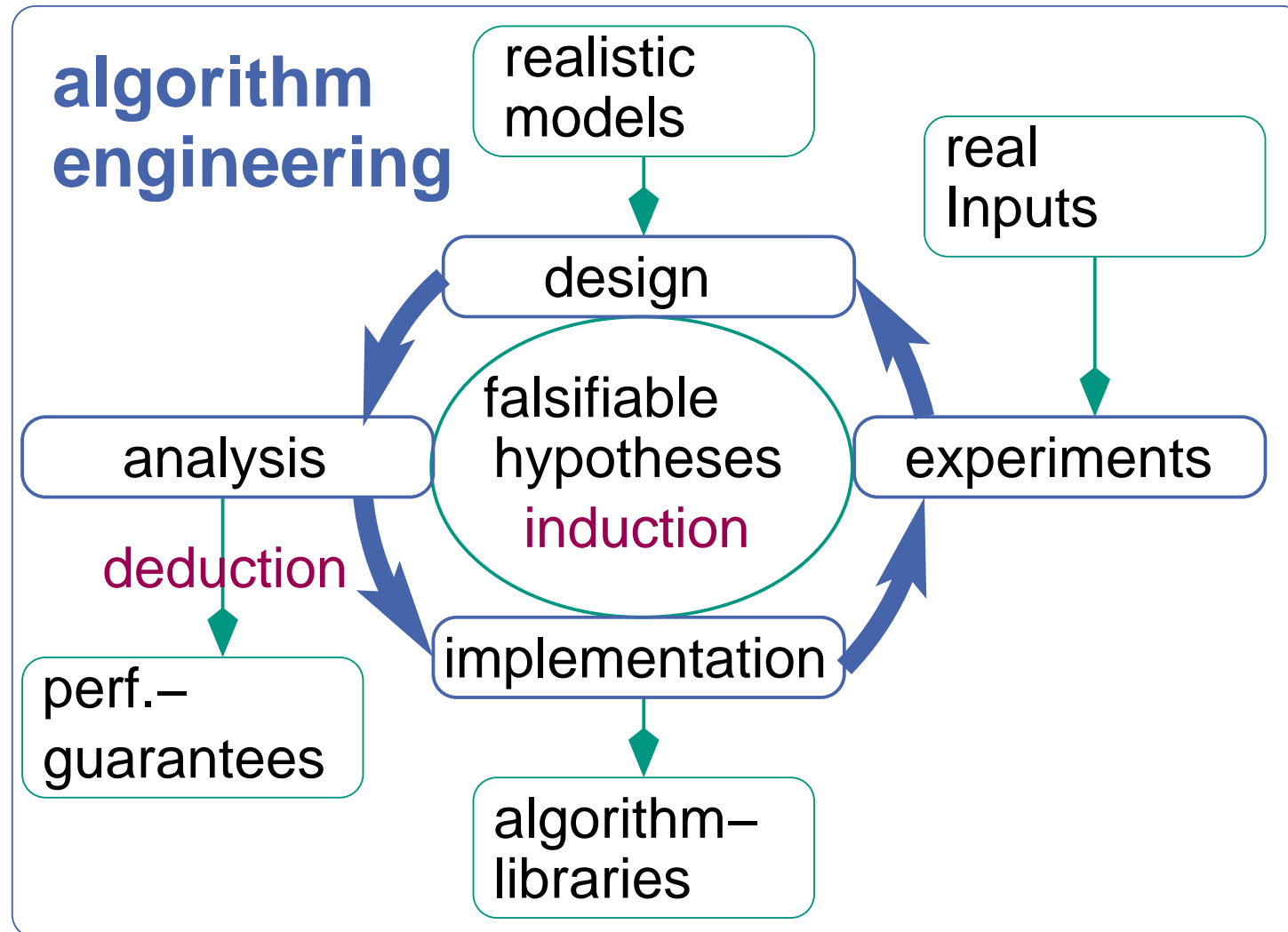
Algorithmics as Algorithm Engineering



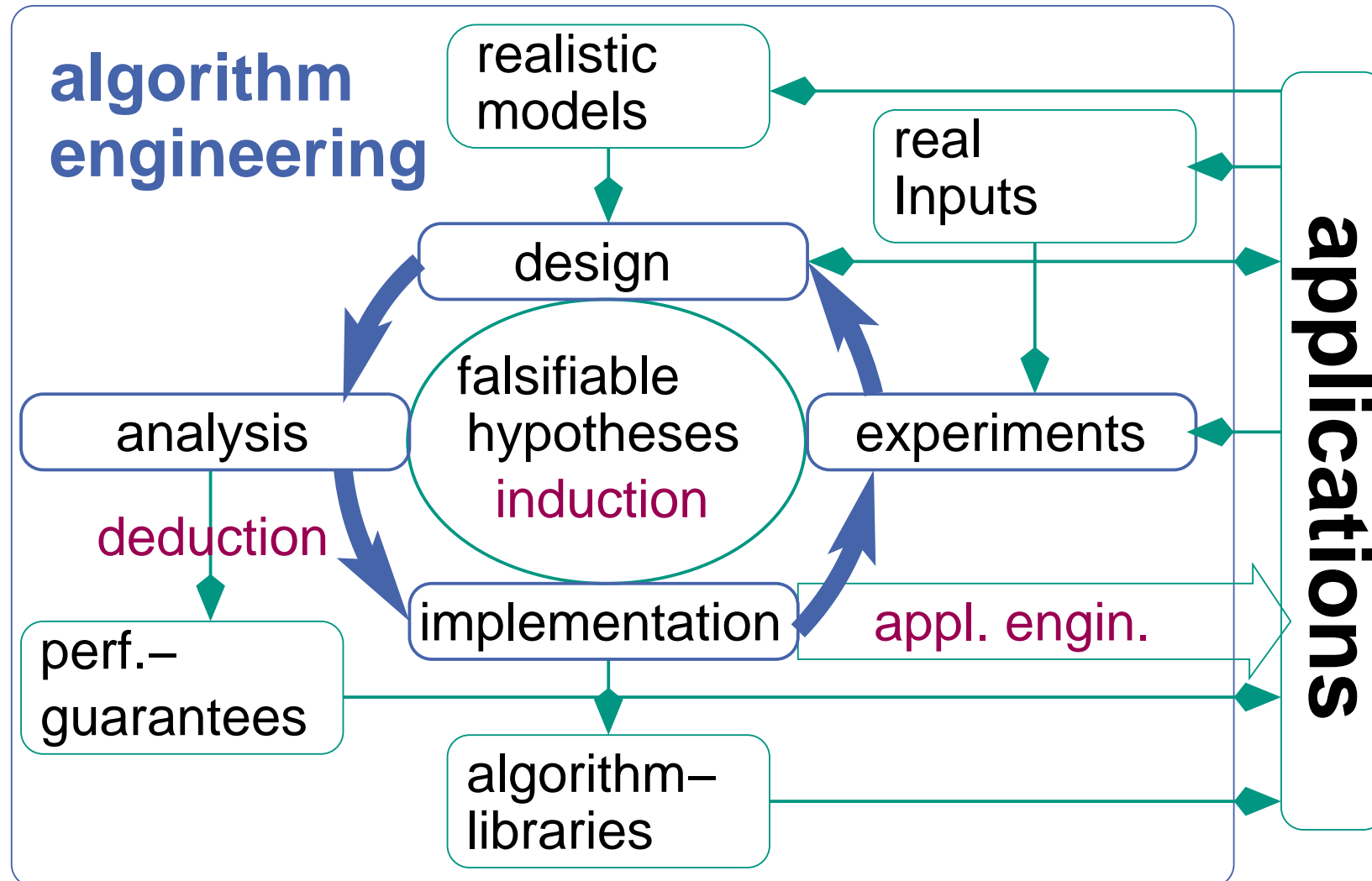
Algorithmics as Algorithm Engineering



Algorithmics as Algorithm Engineering



Algorithmics as Algorithm Engineering



Bits of History

1843– Algorithms in theory and practice

1950s, 1960s Still infancy

1970s, 1980s Paper and pencil algorithm theory.

Exceptions exist, e.g., [D. Johnson], [J. Bentley]

1986 Term used by [T. Beth],

lecture “Algorithmotechnik” in Karlsruhe.

1988– Library of Efficient Data Types and Algorithms

(LEDA) [K. Mehlhorn]

1997– Workshop on Algorithm Engineering

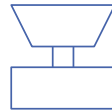
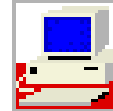
~~> ESA applied track [G. Italiano]

1997 Term used in US policy paper [Aho, Johnson, Karp, et. al.]

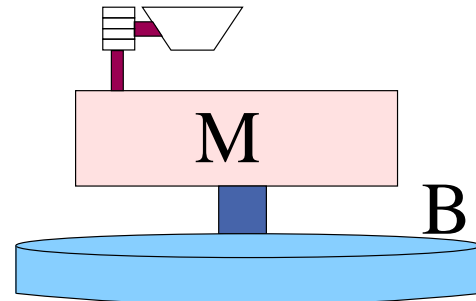
1998 Alex workshop in Italy ~~> ALENEX



Realistic Models

Theory	↔	Practice
simple 	appl. model	 complex
simple 	machine model	 real

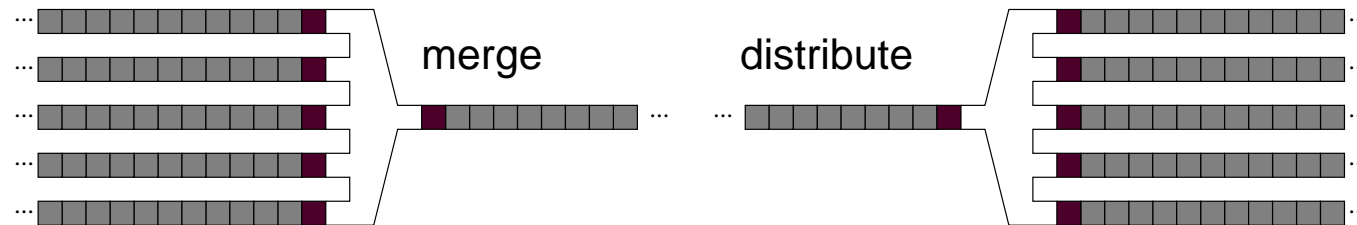
- Careful refinements
- Try to preserve (partial) analyzability / simple results



Design

of algorithms that work well in **practice**

- simplicity**
- reuse**
- constant factors**
- exploit easy instances**



Analysis

- Constant factors matter
Beispiel: quicksort
- Beyond worst case analysis
- Practical algorithms might be difficult to analyze
(randomization, meta heuristics, . . .)

Implementation

sanity check for algorithms !

Challenges

Semantic gaps:

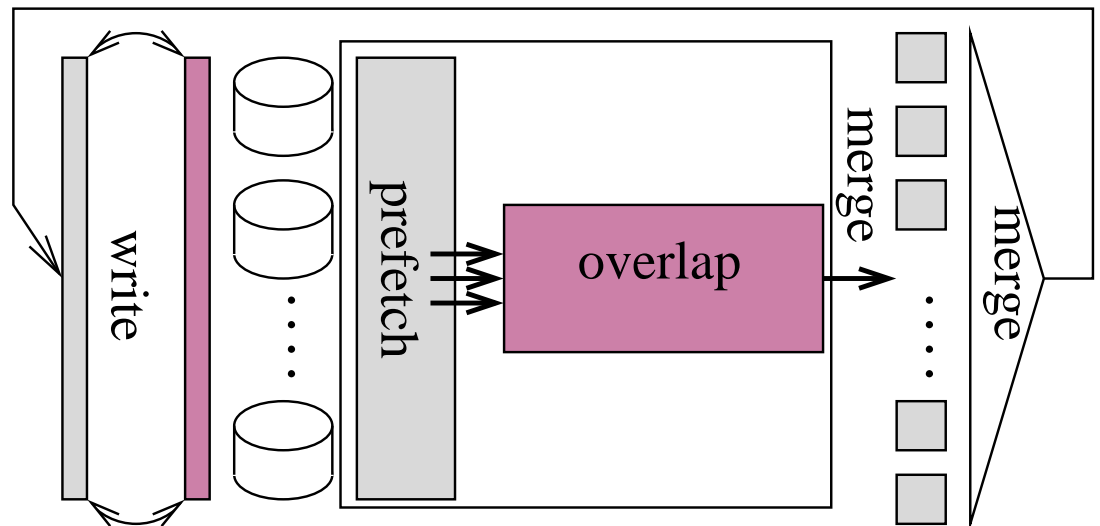
Abstract algorithm



C++...



hardware



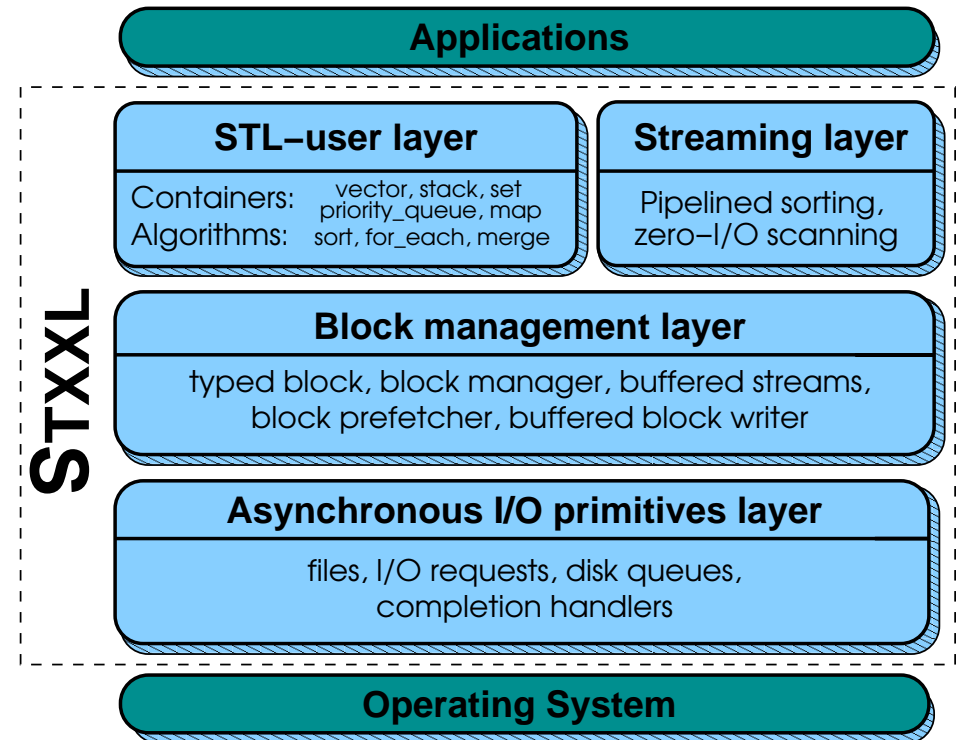
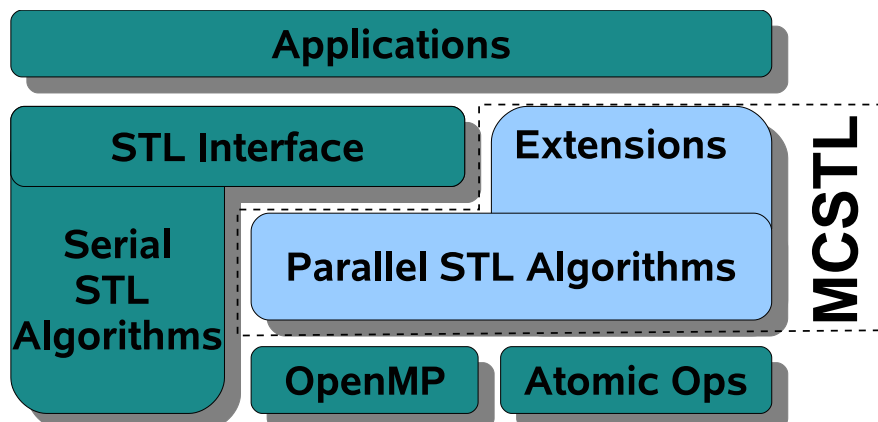
Experiments

- sometimes a good **surrogate for analysis**
- too much** rather than too little output data
- reproducibility** (10 years!)
- software engineering

Stay tuned.

Algorithm Libraries — Challenges

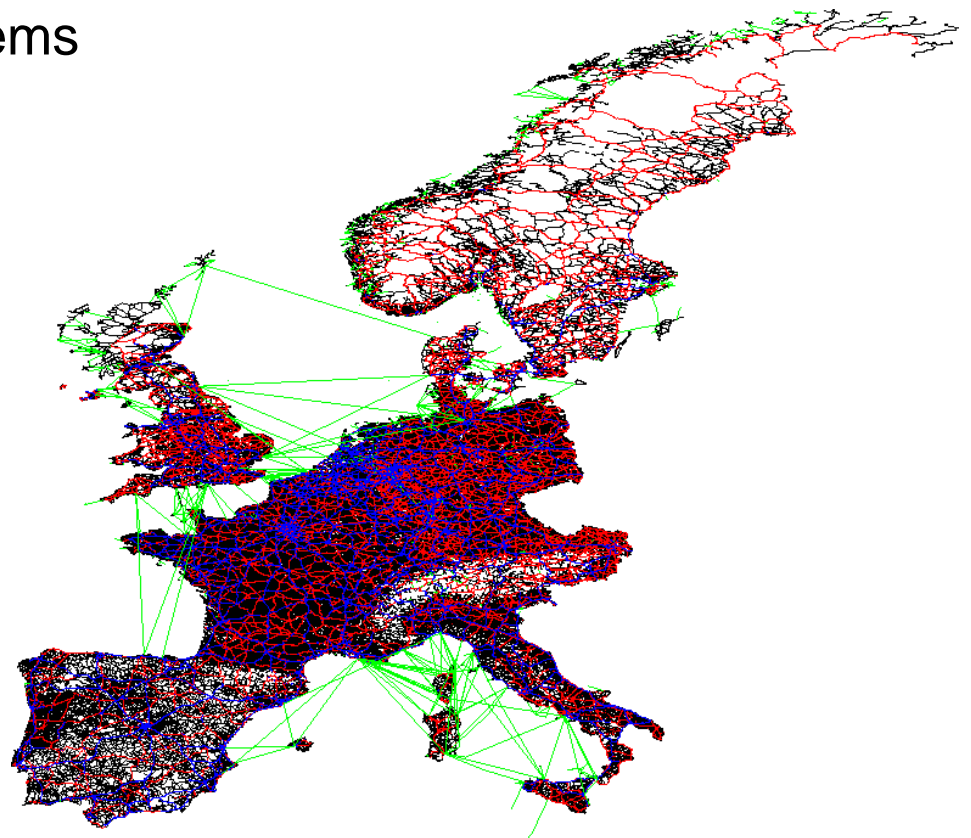
- software engineering , e.g. CGAL
- standardization, e.g. java.util, C++ STL and BOOST
- performance ↔ generality ↔ simplicity
- applications are a priori unknown
- result checking, verification



Problem Instances

Benchmark instances for **NP-hard** problems

- TSP
- Steiner-Tree
- SAT
- set covering
- graph partitioning
- ...



have proved essential for development of practical algorithms

Strange: much less real world instances for **polynomial** problems
(MST, shortest path, max flow, matching...)

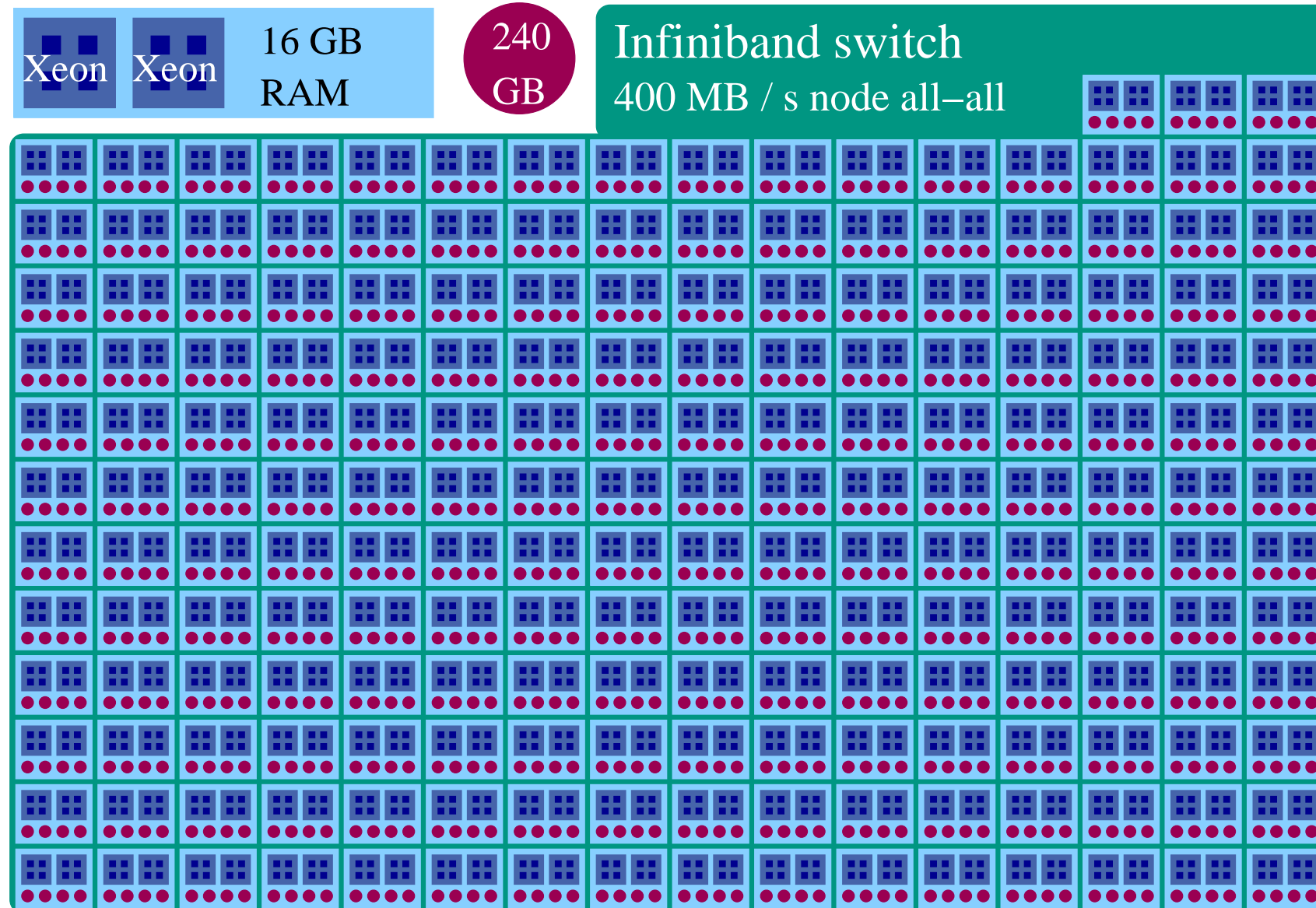
Example: Sorting Benchmark (Indy)

100 byte records, 10 byte random keys, with file I/O

Category	data volume	performance	improvement
GraySort	100 TB	564 GB / min	17×
MinuteSort	955 GB	955 GB / min	> 10×
JouleSort	1 000 GB	13 400 Recs/Joule	4×
JouleSort	100 GB	35 500 Recs/Joule	3×
JouleSort	10 GB	34 300 Recs/Joule	3×

Also: PennySort

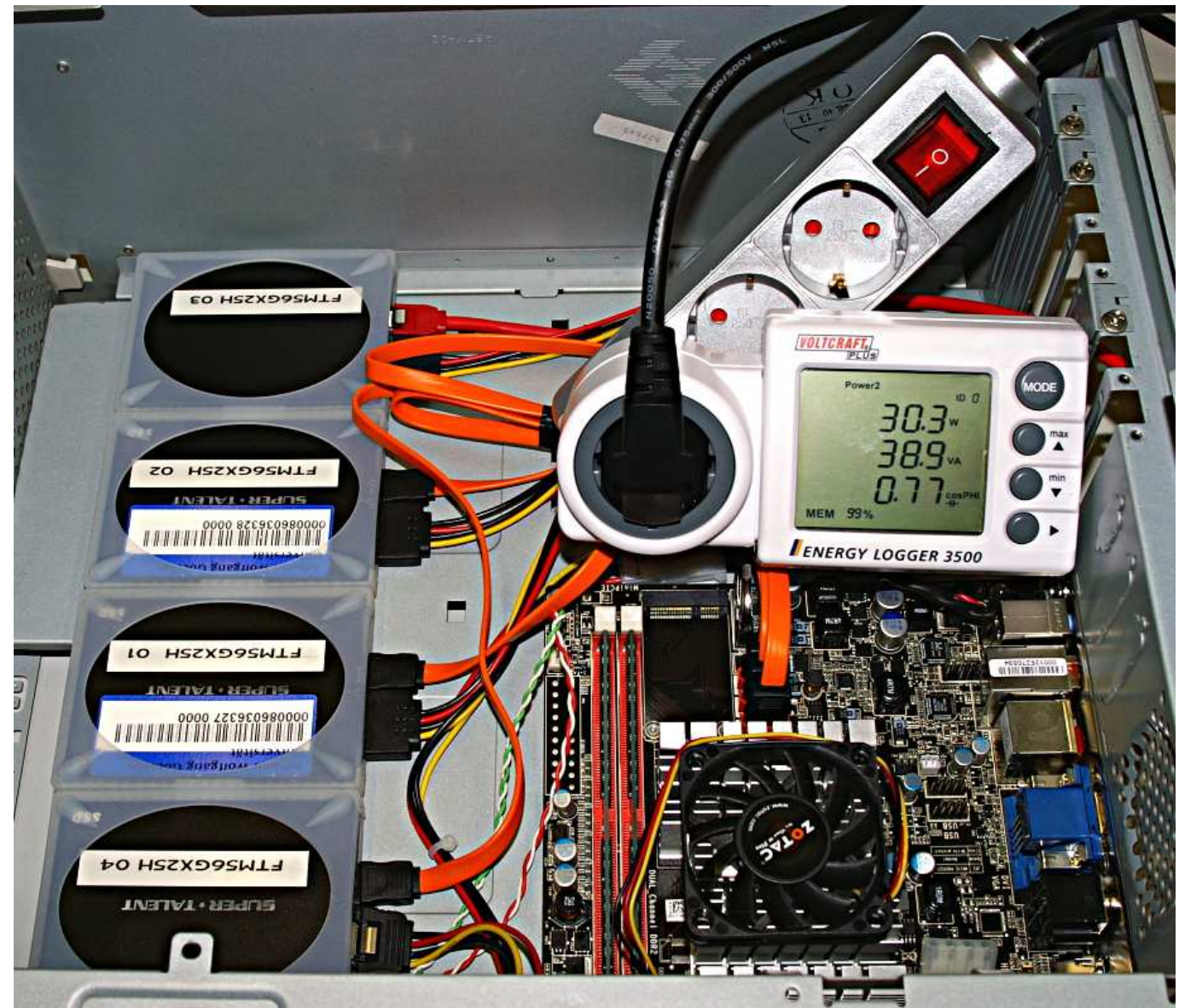
GraySort: inplace multiway mergesort, exact splitting



JouleSort

- Intel Atom N330
- 4 GB RAM
- 4×256 GB SSD (SuperTalent)

Algorithm similar to
GraySort



Applications that “Change the World”

Algorithmics has the potential to SHAPE applications
(not just the other way round)

[G. Myers]

Bioinformatics: sequencing, proteomics, phylogenetic trees,...



Information Retrieval: Searching, ranking,...

Traffic Planning: navigation, flow optimization,
adaptive toll, disruption management

Geographic Information Systems: agriculture, environmental protection,
disaster management, tourism,...

Communication Networks: mobile, P2P, grid, selfish users,...

Conclusion:

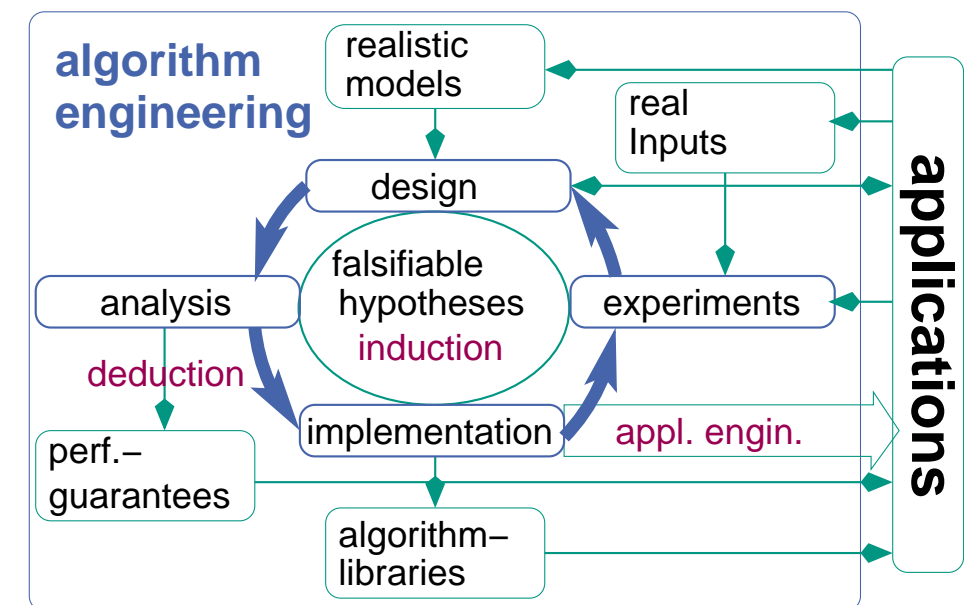
Algorithm Engineering \leftrightarrow Algorithm Theory

- algorithm engineering is a wider view on algorithmics
 - (but no revolution. None of the ingredients is really new)
- rich methodology
- better coupling to applications
- experimental algorithmics \ll algorithm engineering
- algorithm theory \subset algorithm engineering
- sometimes different theoretical questions
- algorithm theory may still yield the strongest, deepest and most persistent results within algorithm engineering

More On Experimental Methodology

Scientific Method:

- Experiment need a possible outcome that **falsifies** a hypothesis
- Reproducible
 - keep data/code for at least 10 years
 - + documentation (aka laboratory journal (Laborbuch))
 - clear and detailed description in papers / TRs
 - share instances and code



Quality Criteris

- Beat the state of the art, globally – (**not your own toy codes or the toy codes used in your community!**)
- **Clearly** demonstrate this !
 - both codes use same data ideally from accepted benchmarks (not just your favorite data!)
 - comparable machines or fair (conservative) scaling
 - Avoid uncomparabilities like:
“Yeah we have worse quality but are twice as fast”
 - real world data wherever possible
 - as much different inputs as possible
 - **its fine if you are better just on some (important) inputs**

Not Here but Important

- describing the setup
- finding sources of measurement errors
- reducing measurement errors (averaging, median, unloaded machine...)
- measurements in the **creative** phase of experimental algorithmics.

The Starting Point

- (Several) Algorithm(s)
- A few quantities to be measured: time, space, solution quality, comparisons, cache faults,... There may also be **measurement errors**.
- An unlimited number of potential inputs. \rightsquigarrow condense to a few characteristic ones (size, $|V|$, $|E|$, ... or problem instances from applications)

Usually there is not a lack but an **abundance** of data \neq many other sciences

The Process

Waterfall model?

1. Design
2. Measurement
3. Interpretation

Perhaps the paper should at least look like that.

The Process

- Eventually stop asking questions (Advisors/Referees listen !)
- build measurement tools
- automate (re)measurements
- Choice of Experiments driven by risk and opportunity
- Distinguish mode

explorative: many different parameter settings, interactive, short turnaround times

consolidating: many large instances, standardized measurement conditions, batch mode, many machines

Of Risks and Opportunities

Example: Hypothesis = my algorithm is the best

big risk: untried main competitor

small risk: tuning of a subroutine that takes 20 % of the time.

big opportunity: use algorithm for a new application

~~> new input instances

2 Fortgeschrittene Datenstrukturen

2.1 Adressierbare Prioritätslisten

Procedure build($\{e_1, \dots, e_n\}$) $M := \{e_1, \dots, e_n\}$

Function size **return** $|M|$

Procedure insert(e) $M := M \cup \{e\}$

Function min **return** min M

Function deleteMin $e := \min M; M := M \setminus \{e\};$ **return** e

Function remove(h : Handle) $e := h; M := M \setminus \{e\};$ **return** e

Procedure decreaseKey(h : Handle, k : Key) **assert** key(h) $\geq k;$ key(h) := k

Procedure merge(M') $M := M \cup M'$

Adressierbare Prioritätslisten: Anwendungen

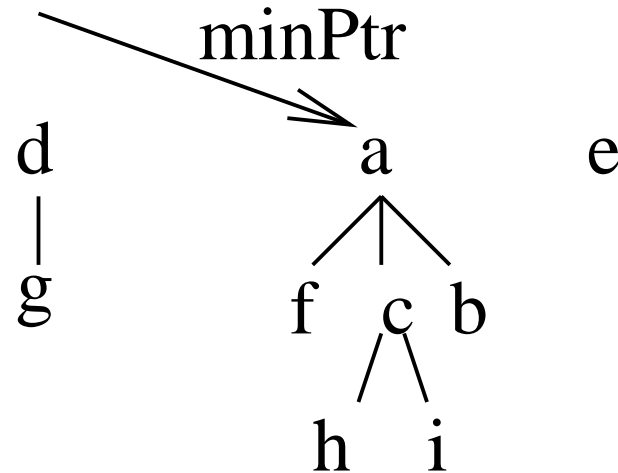
- Dijkstras Algorithmus für kürzeste Wege
- Jarník-Prim-Algorithmus für minimale Spannbäume
- Bei uns: Hierarchiekonstruktion für Routenplanung
- Bei uns: Graphpartitionierung
- Bei uns: disk scheduling

Allgemein:

Greedy-Algorithmen, bei denen sich Prioritäten (begrenzt) ändern.

Grundlegende Datenstruktur

Ein **Wald heap-geordneter Bäume**

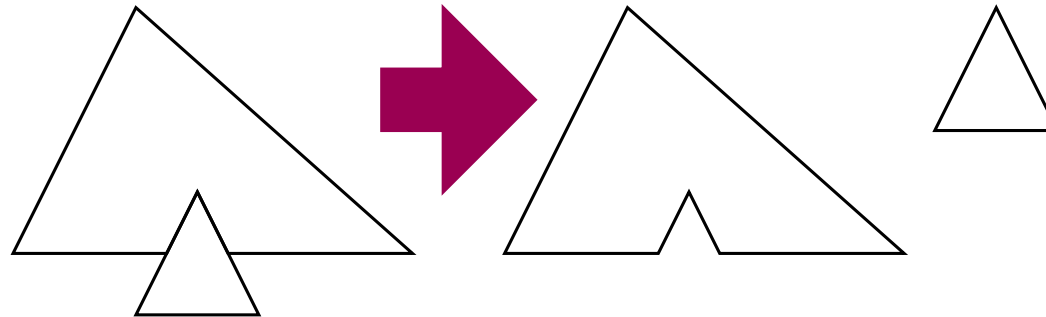


Verallgemeinerung gegenüber binary heap:

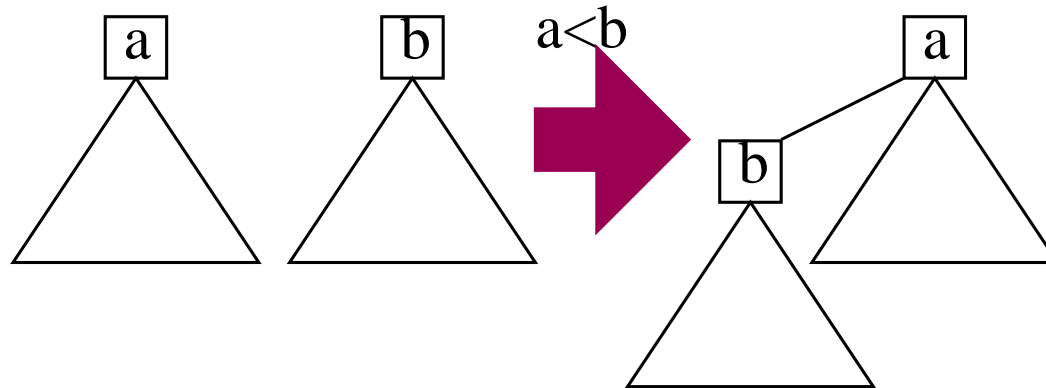
- Baum → Wald
- binär → beliebige Knotengrade

Wälder Bearbeiten

Cut:



Link:



$\text{union}(a, b) : \text{link}(\min(a, b), \max(a, b))$

Pairing Heaps (Paarungs-Haufen??)

[Fredman Sedgewick Sleator Tarjan 1986]

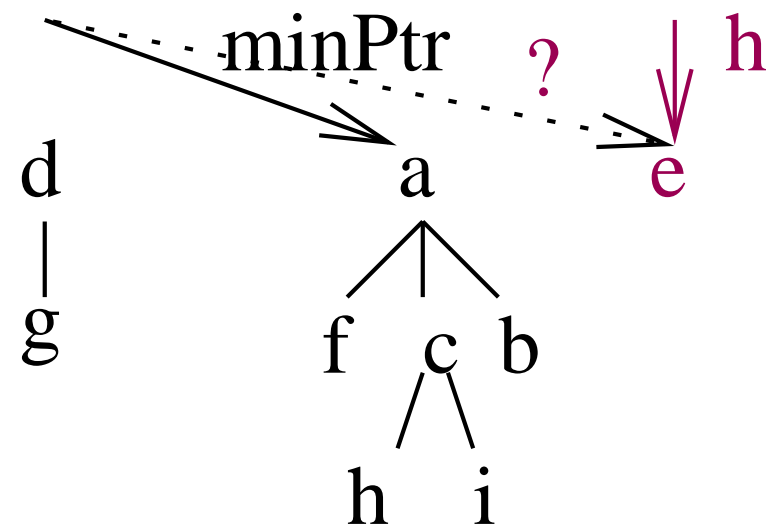
Procedure insertItem(h : Handle)

newTree(h)

Procedure newTree(h : Handle)

forest := forest $\cup \{h\}$

if $*h < \text{min}$ **then** minPtr := h

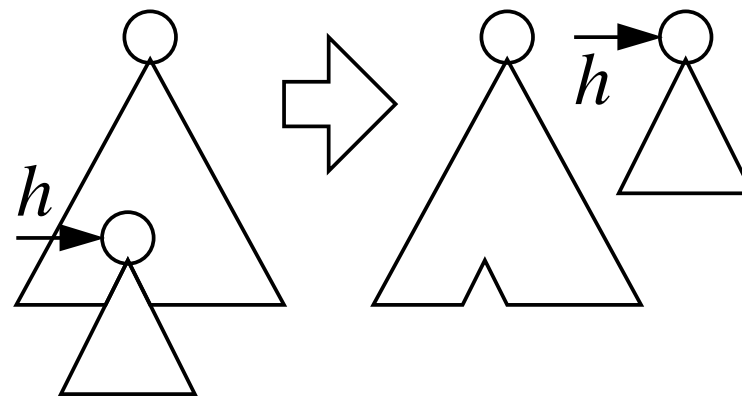


Pairing Heaps

Procedure decreaseKey(h : Handle, k : Key)

key(h) := k

if h is not a root **then** cut(h)



Pairing Heaps

Function deleteMin : Handle

m:= minPtr

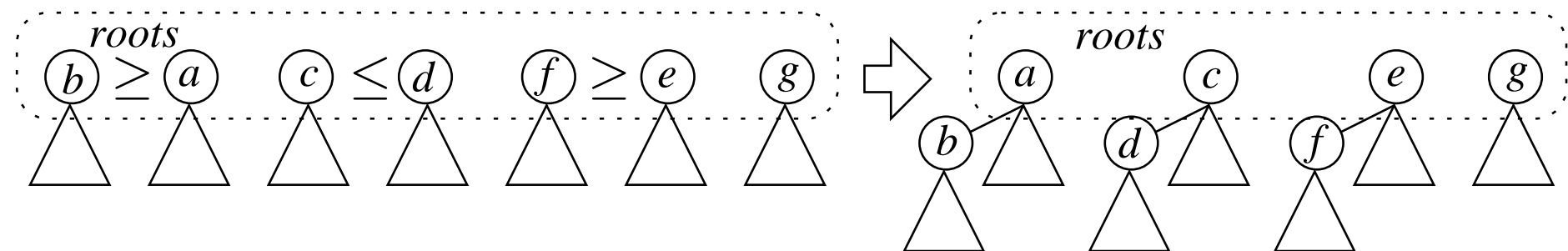
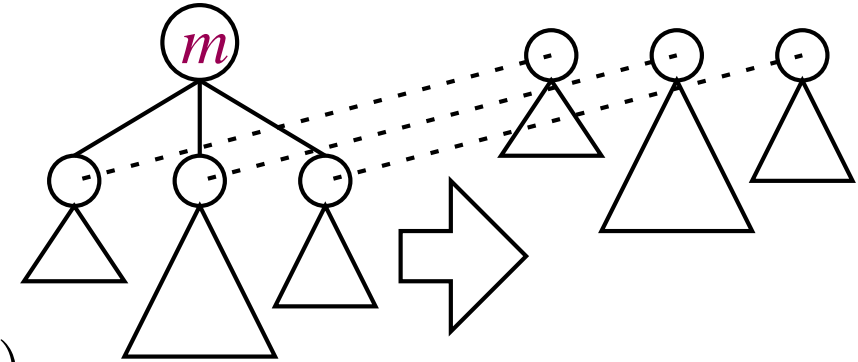
forest:= forest \ {*m*}

foreach child *h* of *m* **do** newTree(*h*)

perform pair-wise union operations on the roots in forest

update minPtr

return *m*



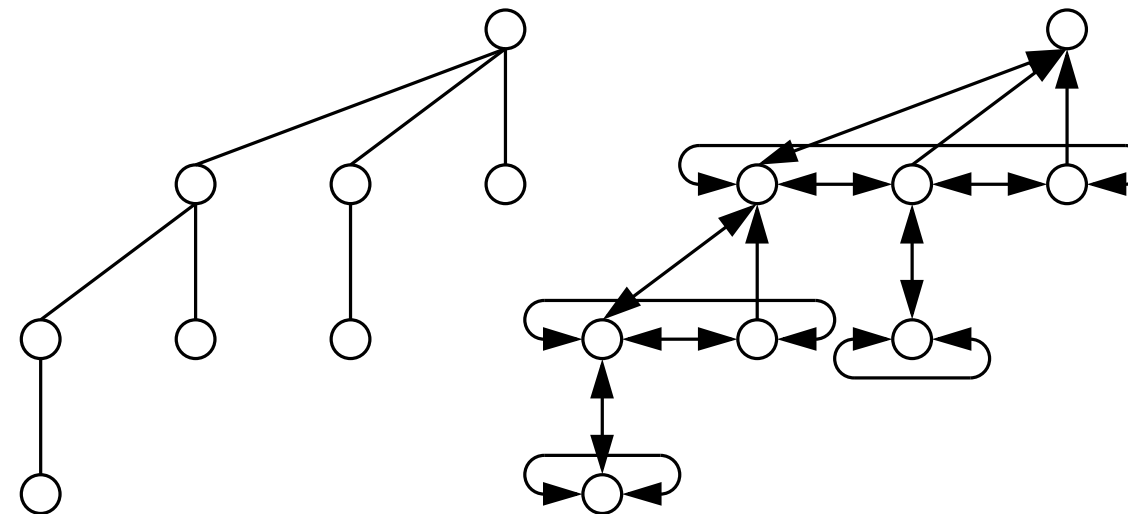
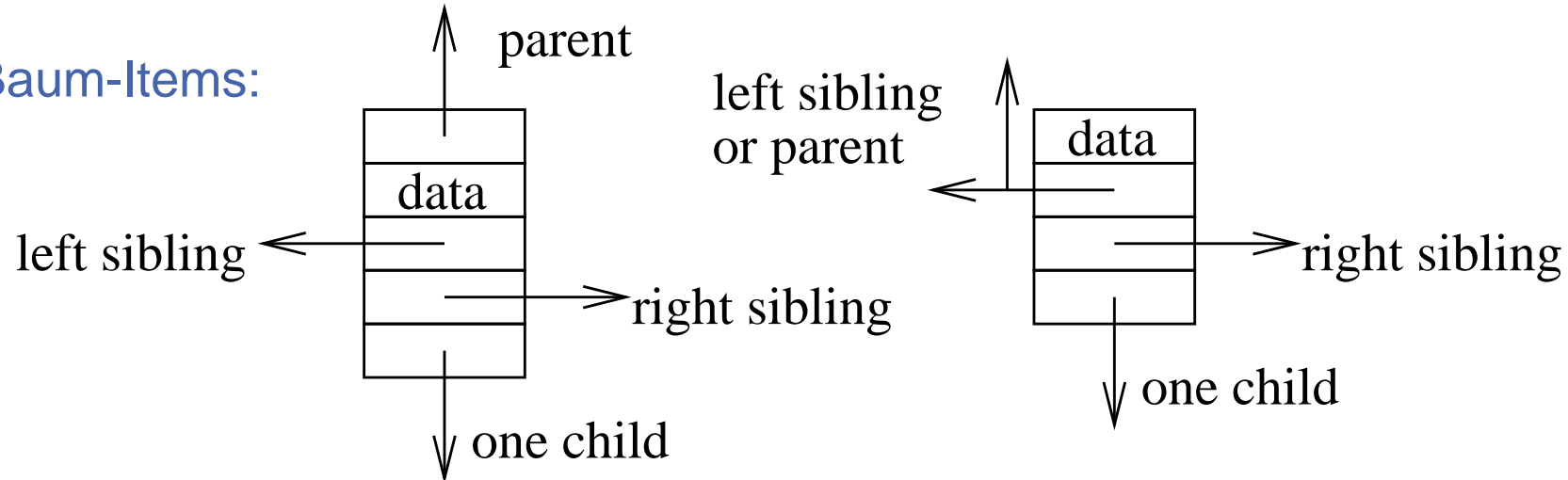
Pairing Heaps

```
Procedure merge(o : AdressablePQ)
    if *minPtr > *(o.minPtr) then minPtr:= o.minPtr
    forest:= forest ∪ o.forest
    o.forest:= ∅
```

Pairing Heaps – Repräsentation

Wurzeln: Doppelt verkettete Liste

Baum-Items:



Pairing Heaps – Analyse

insert, merge: $O(1)$

deleteMin, remove: $O(\log n)$ amortisiert

decreaseKey: unklar! $O(\log \log n) \leq T \leq O(\log n)$ amortisiert.

In der Praxis sehr schnell.

Beweise: nicht hier.

Fibonacci Heaps [Fredman Tarjan 1987]

Rang: Anzahl Kinder speichern

Vereinigung nach Rang: Union nur für gleichrangige Wurzeln

Markiere Knoten, die ein Kind verloren haben

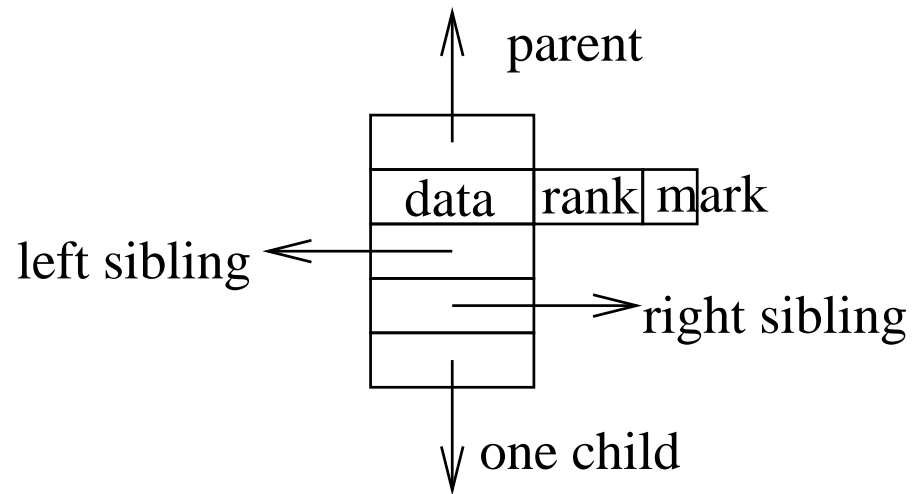
Kaskadierende Schnitte: Schneide markierte Knoten
(die also 2 Kinder verloren haben)

Satz: Amortisierte Komplexität $O(\log n)$ for deleteMin und
 $O(1)$ für alle anderen Operationen
(d.h. $Gesamtzeit = O(o + d \log n)$ falls
 $d = \#\text{deleteMin}$, $o = \#\text{otherOps}$, $n = \max |M|$)

Repräsentation

Wurzeln: Doppelt verkettete Liste
(und ein tempräres Feld für deleteMin)

Baum-Items:



insert, merge: wie gehabt. Zeit $O(1)$

deleteMin mit Union-by-Rank

Function deleteMin : Handle

$m := \text{minPtr}$

$\text{forest} := \text{forest} \setminus \{m\}$

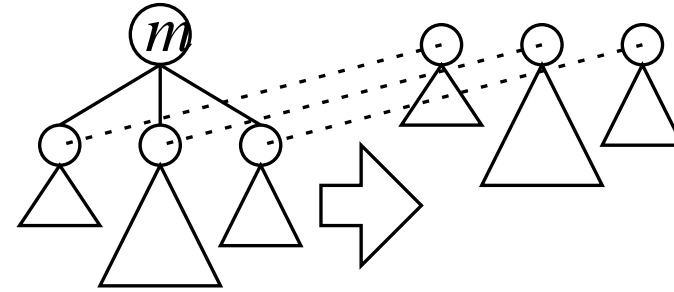
foreach child h of m **do** newTree(h)

while $\exists a, b \in \text{forest} : \text{rank}(a) = \text{rank}(b)$ **do**

$\text{union}(a, b)$ // increments rank of surviving root

update minPtr

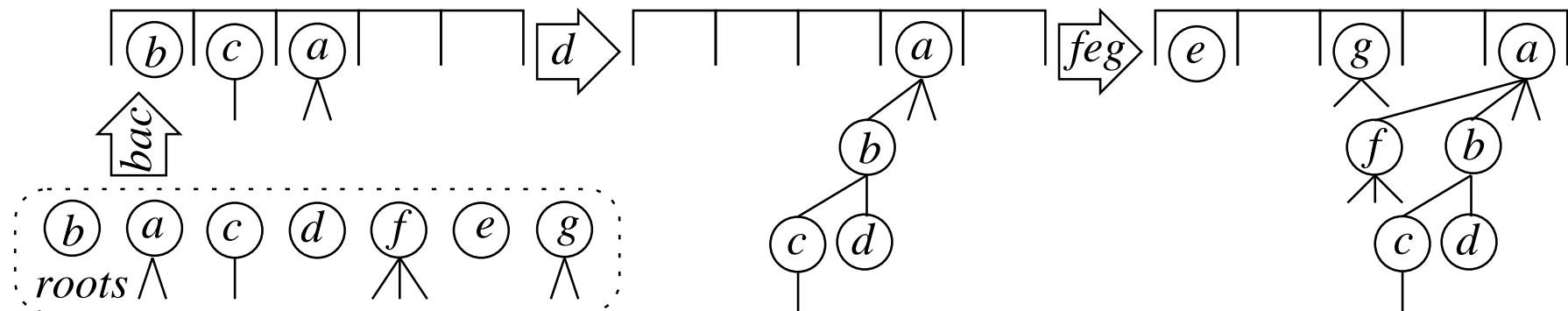
return m



Schnelles Union-by-Rank

Durch rank adressiertes Feld.

Solange link durchführen bis freier Eintrag gefunden.



Analyse: Zeit $O(\#unions + |\text{forest}|)$

Amortisierte Analyse von deleteMin

$$\text{maxRank} := \max_{a \in \text{forest}} \text{rank}(a) \text{ (nachher)}$$

Lemma: $T_{\text{deleteMin}} = O(\text{maxRank})$

Beweis: Kontomethode. Ein Token pro Wurzel

$$\text{rank}(\text{minPtr}) \leq \text{maxRank}$$

~~~ Kosten  $O(\text{maxRank})$  für newTrees und neue Token.

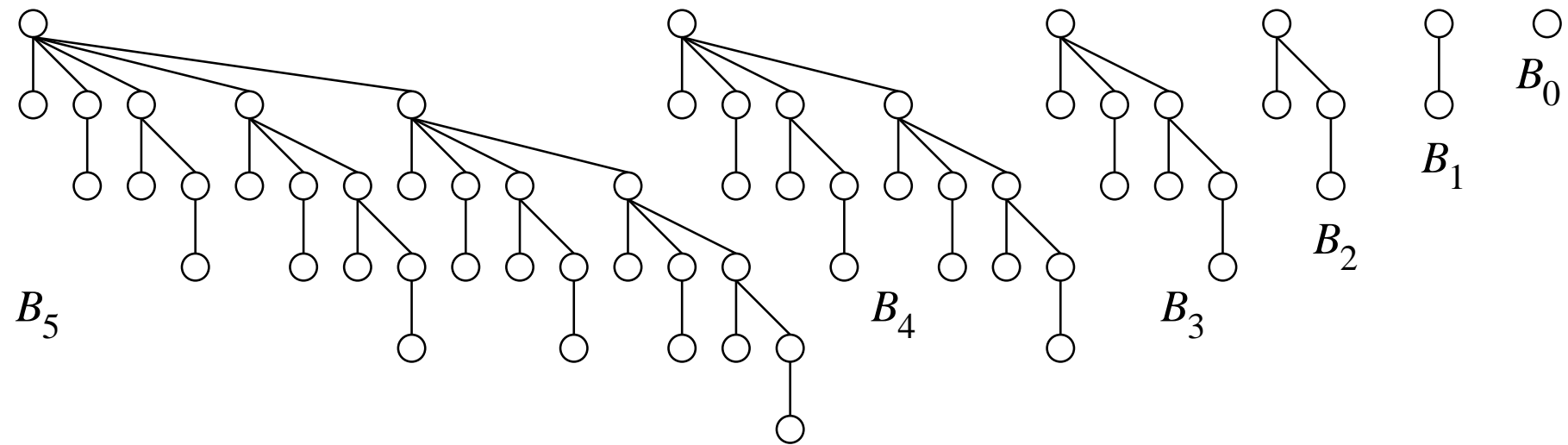
Union-by-rank: Token zählen für

- union Operationen (ein Token wird frei) und
- durchlaufen alter und neuer Wurzeln.

Am Ende gibt es  $\leq \text{maxRank}$  Wurzeln,  
die wir mit neuen Token ausstatten.

# Warum ist maxRank logarithmisch? – Binomialbäume

$2^k + 1 \times \text{insert}, 1 \times \text{deleteMin} \rightsquigarrow \text{rank } k$



[Vuillemain 1978] PQ nur mit Binomialbäumen,  $T_{\text{decreaseKey}} = O(\log n)$ .

Problem: Schnitte können zu kleinen hochrangigen Bäumen führen

# Kaskadierende Schnitte

**Procedure** decreaseKey( $h$  : Handle,  $k$  : Key)

key( $h$ ) :=  $k$

cascadingCut( $h$ )

**Procedure** cascadingCut( $h$ )

**if**  $h$  is not a root **then**

$p$  := parent( $h$ )

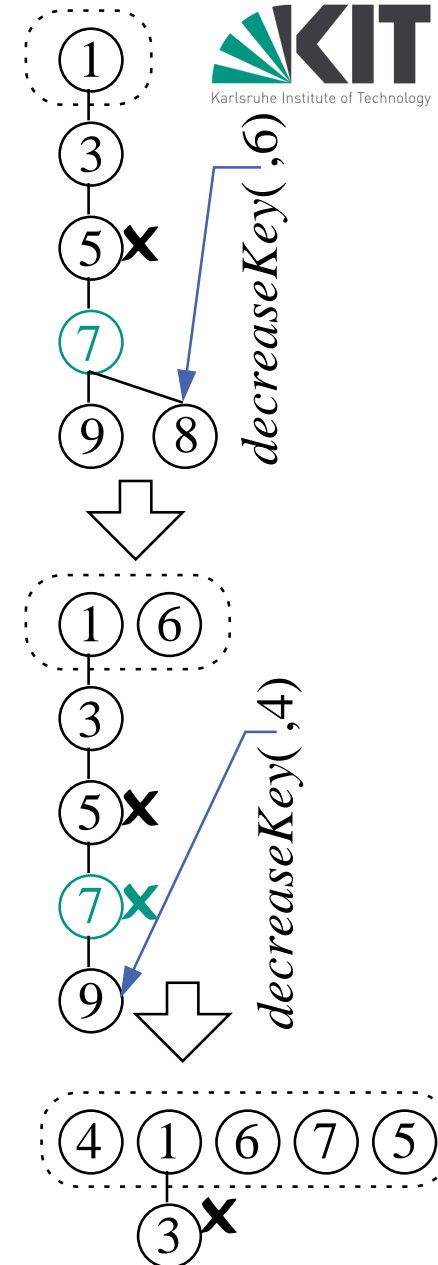
unmark  $h$

cut( $h$ )

**if**  $p$  is marked **then**

cascadingCut( $p$ )

**else** mark  $p$



Wir werden zeigen: kaskadierende Schnitte halten maxRank logarithmisch

Lemma: decreaseKey hat amortisierte Komplexität  $O(1)$

Kontomethode: ( $\approx 1$  Token pro cut oder union)

1 Token für jede Wurzel

2 Token für jeden markierten Knoten

betrachte decreaseKey mit  $k$  konsekutiven markierten Vorgängern:

2k Token werden frei (unmarked nodes)

2 Token für neue Markierung

$k+1$  Token für Ausstattung der neuen Wurzeln

$k+1$  Token für Schnitte

Bleiben 4 Token + $O(1)$  Kosten für decreaseKey

# Auftritt Herr Fibonacci

$$F_i := \begin{cases} 0 & \text{für } i=0 \\ 1 & \text{für } i=1 \\ F_{i-2} + F_{i-1} & \text{sonst} \end{cases}$$

Bekannt:  $F_{i+1} \geq ((1 + \sqrt{5})/2)^i \geq 1.618^i$  for all  $i \geq 0$ .

Wir zeigen:

Ein Teilbaum mit Wurzel  $v$  mit  $\text{rank}(v) = i$  enthält  $\geq F_{i+2}$  Elemente.

⇒

logarithmische Zeit für deleteMin.

## Beweis:

Betrachte Zeitpunkt als das  $j$ -te Kind  $w_j$  von  $v$  hinzugelinkt wurde:

$w_j$  und  $v$  hatten gleichen Rang  $\geq j - 1$  ( $v$  hatte schon  $j - 1$  Kinder)

$\text{rank}(w_j)$  hat **höchsten um eins abgenommen** (cascading cuts)

$\Rightarrow \text{rank}(w_j) \geq j - 2$  und  $\text{rank}(v) \geq j - 1$

$S_i :=$  untere Schranke für # Knoten mit Wurzel vom Rang  $i$ :

$$S_0 = 1$$

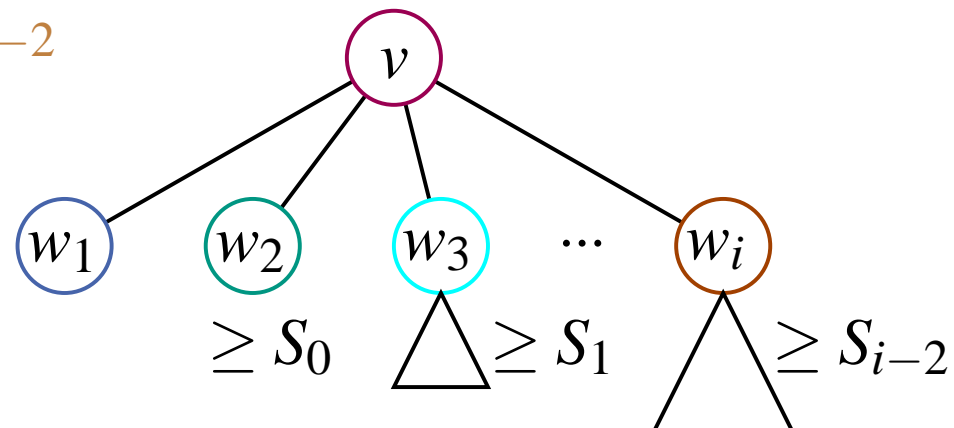
$$S_1 = 2$$

$$S_i \geq 1 + 1 + S_0 + S_1 + \cdots + S_{i-2}$$

für  $i \geq 2$

Diese Rekurrenz

hat die Lösung  $S_i \geq F_{i+2}$



# Addressable Priority Queues: Mehr

- Untere Schranke  $\Omega(\log n)$  für deleteMin, vergleichsbasiert.  
*Beweis: Übung*
- Worst case Schranken: nicht hier
- Monotone PQs mit **ganzzahligen** Schlüsseln (stay tuned)

## Offene Probleme:

Analyse Pairing Heap, Vereinfachung Fibonacci Heap.

# Zusammenfassung Datenstrukturen

- In dieser Vorlesung Fokus auf Beispiel Prioritätslisten  
(siehe auch kürzeste Wege, externe Algorithmen)
- Heapkonzept trägt weit
- Geschwisterzeiger erlauben Repräsentation beliebiger Bäume mit konstanter Zahl Zeiger pro Item.
- Fibonacci heaps als nichttriviales Beispiel für amortisierte Analyse

# Fortgeschrittene Graphenalgorithmen

## 3 Anwendungen von DFS

# Tiefensuchschema für $G = (V, E)$

unmark all nodes; init

**foreach**  $s \in V$  **do**

**if**  $s$  is not marked **then**

        mark  $s$

            // make  $s$  a root and grow

        root( $s$ )

            // a new DFS-tree rooted at it.

        DFS( $s, s$ )

**Procedure** DFS( $u, v : \text{NodeId}$ )

            // Explore  $v$  coming from  $u$ .

**foreach**  $(v, w) \in E$  **do**

**if**  $w$  is marked **then** traverseNonTreeEdge( $v, w$ )

**else**     traverseTreeEdge( $v, w$ )

            mark  $w$

            DFS( $v, w$ )

    backtrack( $u, v$ )     // return from  $v$  along the incoming edge

# DFS Nummerierung

init:  $\text{dfsPos} = 1 : 1..n$

$\text{root}(s)$ :  $\text{dfsNum}[s] := \text{dfsPos}++$

$\text{traverseTreeEdge}(v, w)$ :  $\text{dfsNum}[w] := \text{dfsPos}++$

$$u \prec v \Leftrightarrow \text{dfsNum}[u] < \text{dfsNum}[v] .$$

## Beobachtung:

Knoten auf dem Rekursionsstapel sind bzgl.,  $\prec$  sortiert

# Fertigstellungszeit

init:                   finishingTime=1 : 1..n

backtrack( $u, v$ ):    **finishTime**[ $v$ ]:= finishingTime++

# Starke Zusammenhangskomponenten

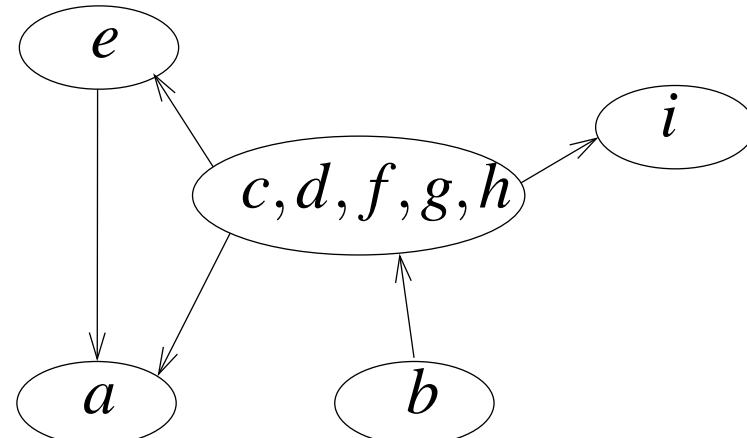
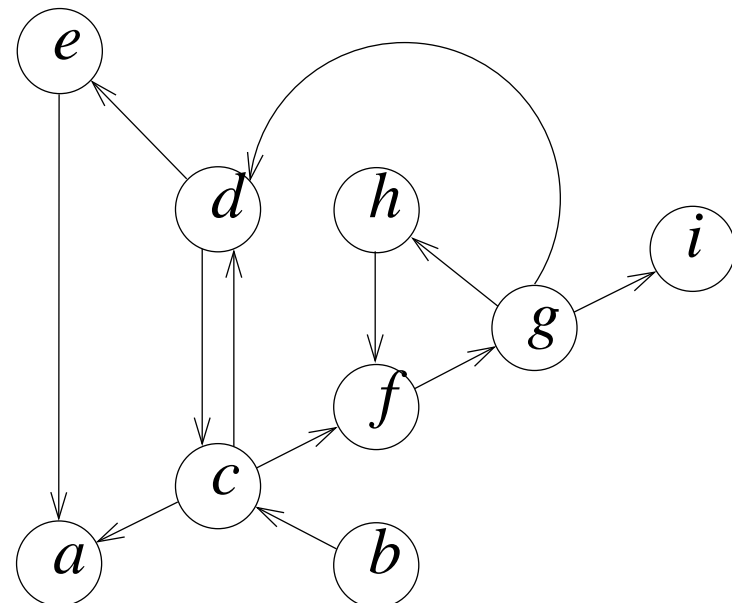
Betrachte die Relation  $\leftrightarrow^*$  mit

$u \leftrightarrow^* v$  falls  $\exists$  Pfad  $\langle u, \dots, v \rangle$  und  $\exists$  Pfad  $\langle v, \dots, u \rangle$ .

**Beobachtung:**  $\leftrightarrow^*$  ist Äquivalenzrelation

Übung

Die Äquivalenzklassen von  $\leftrightarrow^*$  bezeichnet man als **starke Zusammenhangskomponenten**.



# Starke Zusammenhangskomponenten – Abstrakter Algorithmus

$G_c := (V, \emptyset = E_c)$

**foreach** edge  $e \in E$  **do**

**invariant** SCCs of  $G_c$  are known

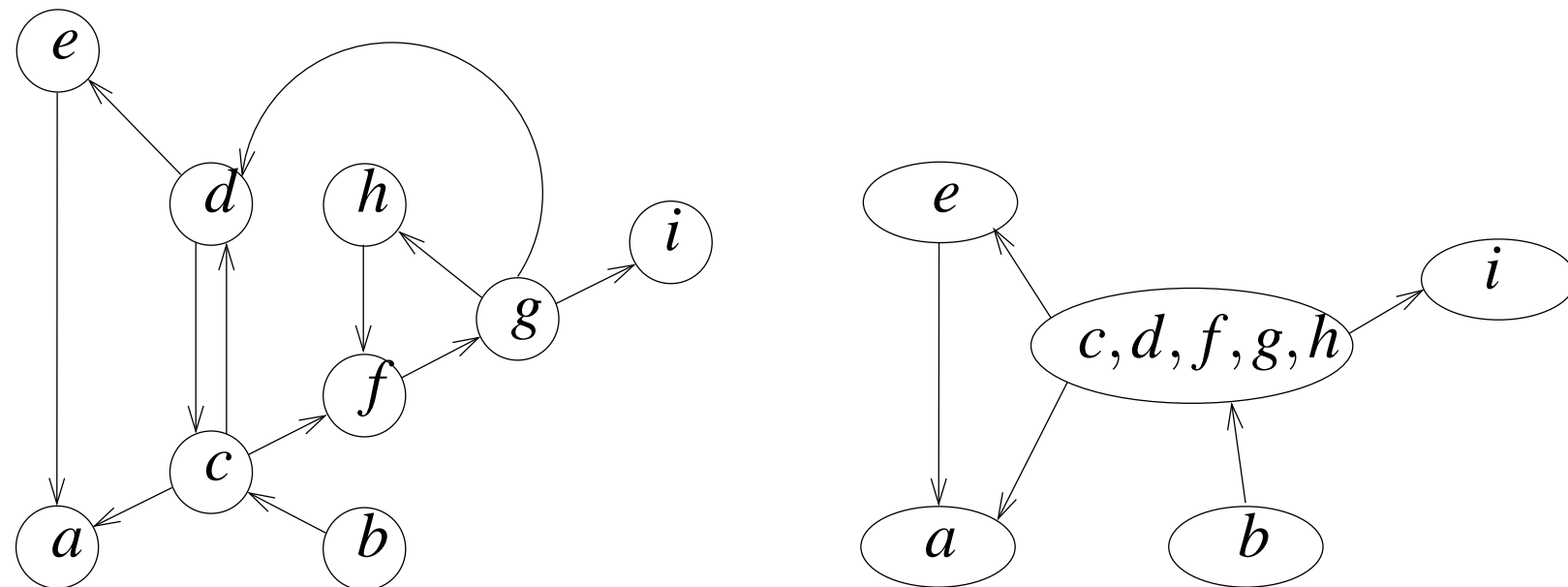
$E_c := E_c \cup \{e\}$

# Schrumpfgraph

$$G_c^s = (V^s, E_c^s)$$

Knoten: SCCs von  $G_c$ .

Kanten:  $(C, D) \in E_c^s \Leftrightarrow \exists (c, d) \in E_c : c \in C \wedge d \in D$



**Beobachtung:** Der Schrumpfgraph ist azyklisch

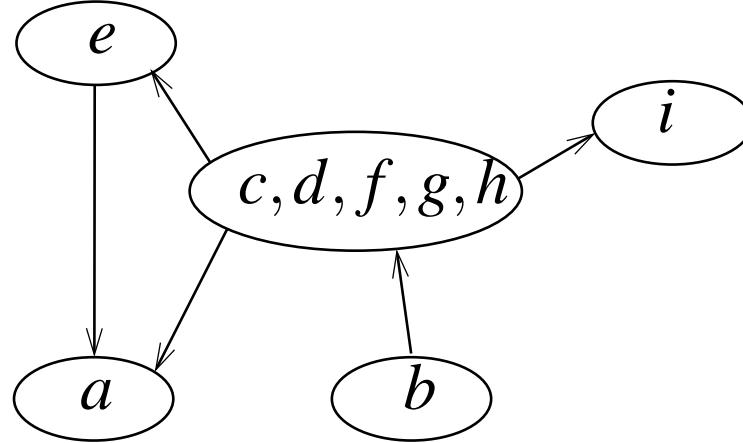
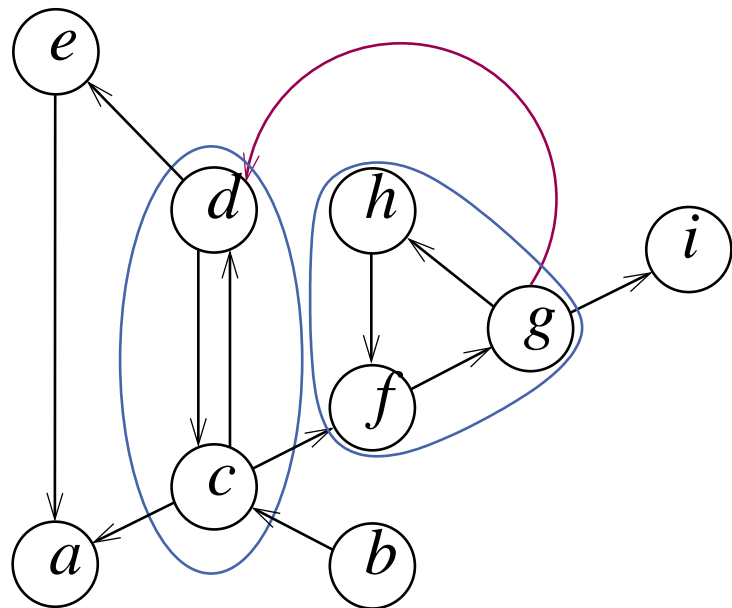
# Auswirkungen einer neuen Kante $e$ auf $G_c$ , $G_c^s$

SCC-intern: Nichts ändert sich

zwischen zwei SCCs:

Kein Kreis: Neue Kante in  $G_c^s$

Kreisschluss: SCCs auf Kreis kollabieren.



## Konkreter: SCCs mittels DFS

[Cherian/Mehlhorn 96, Gabow 2000]

$V_c$  = markierte Knoten

$E_c$  = bisher explorierte Kanten

**Aktive Knoten:** markiert aber nicht finished.

SCCs von  $G_c$ :

nicht erreicht: Unmarkierte Knoten

offen: enthält aktive Knoten

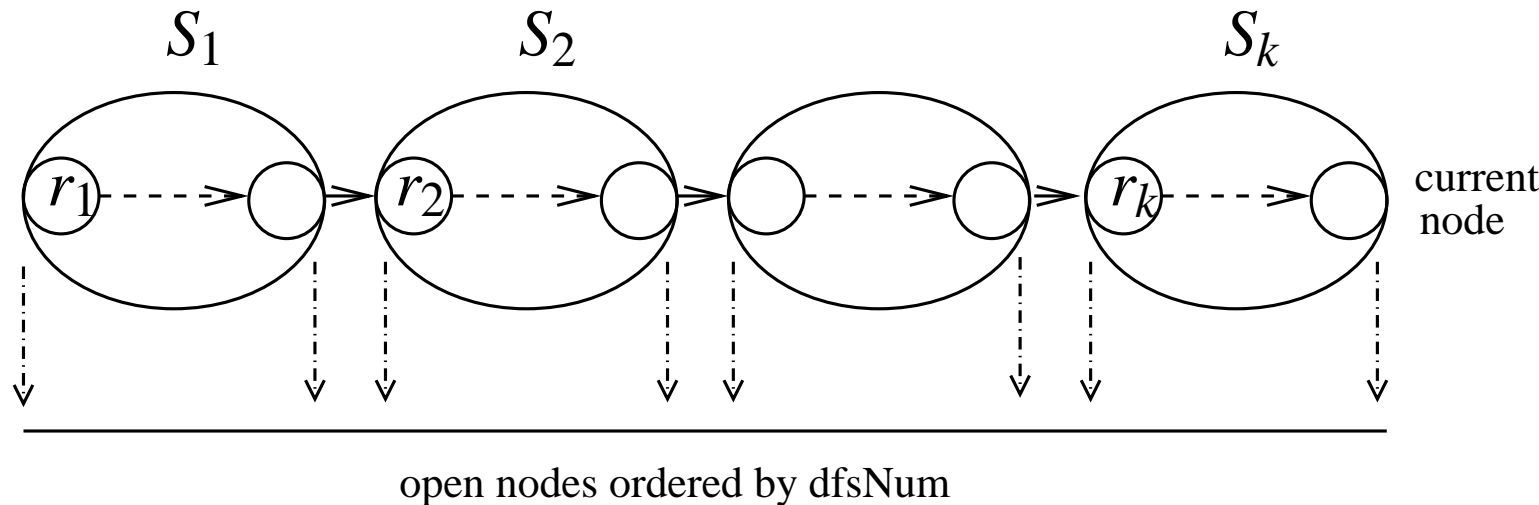
abgeschlossen: alle Knoten finished

**component[w]** gibt Repräsentanten einer SCC an.

Knoten von offenen (abgeschl.) Komponenten heißen offen (abgeschl.)

# Invarianten von $G_c$

1. Kanten von abgeschlossenen Knoten gehen zu abgeschlossenen Knoten
2. Offene Komponenten  $S_1, \dots, S_k$  bilden Pfad in  $G_c^s$ .
3. Repräsentanten partitionieren die offenen Komponenten bzgl. ihrer `dfsNum`.



**Lemma:** Abgeschlossene SCCs von  $G_c$  sind SCCs von  $G$

Betrachte abgeschlossenen Knoten  $v$

und beliebigen Knoten  $w$

in der SCC von  $v$  bzgl.  $G$ .

z.Z.:  $w$  ist abgeschlossen und

in der gleichen SCC von  $G_c$  wie  $v$ .

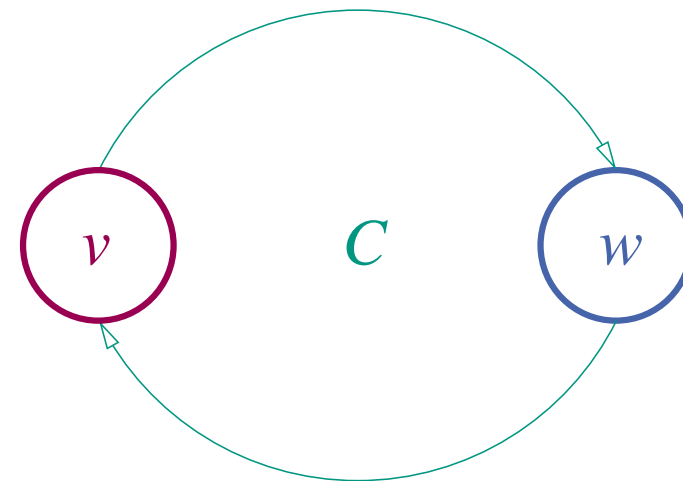
Betrachte Kreis  $C$  durch  $v, w$ .

Inv. 1: **Knoten** von  $C$  sind abgeschlossen.

Abgeschl. Knoten sind finished.

Kanten aus finished Knoten wurden exploriert.

Also sind alle **Kanten** von  $C$  in  $G_c$ . □

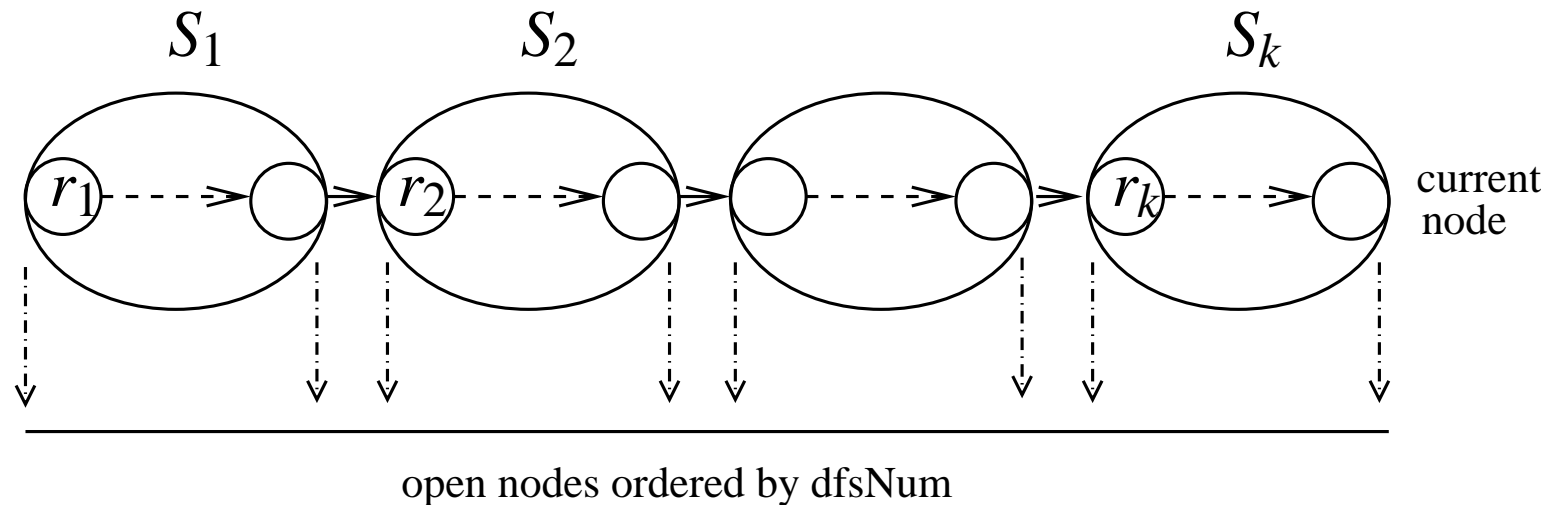


# Repräsentation offener Komponenten

Zwei Stapel aufsteigend sortiert nach dfsNum

oReps: Repräsentanten offener Komponenten

oNodes: Alle offenen Knoten



init

```
component : NodeArray of NodId           // SCC representatives
oReps=⟨⟩ : Stack of NodId      // representatives of open SCCs
oNodes=⟨⟩ : Stack of NodId      // all nodes in open SCCs
```

Alle Invarianten erfüllt.

(Weder offene noch geschlossene Knoten)

$\text{root}(s)$

```
oReps.push(s)                                // new open
oNodes.push(s)                                 // component
```

$\{s\}$  ist die einzige offene Komponente.

Alle Invarianten bleiben gültig

traverseTreeEdge( $v, w$ )

oReps.push( $w$ ) // new open  
oNodes.push( $w$ ) // component

$\{w\}$  ist neue offene Komponente.

$\text{dfsNum}(w) >$  alle anderen.

~~>Alle Invarianten bleiben gültig

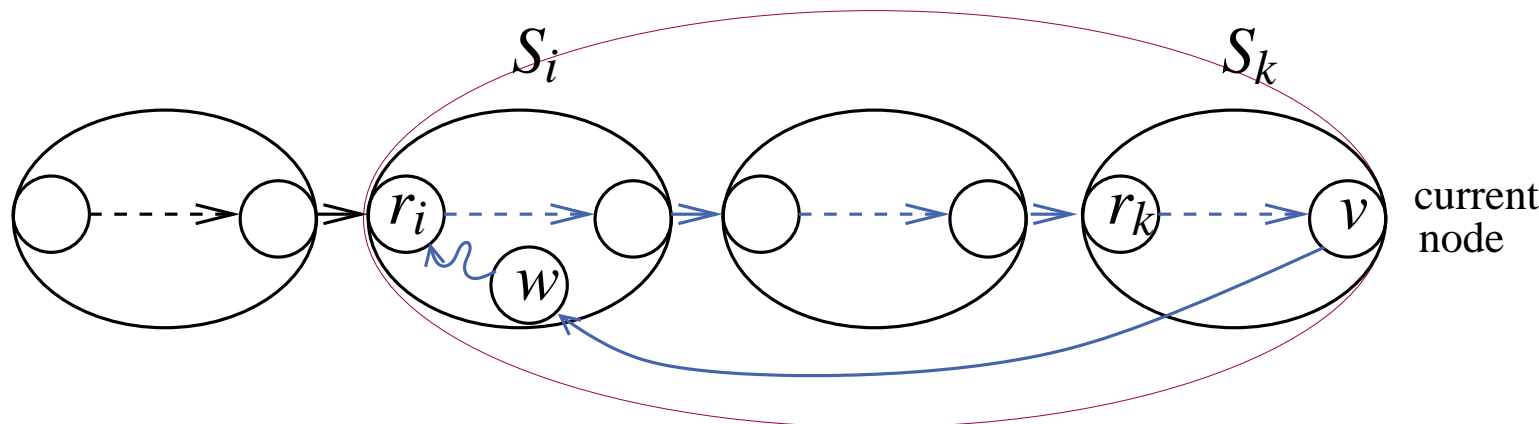
`traverseNonTreeEdge( $v, w$ )`

**if**  $w \in \text{oNodes}$  **then**

**while**  $w \prec \text{oReps.top}$  **do**  $\text{oReps.pop}$

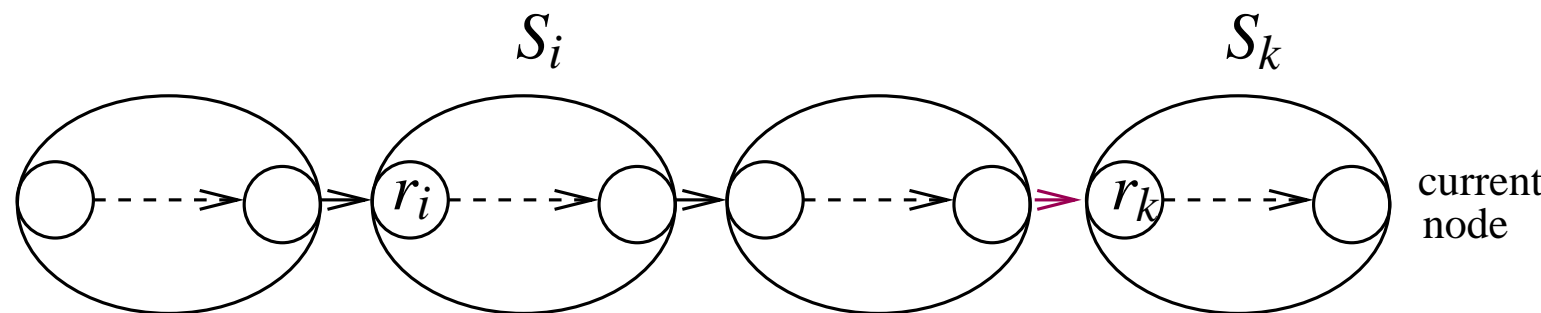
$w \notin \text{oNodes} \rightsquigarrow w$  is abgeschlossen  $\stackrel{\text{Lemma}(*)}{\rightsquigarrow}$  Kante uninteressant

$w \in \text{oNodes}$ : kollabiere offene SCCs auf Kreis



backtrack( $u, v$ )

```
if  $v = \text{oReps.top}$  then
     $\text{oReps.pop}$  // close
repeat // component
     $w := \text{oNodes.pop}$ 
     $\text{component}[w] := v$ 
until  $w = v$ 
```



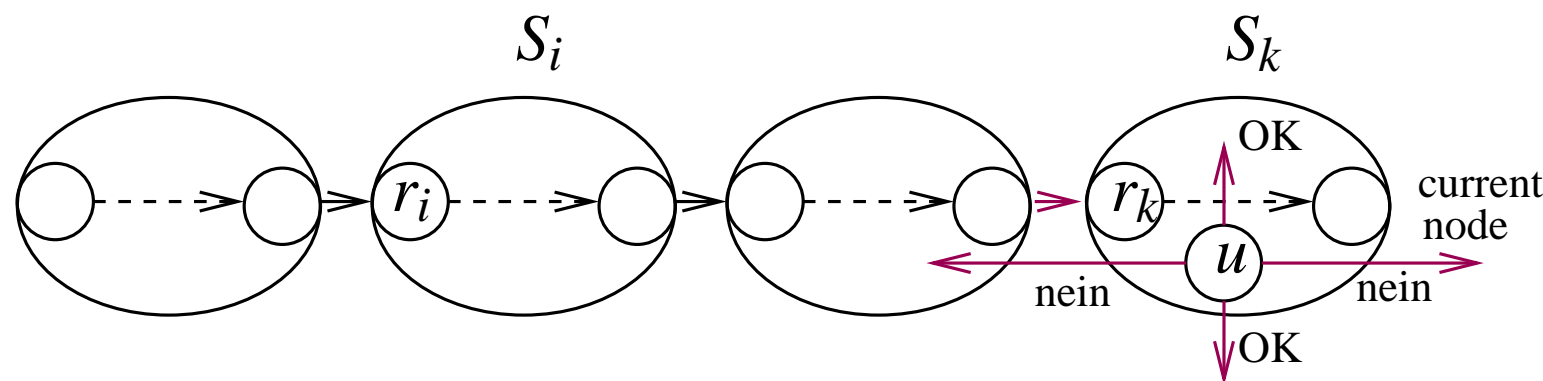
z.Z. Invarianten bleiben erhalten...

backtrack( $u, v$ )

```

if  $v = \text{oReps.top}$  then
     $\text{oReps.pop}$                                 // close
    repeat                                     // component
         $w := \text{oNodes.pop}$ 
         $\text{component}[w] := v$ 
    until  $w = v$ 
  
```

**Inv. 1:** Kanten von abgeschlossenen Knoten gehen zu abgeschlossenen Knoten.



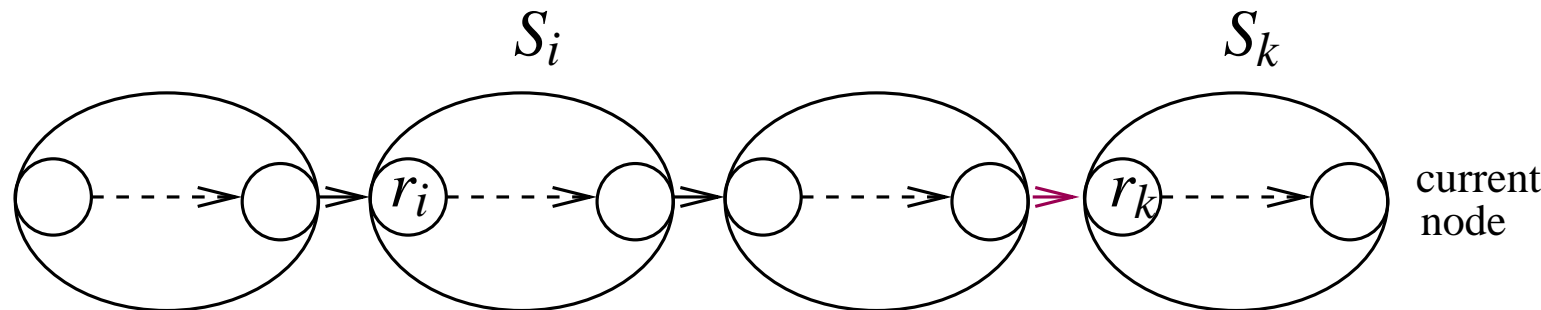
backtrack( $u, v$ )

```

if  $v = \text{oReps.top}$  then
     $\text{oReps.pop}$                                 // close
    repeat                                     // component
         $w := \text{oNodes.pop}$ 
         $\text{component}[w] := v$ 
    until  $w = v$ 
  
```

**Inv. 2:** Offene Komponenten  $S_1, \dots, S_k$  bilden Pfad in  $G_c^s$

OK. ( $S_k$  wird ggf. entfernt)



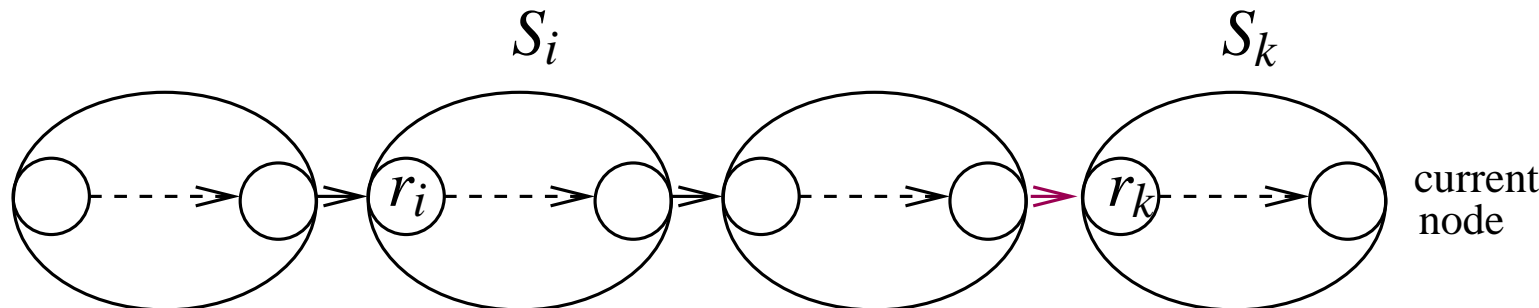
backtrack( $u, v$ )

```

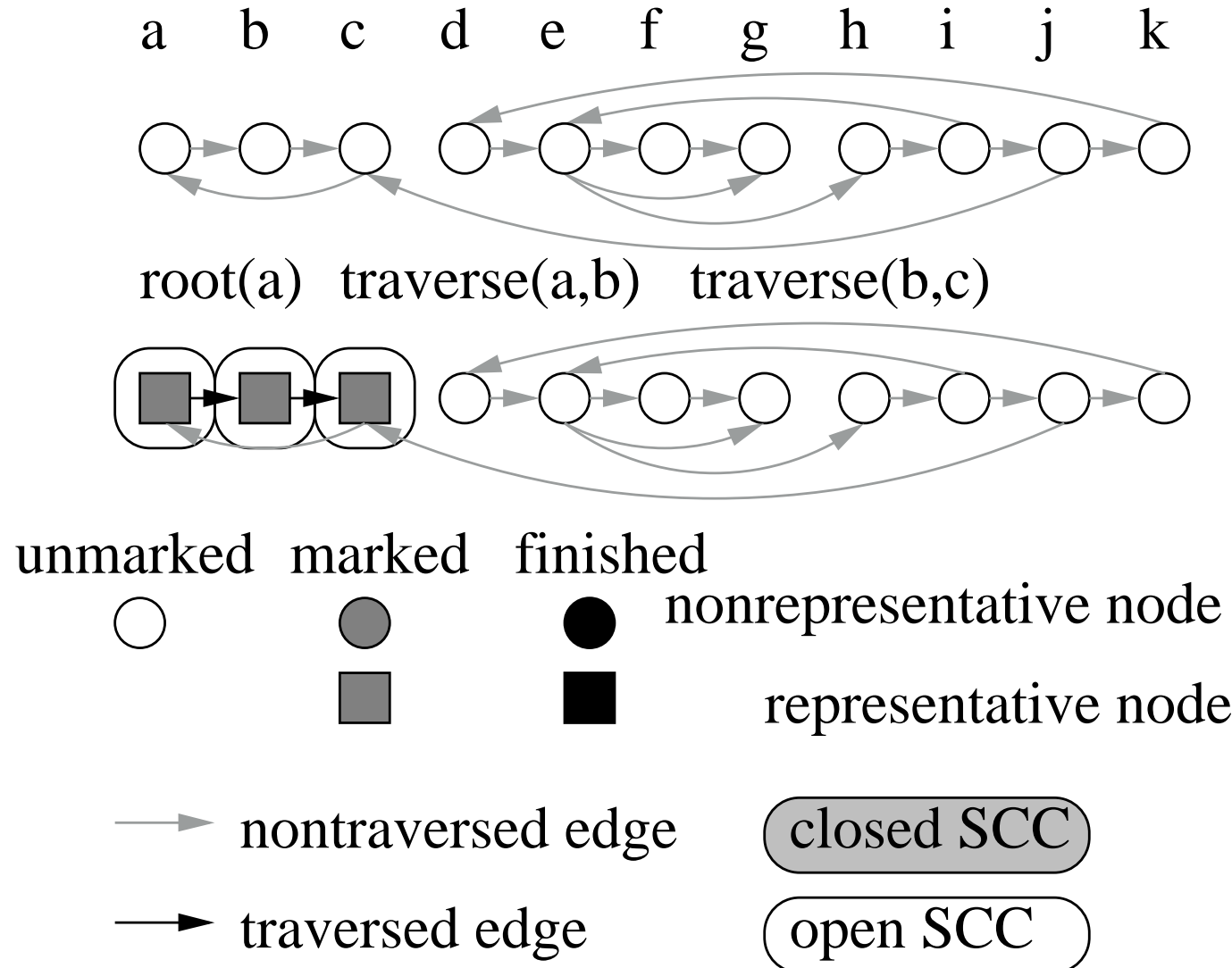
if  $v = \text{oReps.top}$  then
     $\text{oReps.pop}$                                 // close
    repeat                                     // component
         $w := \text{oNodes.pop}$ 
         $\text{component}[w] := v$ 
    until  $w = v$ 
  
```

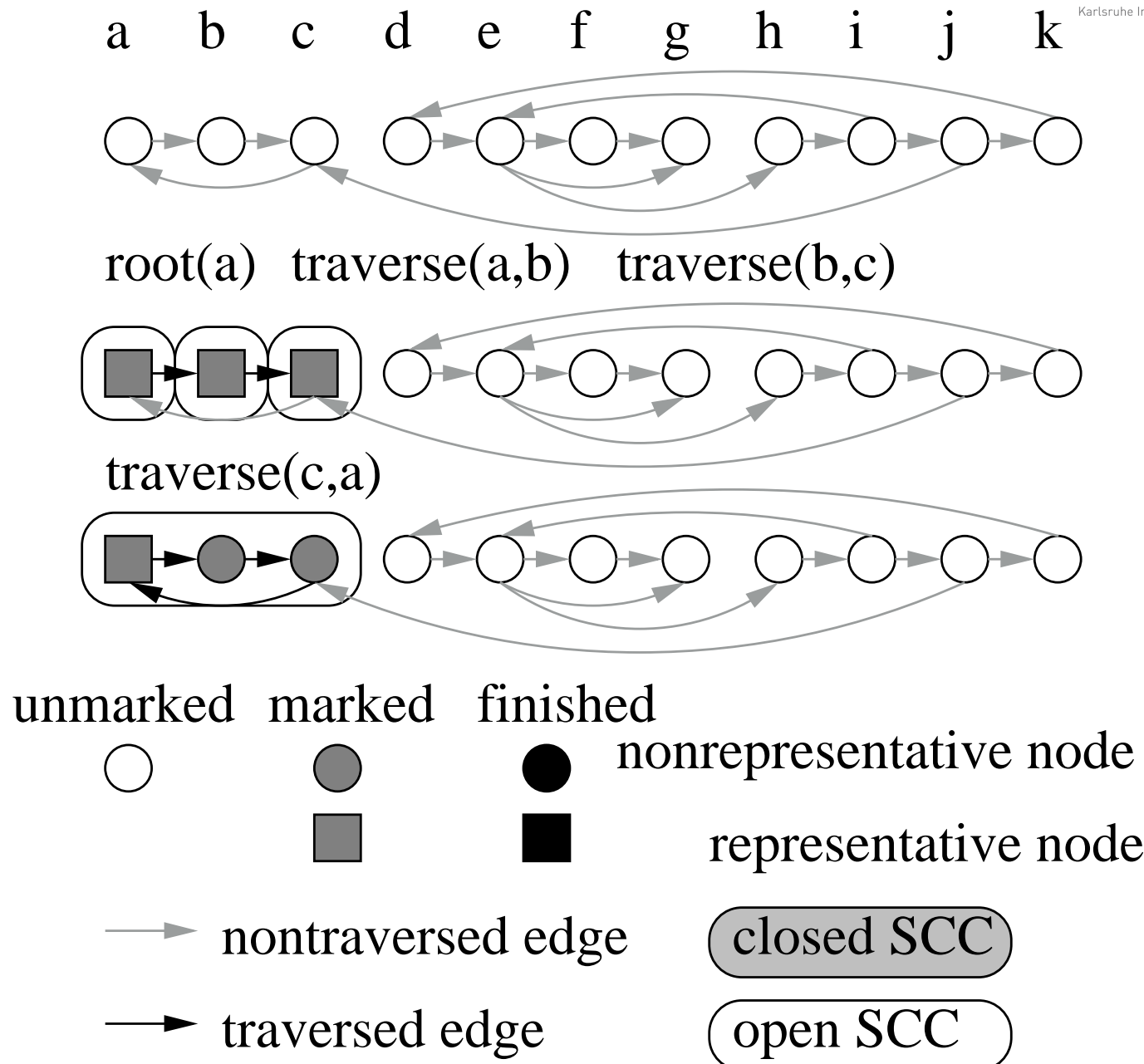
**Inv. 3:** Repräsentanten partitionieren die offenen Komponenten bzgl.  
ihrer dfsNum.

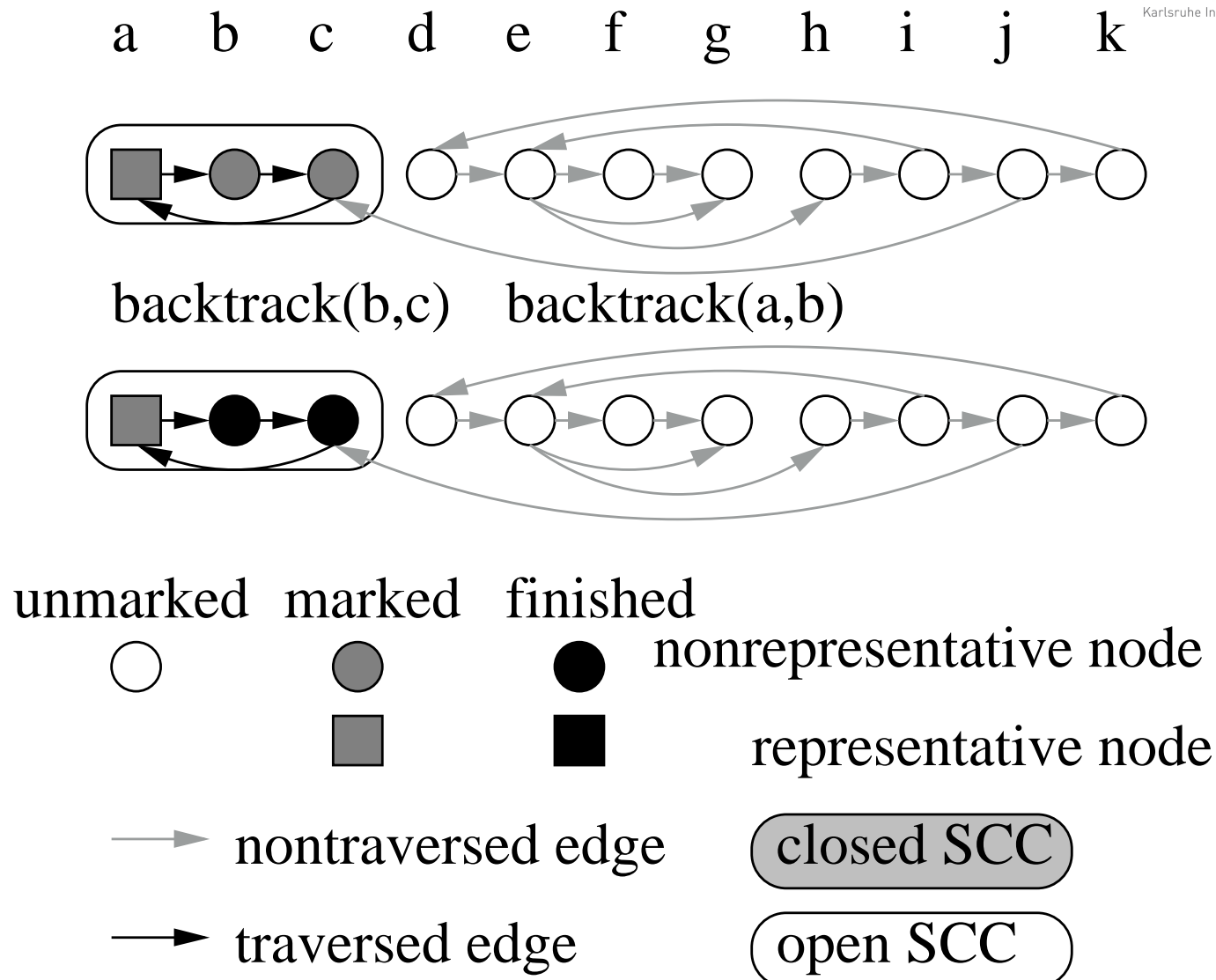
OK. ( $S_k$  wird ggf. entfernt)

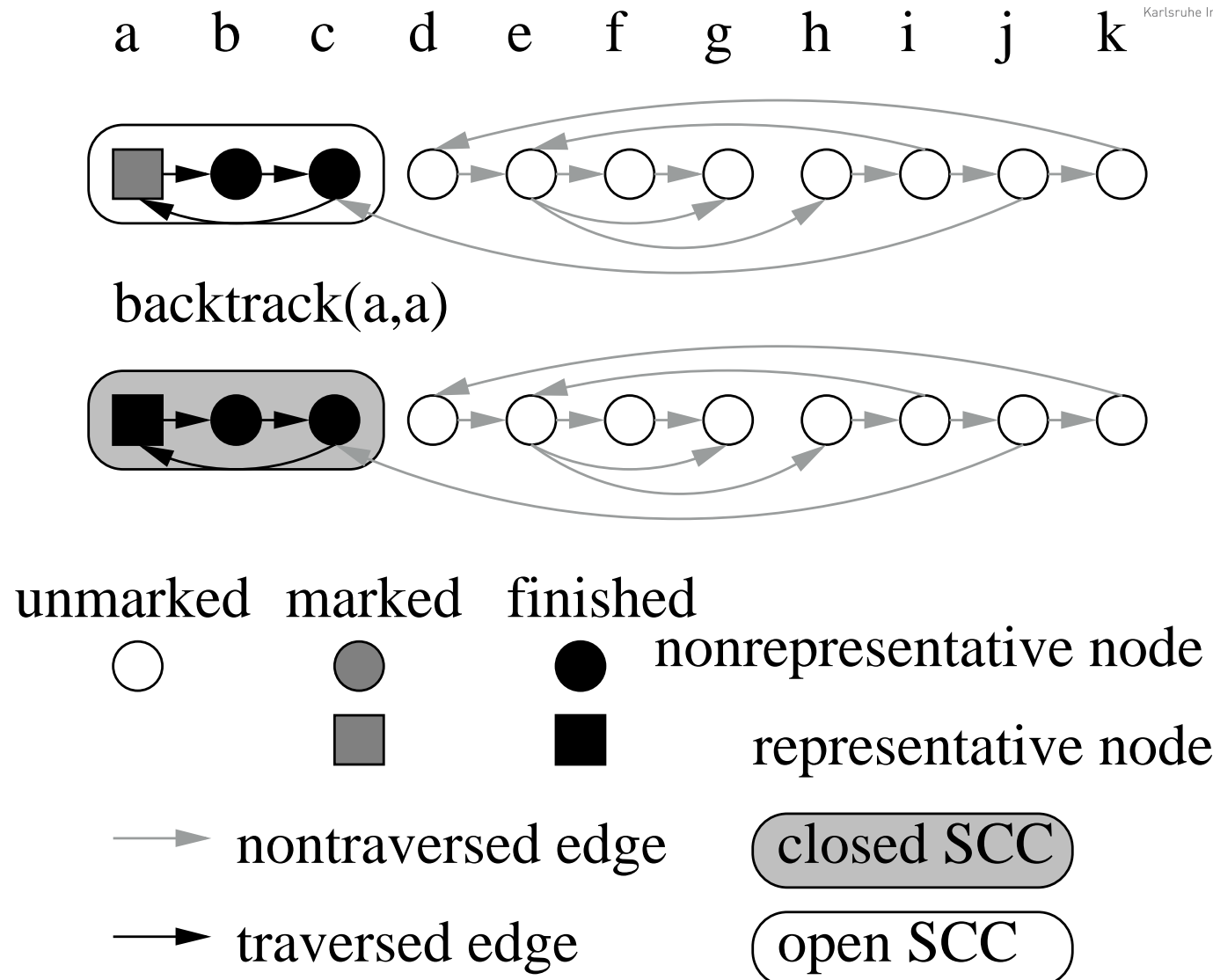


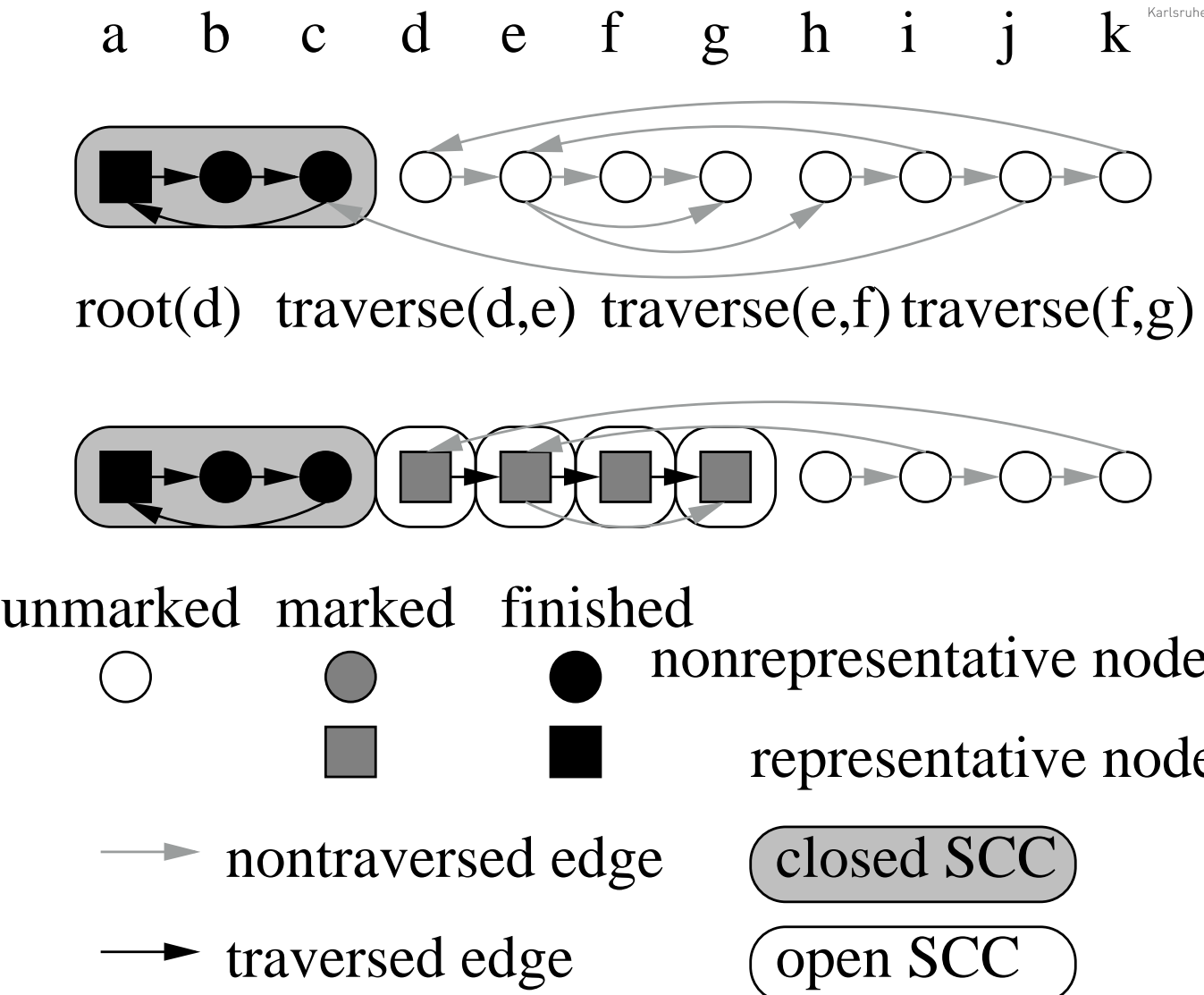
# Beispiel

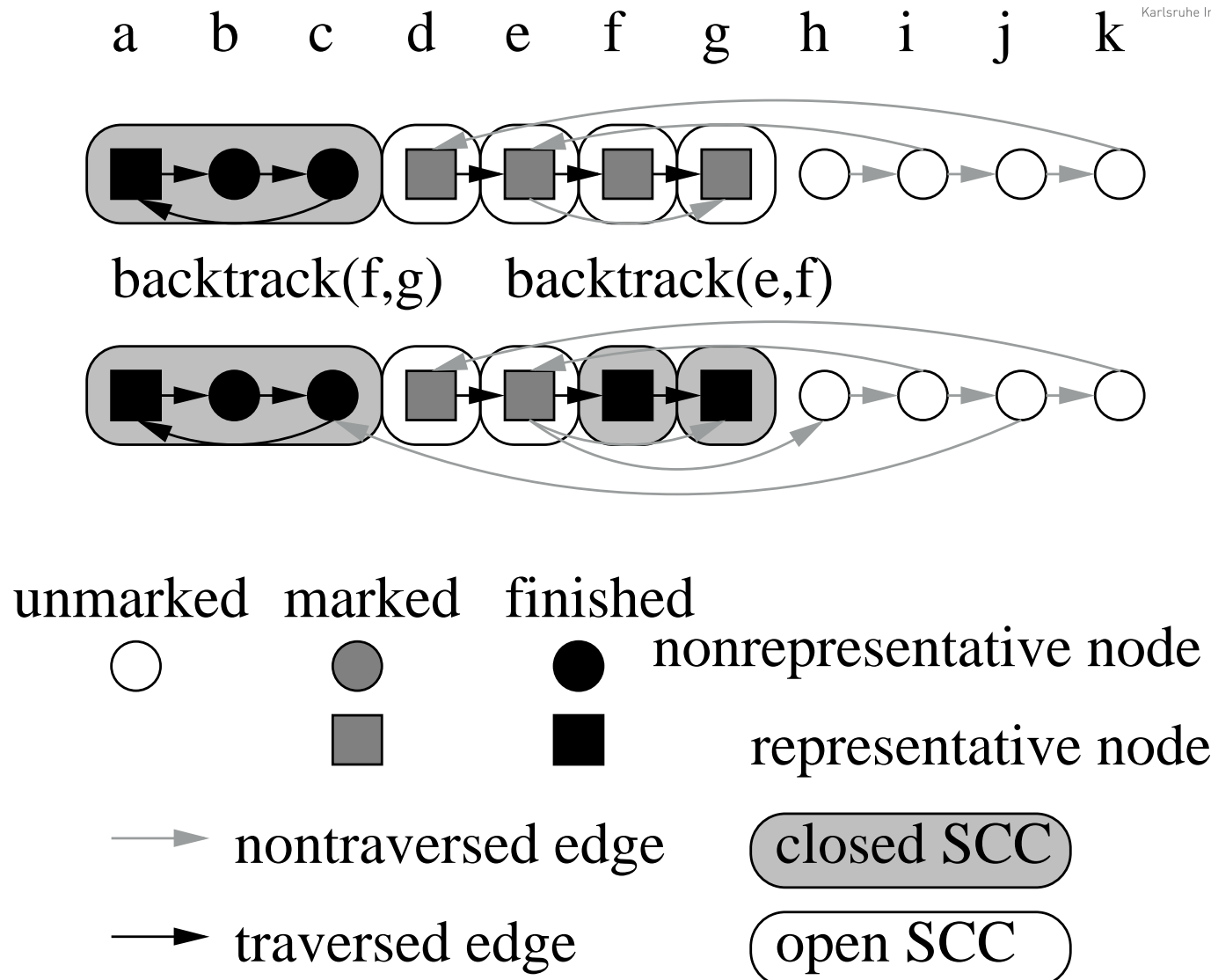


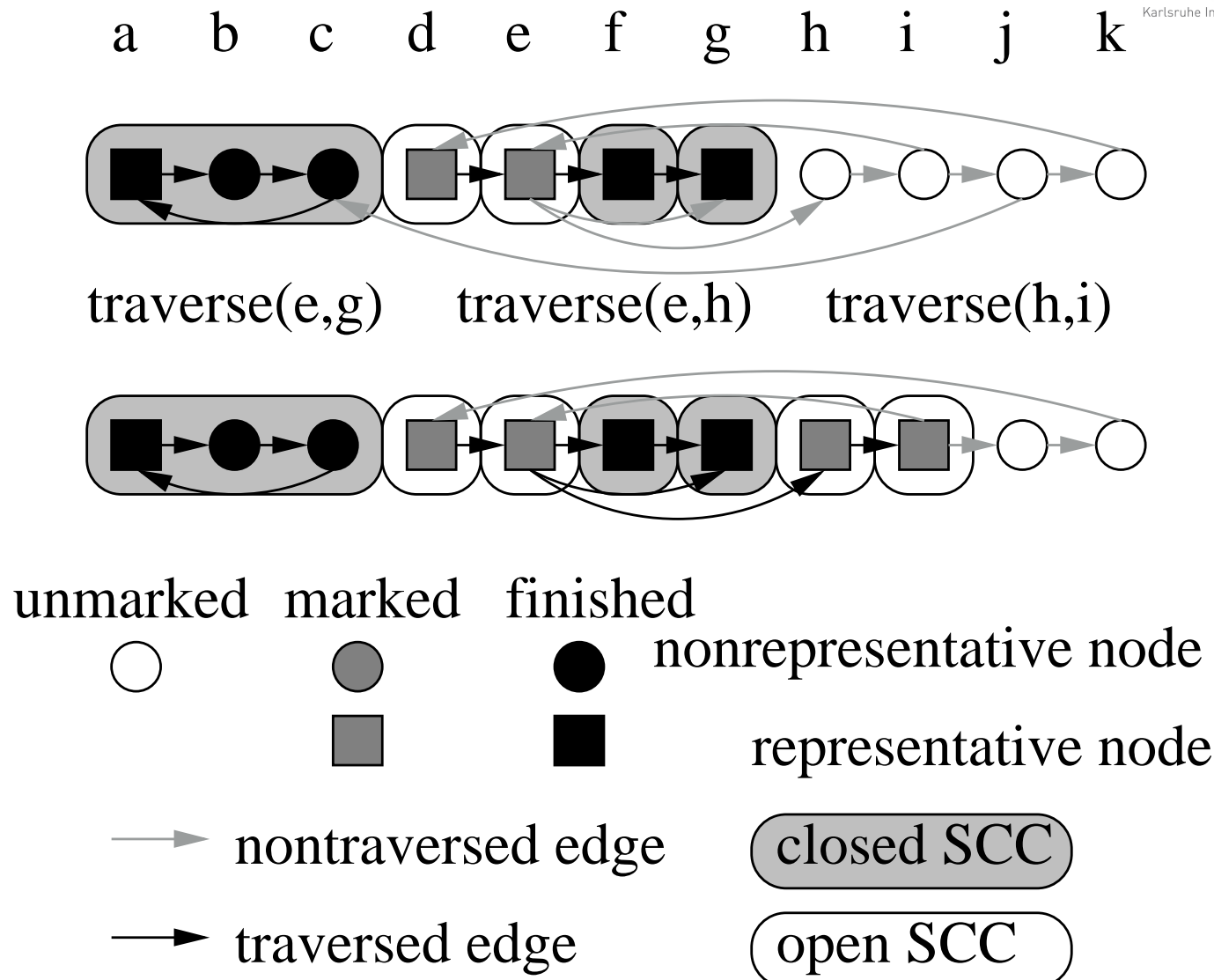


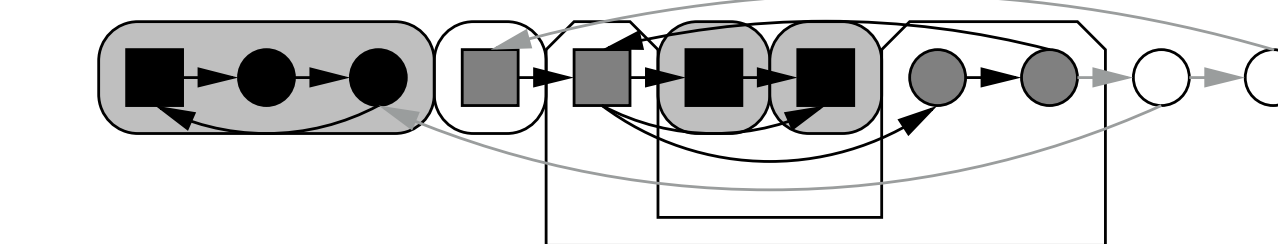
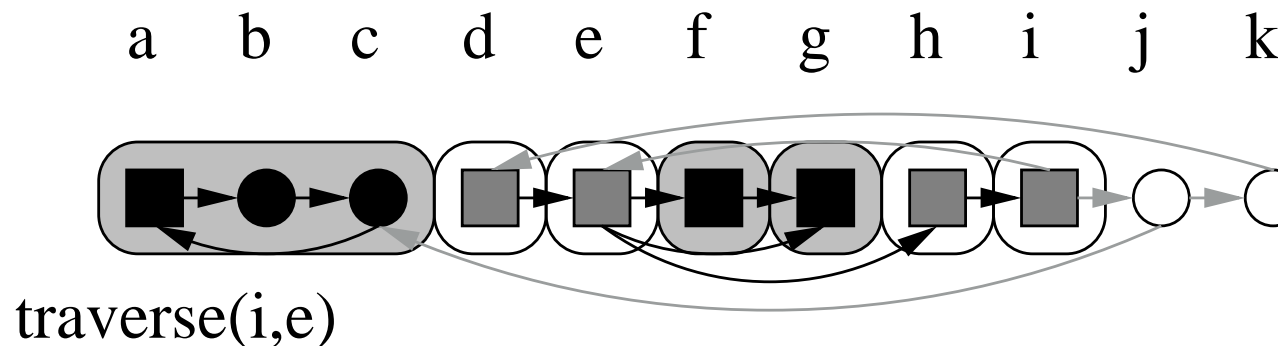






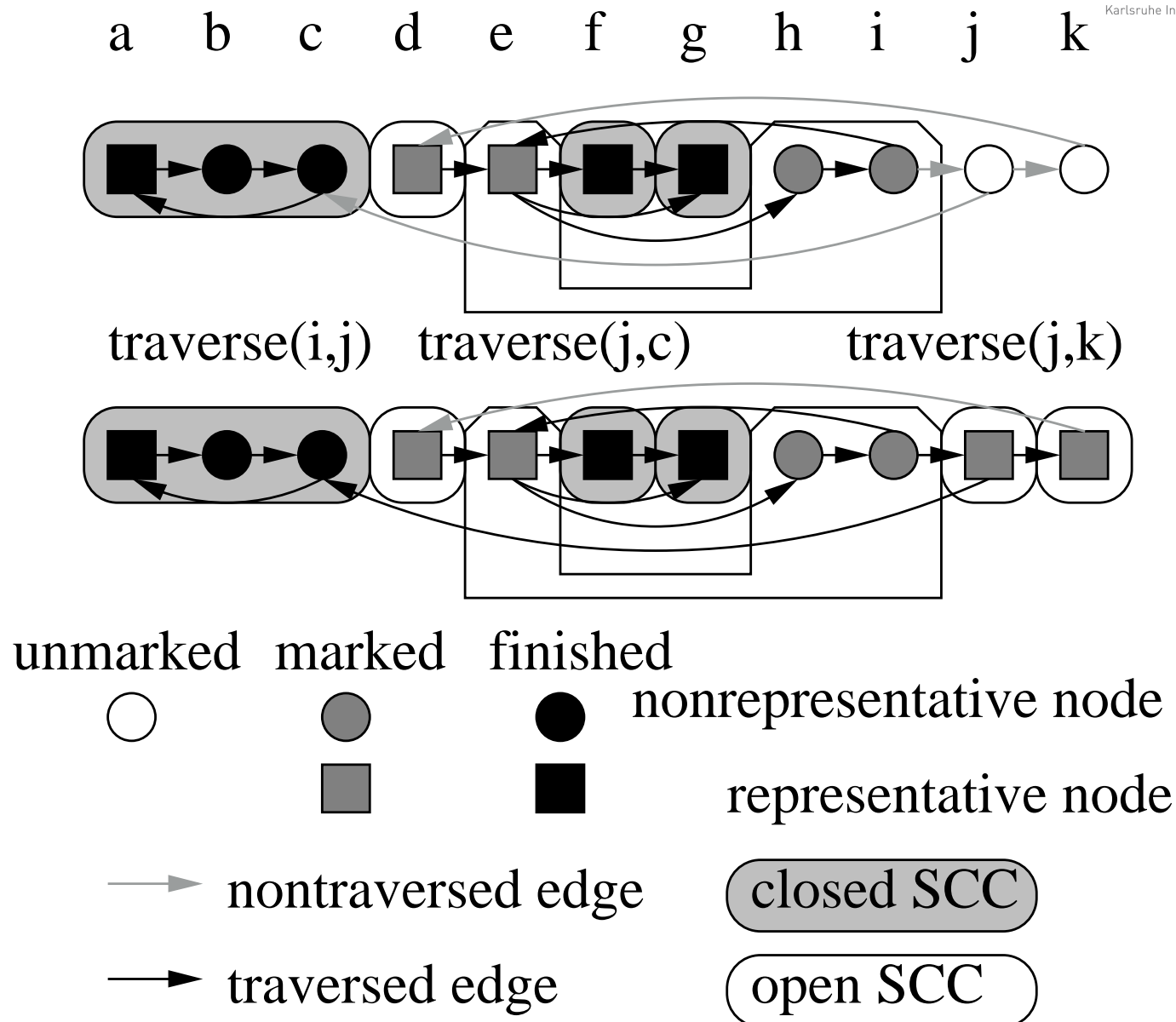


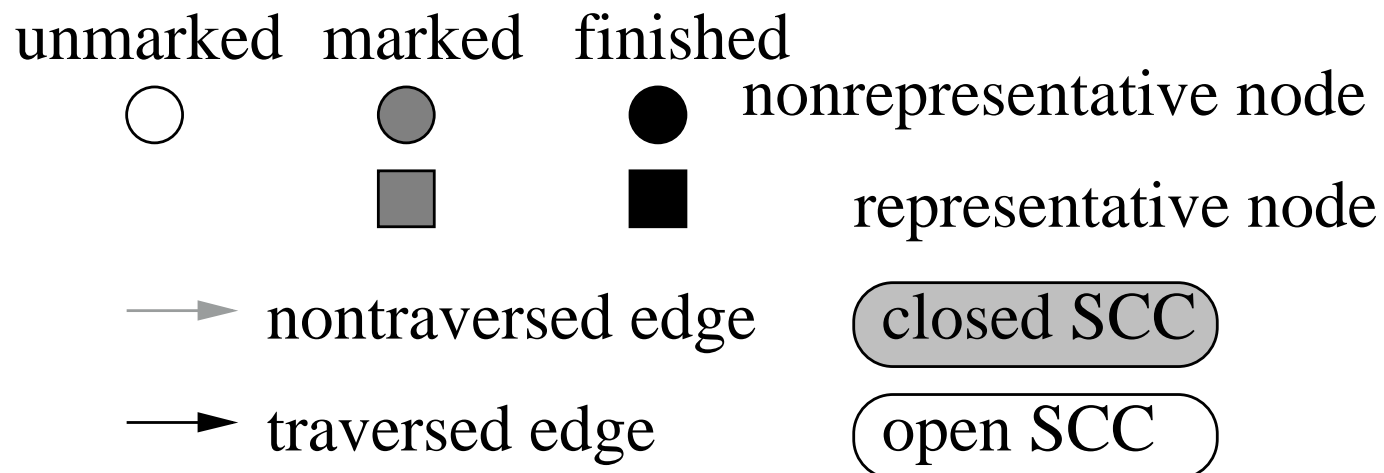
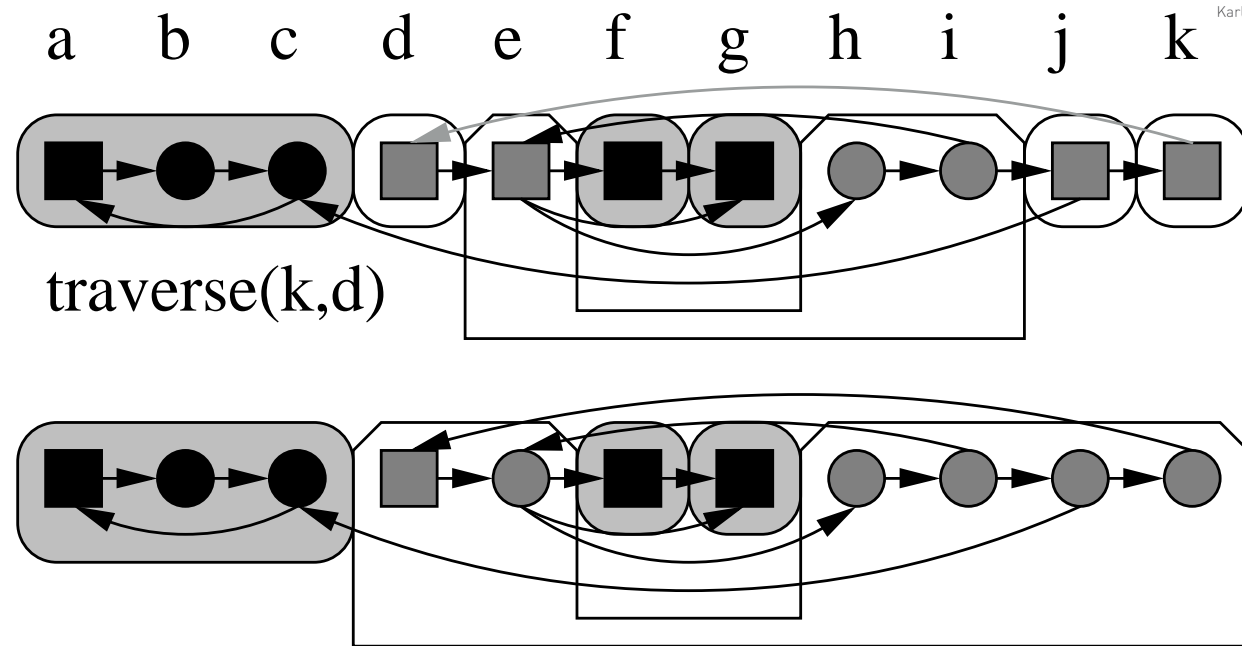


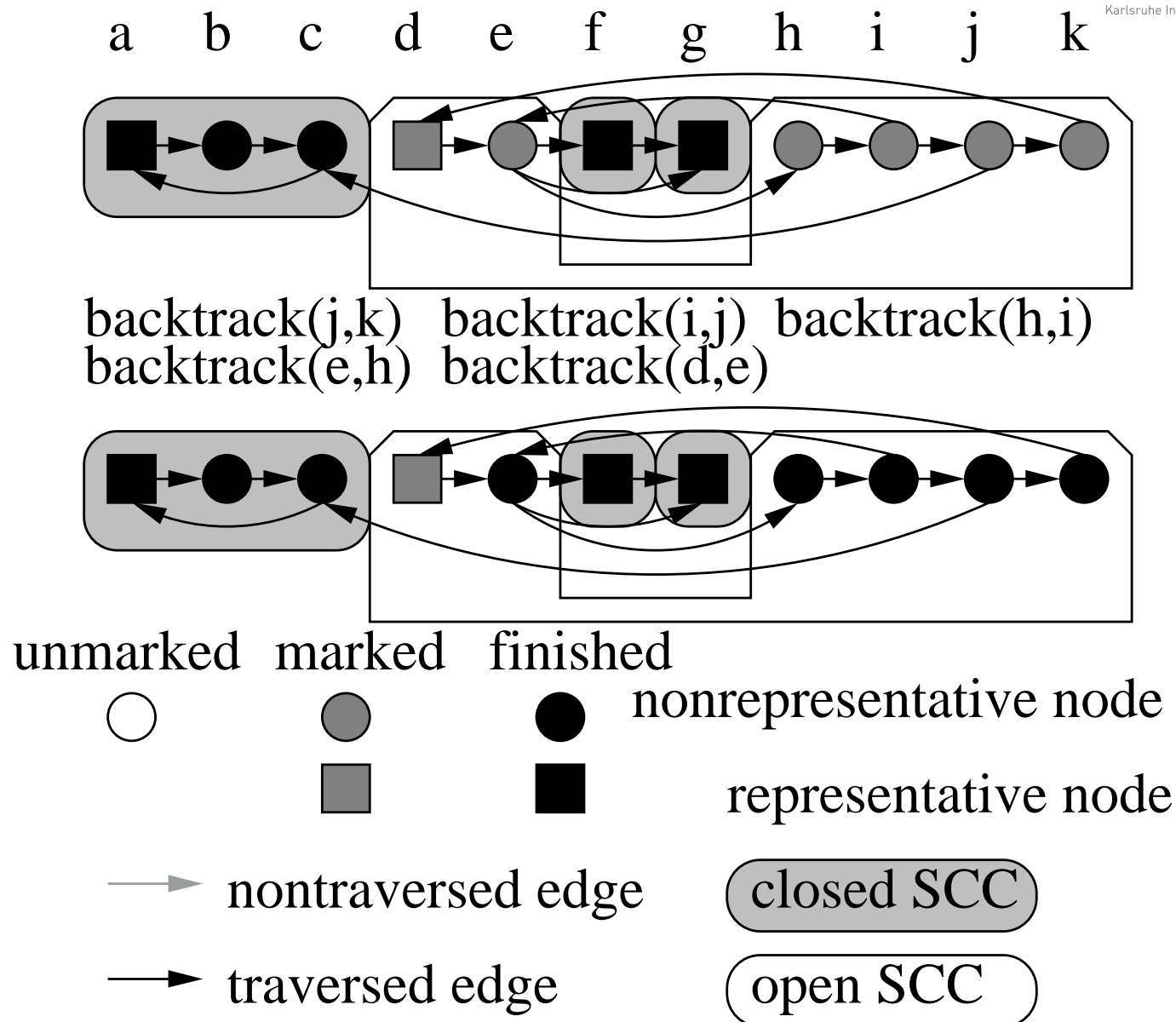


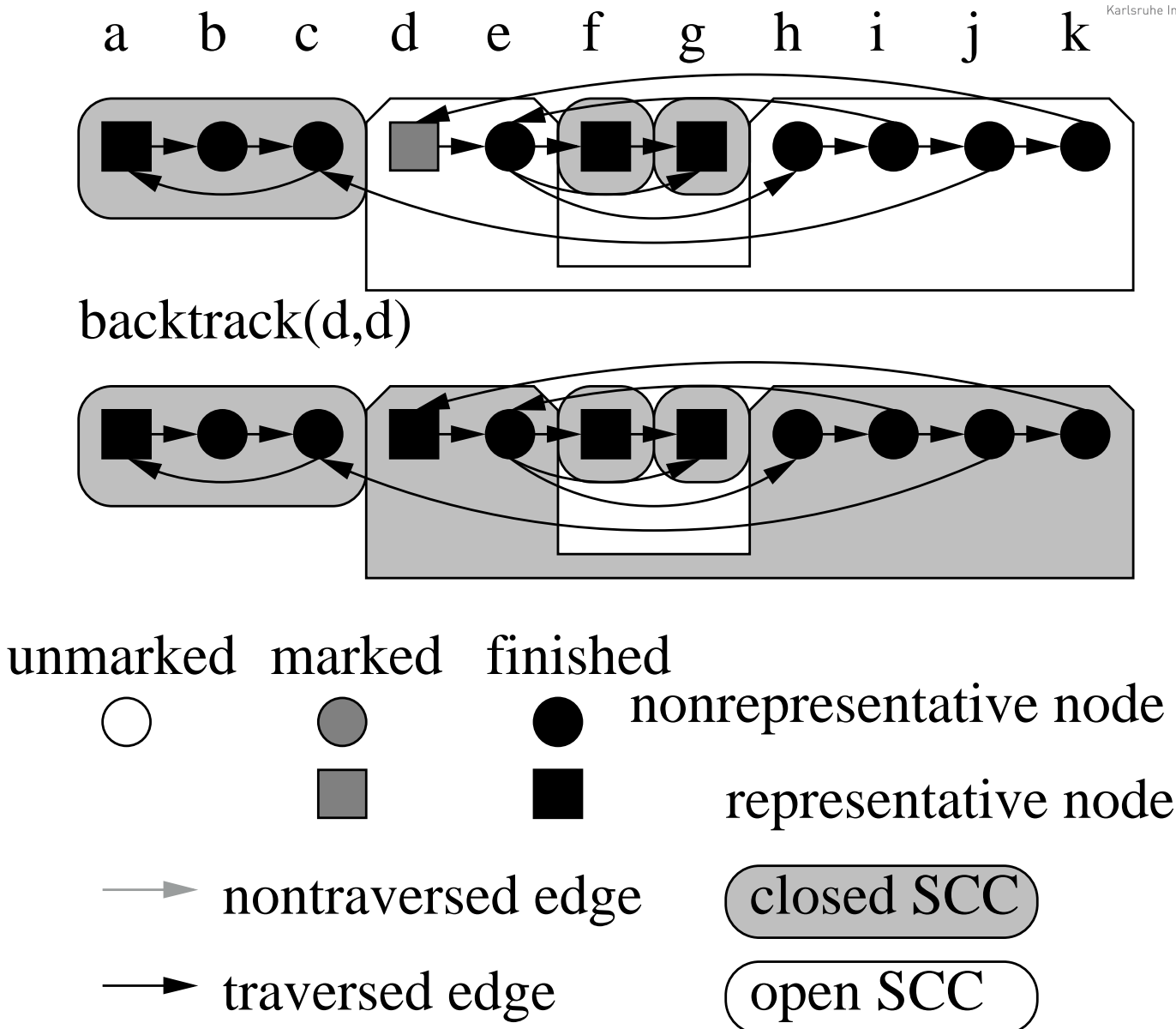
| unmarked | marked | finished |                        |
|----------|--------|----------|------------------------|
|          |        |          | nonrepresentative node |
|          |        |          | representative node    |
| →        |        |          | closed SCC             |
| →        |        |          | open SCC               |

→ nontraversed edge      → traversed edge







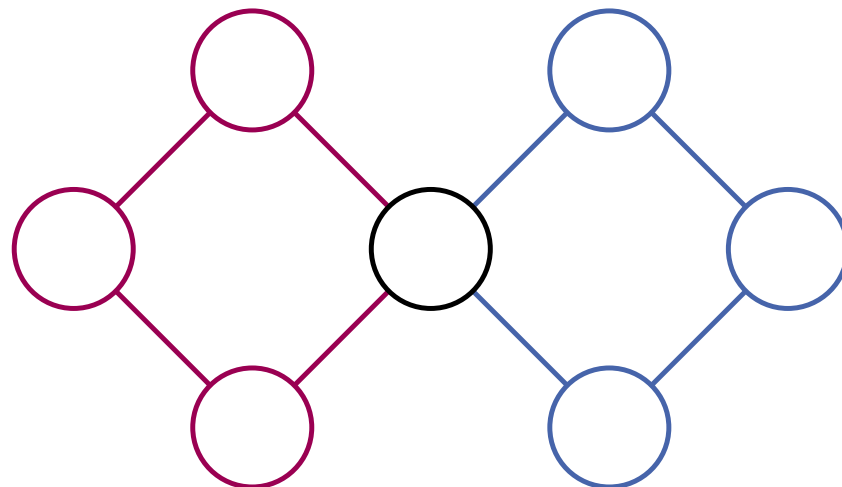


## Zusammenfassung: SCC Berechnung

- Einfache Instantiierung des DFS-Musters
- Nichttrivialer Korrektheitsbeweis
- Laufzeit  $O(m + n)$ : (Jeweils max.  $n$  push/pop Operationen)
- Ein einziger Durchlauf

## 2-zusammenhängende Komponenten (ungerichtet)

Bei entfernen eines Knotens bleibt die Komponente zusammenhängend.  
(Partitionierung der Kanten)



Geht in Zeit  $O(m + n)$  mit Algorithmus ähnlich zu SCC-Algorithmus

# Mehr DFS-basierte Linearzeitalgorithmen

- 3-zusammenhängende Komponenten
- Planaritätstest
- Einbettung planarer Graphen

# 4 Kürzeste Wege

Folien teilweise von Rob van Stee

**Eingabe:** Graph  $G = (V, E)$

Kostenfunktion/Kantengewicht  $c : E \rightarrow \mathbb{R}$

Anfangsknoten  $s$ .

**Ausgabe:** für alle  $v \in V$

Länge  $\mu(v)$  des kürzesten Pfades von  $s$  nach  $v$ ,

$\mu(v) := \min \{c(p) : p \text{ ist Pfad von } s \text{ nach } v\}$

mit  $c(\langle e_1, \dots, e_k \rangle) := \sum_{i=1}^k c(e_i)$ .

Oft wollen wir auch „geeignete“ Repräsentation der kürzesten Pfade.



# Kante $(u, v)$ relaxieren

falls  $d[u] + c(u, v) < d[v]$

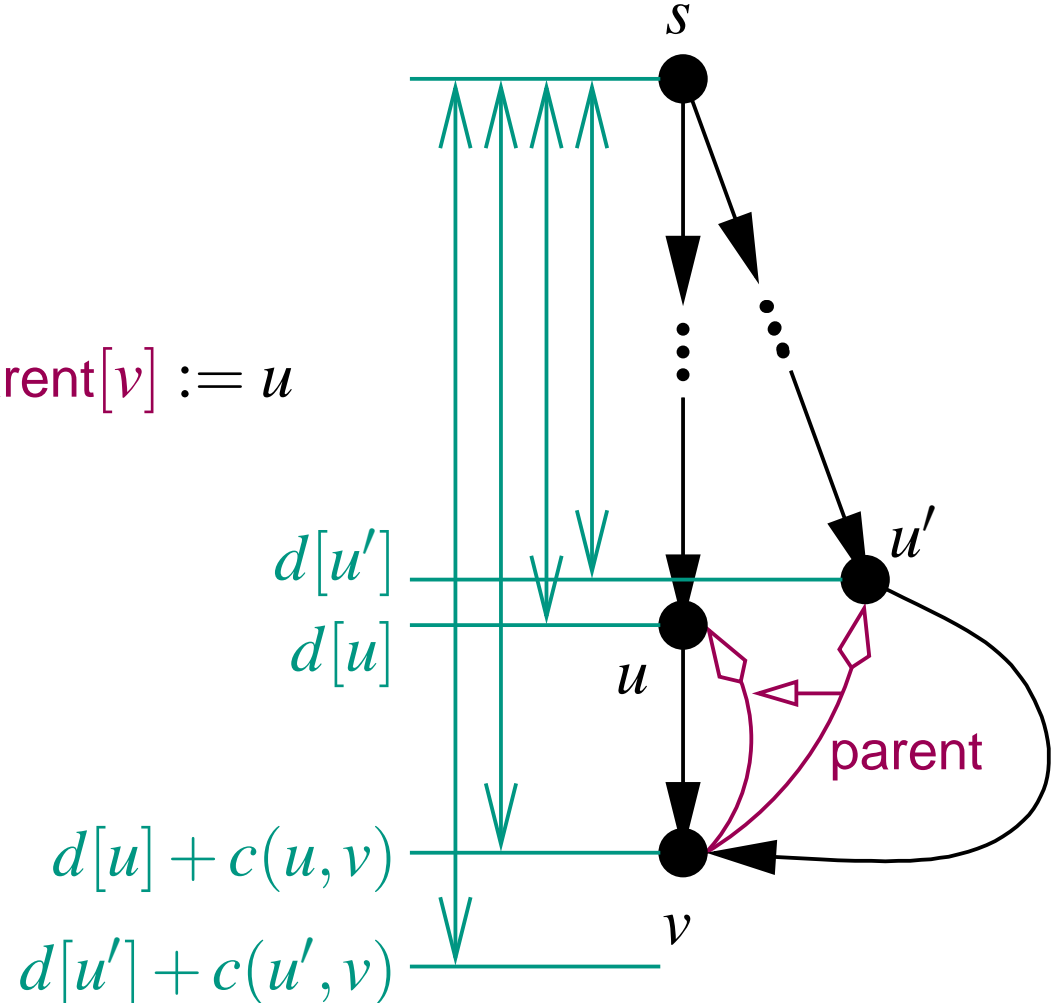
vielleicht  $d[v] = \infty$

setze  $d[v] := d[u] + c(u, v)$  und  $\text{parent}[v] := u$

Invarianten bleiben erhalten!

**Beobachtung:**

$d[v]$  Kann sich mehrmals ändern!



# Dijkstra's Algorithmus: Pseudocode

initialize  $d$ , parent

all nodes are non-scanned

**while**  $\exists$  non-scanned node  $u$  with  $d[u] < \infty$

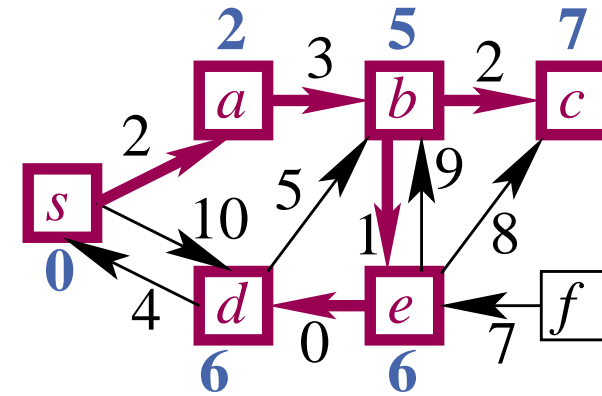
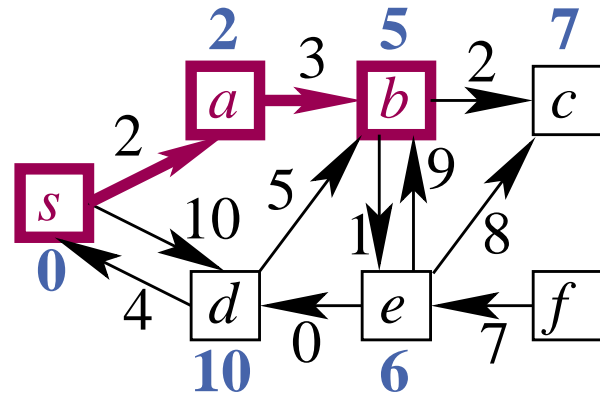
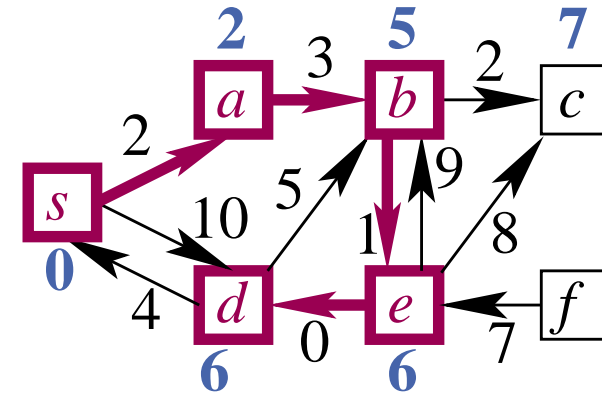
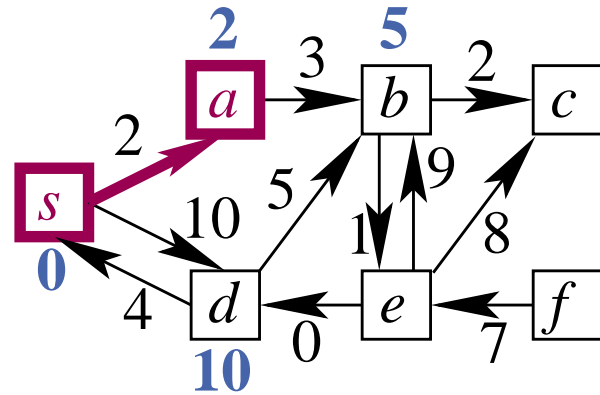
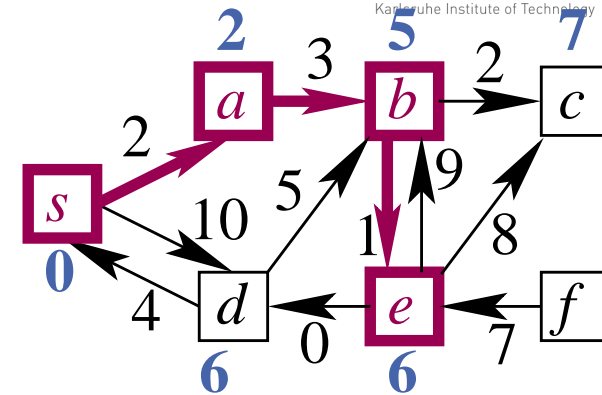
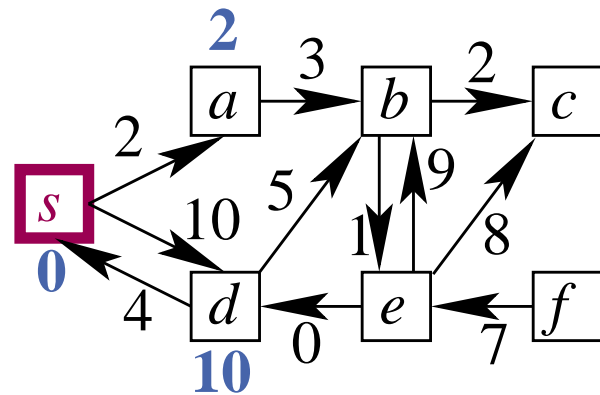
$u :=$  non-scanned node  $v$  with minimal  $d[v]$

**relax** all edges  $(u, v)$  out of  $u$

$u$  is scanned now

**Behauptung:** Am Ende definiert  $d$  die optimalen Entfernungen und parent die zugehörigen Wege

# Beispiel



# Laufzeit

$$T_{\text{Dijkstra}} = O(m \cdot T_{\text{decreaseKey}}(n) + n \cdot (T_{\text{deleteMin}}(n) + T_{\text{insert}}(n)))$$

Mit Fibonacci-Heapprioritätslisten:

- insert  $O(1)$
- decreaseKey  $O(1)$
- deleteMin  $O(\log n)$  (amortisiert)

$$\begin{aligned} T_{\text{DijkstraFib}} &= O(m \cdot 1 + n \cdot (\log n + 1)) \\ &= O(m + n \log n) \end{aligned}$$

Aber: konstante Faktoren in  $O(\cdot)$  sind hier größer als bei binären Heaps!

# Laufzeit im Durchschnitt

Bis jetzt:  $\leq m$  decreaseKeys ( $\leq 1 \times$  pro Kante)

Wieviel decreaseKeys **im Durchschnitt**?

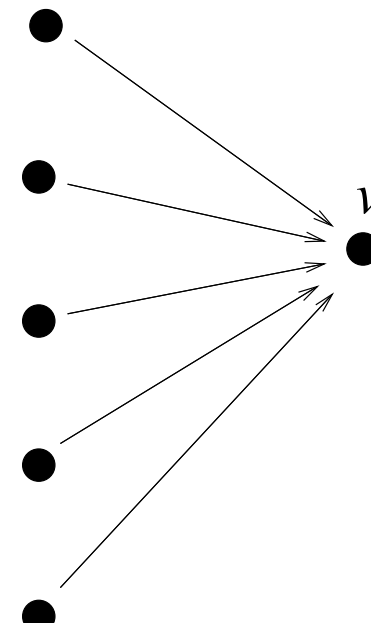
**Modell:**

- Beliebiger Graph  $G$
- Beliebiger Anfangsknoten  $s$
- Beliebige Mengen  $C(v)$   
von Kantengewichten für  
eingehende Kanten von Knoten  $v$

**Gemittelt** wird über alle Zuteilungen

$C(v) \rightarrow$  eingehende Kanten von  $v$

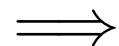
**Beispiel:** alle Kosten unabhängig identisch verteilt



$$\begin{aligned}\text{indegree}(v) &= 5 \\ C(v) &= \{c_1, \dots, c_5\}\end{aligned}$$

# Laufzeit im Durchschnitt

Probabilistische Sichtweise: Zufällige gleichverteilte Auswahl einer der zu mittelnden Eingaben.



wir suchen den **Erwartungswert** der Laufzeit

**Frage:** Unterschied zu erwarteter Laufzeit bei randomisierten Algorithmen ?

# Laufzeit im Durchschnitt

**Satz 1.**  $\mathbb{E}[\#\text{decreaseKey-Operationen}] = O\left(n \log \frac{m}{n}\right)$

Dann

$$\begin{aligned}\mathbb{E}(T_{\text{DijkstraBHeap}}) &= O\left(m + n \log \frac{m}{n} \cdot T_{\text{decreaseKey}}(n)\right. \\ &\quad \left.+ n \cdot (T_{\text{deleteMin}}(n) + T_{\text{insert}}(n))\right) \\ &= O\left(m + n \log \frac{m}{n} \log n + n \log n\right) \\ &= O\left(m + n \log \frac{m}{n} \log n\right)\end{aligned}$$

(wir hatten vorher  $T_{\text{DijkstraBHeap}} = O((m+n) \log n)$ )

$(T_{\text{DijkstraFib}} = O(m + n \log n)$  schlechtester Fall)

# Lineare Laufzeit für dichte Graphen

$m = \Omega(n \log n \log \log n) \Rightarrow$  lineare Laufzeit.

(nachrechnen)

Also hier u. U. besser als Fibonacci heaps

**Satz 1.**  $\mathbb{E}[\#\text{decreaseKey-Operationen}] = O\left(n \log \frac{m}{n}\right)$

**Satz 1.**  $\mathbb{E}[\#\text{decreaseKey-Operationen}] = O\left(n \log \frac{m}{n}\right)$

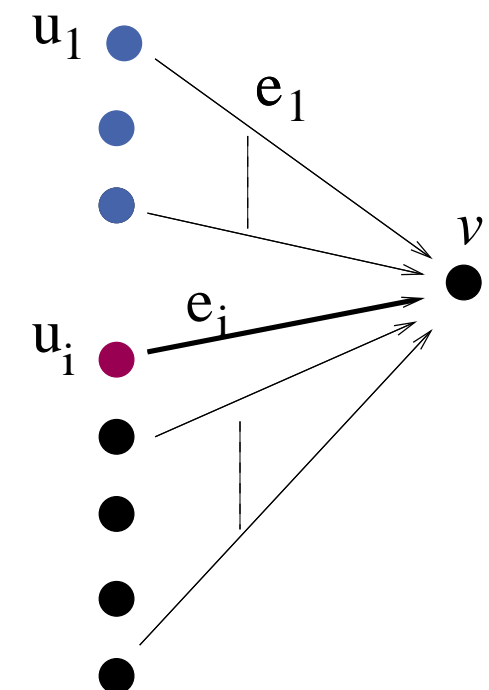
decreaseKey bei Bearbeitung von  $e_i$  nur wenn

$$\mu(u_i) + c(e_i) < \min_{j < i}(\mu(u_j) + c(e_j)).$$

Aber  $\mu(u_i) \geq \mu(u_j)$  für  $j < i$ , also muss gelten:

$$c(e_i) < \min_{j < i} c(e_j).$$

Präfixminimum



**Satz 1.**  $\mathbb{E}[\#\text{decreaseKey-Operationen}] = O\left(n \log \frac{m}{n}\right)$

Kosten in  $C(v)$  erscheinen in **zufälliger Reihenfolge**

Wie oft findet man ein neues Minimum bei zufälliger Reihenfolge?

Harmonische Zahl  $H_k$  (Sect. 2.8, s.u.)

Erstes Minimum: führt zu  $\text{insert}(v)$ .

Also  $\leq H_k - 1 \leq (\ln k + 1) - 1 = \ln k$  erwartete decreaseKeys

**Satz 1.**  $\mathbb{E}[\#\text{decreaseKey-Operationen}] = O\left(n \log \frac{m}{n}\right)$

Für Knoten  $v \leq H_k - 1 \leq \ln k$  decreaseKeys (erwartet) mit  
 $k = \text{indegree}(v)$ .

Insgesamt

$$\sum_{v \in V} \ln \text{indegree}(v) \leq n \ln \frac{m}{n}$$

(wegen Konkavität von  $\ln x$ )

# Präfixminima einer Zufallsfolge

Definiere Zufallsvariable  $M_n$  als Anzahl Präfixminima einer Folge von  $n$  verschiedenen Zahlen (in Abhängigkeit von einer Zufallspermutation)

Definiere Indikatorzufallsvariable  $I_i := 1$  gdw. die  $i$ -te Zahl ein Präfixminimum ist.

$$\begin{aligned} E[M_n] &= E\left[\sum_{i=1}^n I_i\right] \stackrel{\text{Lin. } E[\cdot]}{=} \sum_{i=1}^n E[I_i] \\ &= \sum_{i=1}^n \frac{1}{i} = H_n \text{ wegen } \mathbb{P}[I_i = 1] = \frac{1}{i} \end{aligned}$$

$$\underbrace{x_1, \dots, x_{i-1}}_{< x_i?}, \textcolor{violet}{x_i}, x_{i+1}, \dots, x_n$$

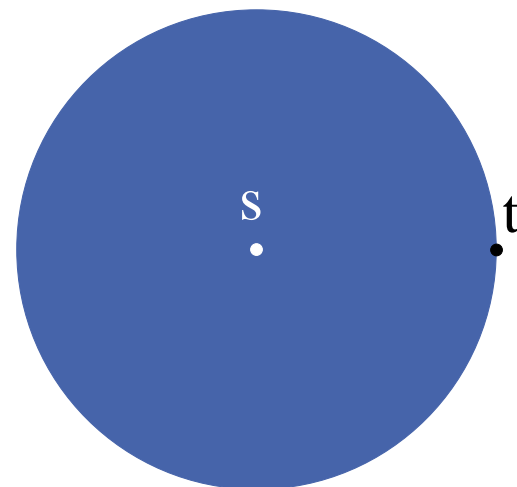
# Monotone ganzzahlige Prioritätslisten

Grundidee: Datenstruktur auf Anwendung **zuschneiden**

Dijkstra's Algorithmus benutzt die **Prioritätsliste monoton**:

Operationen insert und decreaseKey benutzen Distanzen der Form  
 $d[u] + c(e)$

Dieser Wert **nimmt ständig zu**



# Monotone ganzzahlige Prioritätslisten

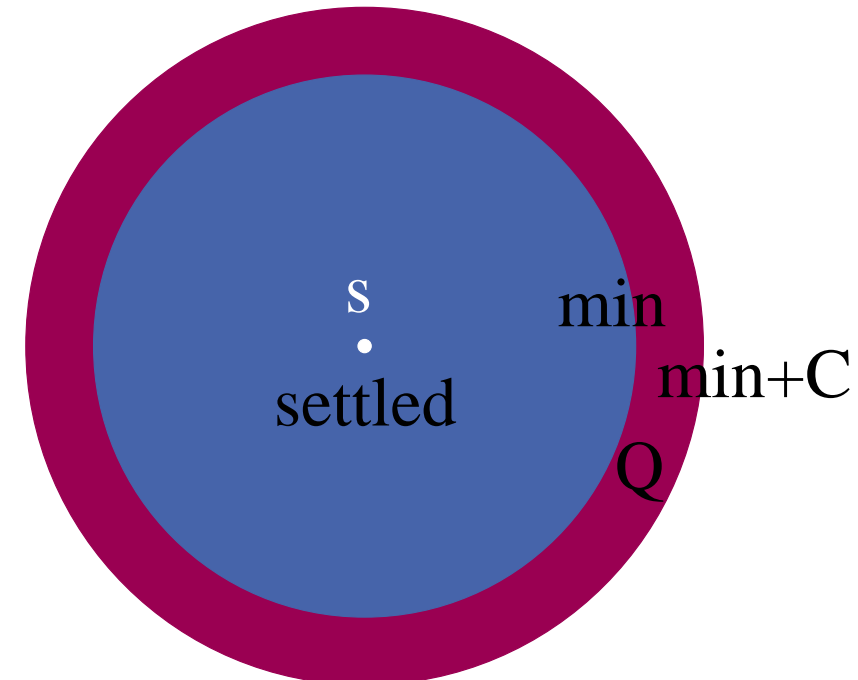
Annahme: Alle Kosten sind ganzzahlig und im Intervall  $[0, C]$

$$\implies \forall v \in V : d[v] \leq (n - 1)C$$

Es gilt sogar:

Sei  $\min$  der letzte Wert,  
der aus  $Q$  entfernt wurde.

In  $Q$  sind **immer**  
nur Knoten mit Distanzen im  
Interval  $[\min, \min + C]$ .

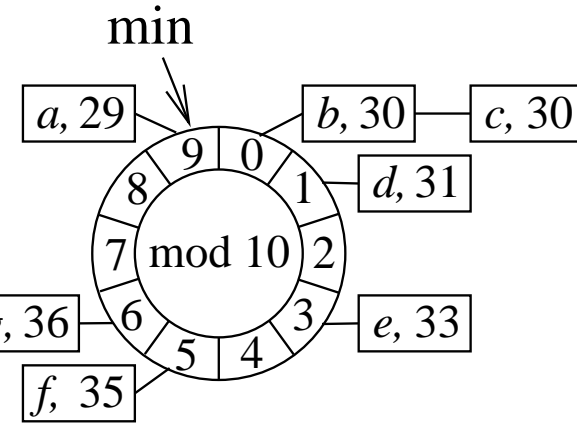


# Bucket-Queue

Zyklisches Array  $B$  von  $C + 1$  doppelt verketteten Listen

Knoten mit Distanz  $d[v]$  wird in  $B[d[v] \bmod (C+1)]$  gespeichert.

Bucket queue with  $C = 9$



Content=

$\langle (a, 29), (b, 30), (c, 30), (d, 31)$   
 $(e, 33), (f, 35), (g, 36) \rangle$

# Operationen

Initialisierung:  $C + 1$  leere Listen,  $\min = 0$

**insert( $v$ )**: fügt  $v$  in  $B[d[v] \bmod (C + 1)]$  ein

**decreaseKey( $v$ )**: entfernt  $v$  aus seiner Liste und

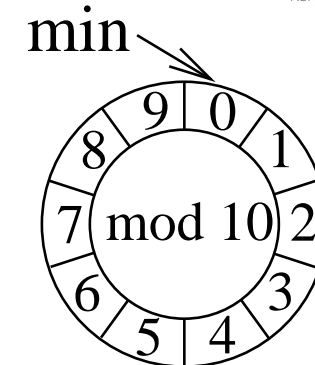
fügt es ein in  $B[d[v] \bmod (C + 1)]$   $O(1)$

**deleteMin**: fängt an bei Bucket  $B[\min \bmod (C + 1)]$ . Falls der leer ist,  $\min := \min + 1$ , wiederhole. erfordert Monotonizität!

$\min$  nimmt höchstens  $nC$  mal zu, höchstens  $n$  Elemente werden insgesamt aus Q entfernt  $\Rightarrow$

Gesamtkosten deleteMin-Operationen =  $O(n + nC) =$   $O(nC)$ .

Genauer:  $O(n + \text{maxPathLength})$



$O(1)$

# Laufzeit Dijkstra mit Bucket-Queues

$$T_{\text{Dijkstra}} = O(m \cdot T_{\text{decreaseKey}}(n) + \text{Kosten deleteMin-Operationen}$$

$$+ n \cdot T_{\text{insert}}(n)))$$

$$T_{\text{DijkstraBQ}} = O(m \cdot 1 + nC + n \cdot 1))$$

$$= O(m + nC) \text{ oder auch}$$

$$= O(m + n + \text{maxPathLength})$$

Mit Radix-Heaps finden wir sogar  $T_{\text{DijkstraRadix}} = O(m + n \cdot \log C)$

Idee: nicht alle Buckets gleich groß machen

# Radix-Heaps

Wir verwenden die Buckets -1 bis K, für  $K = 1 + \lfloor \log C \rfloor$

$\min$  = die zuletzt aus  $Q$  entfernte Distanz

Für jeden Knoten  $v \in Q$  gilt  $d[v] \in [\min, \dots, \min + C]$ .

Betrachte **binäre Repräsentation** der möglichen Distanzen in  $Q$ .

Nehme zum Beispiel  $C = 9$ , binär 1001. Dann  $K = 4$ .

Beispiel 1:  $\min = 10000$ , dann  $\forall v \in Q : d[v] \in [10000, 11001]$

Beispiel 2:  $\min = 11101$ , dann  $\forall v \in Q : d[v] \in [11101, 100110]$

Speichere  $v$  in Bucket  $B[i]$  falls  $d[v]$  und  $\min$  sich **zuerst an der iten Stelle unterscheiden**, (in  $B[K]$  falls  $i > K$ , in  $B[-1]$  falls sie sich nicht unterscheiden)

## Definition $msd(a, b)$

Die **Position** der **höchstwertigen** Binärziffer wo  $a$  und  $b$  sich unterscheiden

|             |                   |                  |         |
|-------------|-------------------|------------------|---------|
| $a$         | 1100 <b>1</b> 010 | 10101 <b>0</b> 0 | 1110110 |
| $b$         | 1100 <b>0</b> 101 | 10101 <b>1</b> 0 | 1110110 |
| $msd(a, b)$ | 3                 | 1                | -1      |

$msd(a, b)$  können wir mit Maschinenbefehlen sehr schnell berechnen

# Radix-Heap-Invariante

$v$  ist gespeichert in Bucket  $B[i]$  wo  $i = \min(msd(min, d[v]), K)$ .

Beispiel 1:  $\min = 10000, C = 9, K = 4$

| Bucket | $d[v]$ binär | $d[v]$ |
|--------|--------------|--------|
| -1     | 10000        | 16     |
| 0      | 10001        | 17     |
| 1      | 1001*        | 18,19  |
| 2      | 101**        | 20–23  |
| 3      | 11***        | 24–25  |
| 4      | -            | -      |

(In Bucket 4 wird nichts gespeichert)

# Radix-Heap-Invariante

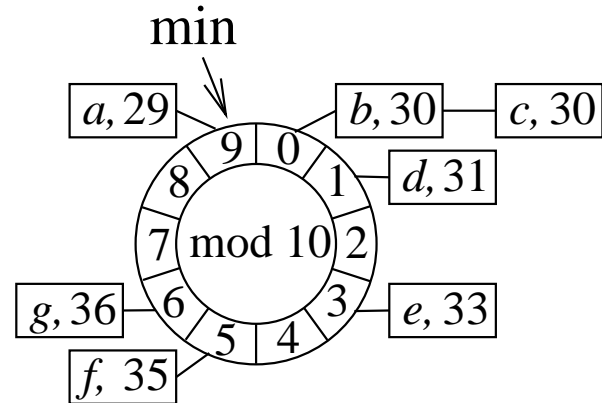
$v$  ist gespeichert in Bucket  $B[i]$  wo  $i = \min(msd(min, d[v]), K)$ .

Beispiel 2:  $\min = 11101$ ,  $C = 9$ , dann  $K = 4$

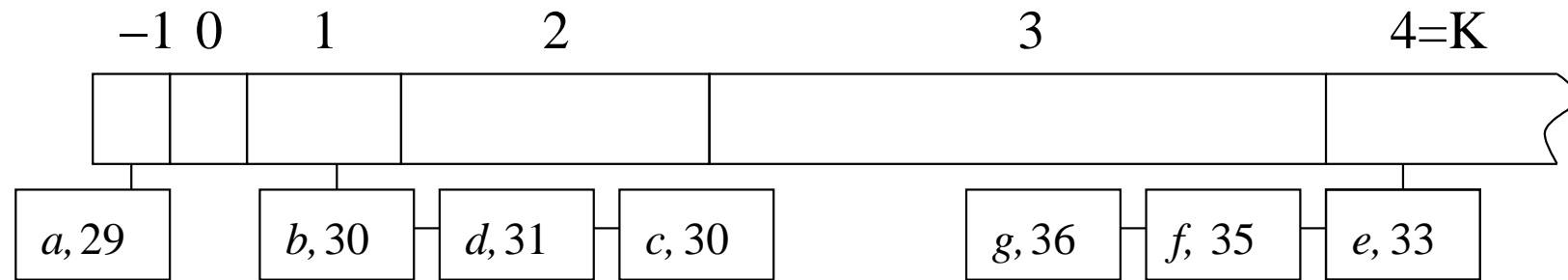
| Bucket | $d[v]$ binär     | $d[v]$       |
|--------|------------------|--------------|
| -1     | 11101            | 29           |
| 0      | -                | -            |
| 1      | 1111*            | 30,31        |
| 2      | -                | -            |
| 3      | -                | -            |
| 4      | 100000 und höher | 32 und höher |

Falls  $d[v] \geq 32$ , dann  $msd(\min, d[v]) > 4$ !

# Bucket-Queues und Radix-Heaps

Bucket queue with  $C = 9$ 

Content=

 $\langle(a,29), (b,30), (c,30), (d,31), (e,33), (f,35), (g,36)\rangle$ 


Binary Radix Heap

# Radix Heap: deleteMin

**Function** deleteMin: Element

result:=  $B[-1].popFront$

**if**  $B[-1] = \emptyset$

$i := \min \{j \in 0..K : B[j] \neq \emptyset\}$

move min  $B[i]$  to  $B[-1]$  and to min

**foreach**  $e \in B[i]$  **do** // exactly here invariant is violated !

move  $e$  to  $B[\min(msd(min, d[v]), K)]$

**return** result

$B[0], \dots, B[i-1]$ : leer, also nichts zu tun.

$B[i+1], \dots, B[K]$ : msd bleibt erhalten, weil altes und neues *min*

**gleich** für alle Bits  $j > i$

# Buckets $j > i$ bei Änderung von min

Beispiel:  $\min = \textcolor{teal}{100}00, C = 9, K = 4.$

Neues  $\min = \textcolor{teal}{100}10$ , war in Bucket 1

| Bucket | $\min = 10000$            |        | $\min = 10010$            |        |
|--------|---------------------------|--------|---------------------------|--------|
|        | $d[v]$ binär              | $d[v]$ | $d[v]$ binär              | $d[v]$ |
| -1     | $\textcolor{teal}{100}00$ | 16     | $\textcolor{teal}{100}10$ | 18     |
| 0      | 10001                     | 17     | 10011                     | 19     |
| 1      | 1001*                     | 18,19  | -                         | -      |
| 2      | 101**                     | 20–23  | 101**                     | 20-23  |
| 3      | 11***                     | 24–25  | 11***                     | 24-27  |
| 4      | -                         | -      | -                         | -      |

# Bucket $B[i]$ bei Änderung von $\min$

**Lemma:** Elemente aus  $B[i]$  gehen zu Buckets mit **kleineren** Indices

Wir zeigen nur den Fall  $i < K$ .

Sei  $\min_o$  der alte Wert von  $\min$ .

Case  $i < K$

|          | $i$      | 0 |  |
|----------|----------|---|--|
| $\min_o$ | $\alpha$ | 0 |  |
| $\min$   | $\alpha$ | 1 |  |
| $x$      | $\alpha$ | 1 |  |

# Kosten der deleteMin-Operationen

Bucket  $B[i]$  finden:  $O(i)$

Elemente aus  $B[i]$  verschieben:  $O(|B[i]|)$

Insgesamt  $O(K + |B[i]|)$  falls  $i \geq 0$ ,  $O(1)$  falls  $i = -1$

Verschiebung erfolgt immer nach **kleineren Indices**

Wir zahlen dafür **schon beim insert** (amortisierte Analyse):

es gibt höchstens  $K$  Verschiebungen eines Elements

# Laufzeit Dijkstra mit Radix-Heaps

Insgesamt finden wir amortisiert

- $T_{\text{insert}}(n) = \mathcal{O}(K)$
- $T_{\text{deleteMin}}(n) = \mathcal{O}(K)$
- $T_{\text{decreaseKey}}(n) = \mathcal{O}(1)$

$$T_{\text{Dijkstra}} = \mathcal{O}(m \cdot T_{\text{decreaseKey}}(n) + n \cdot (T_{\text{deleteMin}}(n) + T_{\text{insert}}(n)))$$

$$T_{\text{DijkstraRadix}} = \mathcal{O}(m + n \cdot (K + K)) = \mathcal{O}(m + n \cdot \log C)$$

# Lineare Laufzeit für zufällige Kantengewichte

**Vorher gesehen:** Dijkstra mit Bucket-Queues hat lineare Laufzeit **für dichte Graphen** ( $m > n \log n \log \log n$ )

**Letzte Folie:**  $T_{\text{DijkstraRadix}} = O(m + n \cdot \log C)$

**Jetzt:** Dijkstra mit Radix-Heaps hat **lineare Laufzeit** ( $O(m + n)$ ) falls Kantenkosten **identisch uniform verteilt** in  $0..C$   
–wir brauchen nur eine kleine Änderung im Algorithmus

# Änderung im Algorithmus für zufällige Kantengewichte

Vorberechnung von  $c_{\min}^{in}(v) := \min \{c((u, v) : (u, v) \in E)\}$  leichtestes eingehendes Kantengewicht.

Beobachtung:  $d[v] \leq \min + c_{\min}^{in}(v)$   
 $\implies d[v] = \mu(v).$

$\implies$  schiebe  $v$  in Menge  $F$  ungescannter Knoten mit korrekter Distanz  
Knoten in  $F$  werden bei nächster Gelegenheit gescannt.  
( $\approx F$  als Erweiterung von  $B[-1]$ .)

# Analyse

Ein Knoten  $v$  kommt **nie** in einem Bucket  $i$  mit  $i < \log c_{\min}^{\text{in}}(v)$

Also wird  $v$  höchstens  $K + 1 - \log c_{\min}^{\text{in}}(v)$  mal verschoben

**Kosten von Verschiebungen** sind dann insgesamt höchstens

$$\sum_v (K - \log c_{\min}^{\text{in}}(v) + 1) = n + \sum_v (K - \log c_{\min}^{\text{in}}(v)) \leq n + \sum_e (K - \log c(e)).$$

$K - \log c(e)$  = Anzahl Nullen am Anfang der binären Repräsentation von  $c(e)$  als  $K$ -Bit-Zahl.

$$\mathbb{P}(K - \log c(e) = i) = 2^{-i} \Rightarrow \mathbb{E}(K - \log c(e)) = \sum_{i \geq 0} i 2^{-i} \leq 2$$

Laufzeit =  $\mathcal{O}(m + n)$

# All-Pairs Shortest Paths

Bis jetzt gab es immer einen bestimmten Anfangsknoten  $s$

Wie können wir kürzeste Pfade für **alle** Paare  $(u, v)$  in  $G$  bestimmen?

Annahme: negative Kosten erlaubt, aber keine negativen **Kreise**

Lösung 1:  $n$  mal Bellman-Ford ausführen

... Laufzeit  $O(n^2m)$

Lösung 2: **Knotenpotentiale**

... Laufzeit  $O(nm + n^2 \log n)$ , deutlich schneller

# Knotenpotentiale

Jeder Knoten bekommt ein Potential  $\text{pot}(v)$

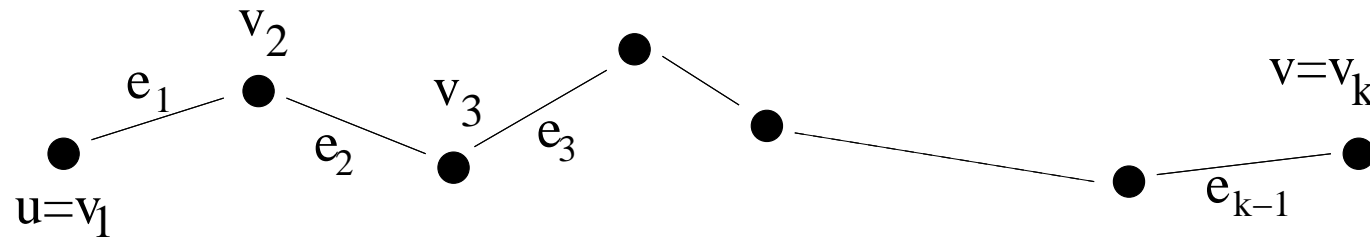
Mit Hilfe der Potentiale definieren wir **reduzierte Kosten**  $\bar{c}(e)$  für Kante  $e = (u, v)$  als

$$\bar{c}(e) = \text{pot}(u) + c(e) - \text{pot}(v).$$

Mit diesen Kosten finden wir die **gleichen** kürzesten Pfade wie vorher!

Gilt für **alle** möglichen Potentiale – wir können sie also frei definieren

# Knotenpotentiale



Sei  $p$  ein Pfad von  $u$  nach  $v$  mit Kosten  $c(p)$ . Dann

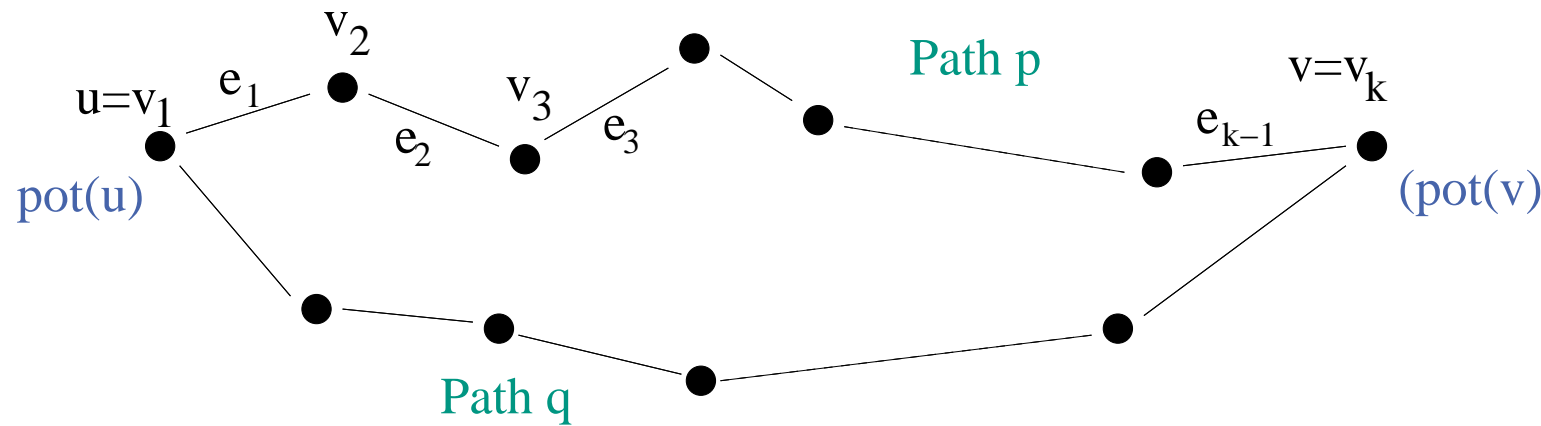
$$\begin{aligned}
 \bar{c}(p) &= \sum_{i=1}^{k-1} \bar{c}(e_i) = \sum_{i=1}^{k-1} (\text{pot}(v_i) + c(e_i) - \text{pot}(v_{i+1})) \\
 &= \text{pot}(v_1) + \sum_{i=1}^{k-1} c(e_i) - \text{pot}(v_k) \\
 &= \text{pot}(v_1) + c(p) - \text{pot}(v_k).
 \end{aligned}$$

# Knotenpotentiale

Sei  $p$  ein Pfad von  $u$  nach  $v$  mit Kosten  $c(p)$ . Dann

$$\bar{c}(p) = \text{pot}(v_0) + c(p) - \text{pot}(v_k).$$

Sei  $q$  ein anderer  $u$ - $v$ -Pfad, dann  $c(p) \leq c(q) \Leftrightarrow \bar{c}(p) \leq \bar{c}(q)$ .



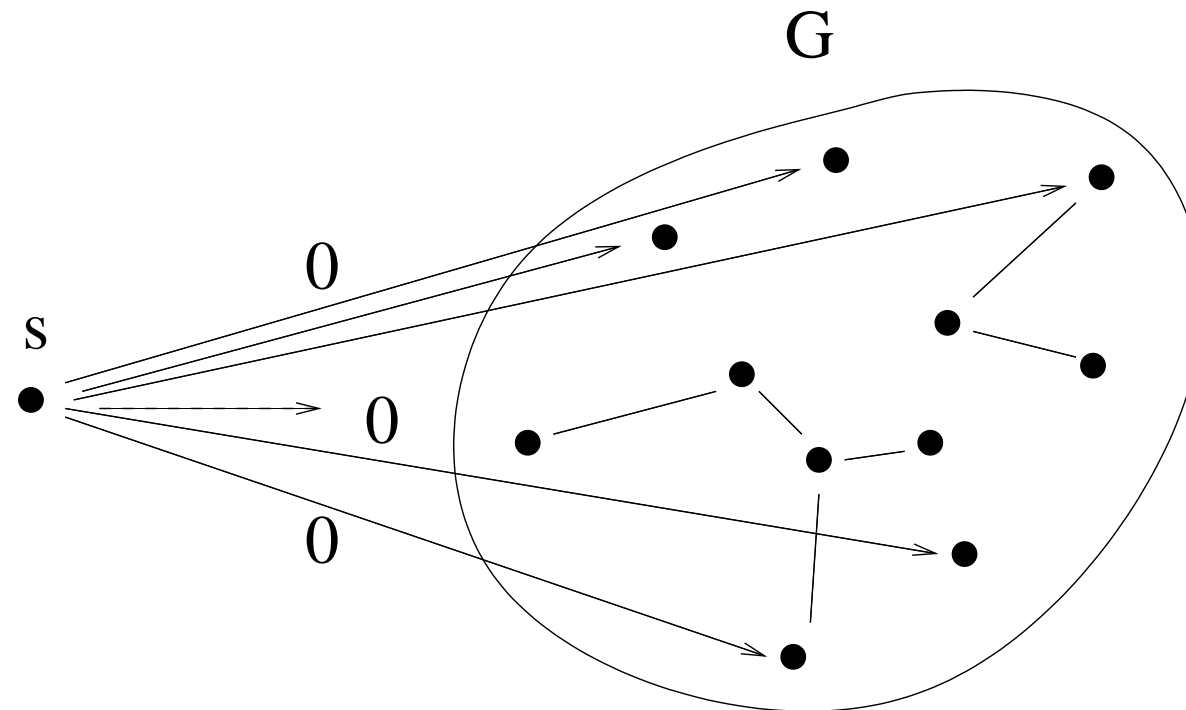
**Definition:**  $\mu(u, v)$  = kürzeste Distanz von  $u$  nach  $v$

# Hilfsknoten

Wir fügen einen **Hilfsknoten  $s$**  an  $G$  hinzu

Für alle  $v \in V$  fügen wir eine Kante  $(s, v)$  hinzu mit Kosten 0

Berechne kürzeste Pfade **von  $s$  aus** mit Bellman-Ford



# Definition der Potentiale

Definiere  $\text{pot}(v) := \mu(v)$  für alle  $v \in V$

Jetzt sind die reduzierten Kosten alle **nicht negativ**: also können wir Dijkstra benutzen! (Evtl.  $s$  wieder entfernen...)

- Keine negativen Kreise, also  $\text{pot}(v)$  wohldefiniert
- Für beliebige Kante  $(u, v)$  gilt

$$\mu(u) + c(e) \geq \mu(v)$$

deshalb

$$\bar{c}(e) = \mu(u) + c(e) - \mu(v) \geq 0$$

# Algorithmus

## All-Pairs Shortest Paths in the Absence of Negative Cycles

neuer Knoten  $s$

**foreach**  $v \in V$  **do** füge Kante  $(s, v)$  ein (Kosten 0) //  $O(n)$

$\text{pot} := \mu := \text{BellmanFordSSSP}(s, c)$  //  $O(nm)$

**foreach** Knoten  $x \in V$  **do** //  $O(n(m + n \log n))$

$\bar{\mu}(x, \cdot) := \text{DijkstraSSSP}(x, \bar{c})$

// zurück zur ursprünglichen Kostenfunktion

**foreach**  $e = (v, w) \in V \times V$  **do** //  $O(n^2)$

$\mu(v, w) := \bar{\mu}(v, w) + \text{pot}(w) - \text{pot}(v)$

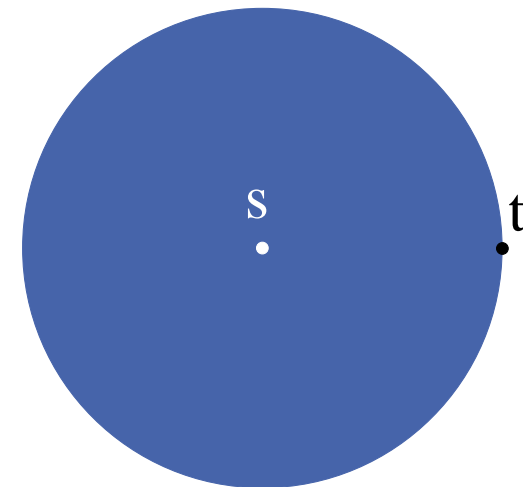
# Laufzeit

- $s$  hinzufügen:  $O(n)$
- Postprocessing:  $O(m)$  (zurück zu den ursprünglichen Kosten)
- $n$  mal Dijkstra dominiert

Laufzeit  $O(n(m + n \log n)) = O(nm + n^2 \log n)$

# Distanz zu einem Zielknoten $t$

Was machen wir, wenn wir nur die Distanz von  $s$  zu einem bestimmten Knoten  $t$  wissen wollen?



## Trick 0:

Dijkstra hört auf, wenn  $t$  aus  $Q$  entfernt wird

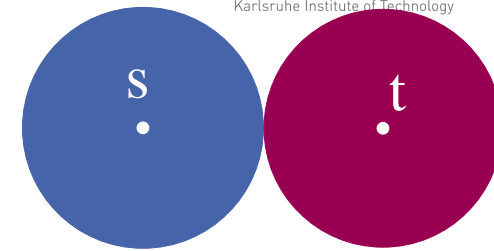
Spart "im Durchschnitt" Hälfte der Scans

Frage: Wieviel spart es (meist) beim Europa-Navi?



# Ideen für Routenplanung

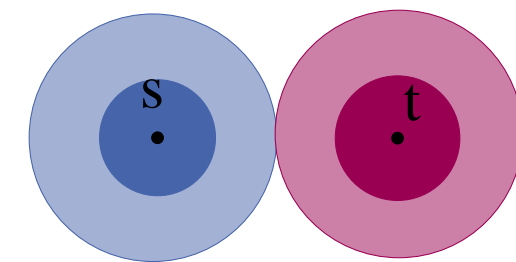
Vorwärts + Rückwärtssuche



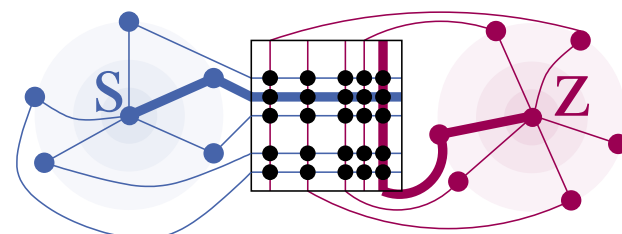
Zielgerichtete Suche



Hierarchien ausnutzen

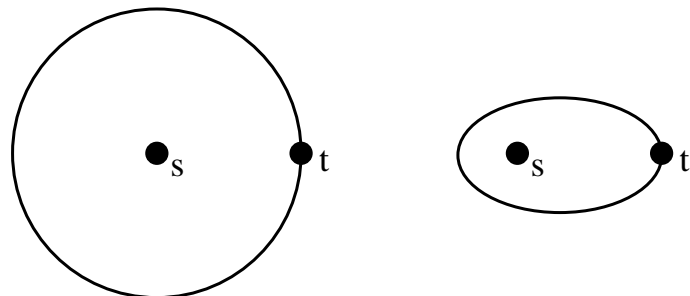


Teilabschnitte tabellieren



# $A^*$ -Suche

Idee: suche “in die Richtung von  $t$ ”



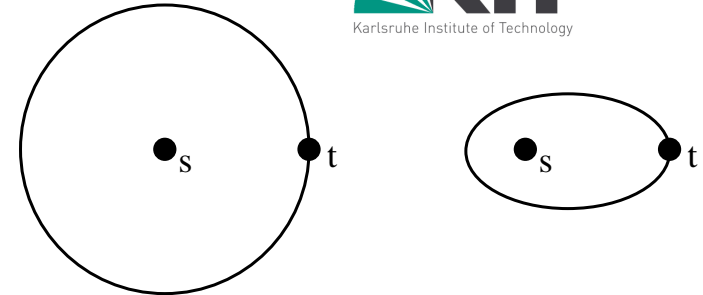
Annahme: Wir kennen eine Funktion  $f(v)$  die  $\mu(v, t)$  schätzt  $\forall v$

Definiere  $\text{pot}(v) = f(v)$  und  $\bar{c}(u, v) = c(u, v) + f(v) - f(u)$

[Oder: in Dijkstra's Algorithmus, entferne nicht  $v$  mit minimalem  $d[v]$  aus  $Q$ , sondern  $v$  mit minimalem  $d[v] + f[v]$ ]

# $A^*$ -Suche

Idee: suche “in die Richtung von  $t$ ”

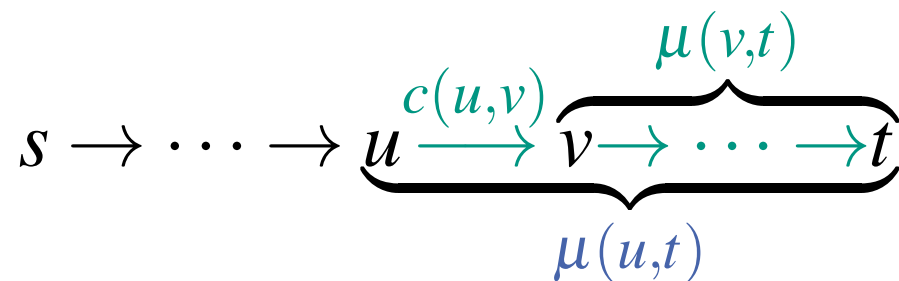


Annahme: wir kennen eine Funktion  $f(v)$  die  $\mu(v, t)$  schätzt  $\forall v$

Definiere  $\text{pot}(v) = f(v)$  und  $\bar{c}(u, v) = c(u, v) + f(v) - f(u)$

Beispiel:  $f(v) = \mu(v, t)$ .

Dann gilt:  $\bar{c}(u, v) = c(u, v) + \mu(v, t) - \mu(u, t) = 0$  falls  $(u, v)$  auf dem kürzesten Pfad von  $s$  nach  $t$  liegt.



Also scannt Dijkstra nur die Knoten auf diesem Pfad!

# Benötigte Eigenschaften von $f(v)$

- Konsistenz (reduzierte Kosten nicht negativ):

$$c(e) + f(v) \geq f(u) \quad \forall e = (u, v)$$

- $f(v) \leq \mu(v, t) \quad \forall v \in V$ . Dann gilt  $f(t) = 0$  und wir können aufhören wenn  $t$  aus  $Q$  entfernt wird.

Sei  $p$  irgendein Pfad von  $s$  nach  $t$ .

Alle Kanten auf  $p$  sind relaxiert?  $\Rightarrow d[t] \leq c(p)$ .

Sonst:  $\exists v \in p \cap Q$ , und  $d[t] + f(t) \leq d[v] + f(v)$  weil  $t$  schon entfernt wurde. Deshalb

$$d[t] = d[t] + f(t) \leq d[v] + f(v) \leq d[v] + \mu(v, t) \leq c(p)$$

# Wie finden wir $f(v)$ ?

Wir brauchen Heuristiken für  $f(v)$ .

Strecke im Straßennetzwerk:  $f(v) = \text{euklidischer Abstand } ||s - t||_2$

bringt deutliche aber nicht überragende Beschleunigung

Fahrzeit: 
$$\frac{||s - t||_2}{\text{Höchstgeschwindigkeit}}$$
 praktisch nutzlos

Noch besser aber mit Vorberechnung: **Landmarks**

# Landmarks

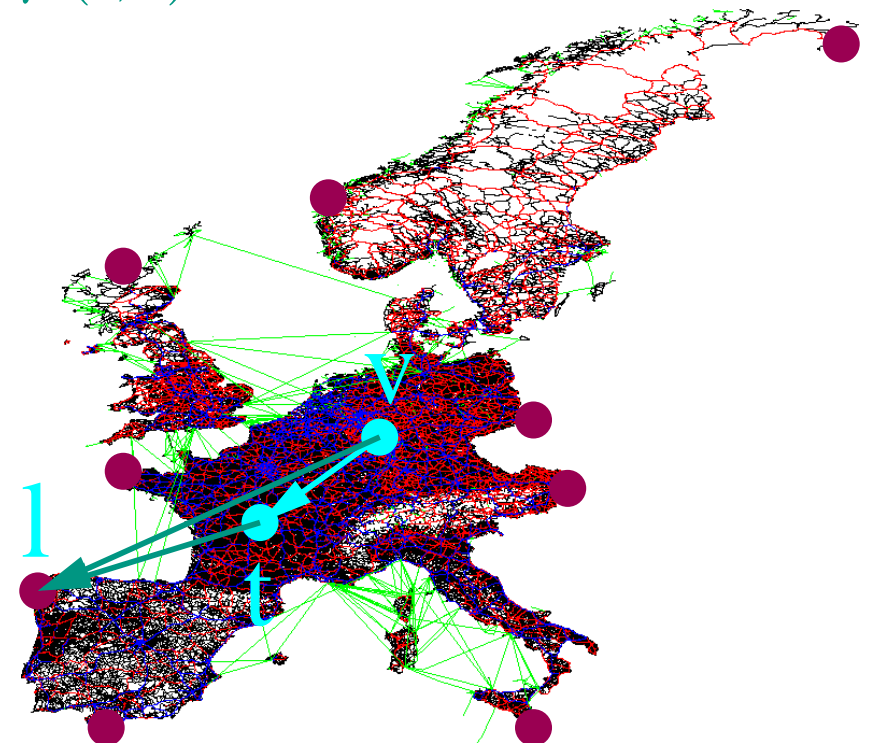
[Goldberg Harrelson 2003]

**Vorberechnung:** Wähle **Landmarkmenge  $L$ .**  $\forall \ell \in L, v \in V$  berechne/speichere  $\mu(v, \ell)$ .

**Query:** Suche Landmark  $\ell \in L$  "hinter" dem Ziel.

Benutze untere Schranke  $f_\ell(v) = \mu(v, \ell) - \mu(t, \ell)$

- + Konzeptuell einfach
- + Erhebliche Beschleunigungen  
( $\approx$  Faktor 20 im Mittel)
- + Kombinierbar mit anderen Techniken
- Landmarkauswahl kompliziert
- hoher Platzverbrauch



## Zusammenfassung Kürzeste Wege

- Nichtriviale Beispiele für Analyse im Mittel. Ähnlich für MST
- Monotone, ganzzahlige Prioritätslisten als Beispiel wie Datenstrukturen auf Algorithmus angepasst werden
- Knotenpotentiale allgemein nützlich in Graphenalgorithmen
- Aktuelle Forschung trifft klassische Algorithmik

# 5 Maximum Flows and Matchings

[mit Kurz Mehlhorn, Rob van Stee]

Folien auf Englisch

Literatur:

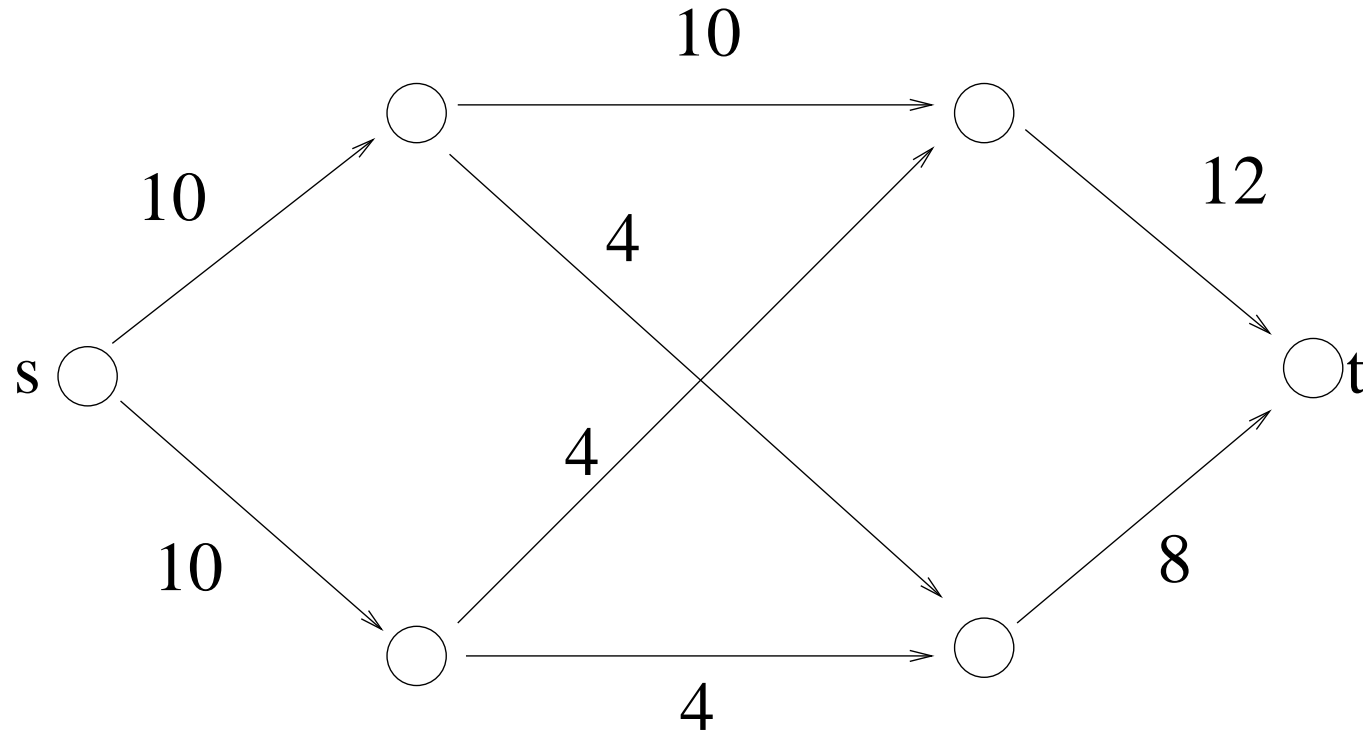
[Mehlhorn / Näher, The LEDA Platform of Combinatorial and Geometric Computing, Cambridge University Press, 1999]

[http://www.mpi-inf.mpg.de/~mehlhorn/ftp/LEDAbook/Graph\\_alg.ps](http://www.mpi-inf.mpg.de/~mehlhorn/ftp/LEDAbook/Graph_alg.ps)

[Ahuja, Magnanti, Orlin, Network Flows, Prentice Hall, 1993]

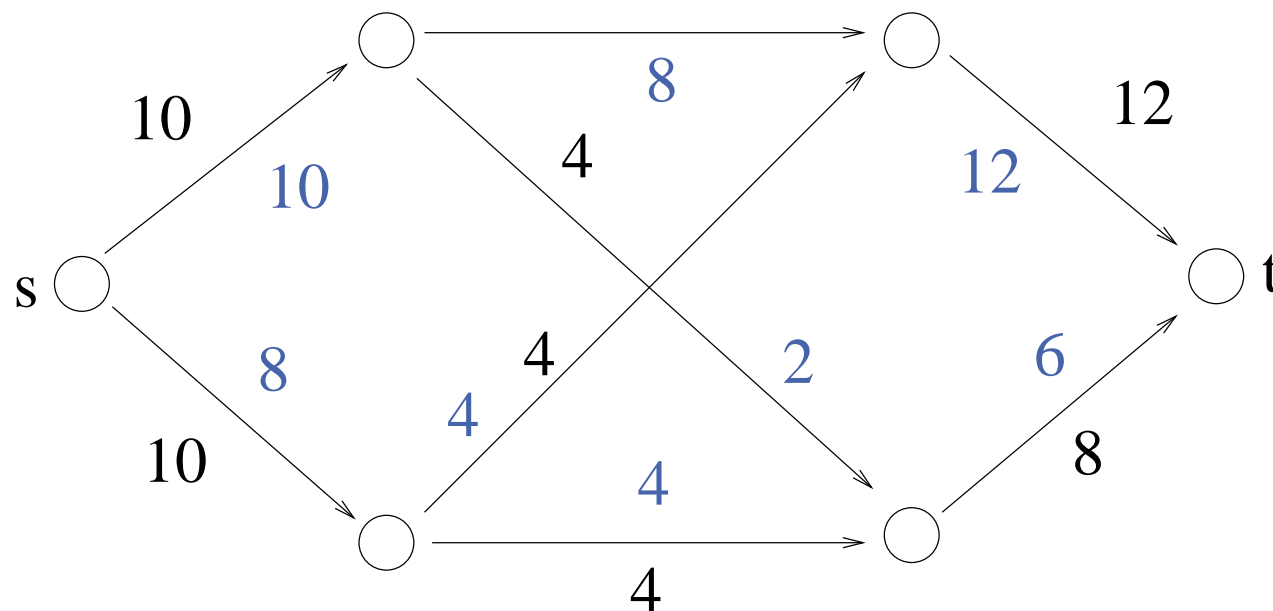
# Definitions: Network

- Network = directed weighted graph with  
source node  $s$  and sink node  $t$
- $s$  has no incoming edges,  $t$  has no outgoing edges
- Weight  $c_e$  of an edge  $e$  = capacity of  $e$  (nonnegative!)



# Definitions: Flows

- Flow = function  $f_e$  on the edges,  $0 \leq f_e \leq c_e \forall e$   
 $\forall v \in V \setminus \{s, t\}$ : total incoming flow = total outgoing flow
- Value of a flow  $\text{val}(f) = \text{total outgoing flow from } s =$   
**total flow going into  $t$**
- Goal: find a flow with maximum value

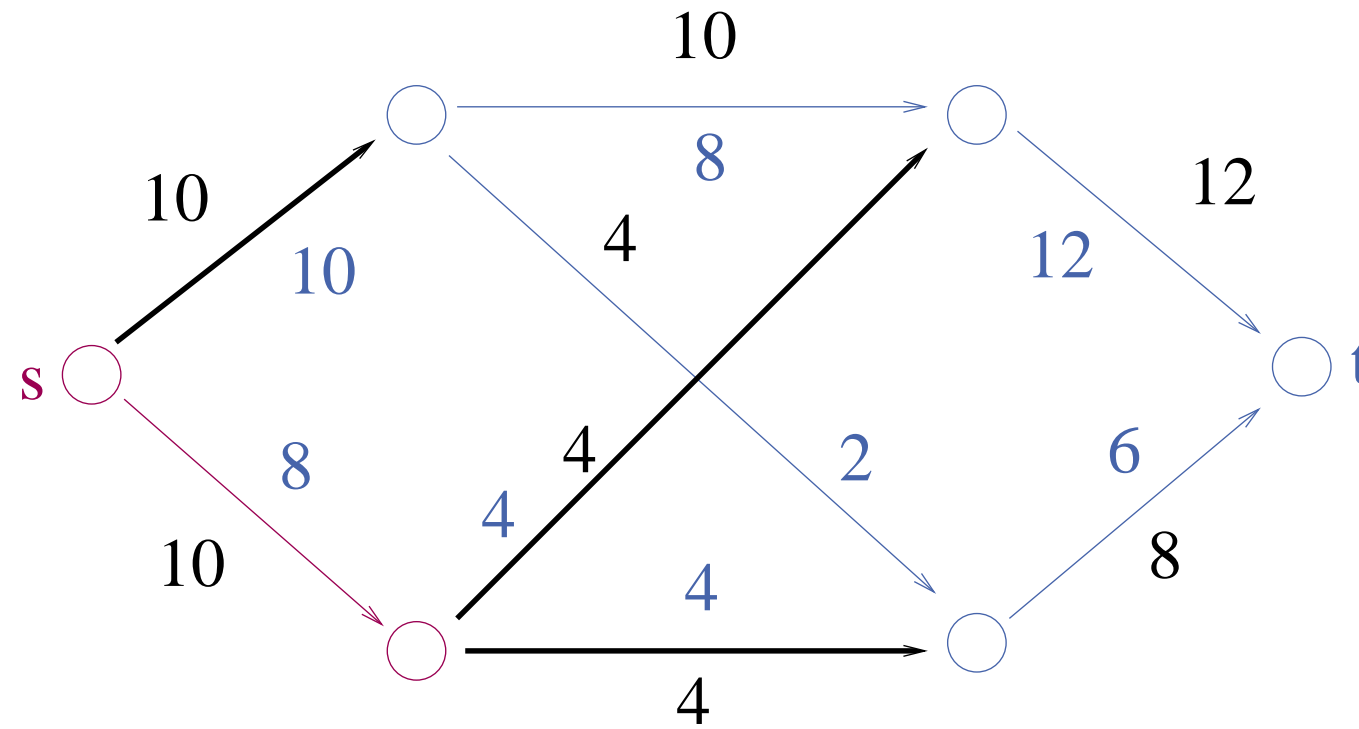


## Definitions: (Minimum) $s$ - $t$ Cuts

An  $s$ - $t$  cut is partition of  $V$  into  $S$  and  $T$  with  $s \in S$  and  $t \in T$ .

The **capacity** of this cut is:

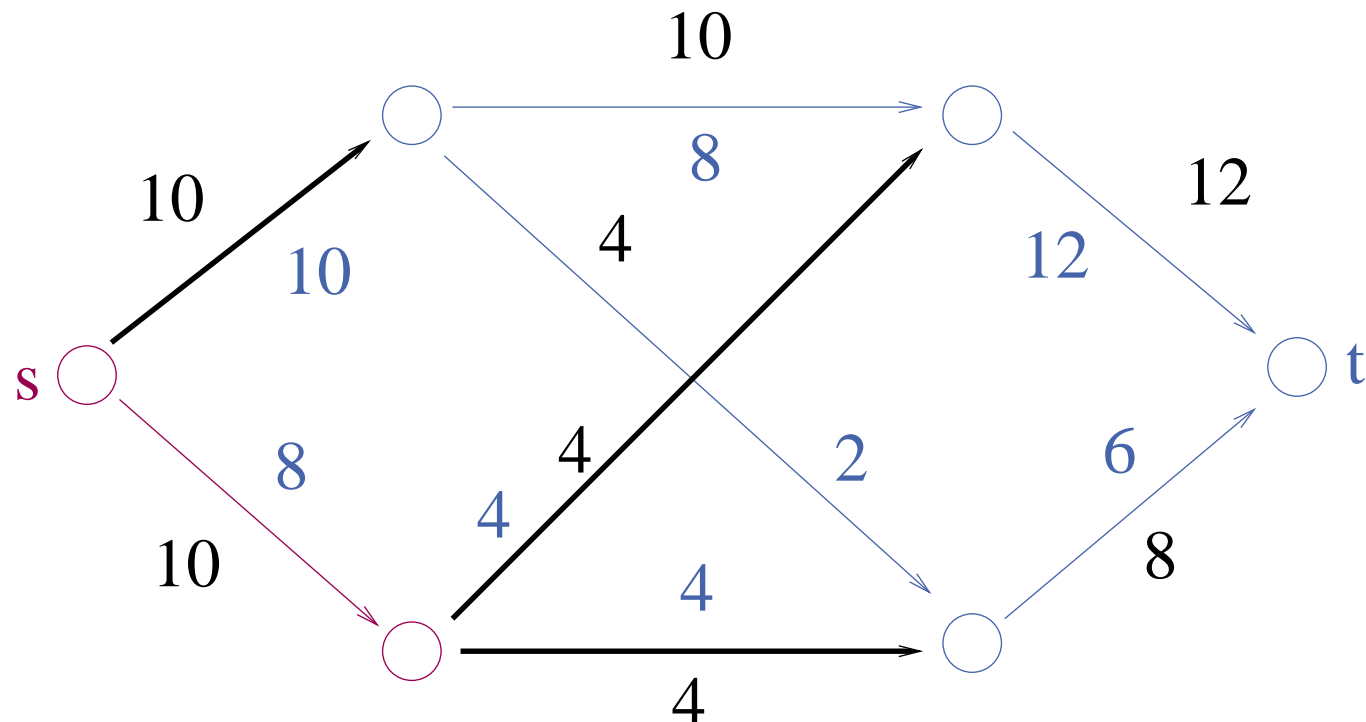
$$\sum \{c_{(u,v)} : u \in S, v \in T\}$$



# Duality Between Flows and Cuts

**Theorem:** [Elias/Feinstein/Shannon, Ford/Fulkerson 1956]

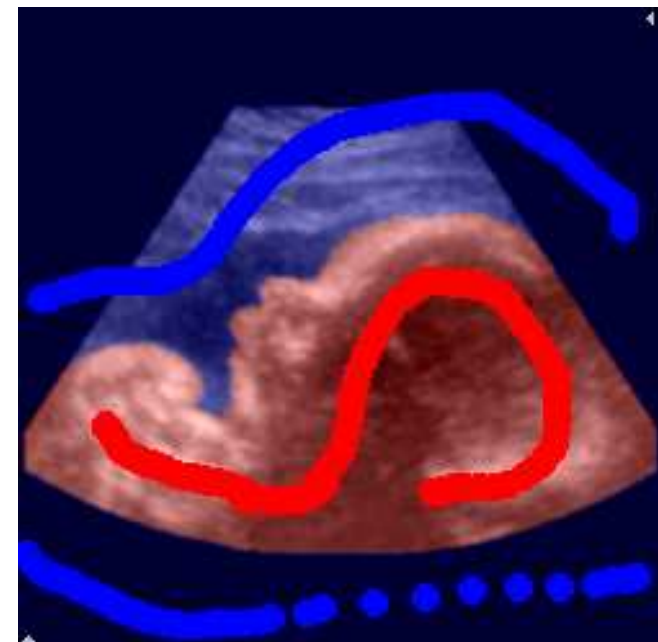
Value of an  $s$ - $t$  max-flow = minimum capacity of an  $s$ - $t$  cut.



**Proof:** later

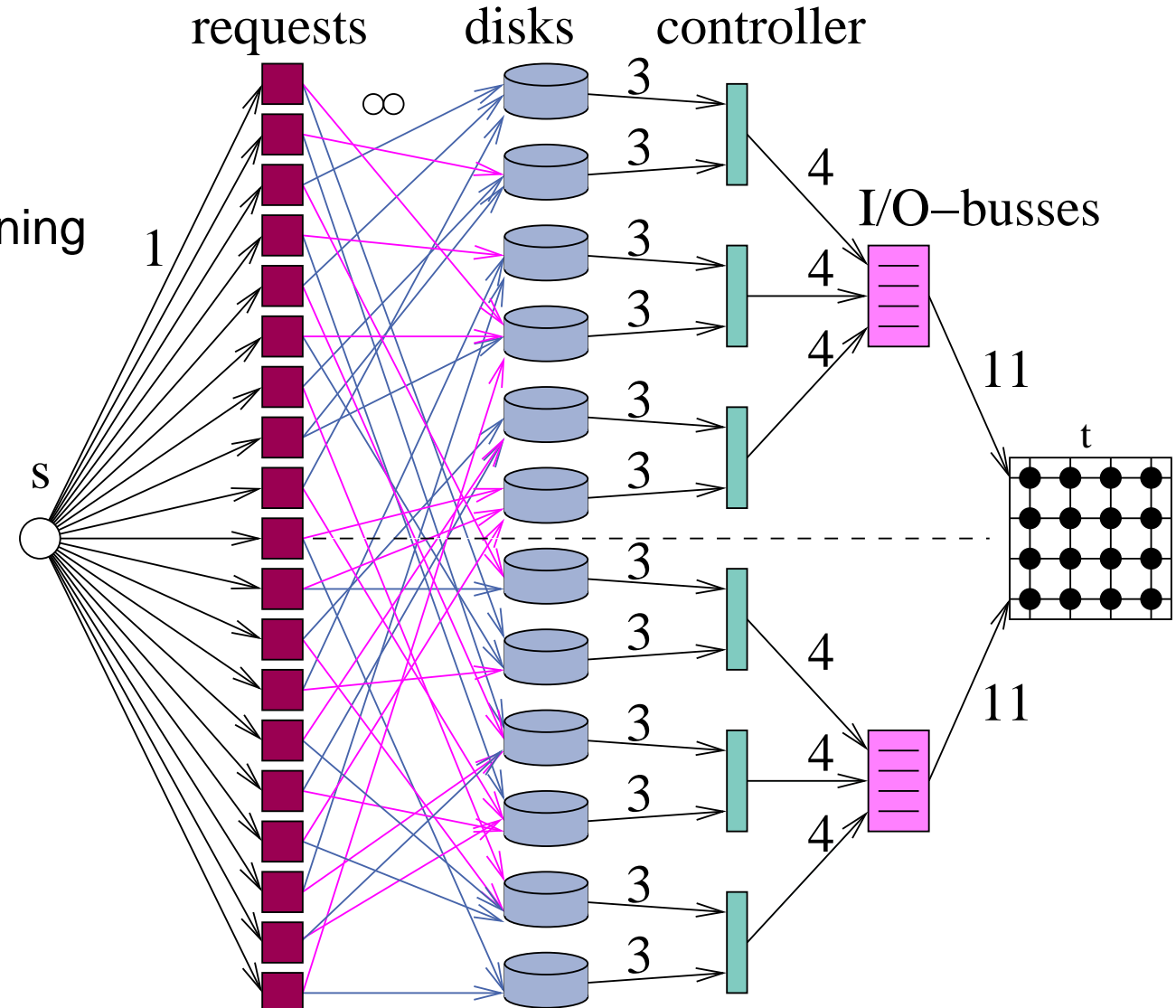
# Applications

- Oil pipes
- Traffic flows on highways
- Image Processing <http://vision.csd.uwo.ca/maxflow-data>
  - segmentation
  - stereo processing
  - multiview reconstruction
  - surface fitting
- disk/machine/tanker scheduling
- matrix rounding
- ...



# Applications in our Group

- multicasting using  
**network coding**
- balanced  $k$  partitioning
- disk scheduling



# Option 1: linear programming

- Flow variables  $x_e$  for each edge  $e$
- Flow on each edge is at most its capacity
- Incoming flow at each vertex = outgoing flow from this vertex
- Maximize outgoing flow from starting vertex

We can do better!

# Algorithms 1956–now

| Year | Author         | Running time     |                        |
|------|----------------|------------------|------------------------|
| 1956 | Ford-Fulkerson | $O(mnU)$         |                        |
| 1969 | Edmonds-Karp   | $O(m^2n)$        |                        |
| 1970 | Dinic          | $O(mn^2)$        |                        |
| 1973 | Dinic-Gabow    | $O(mn \log U)$   | $n =$ number of nodes  |
| 1974 | Karzanov       | $O(n^3)$         | $m =$ number of arcs   |
| 1977 | Cherkassky     | $O(n^2\sqrt{m})$ | $U =$ largest capacity |
| 1980 | Galil-Naamad   | $O(mn \log^2 n)$ |                        |
| 1983 | Sleator-Tarjan | $O(mn \log n)$   |                        |

| Year | Author                    | Running time                                                   |
|------|---------------------------|----------------------------------------------------------------|
| 1986 | Goldberg-Tarjan           | $O(mn \log(n^2/m))$                                            |
| 1987 | Ahuja-Orlin               | $O(mn + n^2 \log U)$                                           |
| 1987 | Ahuja-Orlin-Tarjan        | $O(mn \log(2 + n\sqrt{\log U}/m))$                             |
| 1990 | Cheriyan-Hagerup-Mehlhorn | $O(n^3 / \log n)$                                              |
| 1990 | Alon                      | $O(mn + n^{8/3} \log n)$                                       |
| 1992 | King-Rao-Tarjan           | $O(mn + n^{2+e})$                                              |
| 1993 | Philipps-Westbrook        | $O(mn \log n / \log \frac{m}{n} + n^2 \log^{2+\varepsilon} n)$ |
| 1994 | King-Rao-Tarjan           | $O(mn \log n / \log \frac{m}{n \log n})$ if $m \geq 2n \log n$ |
| 1997 | Goldberg-Rao              | $O(\min\{m^{1/2}, n^{2/3}\} m \log(n^2/m) \log U)$             |

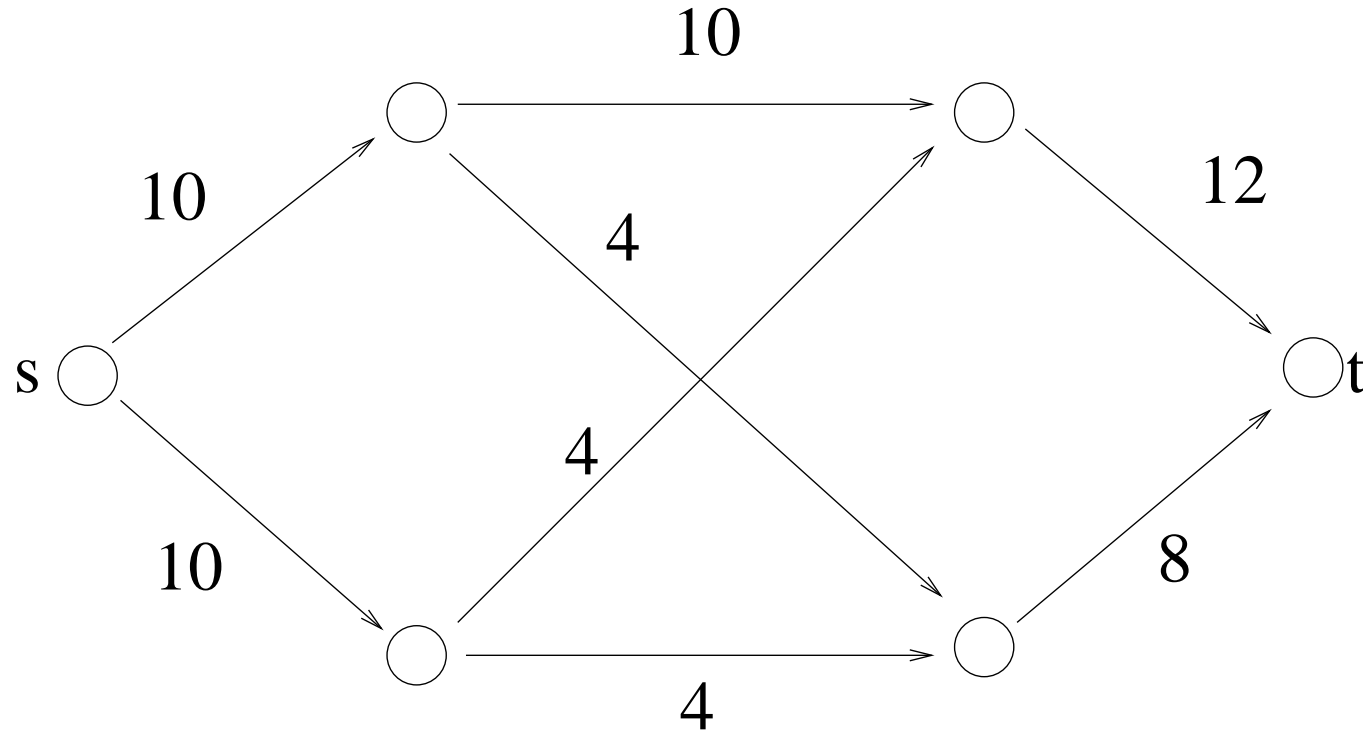
## Augmenting Paths (Rough Idea)

Find a path from  $s$  to  $t$  such that each edge has some **spare capacity**

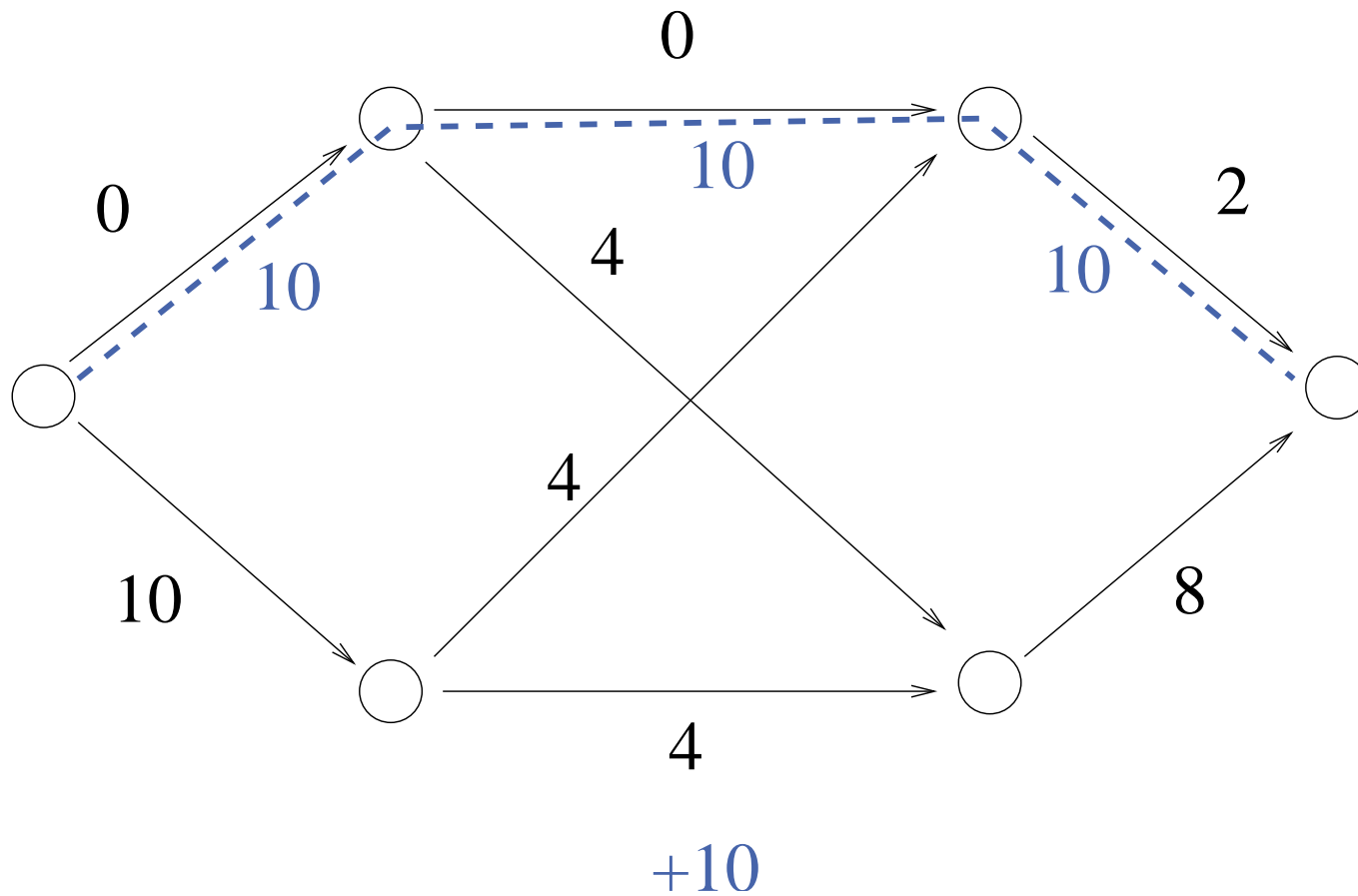
On this path, **saturate** the edge with the smallest spare capacity

**Adjust capacities** for all edges (create residual graph) and repeat

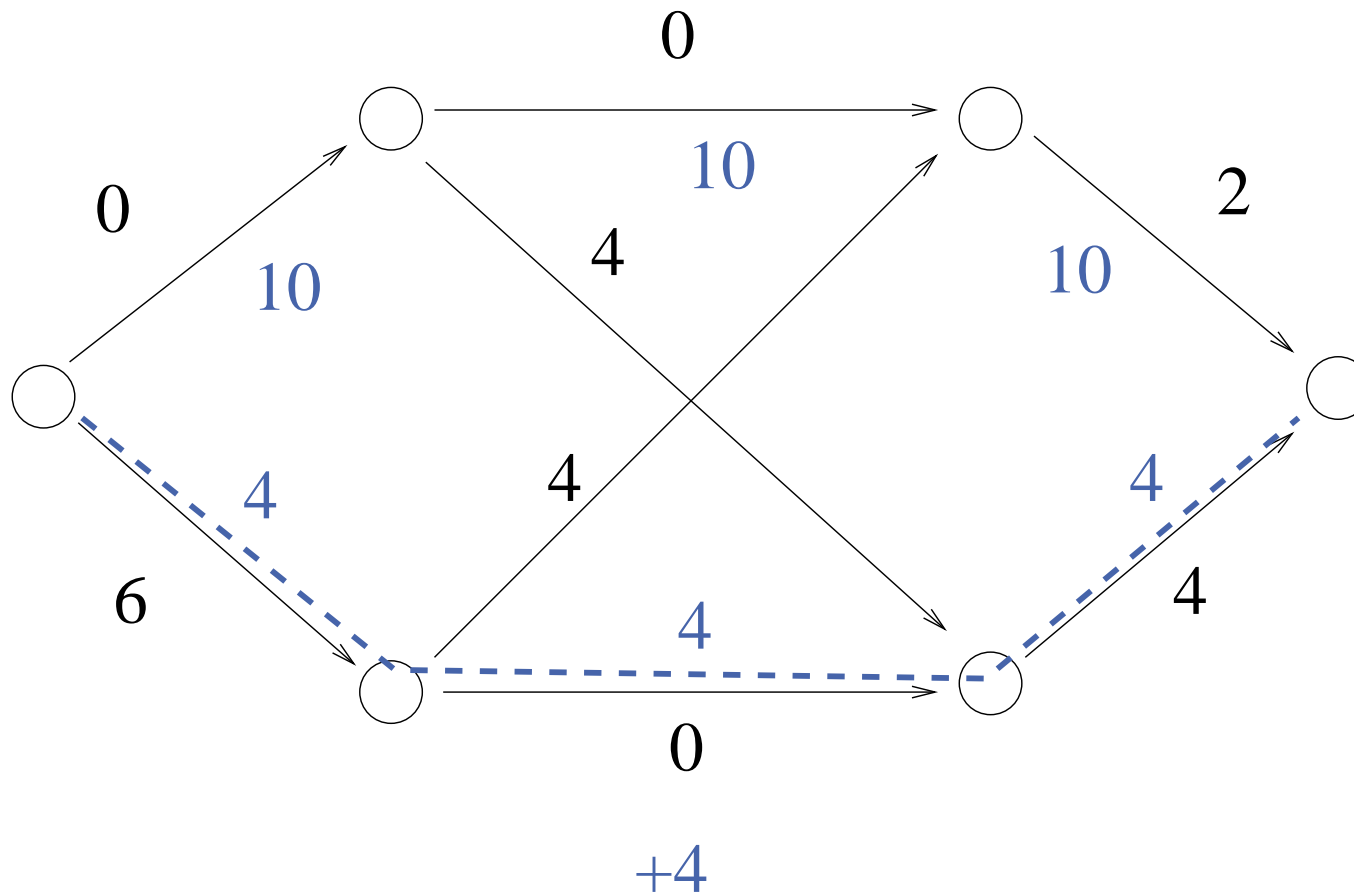
# Example



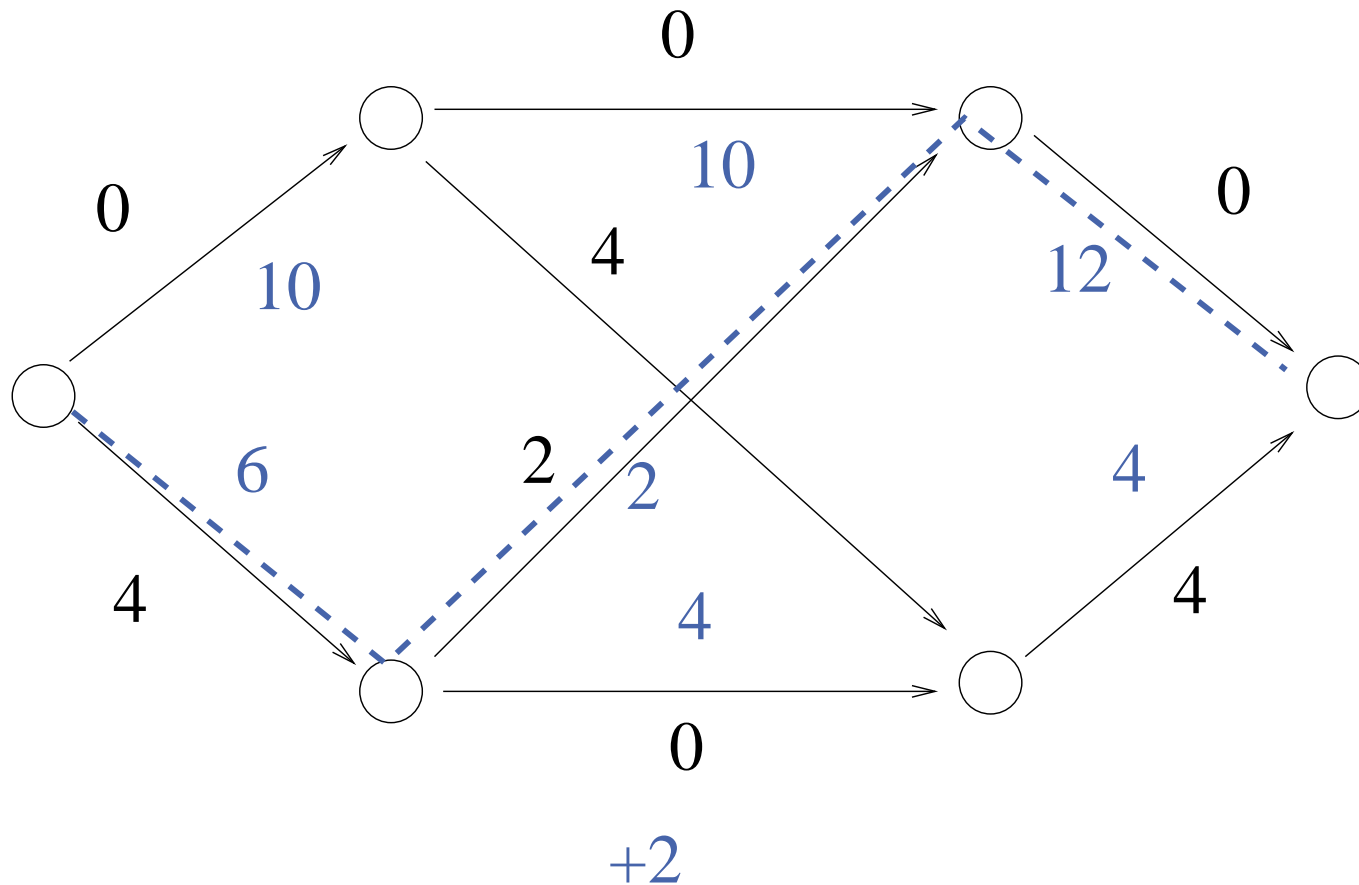
# Example



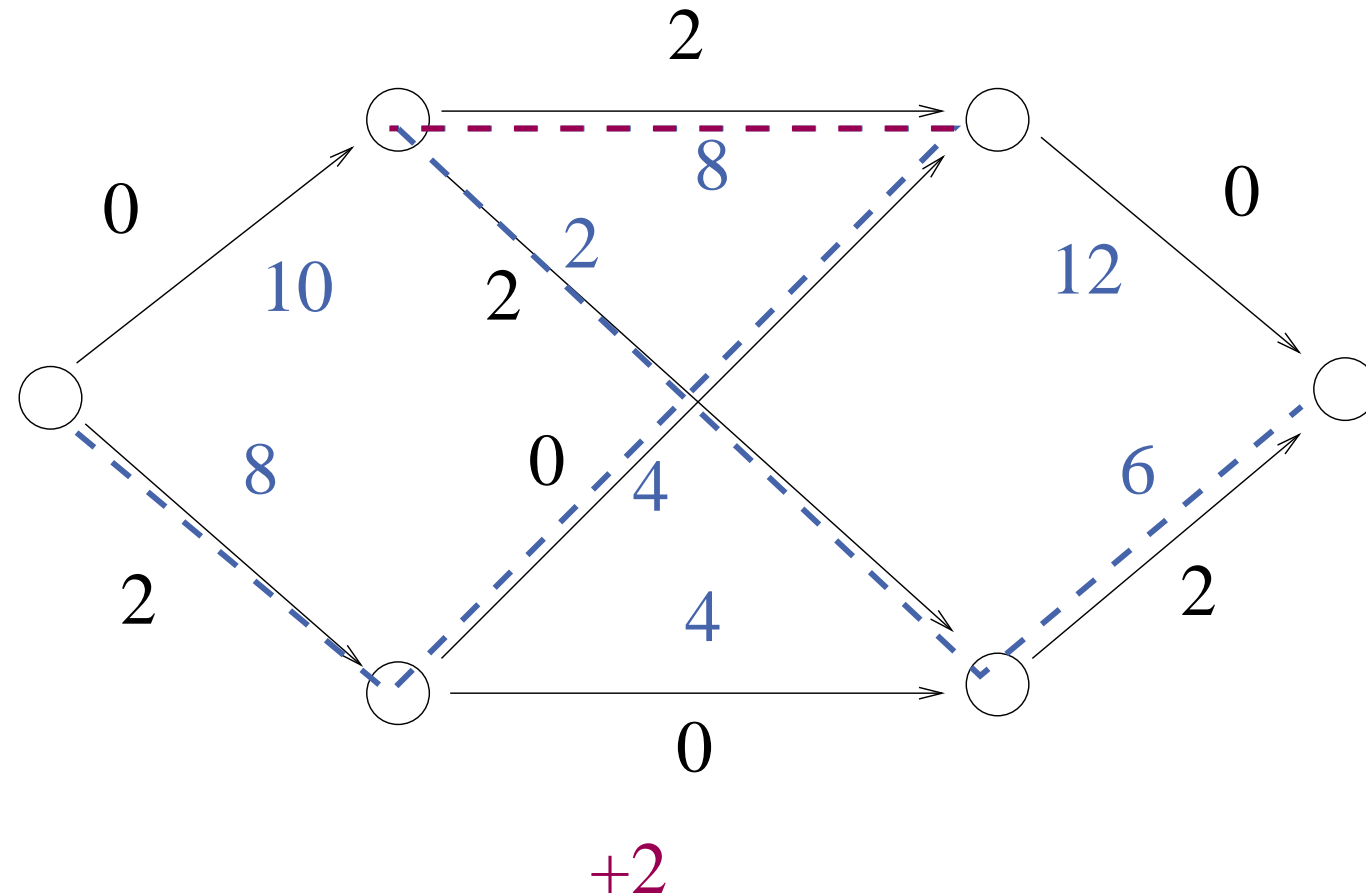
# Example



# Example



# Example

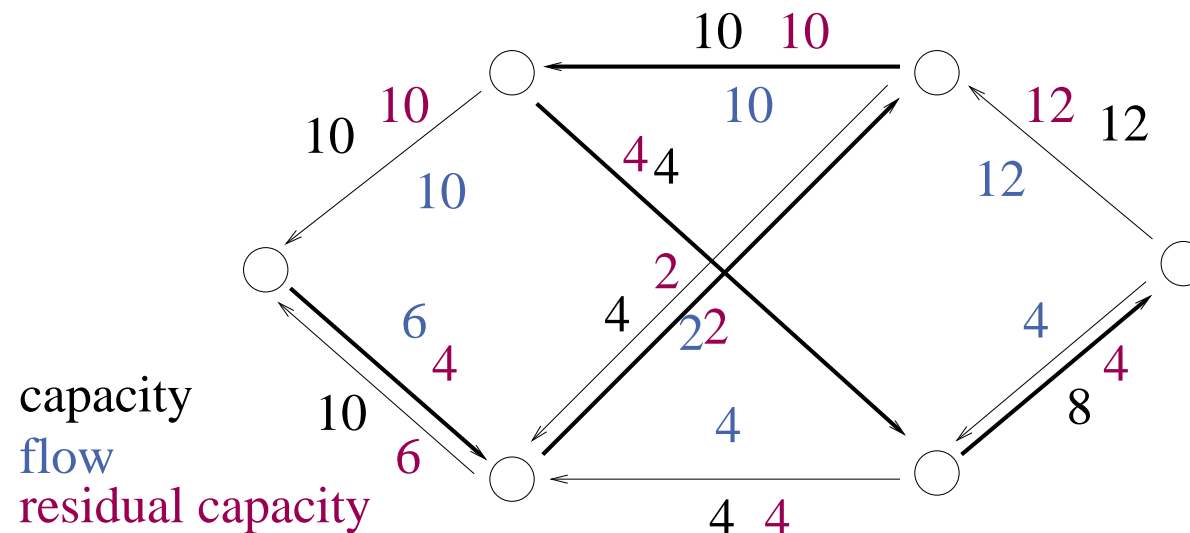


# Residual Graph

Given, network  $G = (V, E, c)$ , flow  $f$

Residual graph  $G_f = (V, E_f, c^f)$ . For each  $e \in E$  we have

$$\begin{cases} e \in E_f \text{ with } c_e^f = c_e - f(e) & \text{if } f(e) < c(e) \\ e^{\text{rev}} \in E_f \text{ with } c_{e^{\text{rev}}}^f = f(e) & \text{if } f(e) > 0 \end{cases}$$



# Augmenting Paths

Find a path  $p$  from  $s$  to  $t$  such that each edge  $e$  has nonzero **residual capacity**  $c_e^f$

$$\Delta f := \min_{e \in p} c_e^f$$

**foreach**  $(u, v) \in p$  **do**

**if**  $(u, v) \in E$  **then**  $f_{(u,v)}^+ = \Delta f$

**else**  $f_{(v,u)}^- = \Delta f$

# Ford Fulkerson Algorithm

**Function** FFMaxFlow( $G = (V, E), s, t, c : E \rightarrow \mathbb{N}$ ) :  $E \rightarrow \mathbb{N}$

$f := 0$

**while**  $\exists$  path  $p = (s, \dots, t)$  in  $G_f$  **do**

augment  $f$  along  $p$

**return**  $f$

time  $O(m\text{val}(f))$

## Ford Fulkerson – Correctness

“Clearly” FF computes a feasible flow  $f$ . (Invariant)

Todo: flow value is **maximal**

At termination: no augmenting paths in  $G_f$  left.

Consider cut  $(S, V \setminus S)$  with

$$S := \{v \in V : v \text{ reachable from } s \text{ in } G_f\}$$

# Some Basic Observations

**Lemma 1:** For any cut  $(S, T)$ :

$$\mathbf{val}(f) = \overbrace{\sum_{e \in E \cap S \times T} f_e}^{\text{$S \rightarrow T$ edges}} - \overbrace{\sum_{e \in E \cap T \times S} f_e}^{\text{$T \rightarrow S$ edges}} .$$

**Lemma 2:**  $\forall (u, v) \in E : c_{(u,v)}^f = 0 \Rightarrow f_{(v,u)} = 0$

# Ford Fulkerson – Correctness

Todo:  $\mathbf{val}(f)$  is maximal when no augmenting paths in  $G_f$  left.

Consider cut  $(S, V \setminus S)$  with  $S := \{v \in V : v \text{ reachable from } s \text{ in } G_f\}$ .

Observation:  $\forall (u, v) \in E \cap S \times T : c_e^f = 0$  and hence  $f_{(v,u)} = 0$

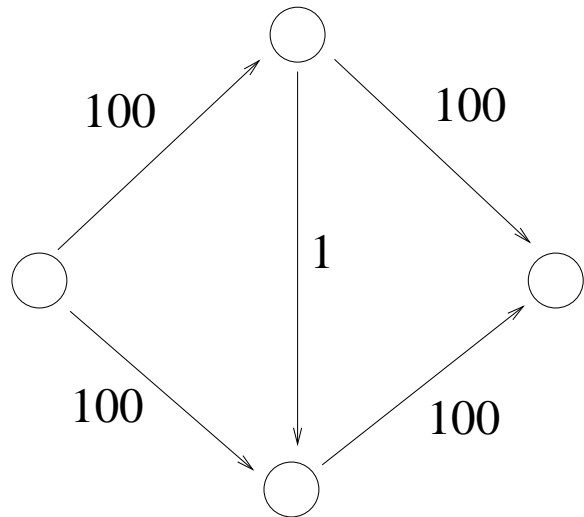
**Lemma 2.**

Now, by Lemma 1,

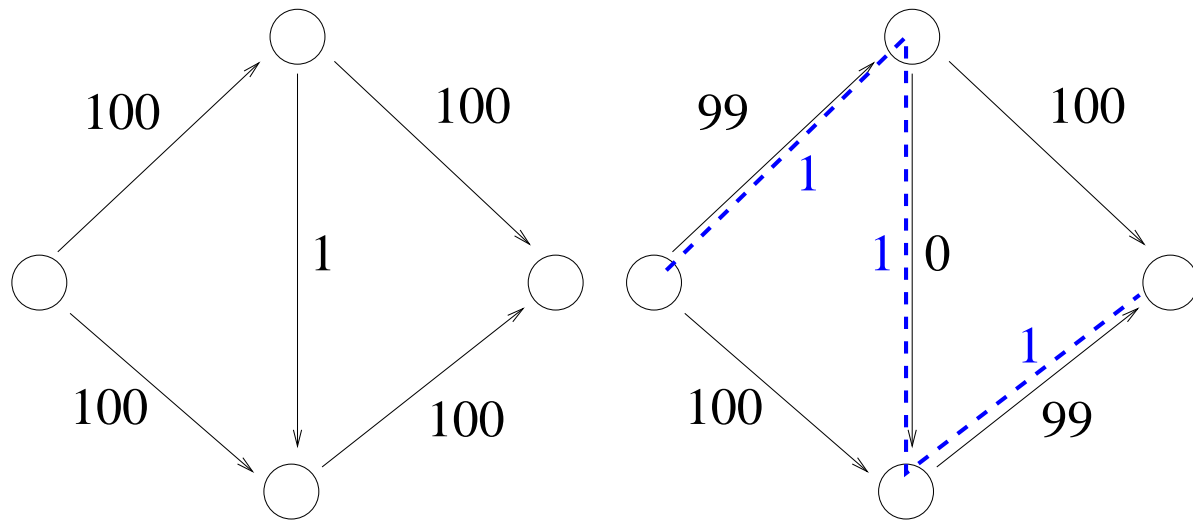
$$\begin{aligned} \mathbf{val}(f) &= \sum_{e \in E \cap S \times T} f_e - \sum_{e \in E \cap T \times S} f_e \\ &= \sum_{e \in E \cap S \times T} f_e = \text{cut capacity} \\ &\geq \text{max flow} \end{aligned}$$

**Corollary:** max flow = min cut

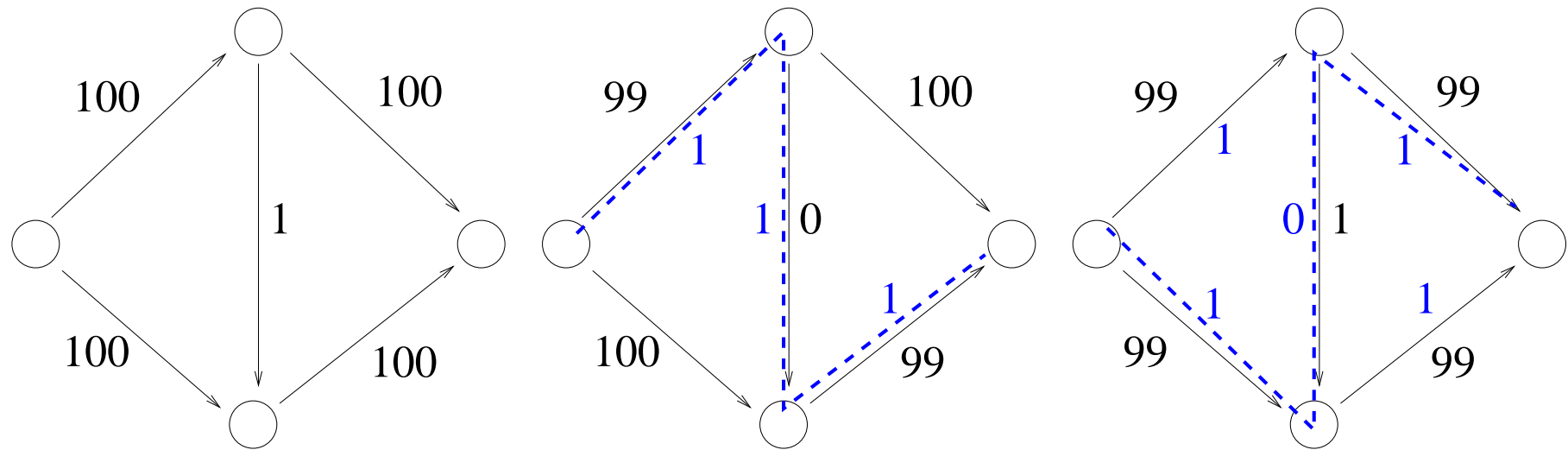
# A Bad Example for Ford Fulkerson



# A Bad Example for Ford Fulkerson



# A Bad Example for Ford Fulkerson



# An Even Worse Example for Ford Fulkerson

[U. Zwick, TCS 148, p. 165–170, 1995]

$$\text{Let } r = \frac{\sqrt{5} - 1}{2}.$$

Consider the graph

And the augmenting paths

$$p_0 = \langle s, c, b, t \rangle$$

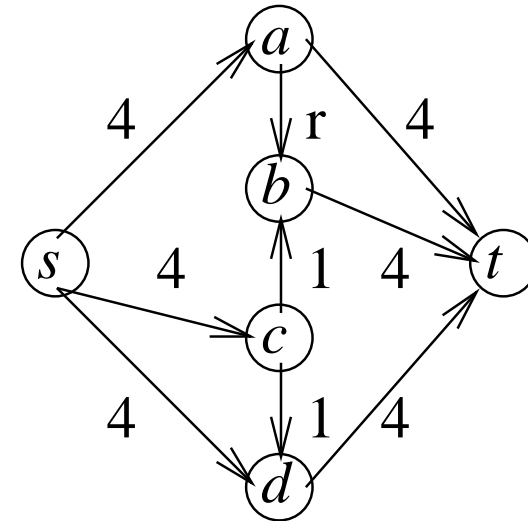
$$p_1 = \langle s, a, b, c, d, t \rangle$$

$$p_2 = \langle s, c, b, a, t \rangle$$

$$p_3 = \langle s, d, c, b, t \rangle$$

The sequence of augmenting paths  $p_0(p_1, p_2, p_1, p_3)^*$  is an infinite sequence of positive flow augmentations.

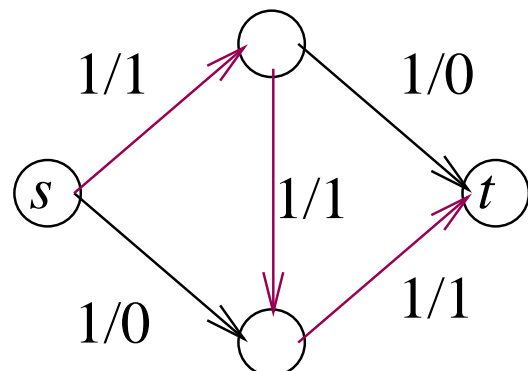
The flow value does **not** converge to the maximum value 9.



# Blocking Flows

$f_b$  is a **blocking flow** in  $H$  if

$$\forall \text{paths } p = \langle s, \dots, t \rangle : \exists e \in p : f_b(e) = c(e)$$



# Dinitz Algorithm

**Function** DinitzMaxFlow( $G = (V, E), s, t, c : E \rightarrow \mathbb{N}$ ) :  $E \rightarrow \mathbb{N}$

$f := 0$

**while**  $\exists$  path  $p = (s, \dots, t)$  in  $G_f$  **do**

$d = G_f.\text{reverseBFS}(t) : V \rightarrow \mathbb{N}$

$L_f = (V, \{(u, v) \in E_f : d(v) = d(u) - 1\})$  // layer graph

find a blocking flow  $f_b$  in  $L_f$

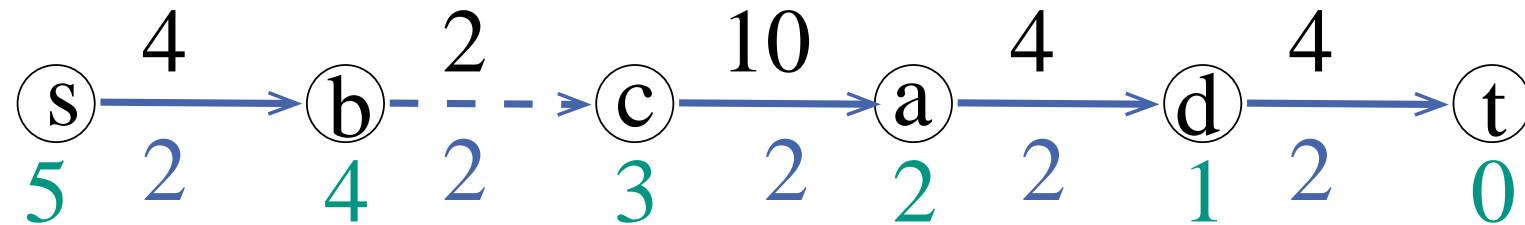
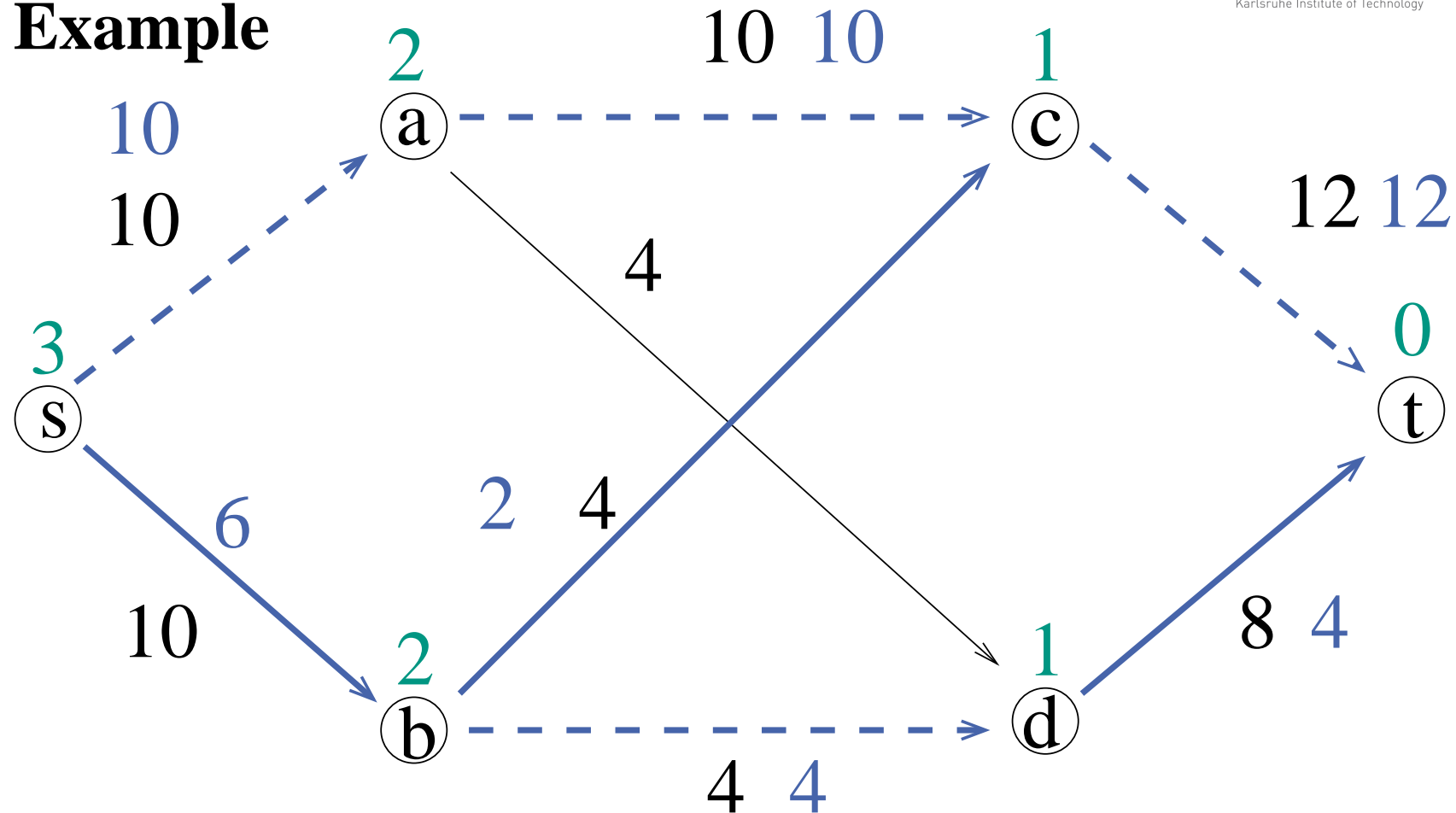
augment  $f += f_b$

**return**  $f$

# Dinitz – Correctness

analogous to Ford-Fulkerson

## Example



# Computing Blocking Flows

Idee: wiederholte DFS nach augmentierenden Pfaden

**Function** blockingFlow( $L_f = (V, E)$ ) :  $E \rightarrow \mathbb{N}$

*p*= $\langle s \rangle$  : Path;     $f_b=0$  : Flow

**loop** // Round

*v*:=  $p.\text{last}()$

**if**  $v = t$  **then** // breakthrough

$\delta := \min \{c(e) - f_b(e) : e \in p\}$

**foreach**  $e \in p$  **do**

$f_b(e) += \delta$

**if**  $f_b(e) = c(e)$  **then remove**  $e$  from  $E$

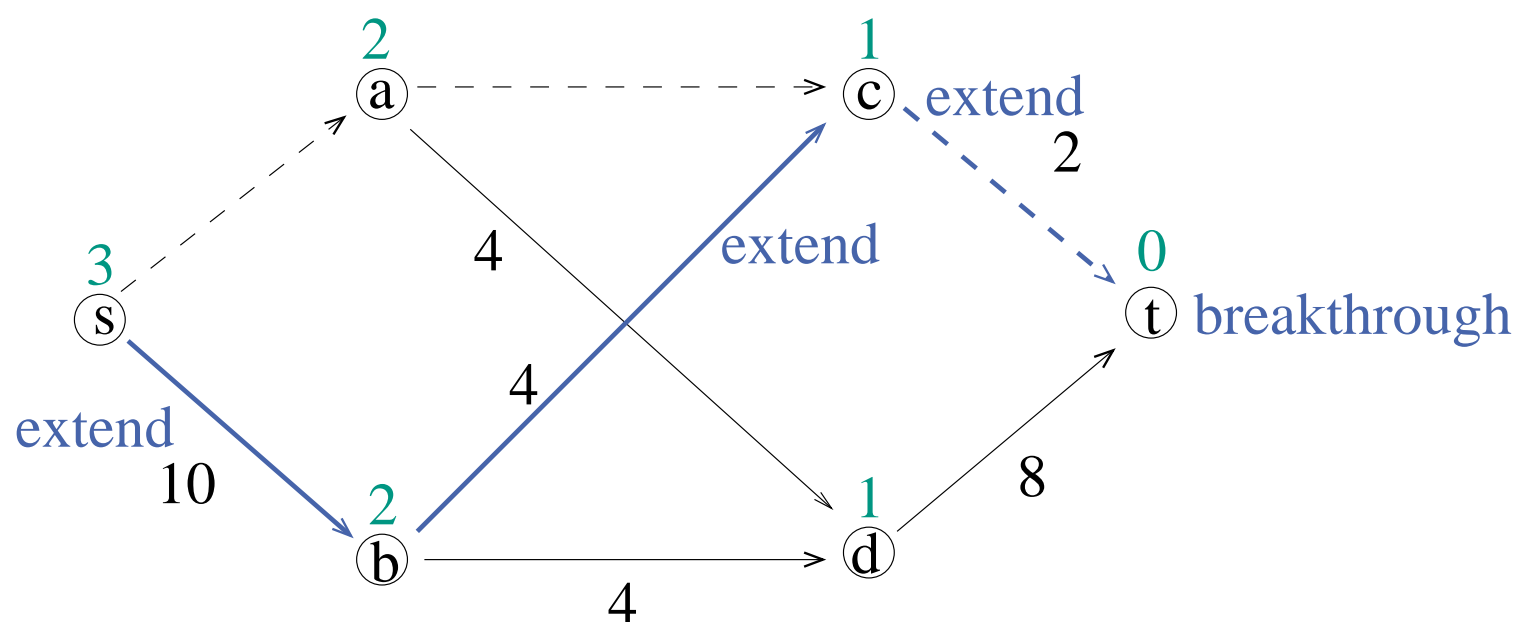
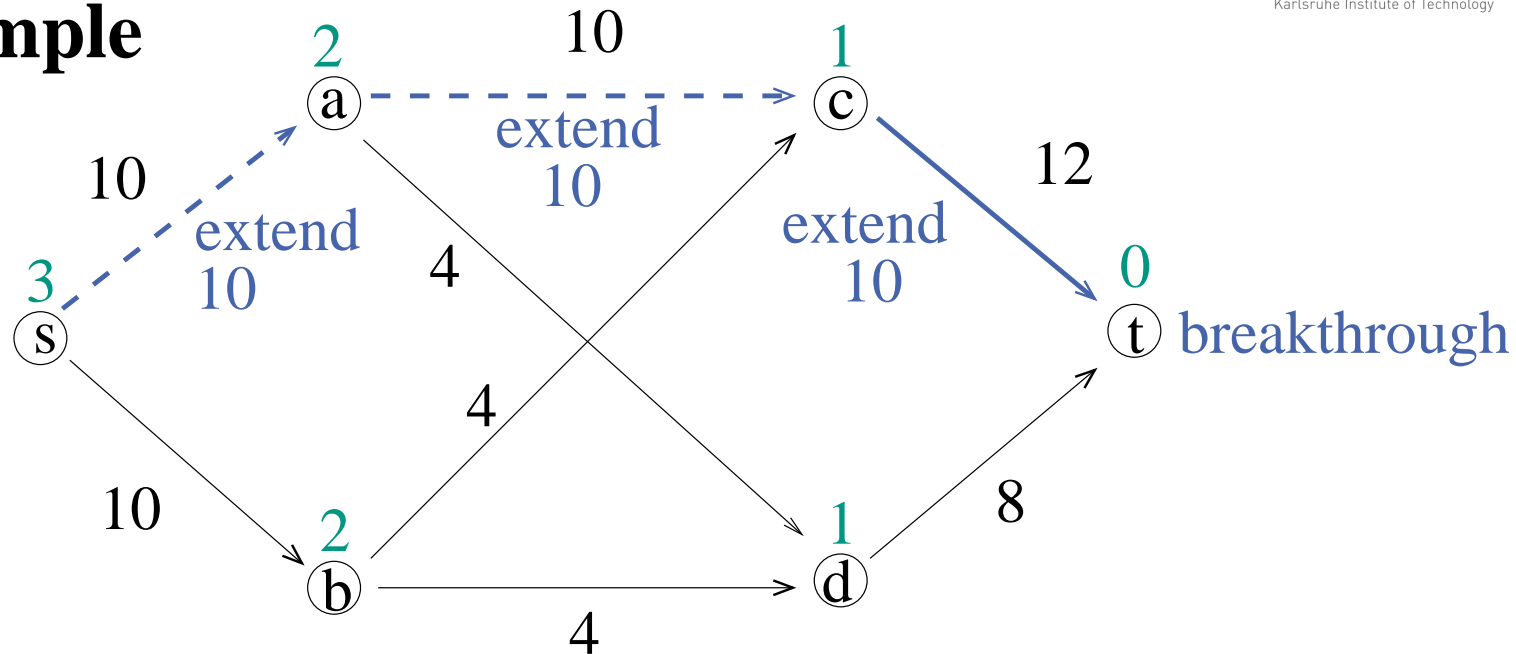
$p := \langle s \rangle$

**else if**  $\exists e = (v, w) \in E$  **then**  $p.\text{pushBack}(w)$  // extend

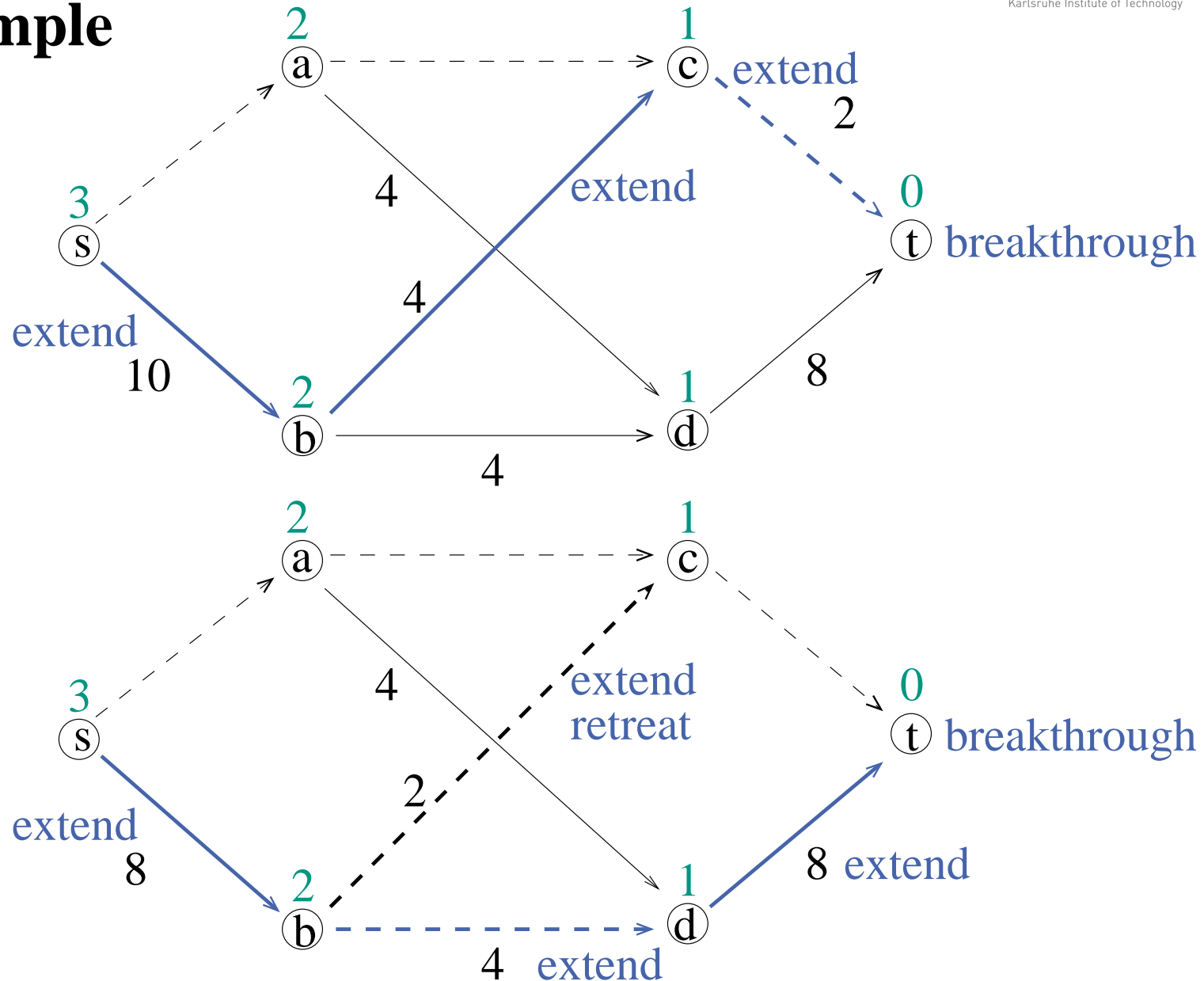
**else if**  $v = s$  **then return**  $f_b$  // done

**else** delete the last edge from  $p$  in  $p$  and  $E$  // retreat

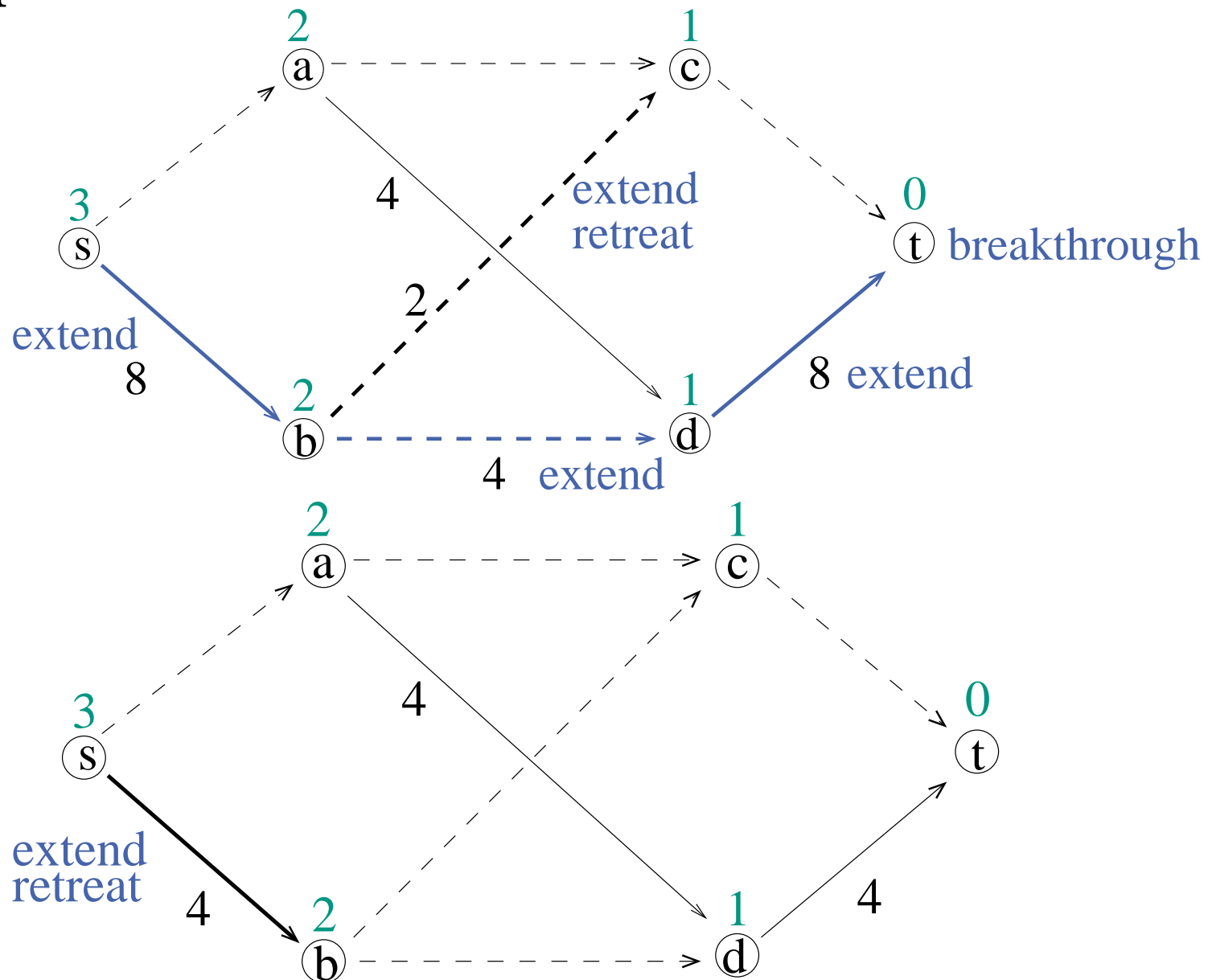
## Example



# Example



# Example



# Blocking Flows Analysis 1

- running time  $\#_{extends} + \#_{retreats} + n \cdot \#_{breakthroughs}$
- $\#_{breakthroughs} \leq m$ 
  - $\geq 1$  edge is saturated
- $\#_{retreats} \leq m$ 
  - one edge is removed
- $\#_{extends} \leq \#_{retreats} + n \cdot \#_{breakthroughs}$ 
  - a retreat cancels 1 extend, a breakthrough cancels  $\leq n$  extends

time is  $O(m + nm) = O(nm)$

# Blocking Flows Analysis 2

## Unit capacities:

breakthroughs saturates **all** edges on  $p$ , i.e., amortized constant cost per edge.

time  $O(m + n)$

## Blocking Flows Analysis 3

Dynamic trees: breakthrough (!), retreat, extend in time  $O(\log n)$

time  $O((m+n)\log n)$

“Theory alert”: In practice, this seems to be slower  
(few breakthroughs, many retreat, extend ops.)

# Dinitz Analysis 1

**Lemma 2.**  $d(s)$  increases by at least one in each round.

*Beweis.* not here



## Dinitz Analysis 2

- $\leq n$  rounds
- time  $O(mn)$  each

time  $O(mn^2)$  (**strongly polynomial**)

time  $O(mn \log n)$  with dynamic trees

# Dinitz Analysis 3 – Unit Capacities

**Lemma 3.** At most  $2\sqrt{m}$  BF computations:

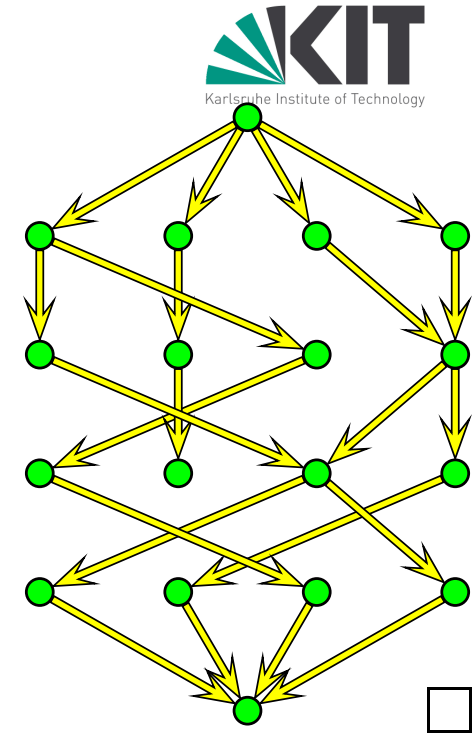
*Beweis.* Consider iteration  $k = \sqrt{m}$ .

Any  $s-t$  path contains  $\geq k$  edges

FF can find  $\leq m/k = \sqrt{m}$  augmenting paths

Total time:  $O((m+n)\sqrt{m})$

more detailed analysis:  $O\left(m \min \left\{ m^{1/2}, n^{2/3} \right\} \right)$



## Dinitz Analysis 4 – Unit Networks

Unit capacity +  $\forall v \in V : \min \{\text{indegree}(v), \text{outdegree}(v)\} = 1$ :

time:  $O((m+n)\sqrt{n})$

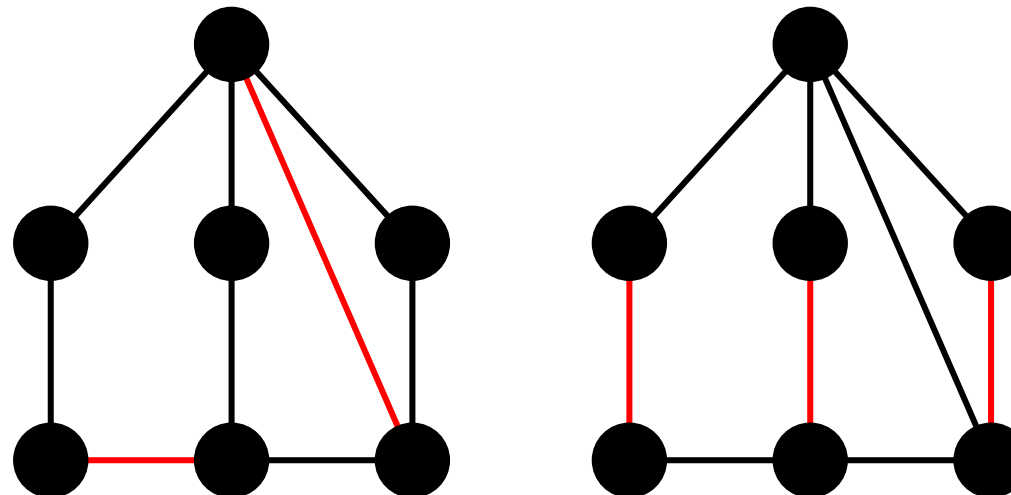
# Matching

$M \subseteq E$  is a **matching** in the undirected graph  $G = (V, E)$  iff

$(V, M)$  has maximum degree  $\leq 1$ .

$M$  is **maximal** if  $\nexists e \in E \setminus M : M \cup \{e\}$  is a matching.

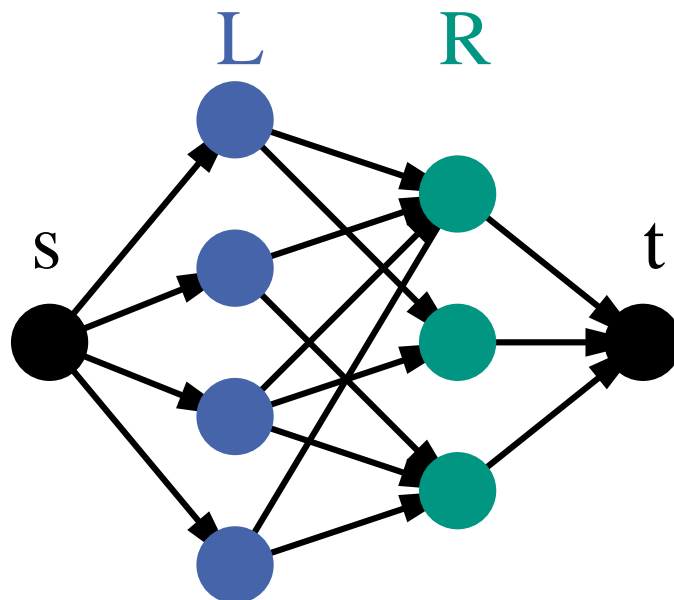
$M$  has **maximum** cardinality if  $\nexists$  matching  $M' : |M'| > |M|$



# Maximum Cardinality Bipartite Matching

in  $(L \cup R, E)$ . Model as a **unit network maximum flow** problem

$$(\{s\} \cup L \cup R \cup \{t\}, \{(s, u) : u \in L\} \cup E \cup \{(v, t) : v \in R\})$$

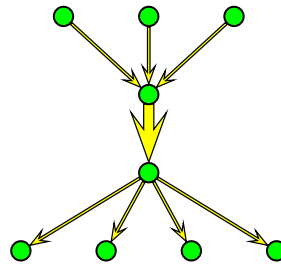


Dinitz algorithm yields  $O((n + m)\sqrt{n})$  algorithm

# Similar Performance for Weighted Graphs?

time:  $O\left(m \min\left\{m^{1/2}, n^{2/3}\right\} \log C\right)$  [Goldberg Rao 97]

**Problem:** Fat edges between layers ruin the argument



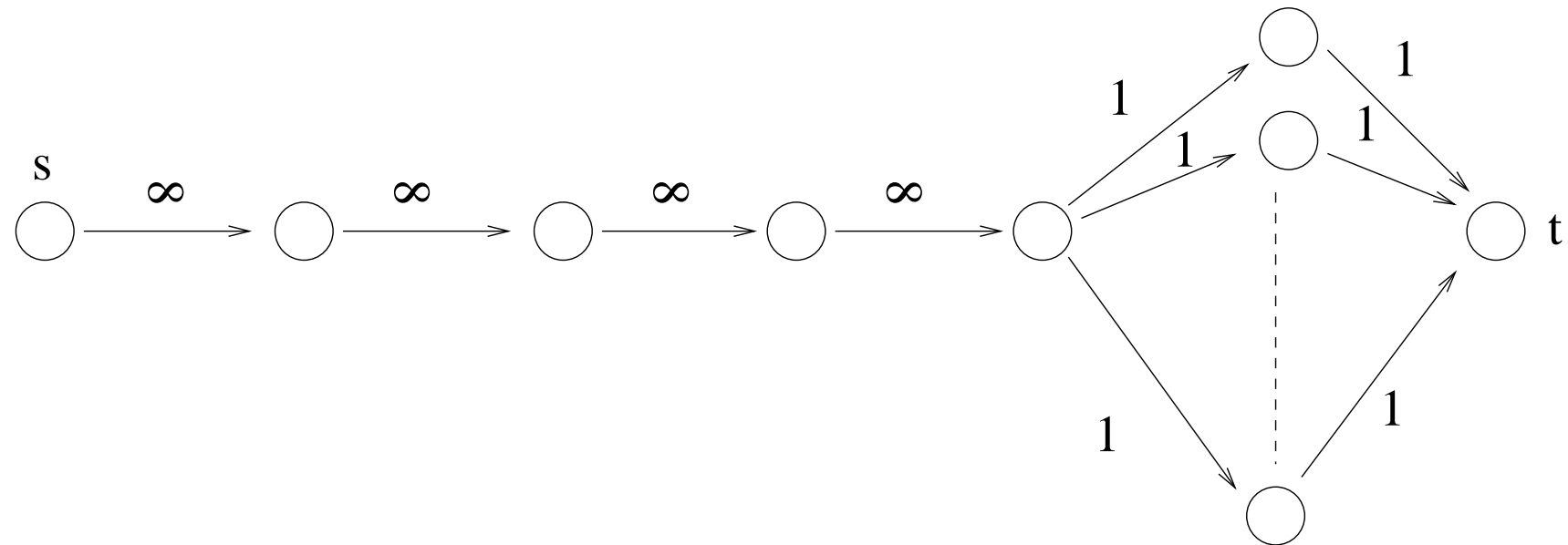
Idea: **scale** a parameter  $\Delta$  from small to large

contract SCCs of fat edges (capacity  $> \Delta$ )

Experiments [Hagerup, Sanders Träff 98]:

Sometimes best algorithm usually slower than **preflow push**

# Disadvantage of augmenting paths algorithms



# Preflow-Push Algorithms

Preflow  $f$ : a flow where the **flow conservation** constraint is relaxed to

$$\text{excess}(v) := \overbrace{\sum_{(u,v) \in E} f_{(u,v)}}^{\text{inflow}} - \overbrace{\sum_{(v,w) \in E} f_{(v,w)}}^{\text{outflow}} \geq 0 .$$

$v \in V \setminus \{s, t\}$  is **active** iff  $\text{excess}(v) > 0$

**Procedure**  $\text{push}(e = (v, w), \delta)$

**assert**  $\delta > 0 \wedge \text{excess}(v) \geq \delta$

**assert** residual capacity of  $e \geq \delta$

$\text{excess}(v)- = \delta$

$\text{excess}(w)+ = \delta$

**if**  $e$  is reverse edge **then**  $f(\text{reverse}(e))- = \delta$

**else**  $f(e)+ = \delta$

# Level Function

Idea: make progress by pushing **towards**  $t$

Maintain

an **approximation**  $d(v)$  of the BFS distance from  $v$  to  $t$  **in**  $G_f$ .

**invariant**  $d(t) = 0$

**invariant**  $d(s) = n$

**invariant**  $\forall(v, w) \in E_f : d(v) \leq d(w) + 1$  // no **steep** edges

Edge directions of  $e = (v, w)$

**steep**:  $d(w) < d(v) - 1$

**downward**:  $d(w) < d(v)$

**horizontal**:  $d(w) = d(v)$

**upward**:  $d(w) > d(v)$

**Procedure** genericPreflowPush( $G = (V, E)$ ,  $f$ )

```

forall  $e = (s, v) \in E$  do  $\text{push}(e, c(e))$            // saturate
 $d(s) := n$ 
 $d(v) := 0$  for all other nodes
while  $\exists v \in V \setminus \{s, t\} : \text{excess}(v) > 0$  do      // active node
  if  $\exists e = (v, w) \in E_f : d(w) < d(v)$  then // eligible edge
    choose some  $\delta \leq \min \left\{ \text{excess}(v), c_e^f \right\}$ 
     $\text{push}(e, \delta)$                                 // no new steep edges
  else  $d(v)++$                                 // relabel. No new steep edges

```

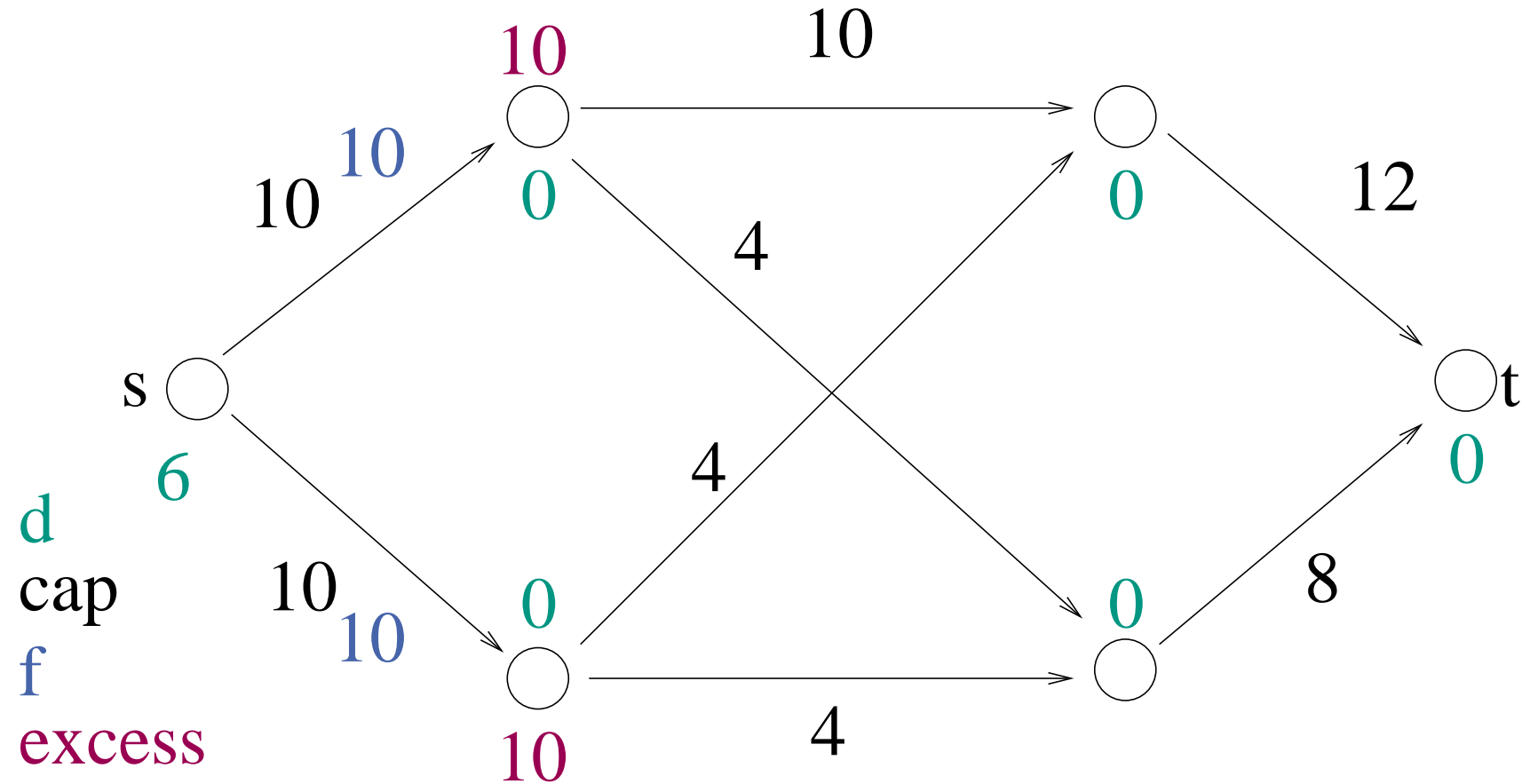
Obvious choice for  $\delta$ :  $\delta = \min \left\{ \text{excess}(v), c_e^f \right\}$

Saturating push:  $\delta = c_e^f$

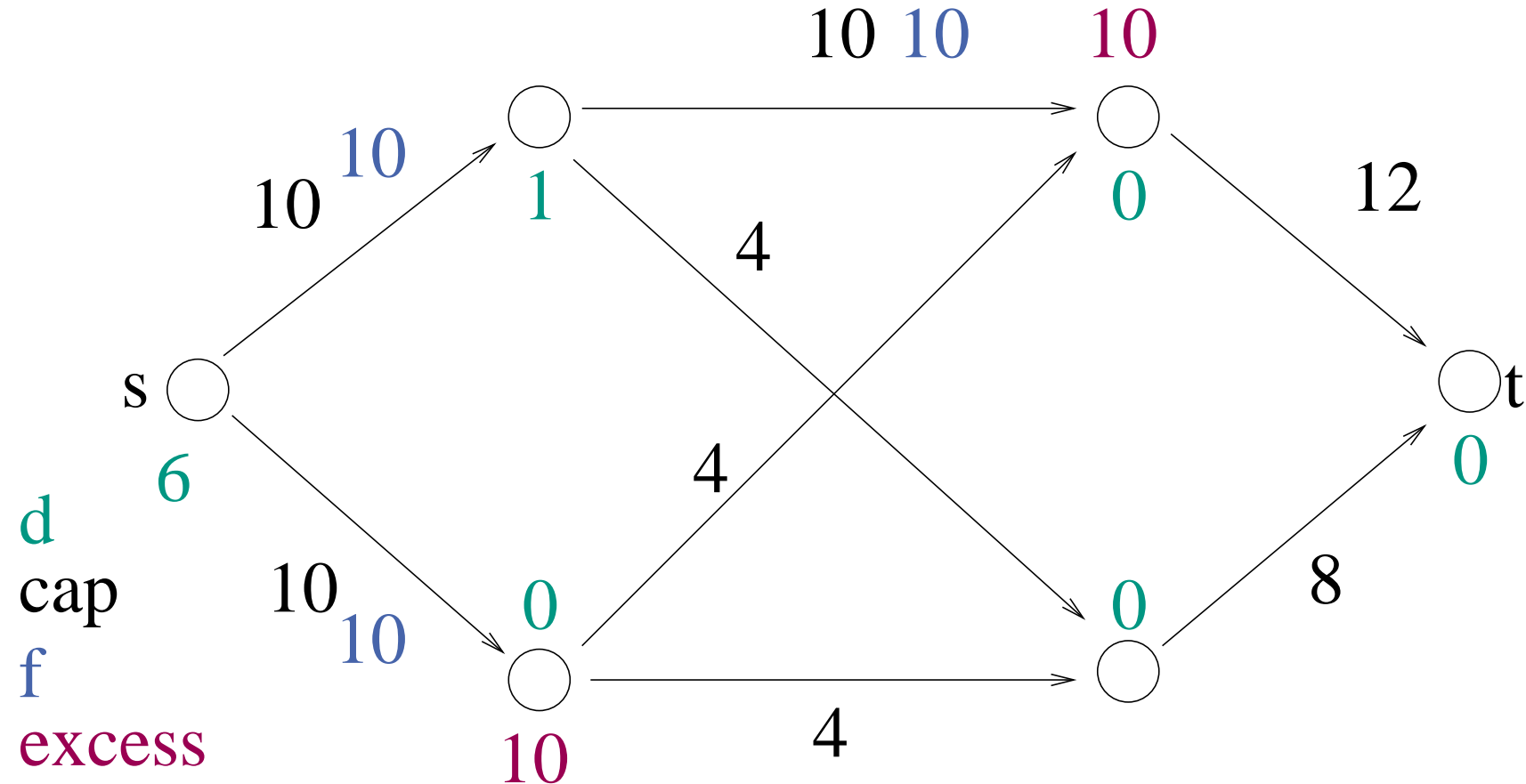
nonsaturating push:  $\delta < c_e^f$

To be filled in: How to select active nodes and eligible edges?

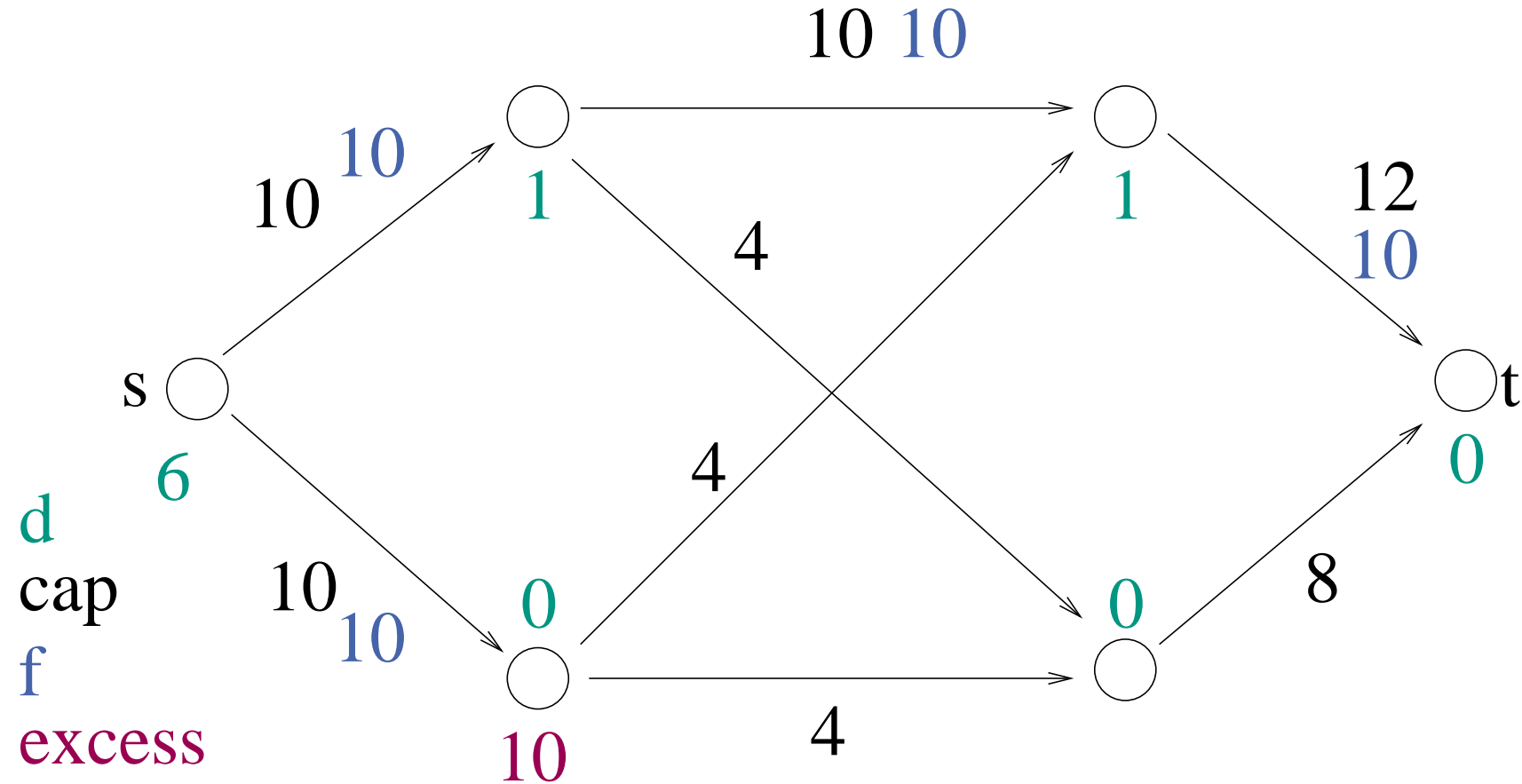
# Example



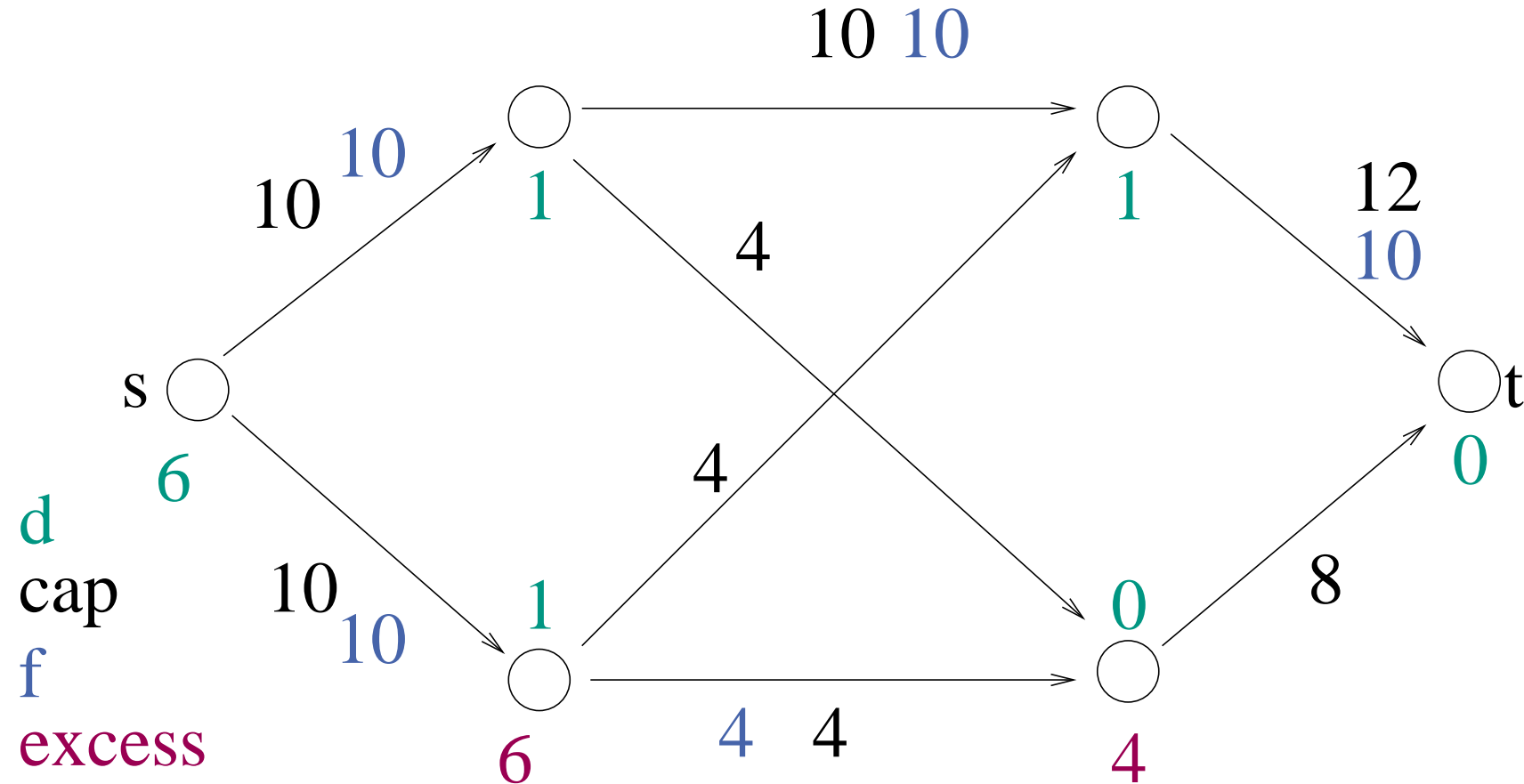
# Example



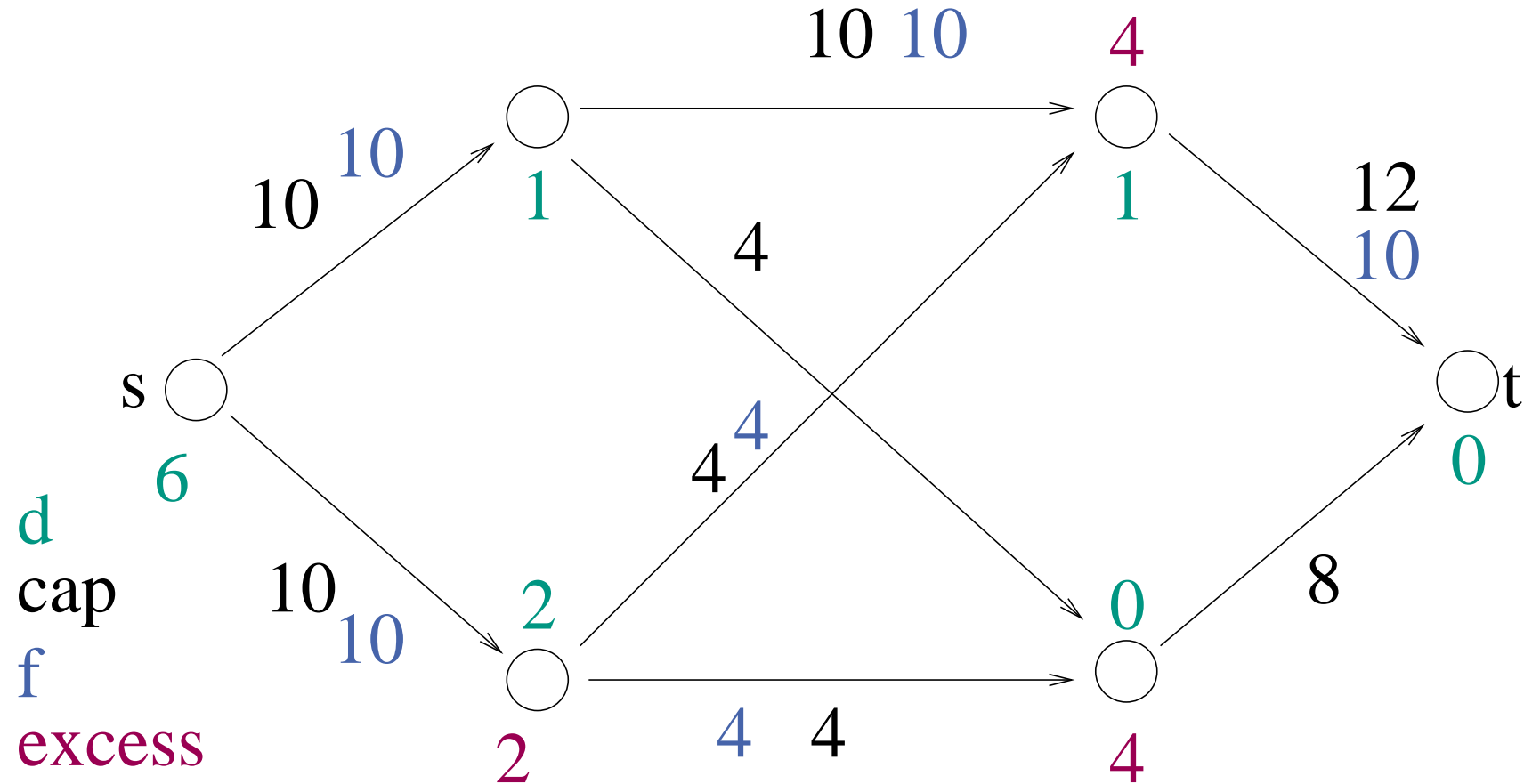
# Example



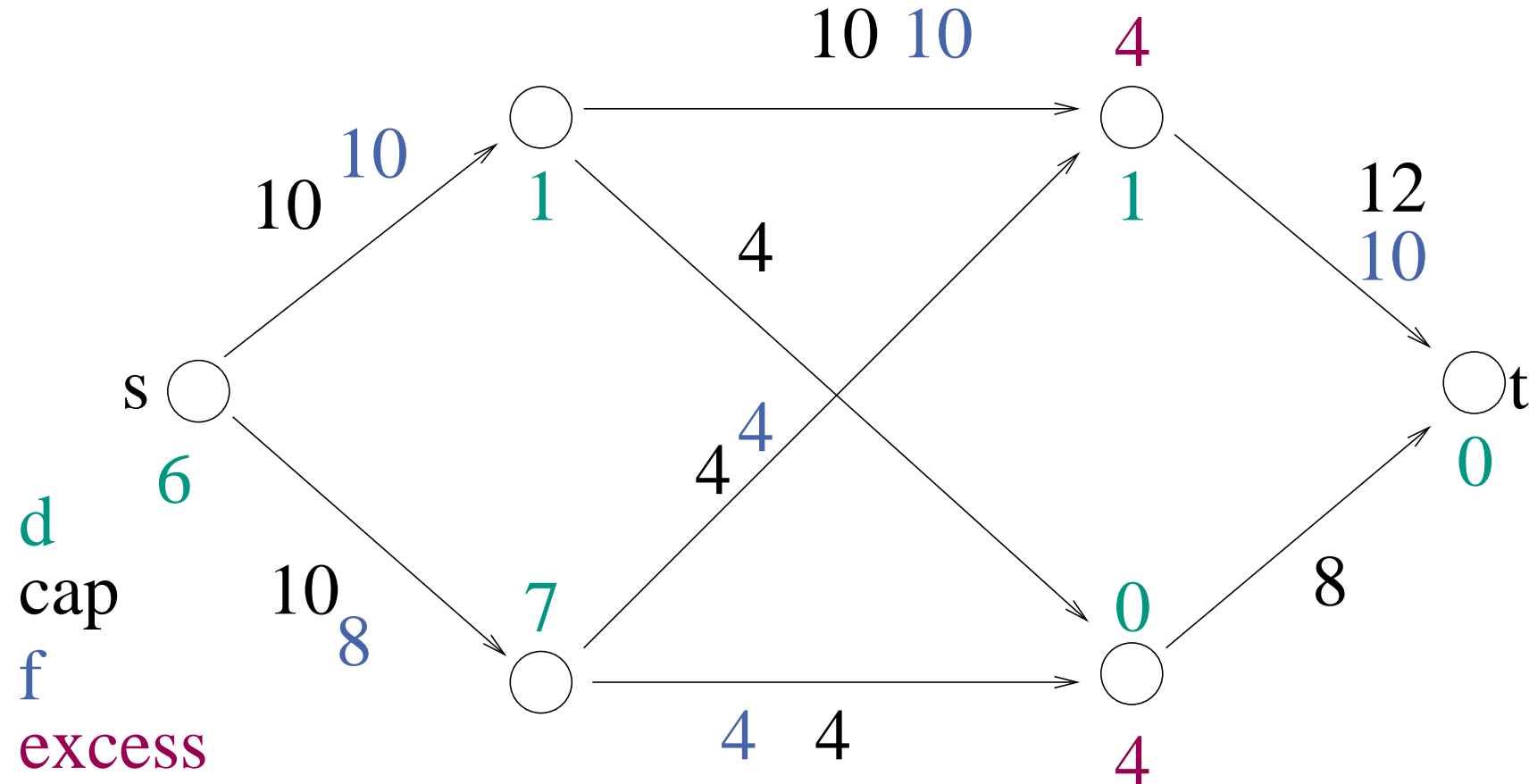
# Example



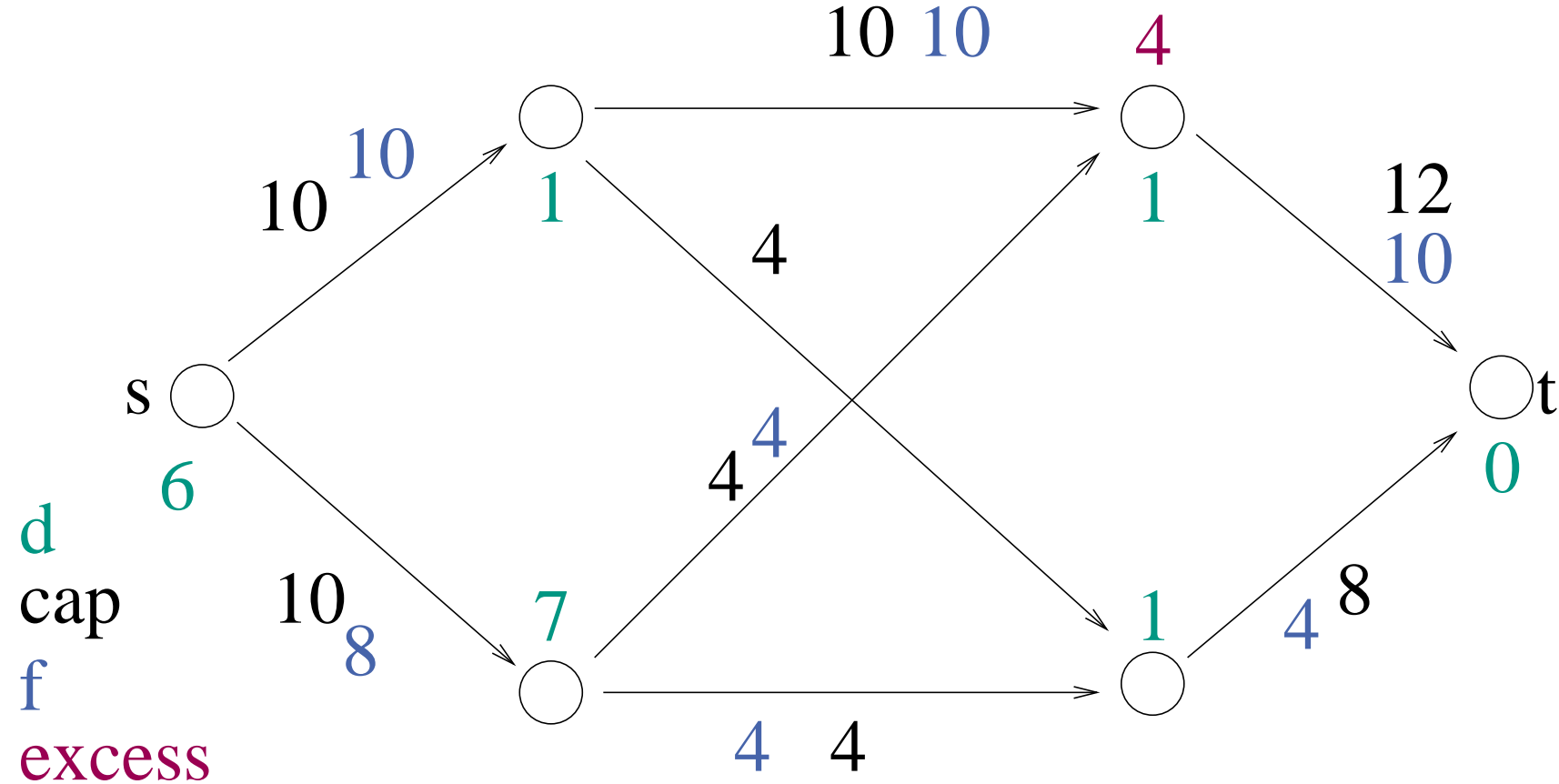
# Example



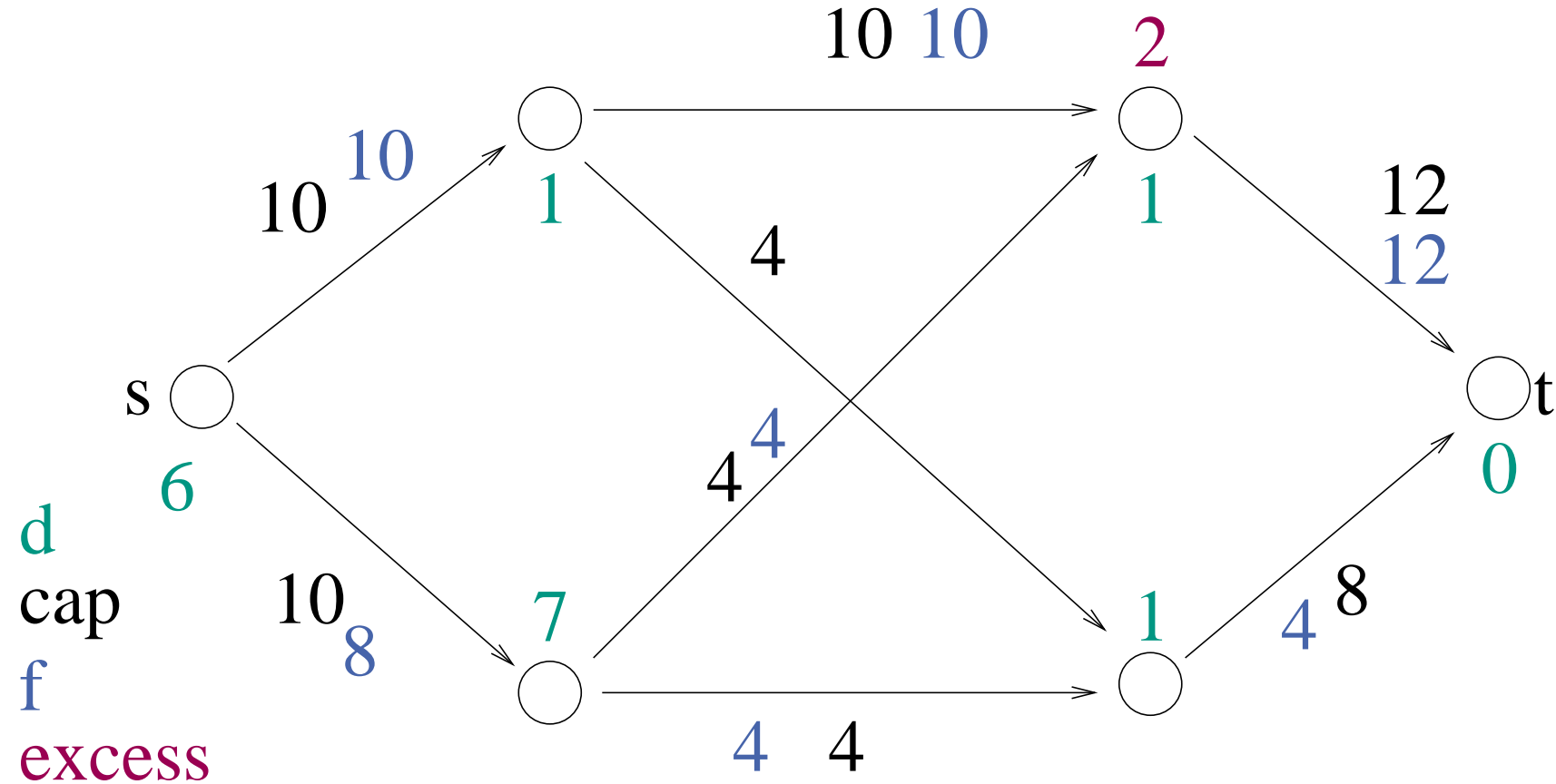
# Example



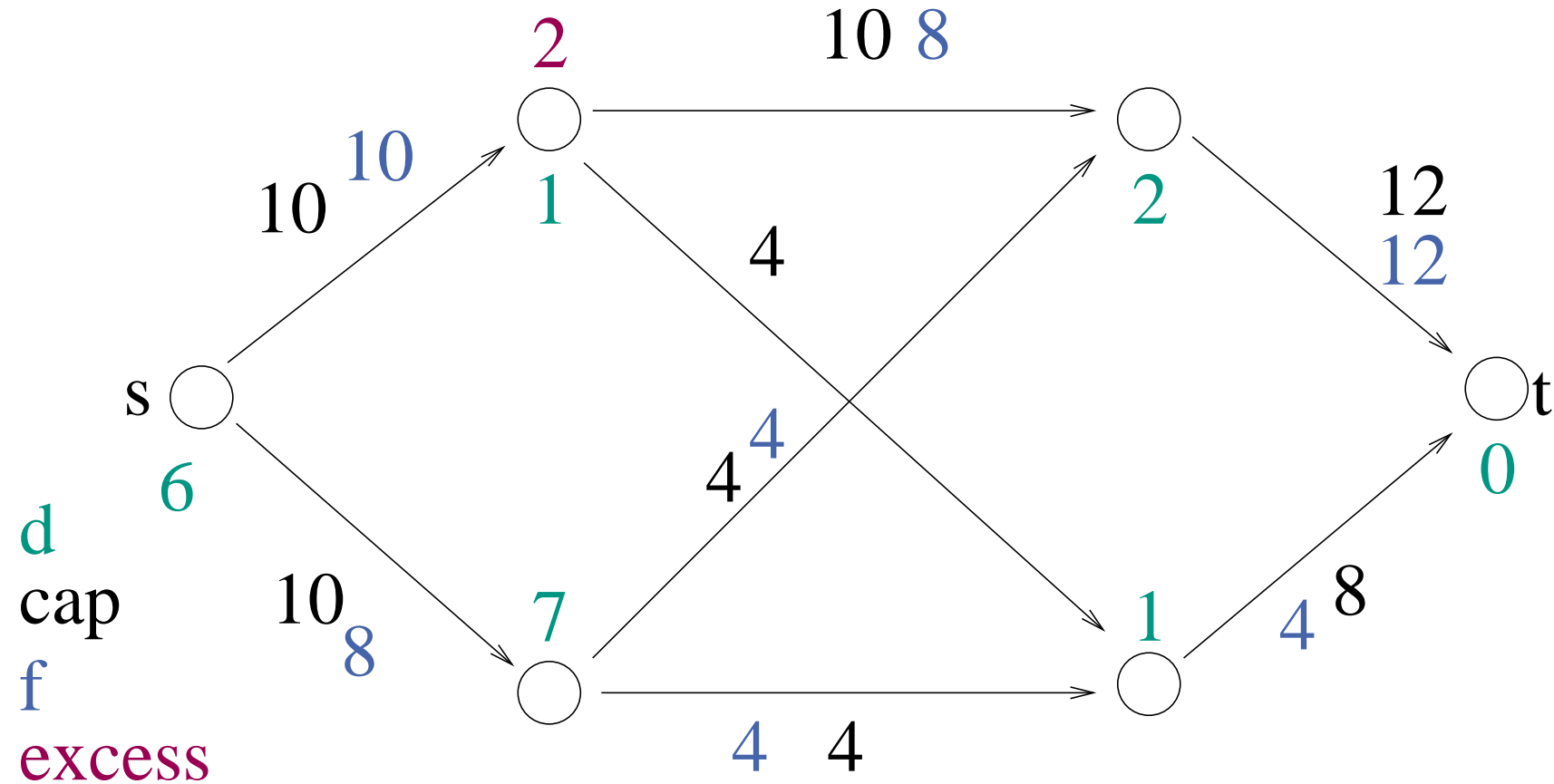
# Example



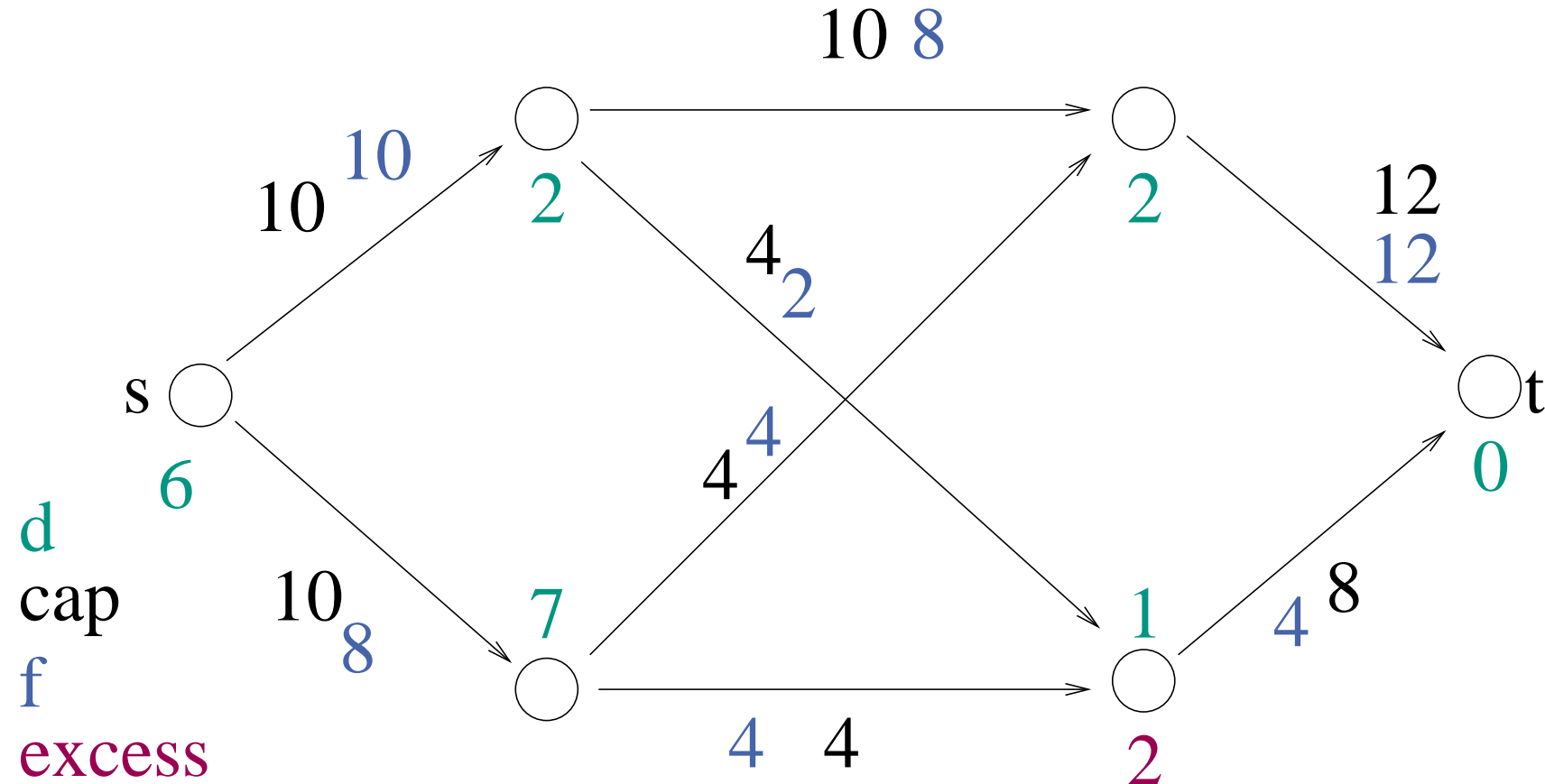
# Example



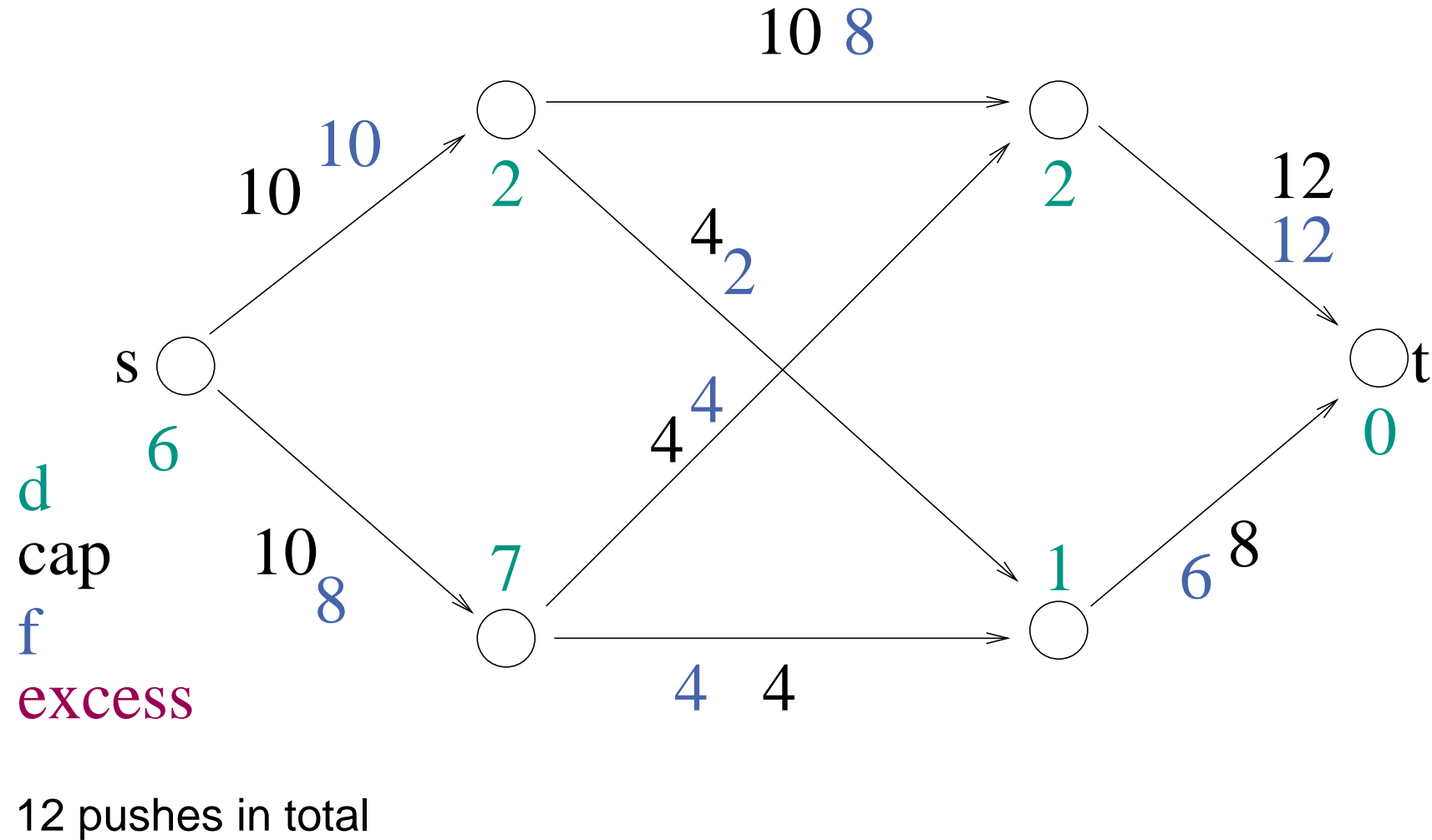
# Example



# Example



# Example



# Partial Correctness

**Lemma 4.** When `genericPreflowPush` terminates  
 $f$  is a **maximal flow**.

*Beweis.*

$f$  is a **flow** since  $\forall v \in V \setminus \{s, t\} : \text{excess}(v) = 0$ .

To show that  $f$  is **maximal**, it suffices to show that  
 $\nexists$  path  $p = \langle s, \dots, t \rangle \in G_f$  (Max-Flow Min-Cut Theorem):  
Since  $d(s) = n, d(t) = 0$ ,  $p$  would have to contain steep edges.  
That would be a contradiction. □

**Lemma 5.** For any cut  $(S, T)$ ,

$$\sum_{u \in S} \text{excess}(u) = \sum_{e \in E \cap (T \times S)} f(e) - \sum_{e \in E \cap (S \times T)} f(e),$$

**Proof:**

$$\sum_{u \in S} \text{excess}(u) = \sum_{u \in S} \left( \sum_{(v,u) \in E} f((v,u)) - \sum_{(u,v) \in E} f((u,v)) \right)$$

Contributions of edge  $e$  to sum:

$S$  to  $T$ :  $-f(e)$

$T$  to  $S$ :  $f(e)$

within  $S$ :  $f(e) - f(e) = 0$

within  $T$ : 0



**Lemma 6.**

$$\forall \text{ active nodes } v : \text{excess}(v) > 0 \Rightarrow \exists \text{ path } \langle v, \dots, s \rangle \in G_f$$

Intuition: what got there can always go back.

*Beweis.*  $S := \{u \in V : \exists \text{ path } \langle v, \dots, u \rangle \in G_f\}$ ,  $T := V \setminus S$ . Then

$$\sum_{u \in S} \text{excess}(u) = \sum_{e \in E \cap (T \times S)} f(e) - \sum_{e \in E \cap (S \times T)} f(e),$$

$\forall (u, w) \in E_f : u \in S \Rightarrow w \in S$  by Def. of  $G_f$ ,  $S$

$\Rightarrow \forall e = (u, w) \in E \cap (T \times S) : f(e) = 0$  Otherwise  $(w, u) \in E_f$

Hence,  $\sum_{u \in S} \text{excess}(u) \leq 0$

Only the negative excess of  $s$  can outweigh  $\text{excess}(v) > 0$ .

Hence  $s \in S$ . □

**Lemma 7.**

$$\forall v \in V : d(v) < 2n$$

*Beweis.*

Suppose  $v$  is lifted to  $d(v) = 2n$ .

By the Lemma 2, there is a (simple) path  $p$  to  $s$  in  $G_f$ .

$p$  has at most  $n - 1$  nodes

$$d(s) = n.$$

Hence  $d(v) < 2n$ . Contradiction (no steep edges). □

**Lemma 8.** # Relabel operations  $\leq 2n^2$

*Beweis.*  $d(v) \leq 2n$ , i.e.,  $v$  is relabeled at most  $2n$  times.

Hence, at most  $|V| \cdot 2n = 2n^2$  relabel operations. □

**Lemma 9.**  $\# \text{saturating pushes} \leq nm$

*Beweis.*

We show that there are **at most  $n$  sat. pushes** over any edge

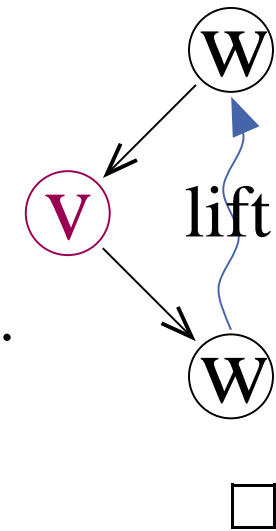
$e = (v, w)$ .

A saturating push( $e, \delta$ ) **removes  $e$**  from  $E_f$ .

Only a **push on  $(w, v)$**  can **reinsert  $e$**  into  $E_f$ .

For this to happen,  $w$  must be **lifted** at least two levels.

Hence, at most  $2n/2 = n$  saturating pushes over  $(v, w)$



**Lemma 10.**  $\# \text{nonsaturating pushes} = O(n^2m)$

if  $\delta = \min \left\{ \text{excess}(v), c_e^f \right\}$

for *arbitrary* node and edge selection rules.  
*(arbitrary-preflow-push)*

*Beweis.*  $\Phi := \sum_{\{v: v \text{ is active}\}} d(v).$  (Potential)

$\Phi = 0$  initially **and** at the end (no active nodes left!)

| Operation          | $\Delta(\Phi)$ | How many times? | Total effect |
|--------------------|----------------|-----------------|--------------|
| relabel            | 1              | $\leq 2n^2$     | $\leq 2n^2$  |
| saturating push    | $\leq 2n$      | $\leq nm$       | $\leq 2n^2m$ |
| nonsaturating push | $\leq -1$      |                 |              |

$\Phi \geq 0$  always. □

# Searching for Eligible Edges

Every node  $v$  maintains a `currentEdge` pointer to its sequence of outgoing edges in  $G_f$ .

**invariant** no edge  $e = (v, w)$  to the left of `currentEdge` is eligible

Reset `currentEdge` at a relabel  $(\leq 2n \times)$

Invariant cannot be violated by a push over a reverse edge  $e' = (w, v)$  since this only happens when  $e'$  is downward, i.e.,  $e$  is upward and hence not eligible.

**Lemma 11.**

*Total cost for searching*  $\leq \sum_{v \in V} 2n \cdot \text{degree}(v) = 4nm = \mathcal{O}(nm)$

**Satz 12.** *Arbitrary Preflow Push finds a maximum flow in time  $O(n^2m)$ .*

*Beweis.*

Lemma 4: partial correctness

Initialization in time  $O(n + m)$ .

Maintain set (e.g., stack, FIFO) of active nodes.

Use reverse edge pointers to implement push.

Lemma 8:  $2n^2$  relabel operations

Lemma 9:  $nm$  saturating pushes

Lemma 10:  $O(n^2m)$  nonsaturating pushes

Lemma 11:  $O(nm)$  search time for eligible edges

---

Total time  $O(n^2m)$

□

## FIFO Preflow push

**Examine a node:** Saturating pushes until nonsaturating push or relabel.

Examine all nodes in phases (or use FIFO queue).

**Theorem:** time  $O(n^3)$

**Proof:** not here

# Highest Level Preflow Push

Always select active nodes that **maximize  $d(v)$**

Use **bucket priority queue** (insert, increaseKey, deleteMax)

not monotone (!) but **relabels** “pay” for scan operations

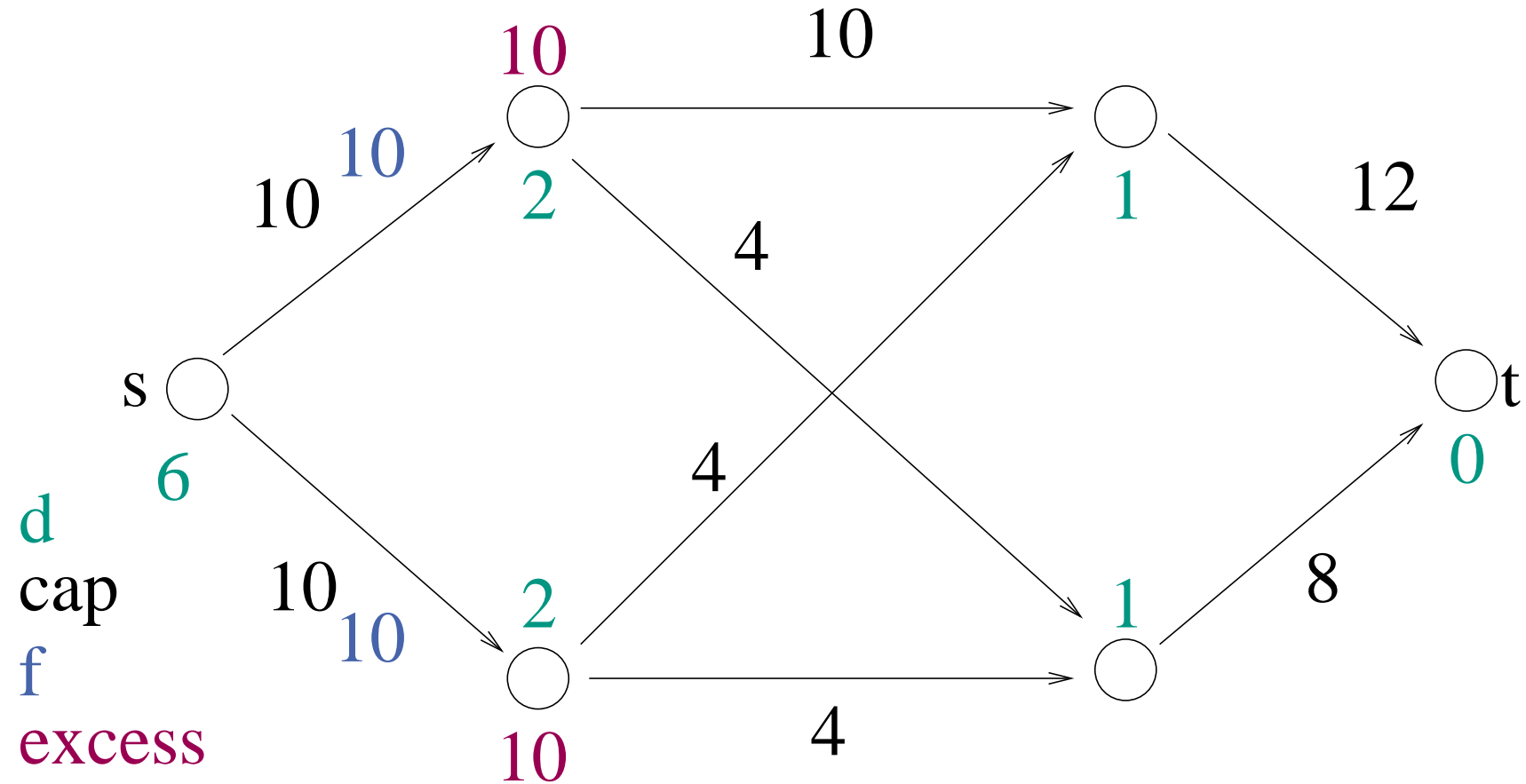
**Lemma 13.** *At most  $n^2\sqrt{m}$  nonsaturating pushes.*

*Beweis.* later

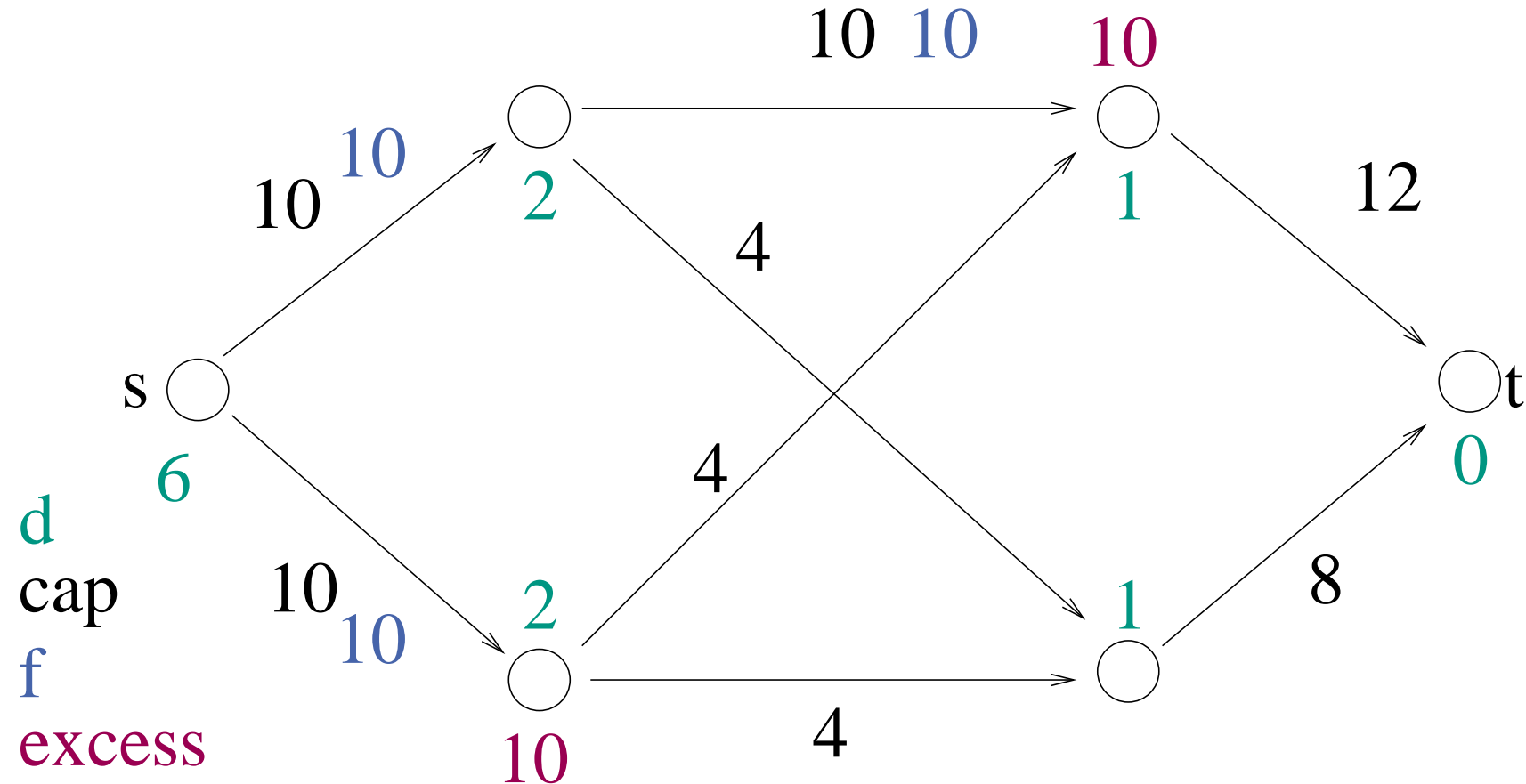
□

**Satz 14.** *Highest Level Preflow Push finds a maximum flow in time  $O(n^2\sqrt{m})$ .*

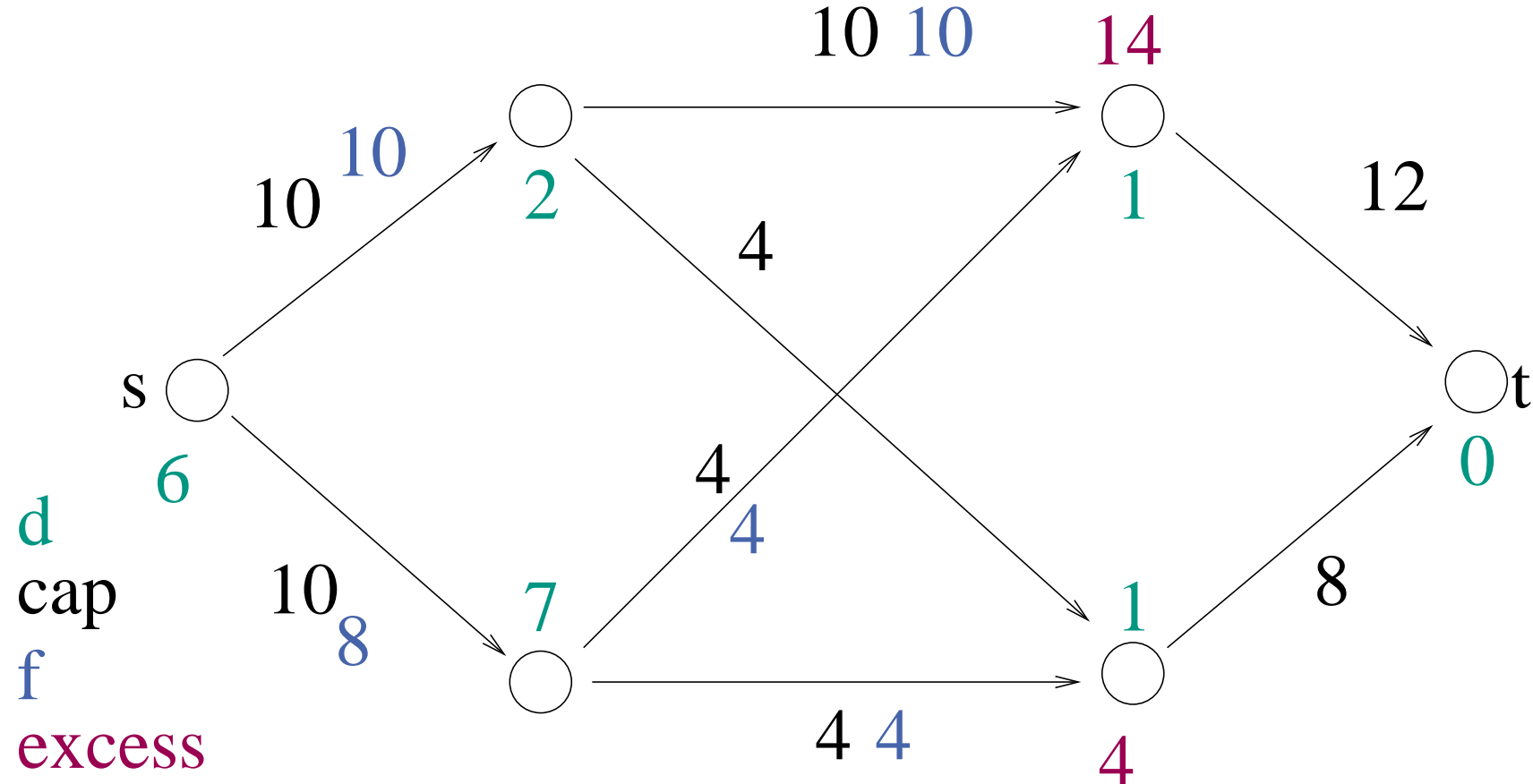
# Example



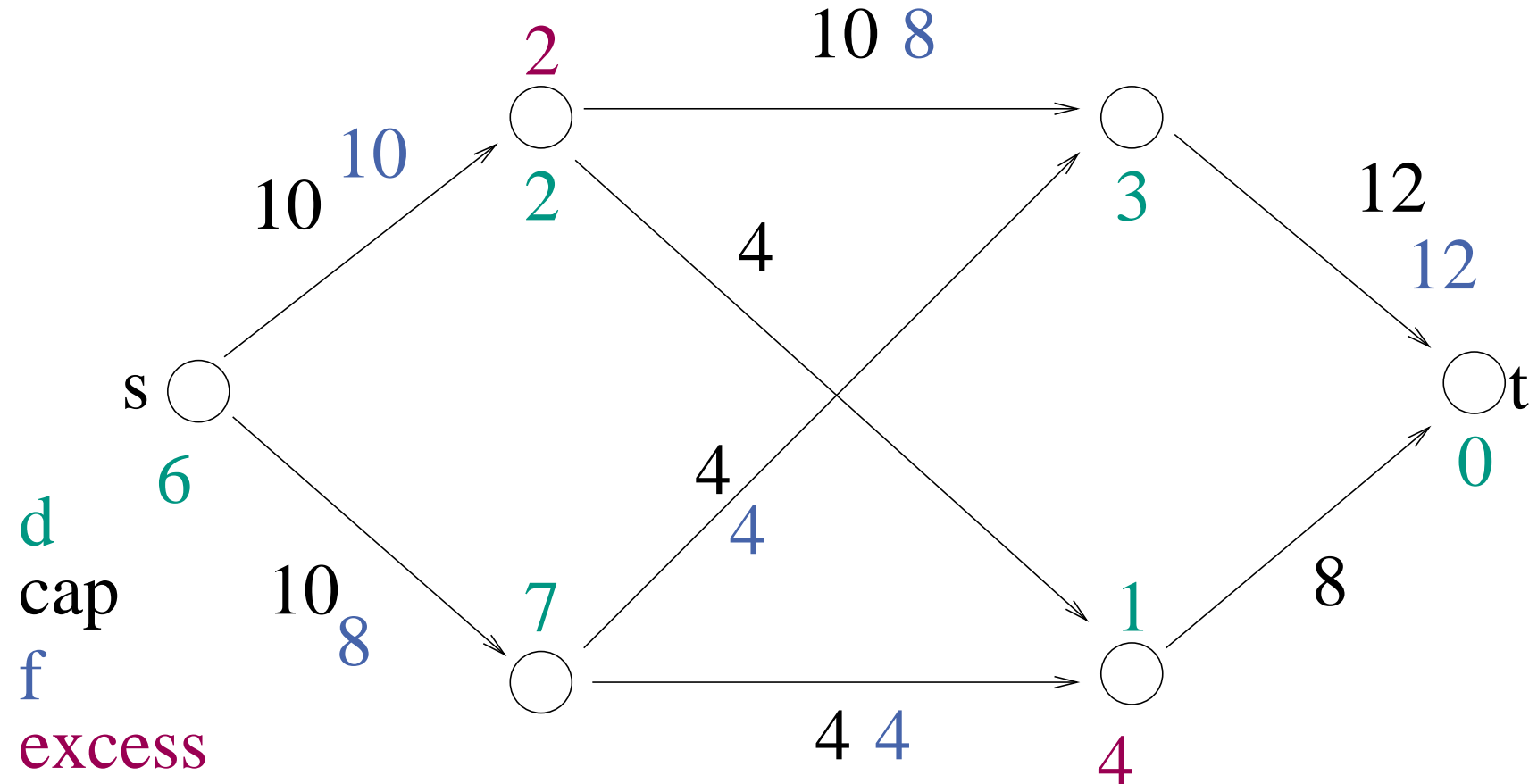
# Example



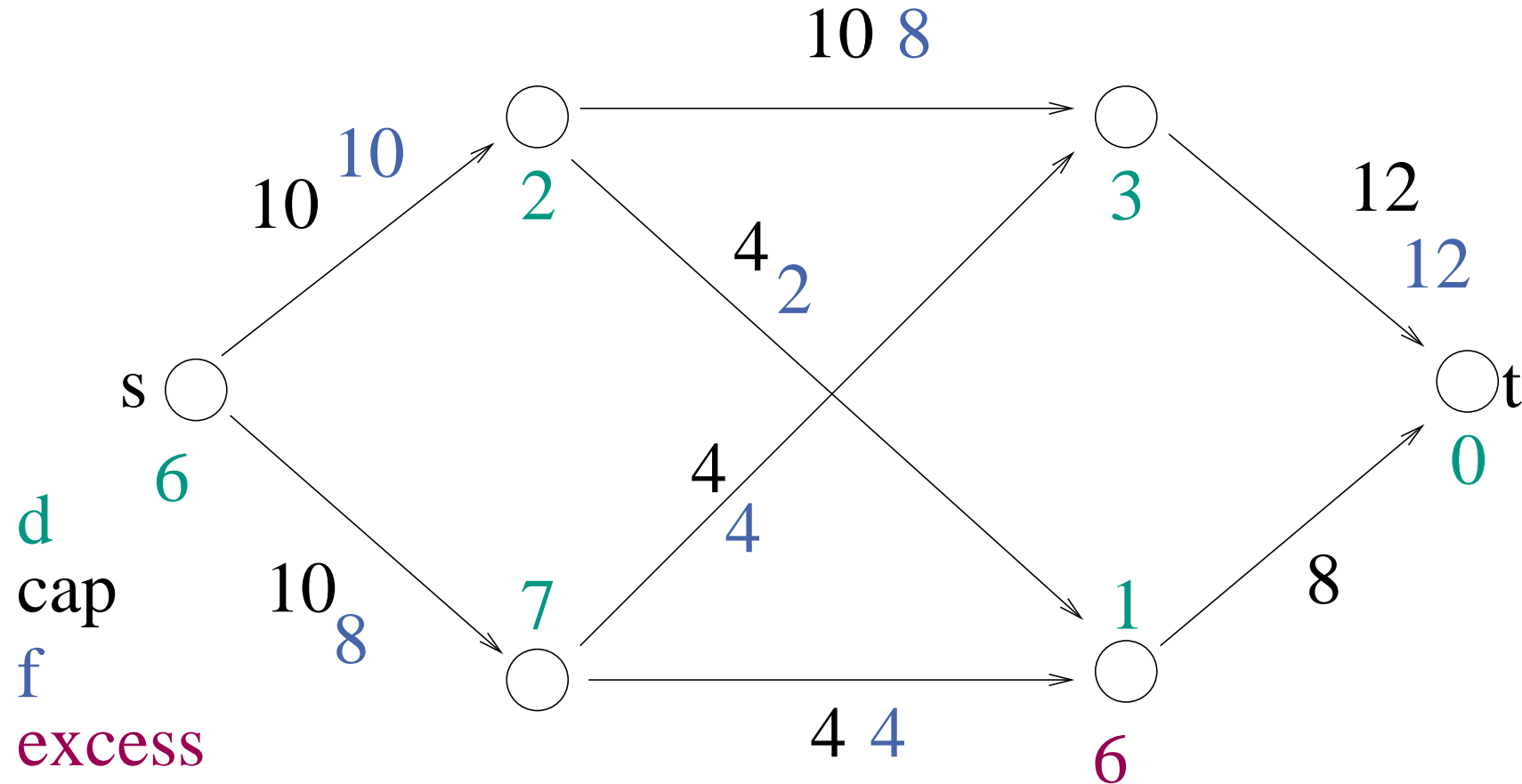
# Example



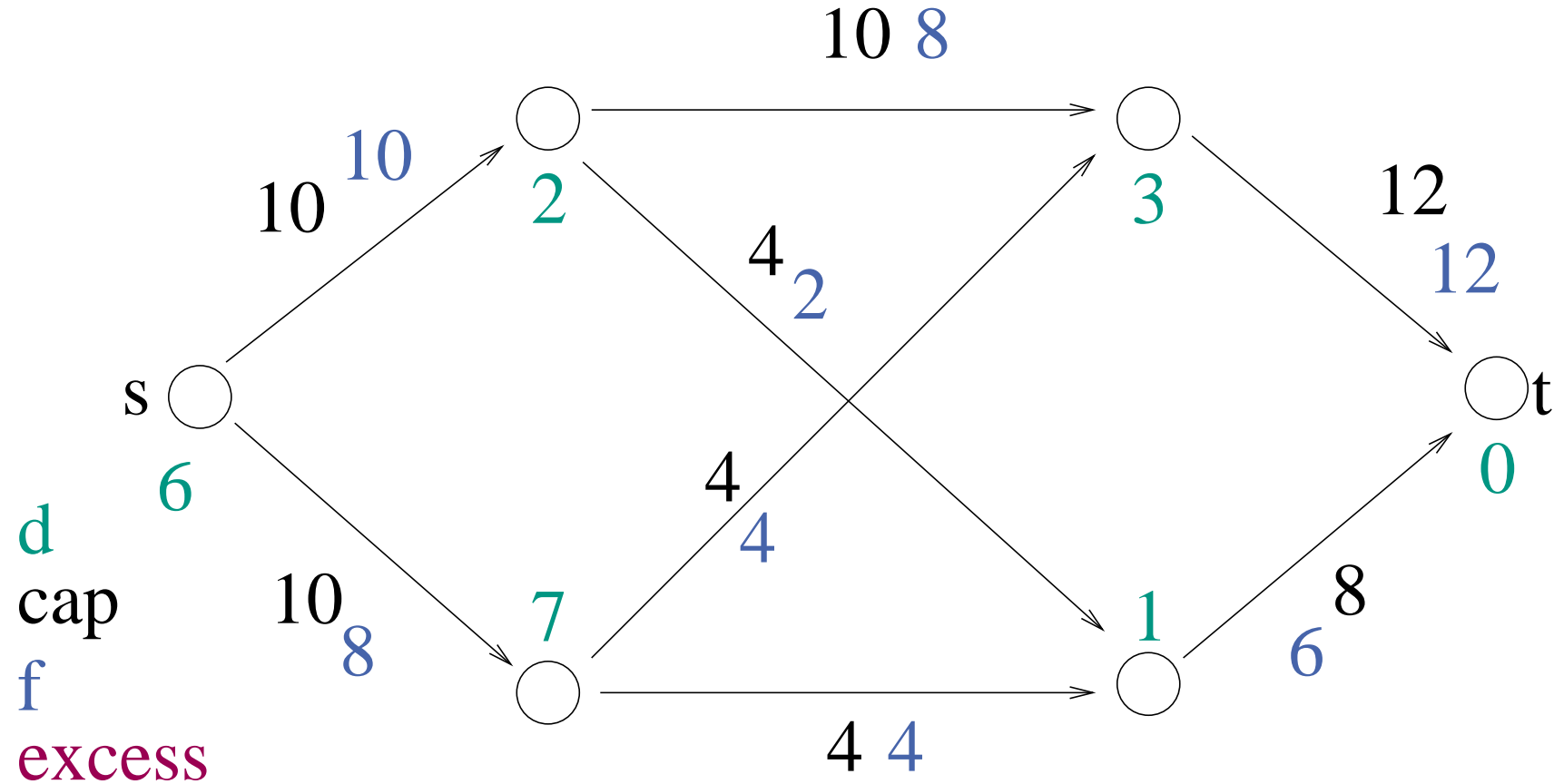
# Example



# Example



# Example



9 pushes in total, 3 less than before

# Proof of Lemma 13

$$K := \sqrt{m}$$

$$d'(v) := \frac{|\{w : d(w) \leq d(v)\}|}{K}$$

$$\Phi := \sum_{\{v : v \text{ is active}\}} d'(v).$$

$$d^* := \max \{d(v) : v \text{ is active}\}$$

**phase**:= all pushes between two consecutive changes of  $d^*$

**expensive phase**: more than  $K$  pushes

**cheap** phase: otherwise

tuning parameter

scaled number of dominated nodes

(Potential)

(highest level)

## Claims:

1.  $\leq 4n^2K$  nonsaturating pushes in all cheap phases together
2.  $\Phi \geq 0$  always,  $\Phi \leq n^2/K$  initially (obvious)
3. a relabel or saturating push increases  $\Phi$  by at most  $n/K$ .
4. a nonsaturating push does not increase  $\Phi$ .
5. an expensive phase with  $Q \geq K$  nonsaturating pushes decreases  $\Phi$  by at least  $Q$ .

**Lemma 8 + Lemma 9 + 2. + 3. + 4.  $\Rightarrow$**

$$\text{total possible decrease} \leq (2n^2 + nm) \frac{n}{K} + \frac{n^2}{K}$$

This + 5.  $\leq \frac{2n^3 + n^2 + mn^2}{K}$  nonsaturating pushes in **expensive** phases

This + 1.  $\leq \frac{2n^3 + n^2 + mn^2}{K} + 4n^2K = O(n^2\sqrt{m})$  nonsaturating pushes overall for  $K = \sqrt{m}$

| Operation | Amount |
|-----------|--------|
| Relabel   | $2n^2$ |
| Sat.push  | $nm$   |



## Claims:

1.  $\leq 4n^2K$  nonsaturating pushes in all cheap phases together

We first show that there are at most  $4n^2$  phases

(changes of  $d^* = \max \{d(v) : v \text{ is active}\}$ ).

$d^* = 0$  initially,  $d^* \geq 0$  always.

Only **relabel** operations increase  $d^*$ , i.e.,

$\leq 2n^2$  increases by **Lemma 8** and hence

$\leq 2n^2$  decreases

---

$\leq 4n^2$  changes overall

By definition of a cheap phase, it has at most  $K$  pushes.

## Claims:

1.  $\leq 4n^2K$  nonsaturating pushes in all cheap phases together
2.  $\Phi \geq 0$  always,  $\Phi \leq n^2/K$  initially (obvious)
3. a relabel or saturating push increases  $\Phi$  by at most  $n/K$ .

Let  $v$  denote the relabeled or activated node.

$$d'(v) := \frac{|\{w : d(w) \leq d(v)\}|}{K} \leq \frac{n}{K}$$

A relabel of  $v$  can increase only the  $d'$ -value of  $v$ .

A saturating push on  $(u, w)$  may activate only  $w$ .

## Claims:

1.  $\leq 4n^2K$  nonsaturating pushes in all cheap phases together
2.  $\Phi \geq 0$  always,  $\Phi \leq n^2/K$  initially (obvious)
3. a relabel or saturating push increases  $\Phi$  by at most  $n/K$ .
4. a nonsaturating push does not increase  $\Phi$ .

$v$  is deactivated ( $\text{excess}(v)$  is now 0)

$w$  may be activated

but  $d'(w) \leq d'(v)$  (we do not push flow away from the sink)

## Claims:

1.  $\leq 4n^2K$  nonsaturating pushes in all cheap phases together
2.  $\Phi \geq 0$  always,  $\Phi \leq n^2/K$  initially (obvious)
3. a relabel or saturating push increases  $\Phi$  by at most  $n/K$ .
4. a nonsaturating push does not increase  $\Phi$ .
5. an expensive phase with  $Q \geq K$  nonsaturating pushes decreases  $\Phi$  by at least  $Q$ .

During a phase  $d^*$  remains constant

Each nonsat. push decreases the number of nodes at level  $d^*$

Hence,  $|\{w : d(w) = d^*\}| \geq Q \geq K$  during an expensive phase

Each nonsat. push across  $(v, w)$  decreases  $\Phi$  by

$$\geq d'(v) - d'(w) \geq |\{w : d(w) = d^*\}| / K \geq K / K = 1$$
■

## Claims:

1.  $\leq 4n^2K$  nonsaturating pushes in all cheap phases together
2.  $\Phi \geq 0$  always,  $\Phi \leq n^2/K$  initially (obvious)
3. a relabel or saturating push increases  $\Phi$  by at most  $n/K$ .
4. a nonsaturating push does not increase  $\Phi$ .
5. an expensive phase with  $Q \geq K$  nonsaturating pushes decreases  $\Phi$  by at least  $Q$ .

**Lemma 8 + Lemma 9 + 2. + 3. + 4.  $\Rightarrow$**

$$\text{total possible decrease} \leq (2n^2 + nm) \frac{n}{K} + \frac{n^2}{K}$$

This + 5.  $\leq \frac{2n^3 + n^2 + mn^2}{K}$  nonsaturating pushes in **expensive** phases

This + 1.  $\leq \frac{2n^3 + n^2 + mn^2}{K} + 4n^2K = O(n^2\sqrt{m})$  nonsaturating pushes overall for  $K = \sqrt{m}$

| Operation | Amount |
|-----------|--------|
| Relabel   | $2n^2$ |
| Sat.push  | $nm$   |



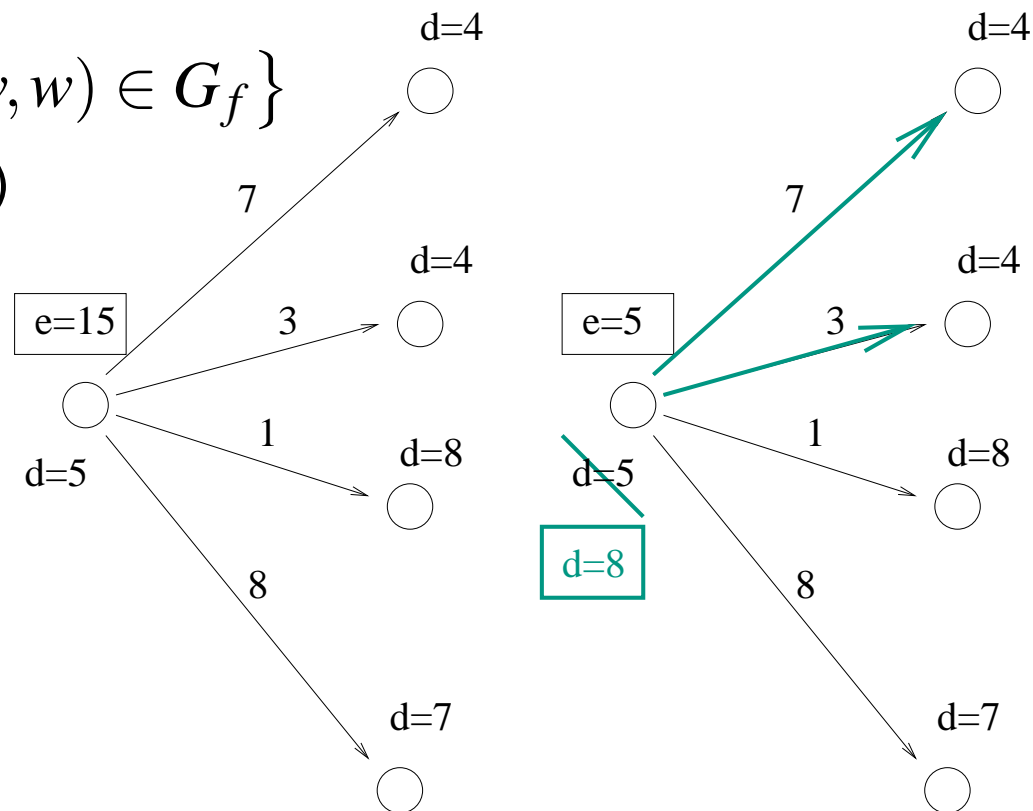
# Heuristic Improvements

Naive algorithm has **best case**  $\Omega(n^2)$ . Why? We can do better.

**aggressive local relabeling:**

$$d(v) := 1 + \min \{d(w) : (v, w) \in G_f\}$$

(like a sequence of relabels)



# Heuristic Improvements

Naive algorithm has **best case**  $\Omega(n^2)$ . Why?

We can do better.

**aggressive local relabeling:**  $d(v) := 1 + \min \{d(w) : (v, w) \in G_f\}$   
(like a sequence of relabels)

**global relabeling:** (initially and every  $O(m)$  edge inspections):

$d(v) := G_f.\text{reverseBFS}(t)$  for nodes that can reach  $t$  in  $G_f$ .

Special treatment of nodes with  $d(v) \geq n$ . (**Returning flow** is easy)

**Gap Heuristics.** No node can connect to  $t$  across an empty level:

**if**  $\{v : d(v) = i\} = \emptyset$  **then foreach**  $v$  with  $d(v) > i$  **do**  $d(v) := n$

# Experimental results

We use four classes of graphs:

- Random:  $n$  nodes,  $2n + m$  edges; all edges  $(s, v)$  and  $(v, t)$  exist
- Cherkassky and Goldberg (1997) (two graph classes)
- Ahuja, Magnanti, Orlin (1993)

## Timings: Random Graphs

| Rule | BASIC | HL    | LRH   | GRH  | GAP  | LEDA |
|------|-------|-------|-------|------|------|------|
| FF   | 5.84  | 6.02  | 4.75  | 0.07 | 0.07 | —    |
|      | 33.32 | 33.88 | 26.63 | 0.16 | 0.17 | —    |
| HL   | 6.12  | 6.3   | 4.97  | 0.41 | 0.11 | 0.07 |
|      | 27.03 | 27.61 | 22.22 | 1.14 | 0.22 | 0.16 |
| MF   | 5.36  | 5.51  | 4.57  | 0.06 | 0.07 | —    |
|      | 26.35 | 27.16 | 23.65 | 0.19 | 0.16 | —    |

$n \in \{1000, 2000\}$ ,  $m = 3n$

FF=FIFO node selection, HL=highest level, MF=modified FIFO

HL= $d(v) \geq n$  is special,

LRH=local relabeling heuristic, GRH=global relabeling heuristics

## Timings: CG1

| Rule | BASIC | HL    | LRH   | GRH  | GAP  | LEDA |
|------|-------|-------|-------|------|------|------|
| FF   | 3.46  | 3.62  | 2.87  | 0.9  | 1.01 | —    |
|      | 15.44 | 16.08 | 12.63 | 3.64 | 4.07 | —    |
| HL   | 20.43 | 20.61 | 20.51 | 1.19 | 1.33 | 0.8  |
|      | 192.8 | 191.5 | 193.7 | 4.87 | 5.34 | 3.28 |
| MF   | 3.01  | 3.16  | 2.3   | 0.89 | 1.01 | —    |
|      | 12.22 | 12.91 | 9.52  | 3.65 | 4.12 | —    |

$n \in \{1000, 2000\}$ ,  $m = 3n$

FF=FIFO node selection, HL=highest level, MF=modified FIFO

HL= $d(v) \geq n$  is special,

LRH=local relabeling heuristic, GRH=global relabeling heuristics

## Timings: CG2

| Rule | BASIC | HL    | LRH   | GRH  | GAP  | LEDA |
|------|-------|-------|-------|------|------|------|
| FF   | 50.06 | 47.12 | 37.58 | 1.76 | 1.96 | —    |
|      | 239   | 222.4 | 177.1 | 7.18 | 8    | —    |
| HL   | 42.95 | 41.5  | 30.1  | 0.17 | 0.14 | 0.08 |
|      | 173.9 | 167.9 | 120.5 | 0.36 | 0.28 | 0.18 |
| MF   | 45.34 | 42.73 | 37.6  | 0.94 | 1.07 | —    |
|      | 198.2 | 186.8 | 165.7 | 4.11 | 4.55 | —    |

$n \in \{1000, 2000\}$ ,  $m = 3n$

FF=FIFO node selection, HL=highest level, MF=modified FIFO

HL= $d(v) \geq n$  is special,

LRH=local relabeling heuristic, GRH=global relabeling heuristics

## Timings: AMO

| Rule | BASIC | HL    | LRH     | GRH    | GAP    | LEDA |
|------|-------|-------|---------|--------|--------|------|
| FF   | 12.61 | 13.25 | 1.17    | 0.06   | 0.06   | —    |
|      | 55.74 | 58.31 | 5.01    | 0.1399 | 0.1301 | —    |
| HL   | 15.14 | 15.8  | 1.49    | 0.13   | 0.13   | 0.07 |
|      | 62.15 | 65.3  | 6.99    | 0.26   | 0.26   | 0.14 |
| MF   | 10.97 | 11.65 | 0.04999 | 0.06   | 0.06   | —    |
|      | 46.74 | 49.48 | 0.1099  | 0.1301 | 0.1399 | —    |

$n \in \{1000, 2000\}$ ,  $m = 3n$

FF=FIFO node selection, HL=highest level, MF=modified FIFO

HL= $d(v) \geq n$  is special,

LRH=local relabeling heuristic, GRH=global relabeling heuristics

## Asymptotics, $n \in \{5000, 10000, 20000\}$

| Gen  | Rule | GRH  |       |       | GAP  |       |       | LEDA |       |       |
|------|------|------|-------|-------|------|-------|-------|------|-------|-------|
| rand | FF   | 0.16 | 0.41  | 1.16  | 0.15 | 0.42  | 1.05  | —    | —     | —     |
|      | HL   | 1.47 | 4.67  | 18.81 | 0.23 | 0.57  | 1.38  | 0.16 | 0.45  | 1.09  |
|      | MF   | 0.17 | 0.36  | 1.06  | 0.14 | 0.37  | 0.92  | —    | —     | —     |
| CG1  | FF   | 3.6  | 16.06 | 69.3  | 3.62 | 16.97 | 71.29 | —    | —     | —     |
|      | HL   | 4.27 | 20.4  | 77.5  | 4.6  | 20.54 | 80.99 | 2.64 | 12.13 | 48.52 |
|      | MF   | 3.55 | 15.97 | 68.45 | 3.66 | 16.5  | 70.23 | —    | —     | —     |
| CG2  | FF   | 6.8  | 29.12 | 125.3 | 7.04 | 29.5  | 127.6 | —    | —     | —     |
|      | HL   | 0.33 | 0.65  | 1.36  | 0.26 | 0.52  | 1.05  | 0.15 | 0.3   | 0.63  |
|      | MF   | 3.86 | 15.96 | 68.42 | 3.9  | 16.14 | 70.07 | —    | —     | —     |
| AMO  | FF   | 0.12 | 0.22  | 0.48  | 0.11 | 0.24  | 0.49  | —    | —     | —     |
|      | HL   | 0.25 | 0.48  | 0.99  | 0.24 | 0.48  | 0.99  | 0.12 | 0.24  | 0.52  |
|      | MF   | 0.11 | 0.24  | 0.5   | 0.11 | 0.24  | 0.48  | —    | —     | —     |

# Minimum Cost Flows

Define  $G = (V, E)$ ,  $f$ , excess, and  $c$  as for maximum flows.

Let  $\text{cost} : E \rightarrow \mathbb{R}$  denote the edge costs.

Consider supply :  $V \rightarrow \mathbb{R}$  with  $\sum_{v \in V} \text{supply}(v) = 0$ . A negative supply is called a demand.

Objective: minimize cost( $f$ ) :=  $\sum_{e \in E} f(e) \text{cost}(e)$

subject to

$\forall v \in V : \text{excess}(v) = -\text{supply}(v)$  flow conservation constraints

$\forall e \in E : f(e) \leq c(e)$  capacity constraints

# Cycle Canceling Alg. for Min-Cost Flow

Residual cost:

$$\text{cost}_f(e) = \text{cost}(e) \text{ (exists in } G_f \text{ iff } f(e) < c(e))$$

$$\text{cost}_f(\text{reverse}(e)) = -\text{cost}(e) \text{ (exists in } G_f \text{ iff } f(e) > 0)$$

**Lemma 15.** *A feasible flow is optimal iff*

$$\nexists \text{ cycle } C \in G_f : \text{cost}_f(C) < 0$$

*Beweis.* not here

□

A pseudopolynomial Algorithm:

$f :=$  any feasible flow // Exercise: solve this problem using maximum flows

**invariant**  $f$  is feasible

**while**  $\exists$  cycle  $C : \text{cost}_f(C) < 0$  **do** augment flow around  $C$

**Korollar 16 (Integrality Property:).** *If all edge capacities are integral then there exists an integral minimum cost flow.*

# Finding a Feasible Flow

set up a maximum flow network  $G^*$  starting with the min cost flow problem  $G$ :

- Add a vertex  $s$
- $\forall v \in V$  with  $\text{supply}(v) > 0$ , add edge  $(s, v)$  with cap.  $\text{supply}(v)$
- Add a vertex  $t$
- $\forall v \in V$  with  $\text{supply}(v) < 0$ , add edge  $(v, t)$  with cap.  $-\text{supply}(v)$
- find a maximum flow  $f$  in  $G^*$

$f$  saturates the edges leaving  $s \Rightarrow f$  is feasible for  $G$

otherwise there cannot be a feasible flow  $f'$  because  $f'$  could easily be converted into a flow in  $G^*$  with larger value.

# Better Algorithms

**Satz 17.** *The min-cost flow problem can be solved in time  $O(mn \log n + m^2 \log \max_{e \in E} c(e))$ .*

For details take the courses in optimization or network flows.

# Special Cases of Min Cost Flows

Transportation Problem:  $\forall e \in E : c(e) = \infty$

Minimum Cost Bipartite Perfect Matching:

A transportation problem in a bipartite graph  $G = (A \cup B, E \subseteq A \times B)$   
with

$\text{supply}(v) = 1$  for  $v \in A$ ,

$\text{supply}(v) = -1$  for  $v \in B$ .

An **integral** flow defines a matching

Reminder:  $M \subseteq E$  is a **matching** if  $(V, M)$  has maximum degree one.

A rule of Thumb: If you have a combinatorial optimization problem. Try to formulate it as a shortest path, flow, or matching problem. If this fails its likely to be NP-hard.

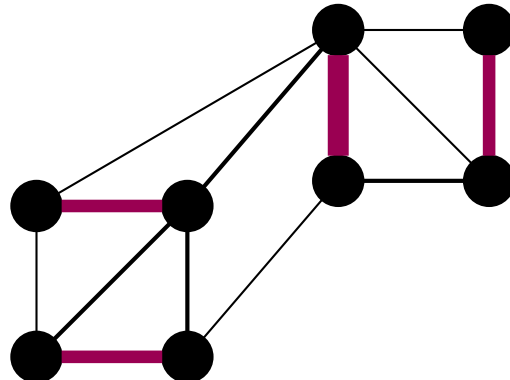
# Maximum Weight Matching

Generalization of maximum cardinality matching. Find a matching

$M^* \subseteq E$  such that  $w(M^*) := \sum_{e \in M^*} w(e)$  is maximized

Applications: Graph partitioning, selecting communication partners...

**Satz 18.** *A maximum weighted matching can be found in time  $O(nm + n^2 \log n)$ . [Gabow 1992]*



## Approximate Weighted Matching

**Satz 19.** *There is an  $O(m)$  time algorithm that finds a matching of weight at least  $\max_{\text{matching } M} w(M)/2$ .*

*[Drake Hougardy 2002]*

The algorithm is a  $1/2$ -approximation algorithm.

# Approximate Weighted Matching Algorithm

$M' := \emptyset$

**invariant**  $M'$  is a set of simple paths

**while**  $E \neq \emptyset$  **do** // find heavy simple paths

  select any  $v \in V$  with  $\text{degree}(v) > 0$  // select a starting node

**while**  $\text{degree}(v) > 0$  **do** // extend path greedily

$(v, w) :=$  heaviest edge leaving  $v$  // (\*)

$M' := M' \cup \{(v, w)\}$

      remove  $v$  from the graph

$v := w$

**return** any matching  $M \subseteq M'$  with  $w(M) \geq w(M')/2$

// one path at a time, e.g., look at the two ways to take every other edge.

# Proof of Approximation Ratio

Let  $M^*$  denote a maximum weight matching.

It suffices to show that  $w(M') \geq w(M^*)$ .

**Assign** each edge to that incident node that is deleted first.

All  $e^* \in M^*$  are assigned to different nodes.

Consider any edge  $e^* \in M^*$  and assume it is assigned to node  $v$ .

Since  $e^*$  is assigned to  $v$ , it was available in line (\*).

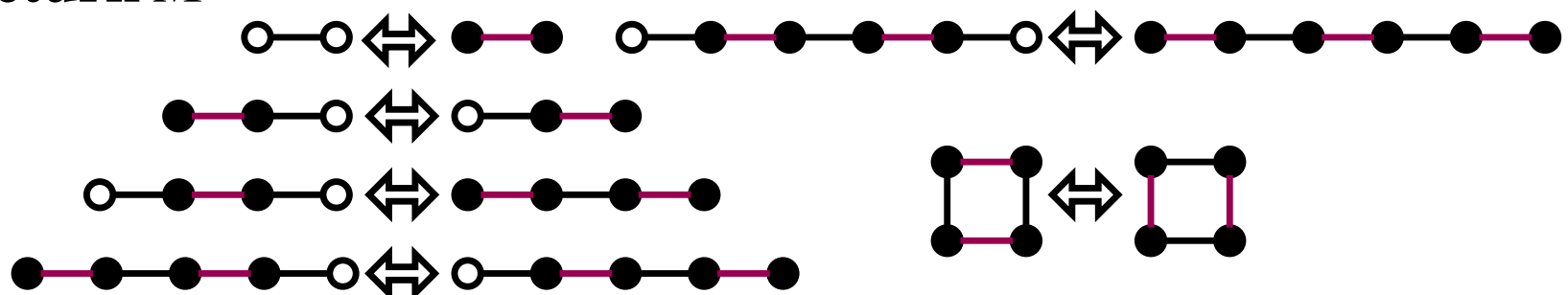
Hence, there is an edge  $e \in M'$  assigned to  $v$  with  $w(e) \geq w(e^*)$ .

# Better Approximate Weighted Matching

$\frac{2}{3} - \varepsilon$ -approximation in time  $O\left(m \log \frac{1}{\varepsilon}\right)$

[Pettie Sanders 2003]

0.  $M := \emptyset$
1. **repeat**  $\Theta\left(n \log \frac{1}{\varepsilon}\right)$  times:
  2. Let  $X \in V(G)$  be selected uniformly at random
  3.  $M := M \oplus \text{aug}(X)$
4. **return**  $M$



# Zusammenfassung Flows und Matchings

- Natürliche Verallgemeinerung von kürzesten Wegen:  
ein Pfad  $\rightsquigarrow$  viele Pfade
- viele Anwendungen
- “schwierigste/allgemeinsten” Graph-Probleme, die sich mit  
**kombinatorischen** Algorithmen in **Polynomialzeit** lösen lassen
- Beispiel für nichttriviale Algorithmenanalyse
- **Potentialmethode** ( $\neq$  **Knotenpotentiale**)
- Algorithm Engineering: practical case  $\neq$  worst case.  
**Heuristiken/Details/Eingabeeigenschaften** wichtig
- Datenstrukturen: bucket queues, graph representation, (dynamic trees)

# 6 Randomisierte Algorithmen

verwende Zufall(sbits) zur Beschleunigung/Vereinfachung von Algorithmen

Las Vegas: Ergebnis immer korrekt, Laufzeit ist Zufallsvariable.

Schon gesehen:

- quicksort
- hashing

Monte Carlo: Ergebnis mit bestimmter Wahrscheinlichkeit  $p$  inkorrekt.

$k$ -fache Wiederholung macht Fehlschlagswahrscheinlichkeit exponentiell klein ( $p^k$ ).

Mehr in der Vorlesung Randomisierte Algorithmen von Thomas Worsch

## 6.1 Sortieren – Ergebnisüberprüfung (Checking)

**Permutationseigenschaft** (Sortiertheit: trivial.)

$\langle e_1, \dots, e_n \rangle$  ist Permutation von  $\langle e'_1, \dots, e'_n \rangle$  gdw.

$$q(z) := \prod_{i=1}^n (z - \text{field}(\text{key}(e_i))) - \prod_{i=1}^n (z - \text{field}(\text{key}(e'_i))) = 0,$$

$\mathbb{F}$  sei Körper,  $\text{field} : \text{Key} \rightarrow \mathbb{F}$  sei injektiv.

Beobachtung:  $q$  hat höchstens  $n$  Nullstellen.

Auswertung an **zufälliger** Stelle  $x \in \mathbb{F}$ .

$$\mathbb{P}[q \neq 0 \wedge q(x) = 0] \leq \frac{n}{|\mathbb{F}|}$$

Monte Carlo-Algorithmus, Linearzeit.

Frage: Welchen Körper  $\mathbb{F}$  nehmen wir?

## 6.2 Hashing II

### Perfektes Hashing

Idee: mache  $h$  injektiv.

Braucht  $\Omega(n)$  bits Platz !

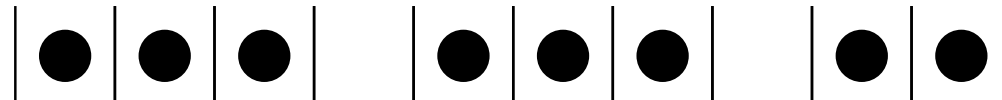
# Here: Fast Space Efficient Hashing

Represent a set of  $n$  elements (with associated information) using space  $(1 + \varepsilon)n$ .

Support operations **insert**, **delete**, **lookup**, (doall) efficiently.

Assume a truly random hash function  $h$

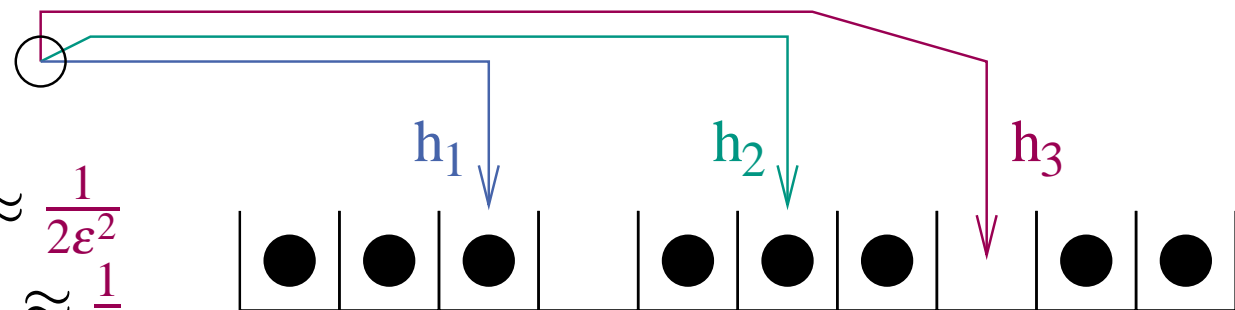
(Trick [Dietzfelbinger, Weidling 2005]: lässt sich rechtfertigen.)



# Related Work

Linear probing:  $E[T_{\text{find}}] \approx \frac{1}{2\varepsilon^2}$

Uniform hashing:  $E[T_{\text{find}}] \approx \frac{1}{\varepsilon}$

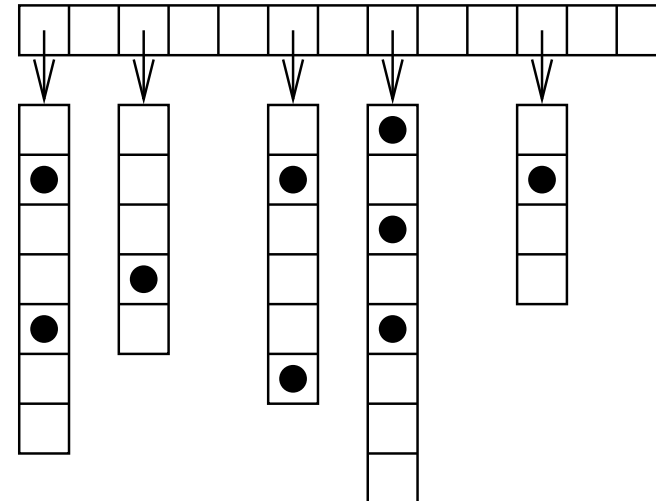


Dynamic Perfect Hashing,

[Dietzfelbinger et al. 94]

Worst case constant time

for lookup but  $\varepsilon$  is not small.



Approaching the Information Theoretic Lower Bound:

[Brodnik Munro 99, Raman Rao 02]

Space  $(1 + o(1)) \times$  lower bound without associated information

[Botelho Pagh Ziviani 2007] static case.

# Cuckoo Hashing

[Pagh Rodler 01]

Table of size  $(2 + \varepsilon)n$ .

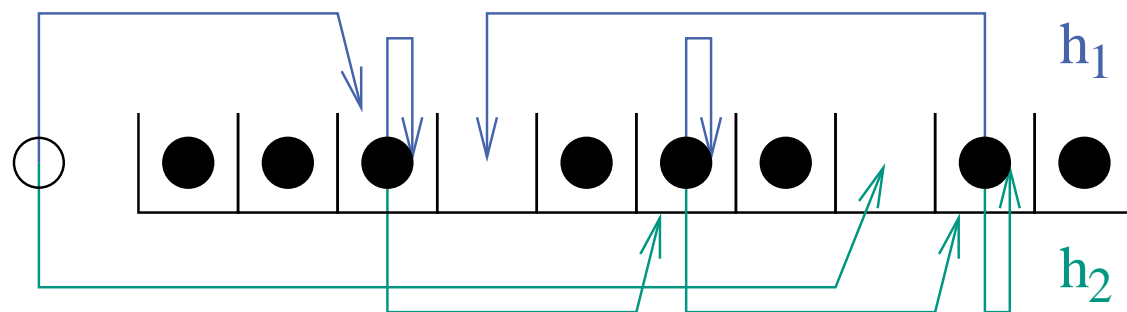
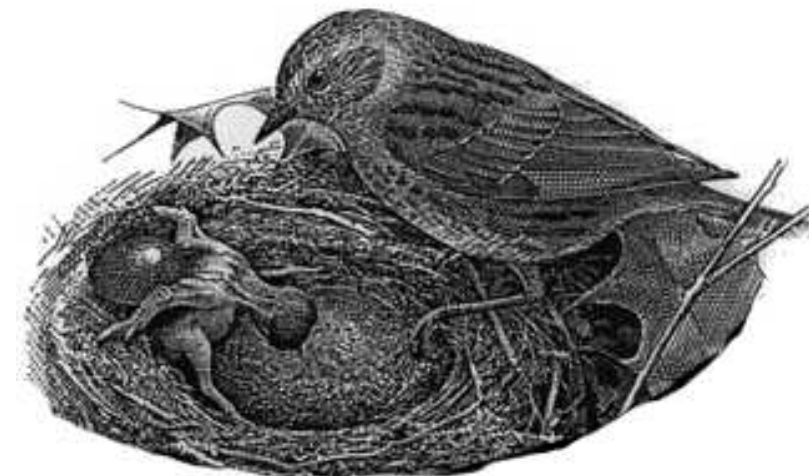
Two choices for each element.

Insert moves elements;

rebuild if necessary.

Very fast lookup and insert.

Expected constant insertion time.



# Cuckoo Hashing – Rebuilds

# When needed ?

# Graph model.

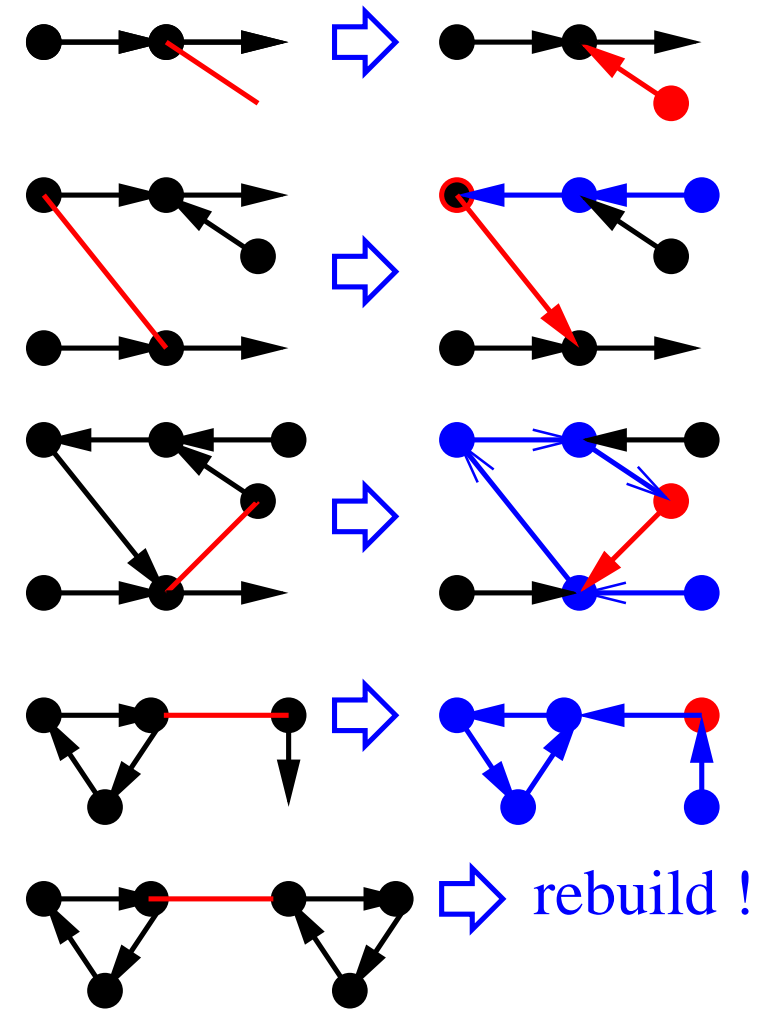
## node: table cells

undirected edge: element  $x \rightsquigarrow$

edge  $\{h_1(x), h_2(x)\}$

directed:  $(h_2(x), h_1(x))$  means  
element  $x$  is stored at cell  $h_2(x)$

**Lemma:**  $\text{insert}(x)$  succeeds iff  
the component containing  $h_1(x), h_2(x)$   
contains no more edges than nodes.



# Cuckoo Hashing – Rebuilds

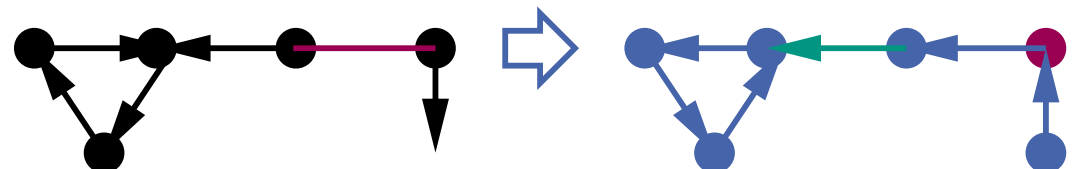
**Lemma:**  $\text{insert}(x)$  succeeds iff  
the component containing  $h_1(x), h_2(x)$   
contains no more edges than nodes.

**Proof outline:** (if-part)

$h_1(x)$  in tree: flip path to root

$h_1(x)$  in pseudotree  $p$ ,  $h_2(x)$  in tree  $t$ :

flip cycle and path to root in  $t$



# Cuckoo Hashing – How Many Rebuilds?

**Theorem:** For truly random hash functions,

$$\Pr[\text{rebuild necessary}] = O(1/n)$$

**Proof:** via random graph theory

# Random Graph Theory

[Erdős, Rényi 1959]

$\mathcal{G}(n, m)$ := sample space of all graphs with  $n$  nodes,  $m$  edges.

A random graph from  $\mathcal{G}(n, m)$  has certain properties **with high probability**, here  $\geq 1 - O(1/n)$ .

Famous: The evolution of component sizes with increasing  $m$ :

$< (1 - \varepsilon)n/2$ : Trees and Pseudotrees of size  $O(\log n)$

$> (1 + \varepsilon)n/2$ : A “giant” component of size  $\Theta(n)$  (sudden emergence)

$> (1 + \varepsilon)n \ln n/2$ : One single component

# Space Efficient Cuckoo Hashing

**$d$ -ary:** [Fotakis, Pagh, Sanders, Spirakis 2003]  $d$  possible places.

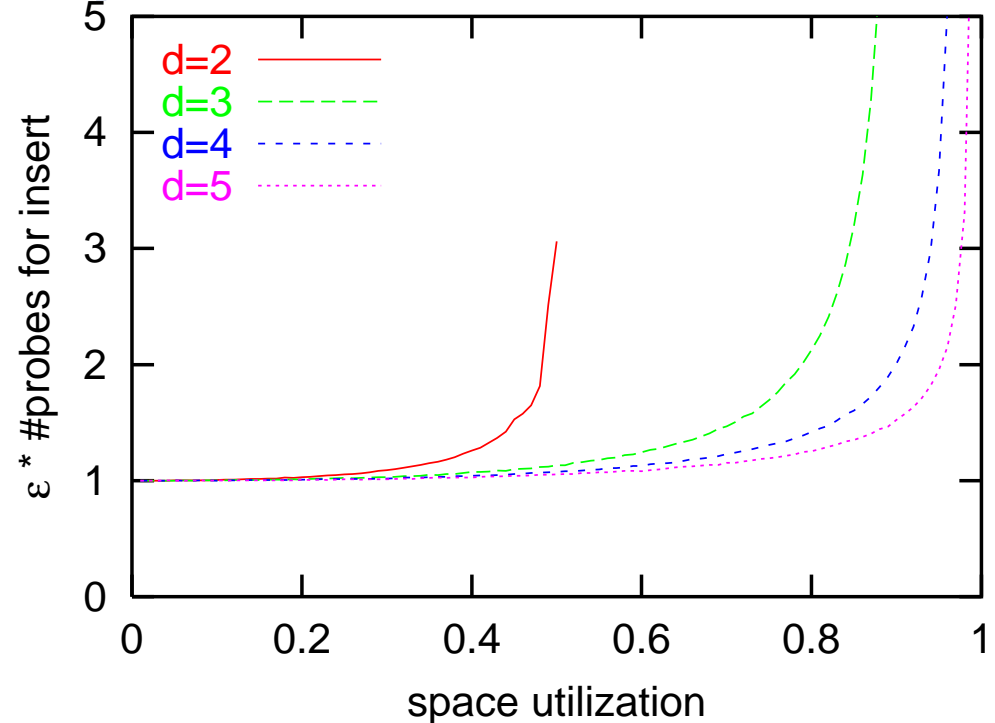
**blocked:** [Dietzfelbinger, Weidling 2005] cells house  $d$  elements.

Cache efficient !

**access time:**  $O\left(\log \frac{1}{\varepsilon}\right)$

**Insertion:** BFS, random walk, ...

expected time:  $O\left(\frac{1}{\varepsilon}\right)$  ?



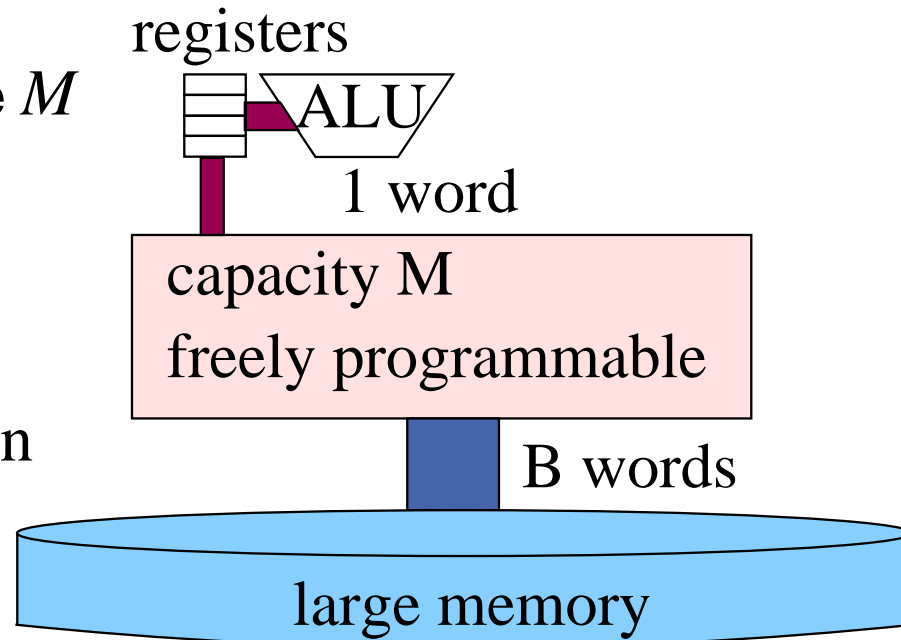
# 7 Externe Algorithmen

## 7.1 Das Sekundärspeichermodell

$M$ : Schneller Speicher der Größe  $M$

$B$ : Blockgröße

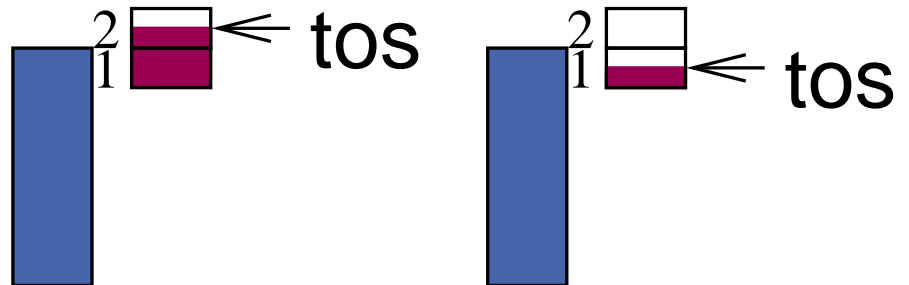
**Analyse:** Blockzugriffe zählen



## 7.2 Externe Stapel

Datei mit Blöcken

2 interne Puffer



**push:** Falls Platz, in Puffer.

Sonst schreibe Puffer **eins** in die Datei (push auf Blockebene)

Umbenennung: Puffer 1 und 2 tauschen die Plätze

**pop:** Falls vorhanden, pop aus Puffer.

Sonst lese Puffer **eins** aus der Datei (pop auf Blockebene)

Analyse: amortisiert  $O(1/B)$  I/Os pro Operation

Aufgabe 1: Beweis.

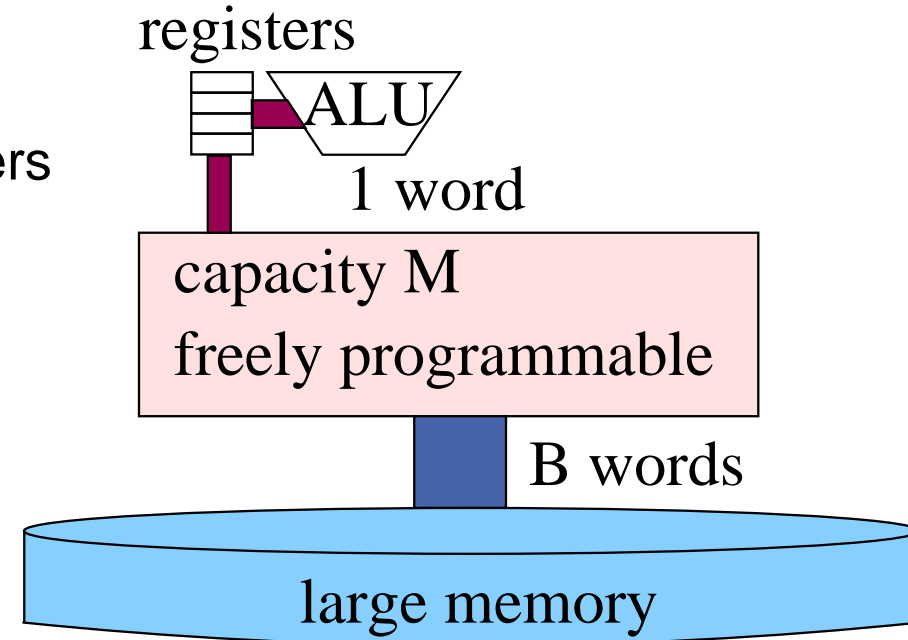
Aufgabe 2: effiziente Implementierung ohne überflüssiges Kopieren

## 7.3 Externes Sortieren

$n$ : Eingabegröße

$M$ : Größe des schnellen Speichers

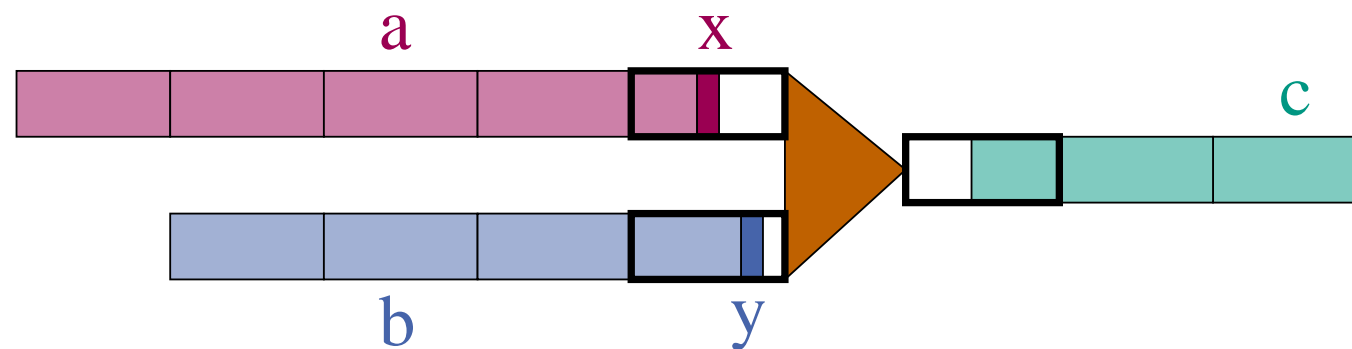
$B$ : Blockgröße



**Procedure** externalMerge( $a, b, c$  :File of Element)

```

 $x := a.readElement$            // Assume emptyFile.readElement =  $\infty$ 
 $y := b.readElement$ 
for  $j := 1$  to  $|a| + |b|$  do
    if  $x \leq y$  then    $c.writeElement(x)$ ;  $x := a.readElement$ 
    else                   $c.writeElement(y)$ ;  $y := b.readElement$ 
  
```



## Externes (binäres) Mischen – I/O-Analyse

Datei  $a$  lesen:  $\lceil |a|/B \rceil \leq |a|/B + 1$ .

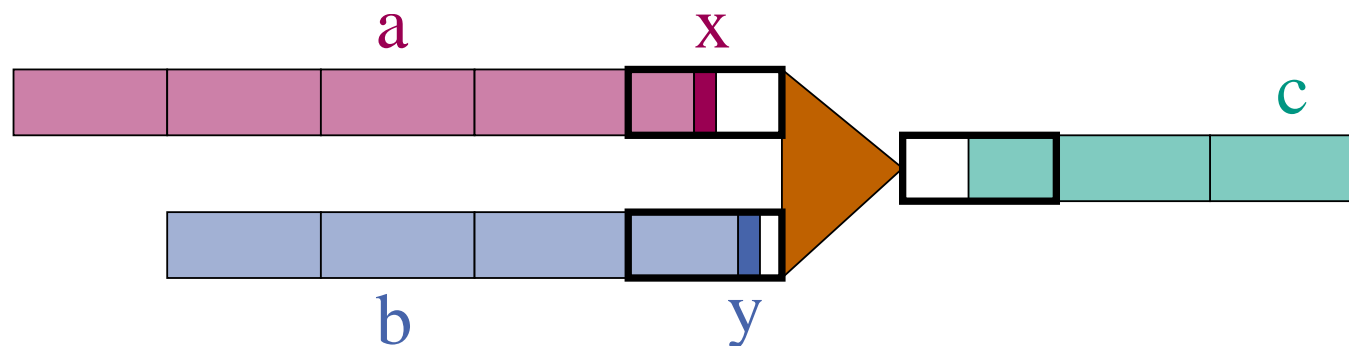
Datei  $b$  lesen:  $\lceil |b|/B \rceil \leq |b|/B + 1$ .

Datei  $c$  schreiben:  $\lceil (|a| + |b|)/B \rceil \leq (|a| + |b|)/B + 1$ .

Insgesamt:

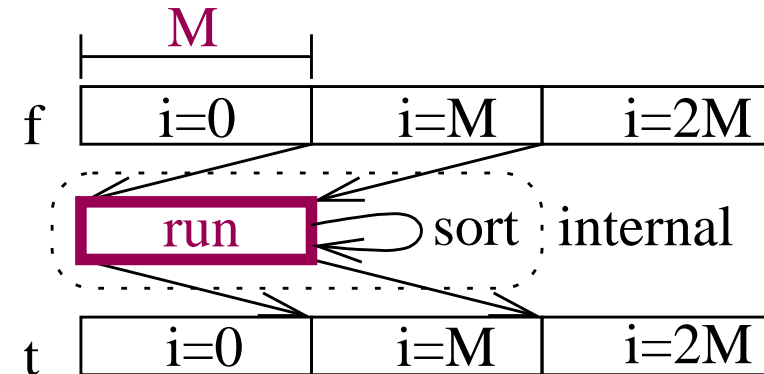
$$\leq 3 + 2 \frac{|a| + |b|}{B} \approx 2 \frac{|a| + |b|}{B}$$

Bedingung: Wir brauchen 3 Pufferblöcke, d.h.,  $M > 3B$ .



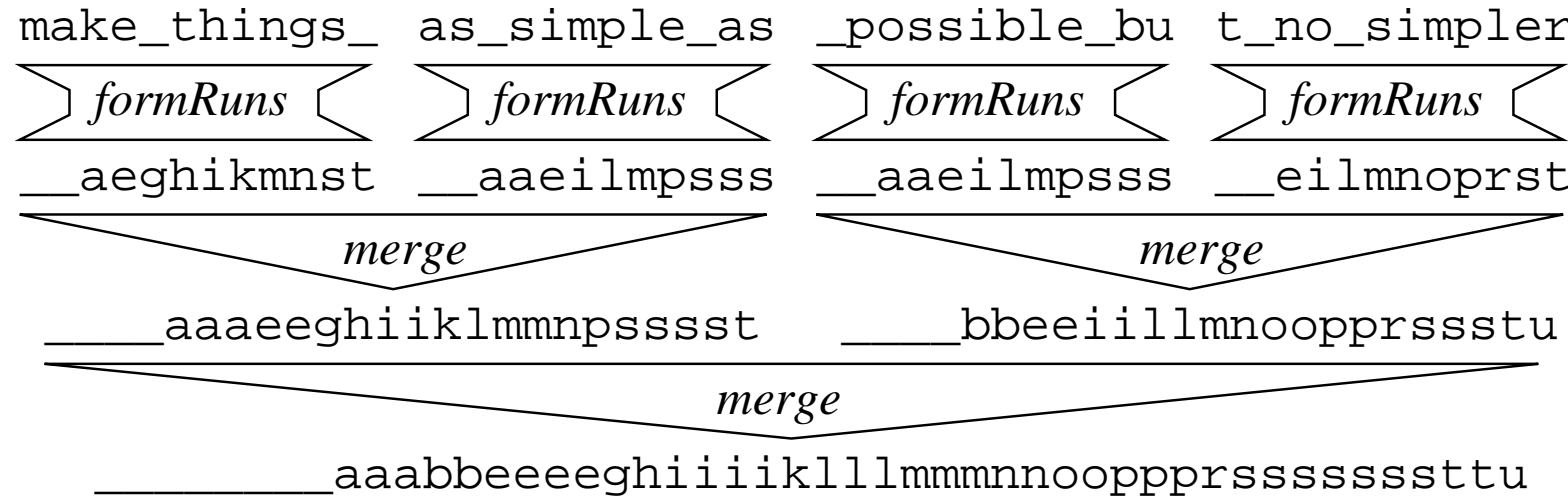
# Run Formation

Sortiere Eingabeportionen der Größe  $M$



$$\text{I/Os: } \approx 2 \frac{n}{B}$$

# Sortieren durch Externes Binäres Mischen



```

Procedure externalBinaryMergeSort // I/Os: ≈
  run formation //  $2n/B$ 
  while more than one run left do //  $\lceil \log \frac{n}{M} \rceil \times$ 
    merge pairs of runs //  $2n/B$ 
  output remaining run //  $\sum : 2\frac{n}{B} \left( 1 + \lceil \log \frac{n}{M} \rceil \right)$ 

```

## Zahlenbeispiel: PC 2010

$$n = 2^{39} \text{ Byte}$$

$$M = 2^{33} \text{ Byte}$$

$$B = 2^{22} \text{ Byte}$$

I/O braucht  $2^{-4}$  s

$$\text{Zeit: } 2 \frac{n}{B} \left( 1 + \left\lceil \log \frac{n}{M} \right\rceil \right) = 2 \cdot 2^{17} \cdot (1 + 6) \cdot 2^{-4} \text{ s} = 2^{16} \text{ s} \approx 32 \text{ h}$$

Idee: 7 Durchläufe  $\rightsquigarrow$  2 Durchläufe

# Mehrwegemischen

**Procedure** multiwayMerge( $a_1, \dots, a_k, c$  :File of Element)

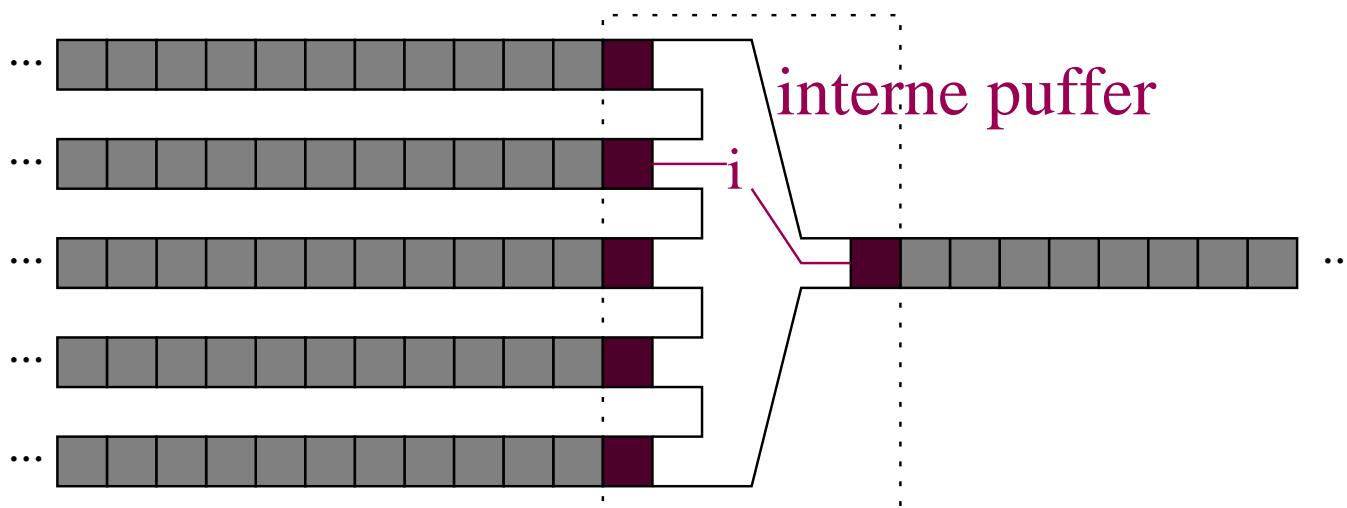
**for**  $i := 1$  **to**  $k$  **do**  $x_i := a_i.\text{readElement}$

**for**  $j := 1$  **to**  $\sum_{i=1}^k |a_i|$  **do**

    find  $i \in 1..k$  that minimizes  $x_i$  // no I/Os!,  $O(\log k)$  time

$c.\text{writeElement}(x_i)$

$x_i := a_i.\text{readElement}$



# Mehrwegemischen – Analyse

I/Os: Datei  $a_i$  lesen:  $\approx |a_i|/B$ .

Datei  $c$  schreiben:  $\approx \sum_{i=1}^k |a_i|/B$

Insgesamt:

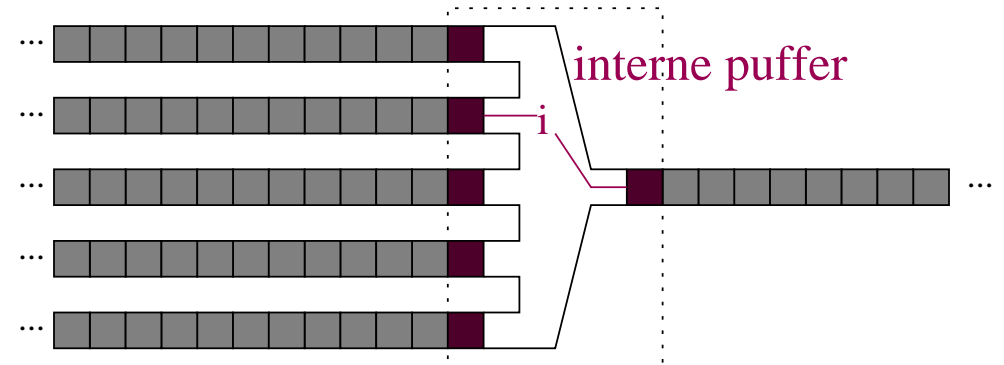
$$\leq \approx 2 \frac{\sum_{i=1}^k |a_i|}{B}$$

Bedingung: Wir brauchen  $k + 1$  Pufferblöcke, d.h.,  $k + 1 < M/B$

(im Folgenden vereinfacht zu  $k < M/B$ )

**Interne Arbeit:** (benutze Prioritätsliste !)

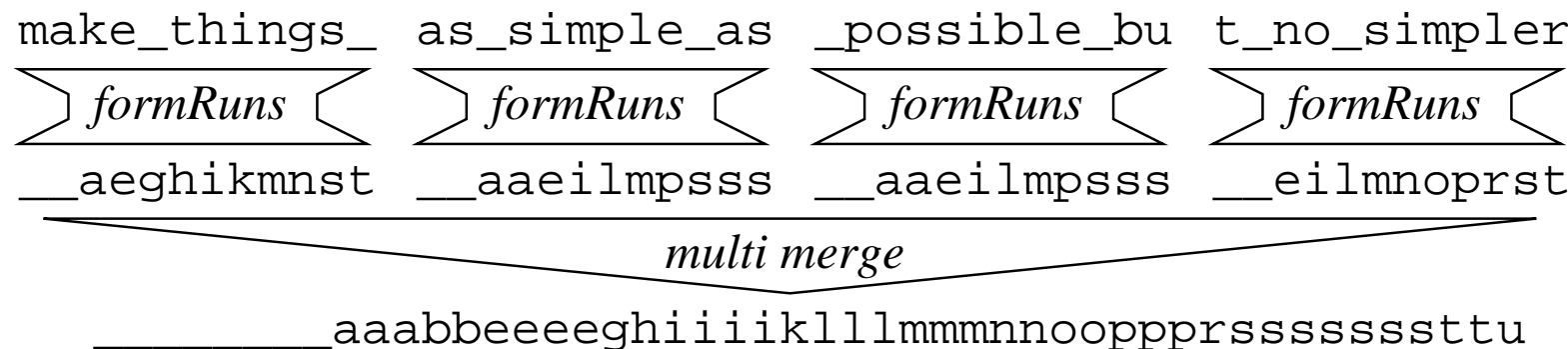
$$O\left(\log k \sum_{i=1}^k |a_i|\right)$$



# Sortieren durch Mehrwege-Mischen

- Sortiere  $\lceil n/M \rceil$  runs mit je  $M$  Elementen  $2n/B$  I/Os
  - Mische jeweils  $M/B$  runs  $2n/B$  I/Os
  - bis nur noch ein run übrig ist  $\times \left\lceil \log_{M/B} \frac{n}{M} \right\rceil$  Mischphasen
- 

Insgesamt  $\text{sort}(n) := \frac{2n}{B} \left( 1 + \left\lceil \log_{M/B} \frac{n}{M} \right\rceil \right)$  I/Os



# Sortieren durch Mehrwege-Mischen

## Interne Arbeit:

$$O\left(\overbrace{n \log M}^{\text{run formation}} + \underbrace{n \log \frac{M}{B}}_{\text{PQ access per phase}} \overbrace{\log_{M/B} \frac{n}{M}}^{\text{phases}}\right) = O(n \log n)$$

## Mehr als eine Mischphase?:

Nicht für Hierarchie Hauptspeicher, Festplatte.

$$\text{Grund } \frac{M}{B} > \frac{\approx 400}{\text{RAM Euro/bit}} \quad \frac{\text{Platte Euro/bit}}{\text{Platte Euro/bit}}$$

# Mehr zu externem Sortieren

Untere Schranke  $\approx \frac{2^{(?)}n}{B} \left( 1 + \left\lceil \log_{M/B} \frac{n}{M} \right\rceil \right)$  I/Os  
[Aggarwal Vitter 1988]

Obere Schranke  $\approx \frac{2n}{DB} \left( 1 + \left\lceil \log_{M/B} \frac{n}{M} \right\rceil \right)$  I/Os (erwartet)  
für  $D$  parallele Platten

[Hutchinson Sanders Vitter 2005, Dementiev Sanders 2003]

Offene Frage: deterministisch?

# Externe Prioritätslisten

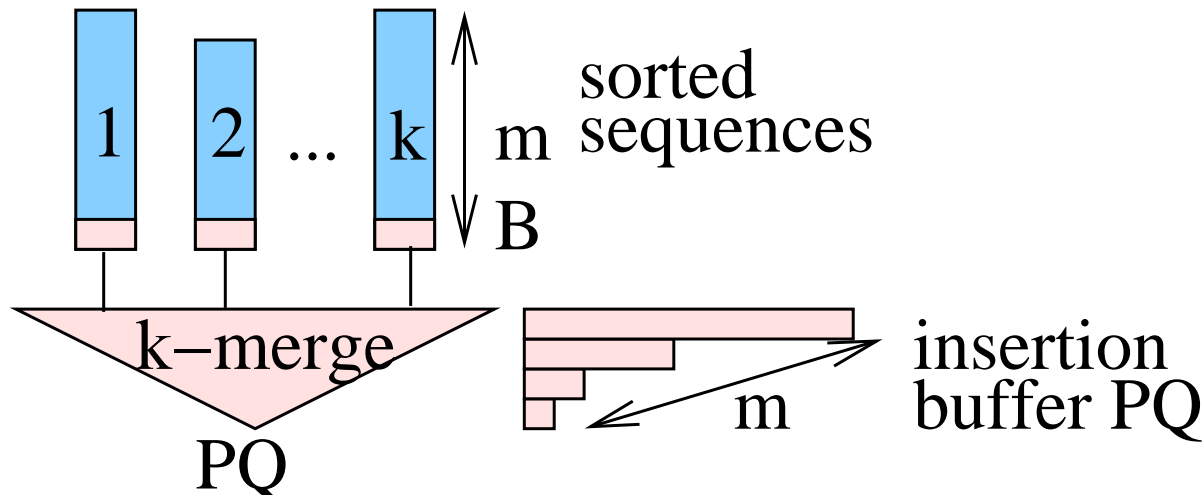
Problem: Binary heaps brauchen

$$\Theta\left(\log \frac{n}{M}\right) \text{ I/Os pro deleteMin}$$

Wir hätten gerne:

$$\Theta\left(\frac{1}{B} \log_{M/B} \frac{n}{M}\right) \text{ I/Os amortisiert}$$

# Mittelgroße PQs – $km \ll M^2/B$ Einfügungen



Insert: Anfangs in **insertion buffer**.

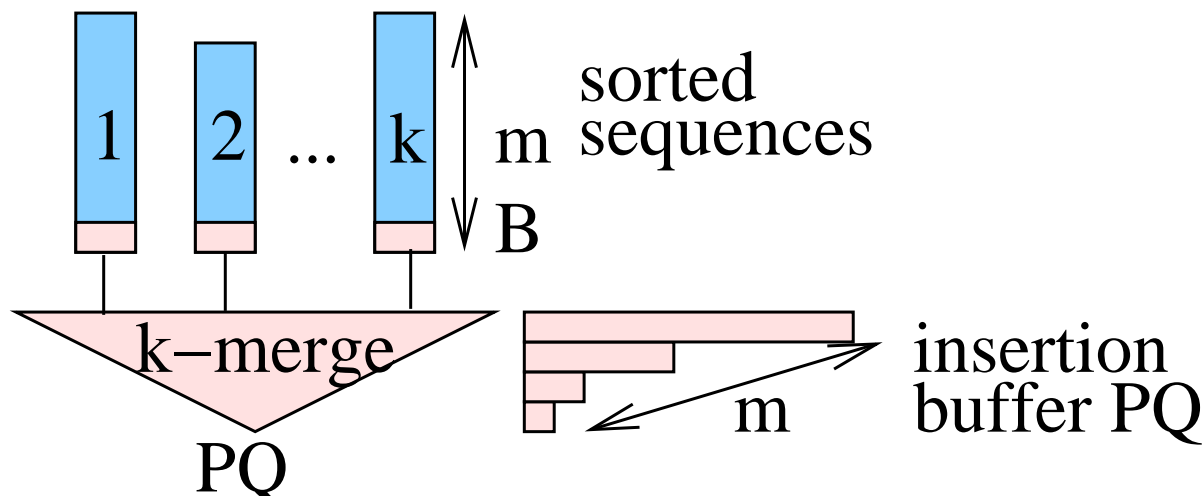
Überlauf →

sort; flush; kleinster Schlüssel in merge-PQ

Delete-Min: deleteMin aus der PQ mit kleinerem min

## Analyse – I/Os

deleteMin: jedes Element wird  $\leq 1 \times$  gelesen, zusammen mit  $B$   
anderen – amortisiert  $1/B$  penalty für insert.



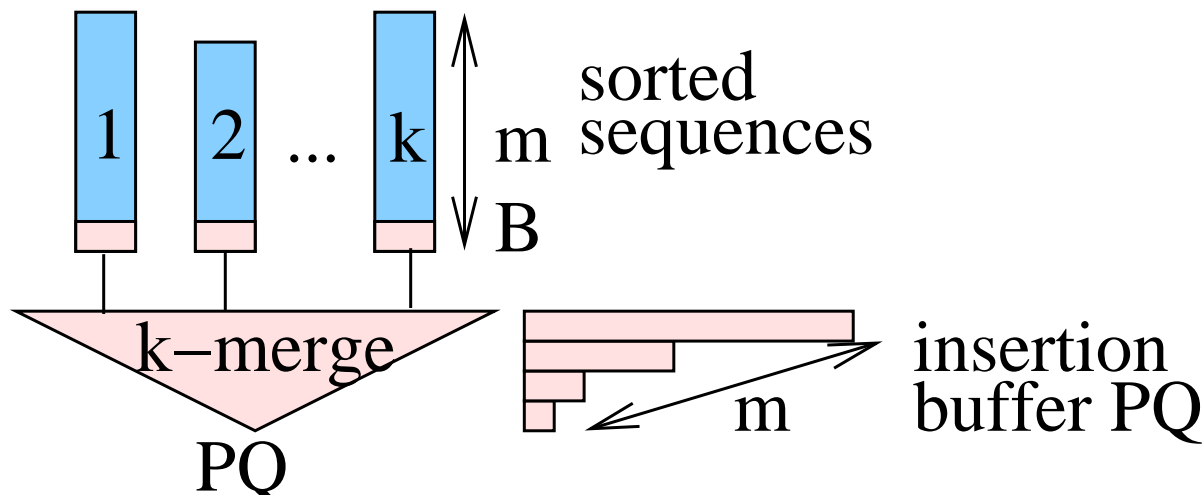
# Analyse – Vergleiche (Maß für interne Arbeit)

deleteMin:  $1 + O(\max(\log k, \log m)) = O(\log m)$

genauere Argumentation: amortisiert  $1 + \log k$  bei geeigneter PQ

insert:  $\approx m \log m$  alle  $m$  Ops. Amortisiert  $\log m$

Insgesamt nur  $\log km$  amortisiert !



# Große Queues

$$\approx \frac{2n}{B} \left( 1 + \lceil \log_{M/B} \frac{n}{M} \rceil \right)$$

I/Os für  $n$  Einfügeoperationen

$O(n \log n)$  Arbeit.

[Sanders 1999].

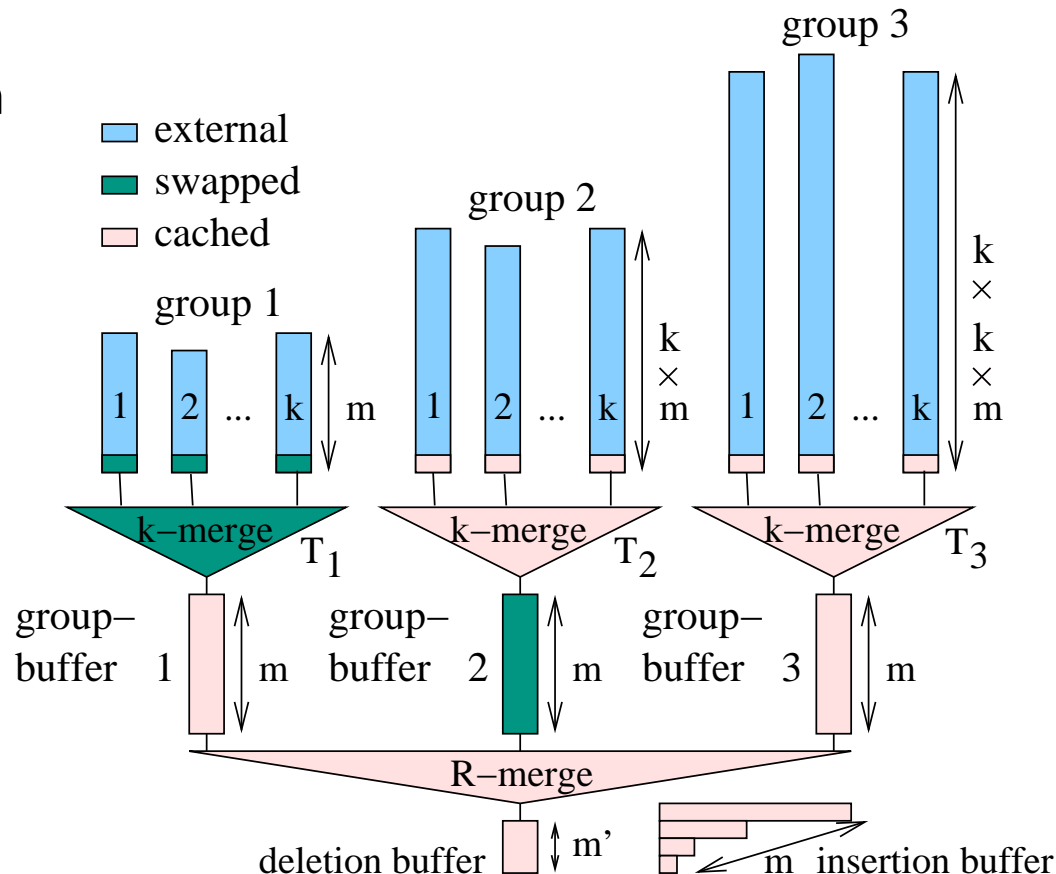
`deleteMin`:

“amortisiert umsonst”.

Details:

Vorlesung

Algorithm Engineering.



# Experiments

**Keys:** random 32 bit integers

Associated information: 32 dummy bits

**Deletion buffer size:** 32 **Near optimal**

Group buffer size: 256 : performance on

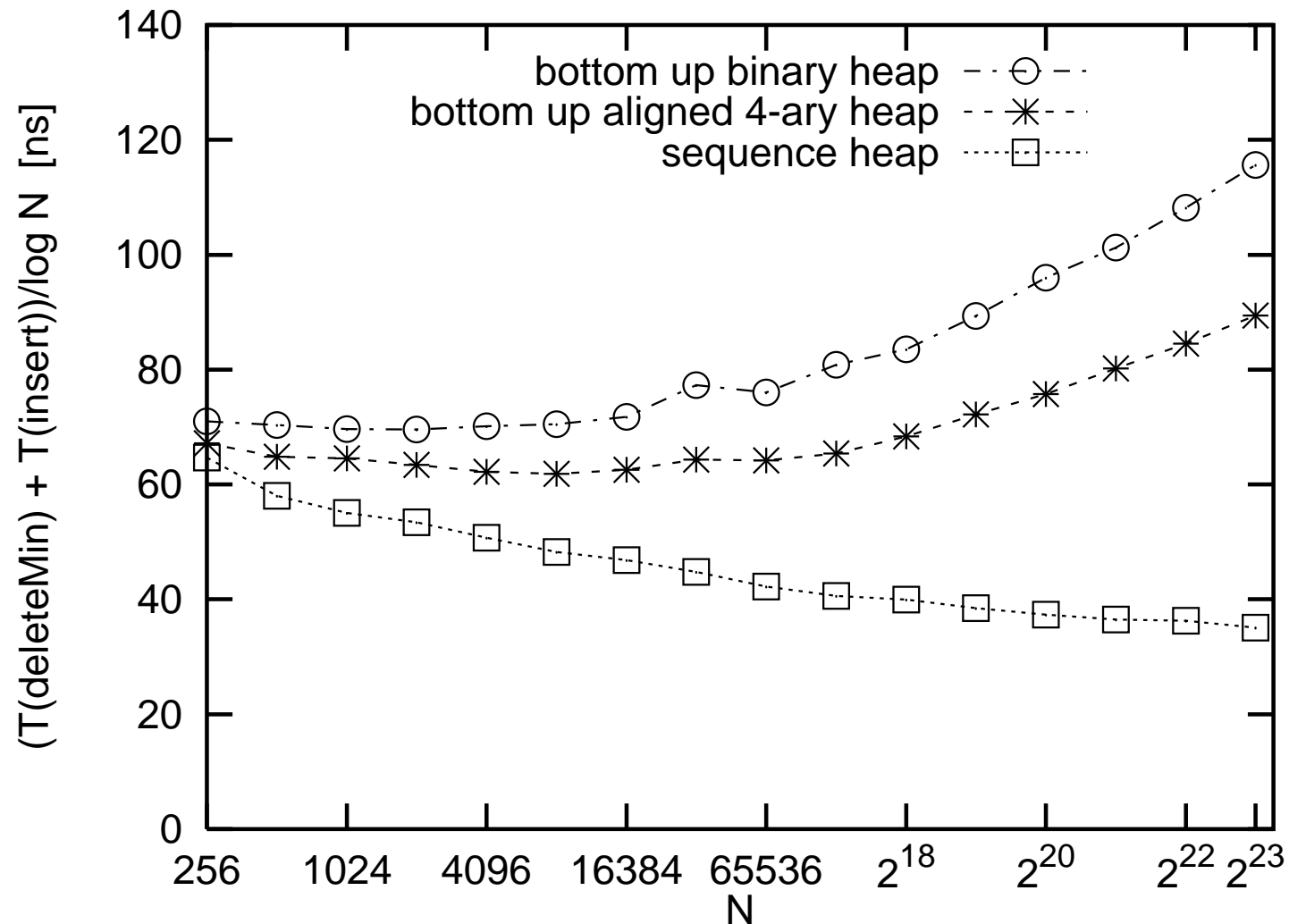
**Compiler flags:** Highly optimizing, nothing advanced

## Operation Sequence:

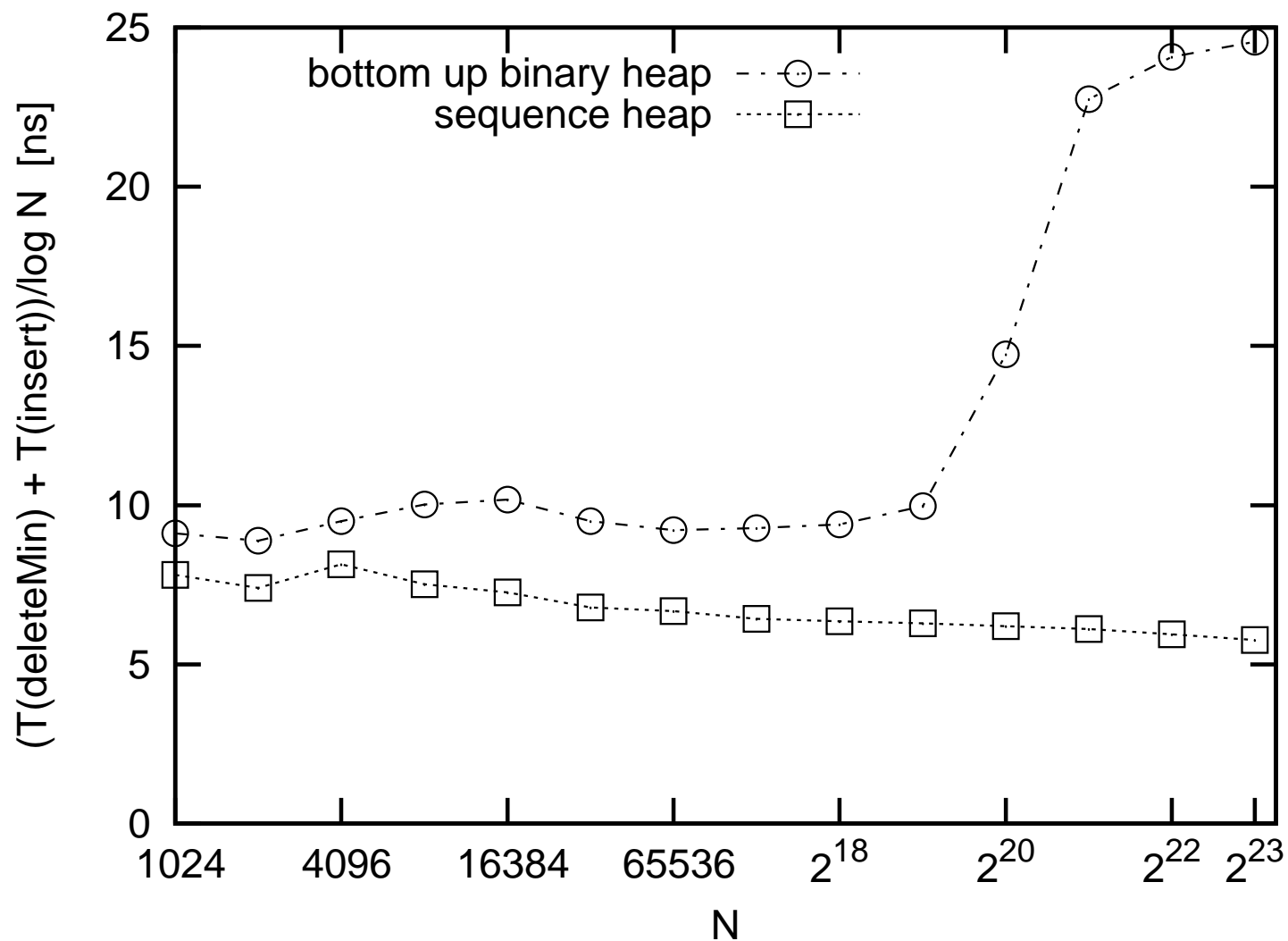
$$(\text{Insert}-\text{DeleteMin}-\text{Insert})^N (\text{DeleteMin}-\text{Insert}-\text{DeleteMin})^N$$

Near optimal performance on all machines tried!

# Alpha-21164, 533 MHz



# Core2 Duo Notebook, 1.??? GHz



# Minimale Spannbäume

## Semieexterne Kruskal

Annahme:  $M = \Omega(n)$  konstant viele Maschinenworte pro Knoten

**Procedure** seKruskal( $G = (1..n, E)$ )

sort  $E$  by decreasing weight // sort( $m$ ) I/Os

Tc : UnionFind( $n$ )

**foreach**  $(u, v) \in E$  in ascending order of weight **do**

**if** Tc.find( $u$ )  $\neq$  Tc.find( $v$ ) **then**

output  $\{u, v\}$

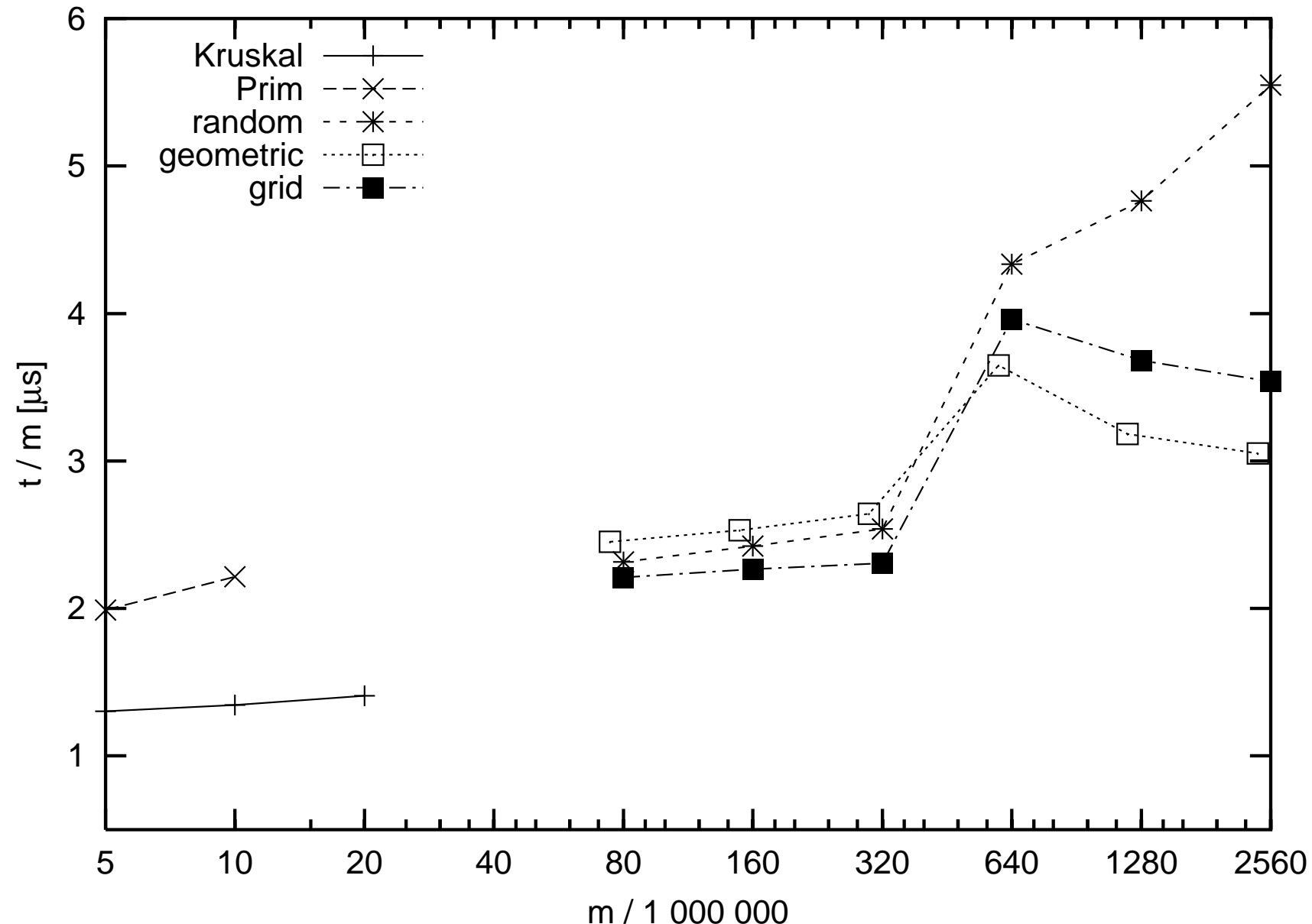
Tc.union( $u, v$ )

// link reicht auch

# Externe MST-Berechnung

- Reduziere Knotenzahl mittels **Kontraktion** von MST-Kanten
  - Details: Vorlesung Algorithm Engineering, Sibeyn's Algorithmus.
  - Implementierung  $\approx$  Sortierer + ext. Prioritätsliste + 1
  - Bildschirmseite. (STXXL Bibliothek)
- benutze semiexternen Algorithmus sobald  $n < M$ .

# Beispiel, Sibeyn's algorithm, $m \approx 2n$



# Mehr zu externen Algorithmen – Basic Toolbox ?

Externe Hashtabellen: geht aber 1 I/O pro Zugriff

Suchbäume:  $(a, 2a)$ -Bäume mit  $a = \Theta(B) \rightsquigarrow \log_B n$  I/Os für Basisoperationen. Brot-und-Butter-Datenstruktur für Datenbanken. Inzwischen auch in Dateisystemen. Viel Tuning: Große Blätter, Caching, ....

BFS: OK bei kleinem Graphdurchmesser

DFS: noch schwieriger. Heuristiken für den **semieexternen Fall**

kürzeste Wege: ähnlich BFS.

# 8 Parallele Algorithmen

Schnupperkapitel.

Mehr in der [gleichnamigen Vorlesung](#)  
sowie im [Vertiefungsfach Parallelverarbeitung](#)

# Warum Parallelverarbeitung

Geschwindigkeitsteigerung:  $p$  Computer, die gemeinsam an einem Problem arbeiten, lösen es **bis zu**  $p$  mal so schnell. Aber, viele Köche verderben den Brei  $\rightsquigarrow$  gute Koordinationsalgorithmen

Energieersparnis: Zwei Prozessoren mit halber Taktfrequenz brauchen weniger als eine voll getakteter Prozessor. (Leistung  $\approx$  Spannung · Taktfrequenz)

Speicherbeschränkungen von Einzelprozessoren

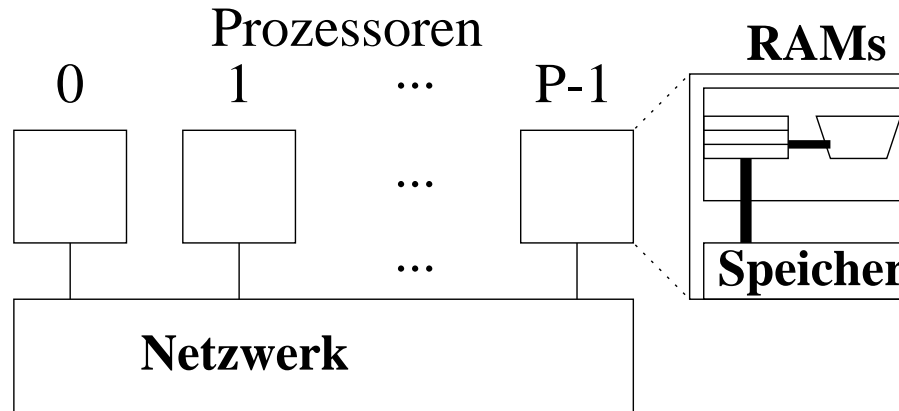
Kommunikationsersparnis: wenn Daten verteilt anfallen kann man sie auch verteilt (vor)verarbeiten

# Parallelverarbeitung am ITI Algorithmik II

- Multicore Basisalgorithmen (Singler, EU-Projekt PEPPER)
  - ~~> z.B. g++ STL parallel mode
- GPU Algorithmen (Osipov, EU-Projekt PEPPER)
  - ~~> z.B. schnellster vergleichsbasierter Sortierer
- Parallele Externe Algorithmen (Daten auf Festplatte) (Osipov, Singler,...)
  - ~~> Diverse Sortierbenchmarks
- Hauptspeicherbasierte Datenbanken (Kooperation SAP)
- Graphpartitionierung (Schulz, Osipov)
  - ~~> z.T. beste bekannte Ergebnisse in Standardbenchmark
- Lastbalancierung, DFG TransRegio Inasic, Jochen Speck

## 8.1 Modell

# Nachrichtengekoppelte Parallelrechner



- Prozessoren sind RAMs
- asynchrone Programmabarbeitung
- Interaktion durch Nachrichtenaustausch

# Kostenmodell für Nachrichtenaustausch

Jedes PE kann  
gleichzeitig maximal eine Nachricht senden und empfangen.

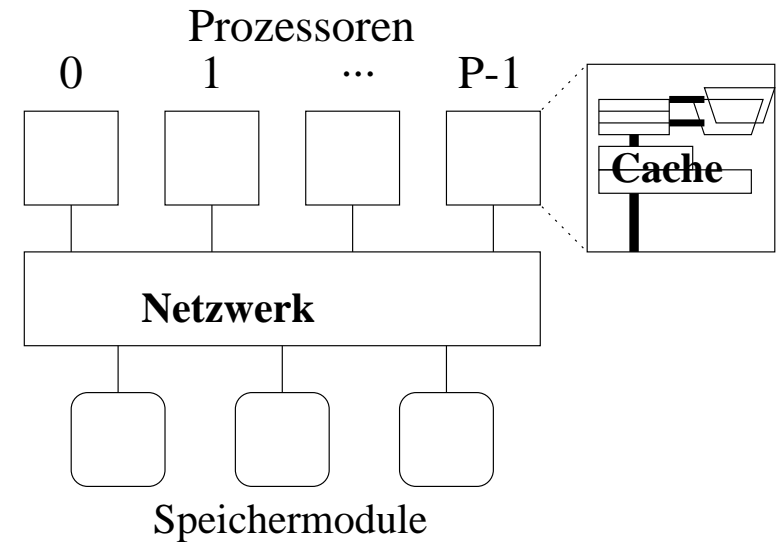
Bei Nachrichtenlänge  $\ell$  dauert das

$$T_{\text{comm}}(\ell) = T_{\text{start}} + \ell T_{\text{byte}}$$

- vollduplex
- Punkt-zu-Punkt
- vollständige Verknüpfung
- i.allg.  $T_{\text{start}} \gg T_{\text{byte}}$  – Alternative: Blockkommunikation analog Sekundärspeichermodell

# Warum **kein** (shared memory) Multicore-Modell

- Unklar wie man damit  
**skalierbaren Parallelismus** erreicht
- Unklares **Kostenmaß** bei  
Speicherzugriffskonflikten
- Gute Strategie für Parallelprogrammierung:  
**Verteilt entwerfen, vereint implementieren**
  - ~~> mit verteiltem Speicher decken wir den ganzen Bereich vom Multicore-Smartphone zum Superrechner ab und sind noch einigermaßen Nah an Cloud, Sensor- oder Peer-to-Peer-Netzen



# Formulierung paralleler Algorithmen

Gleicher Pseudocode wie immer.

Single Program Multiple Data Prinzip.

Der Prozessorindex wird genutzt um die Symmetrie zu brechen.

**Procedure** helloWorldParallel

writeLineAtomic “Hallo, I am PE ” iProc “ out of ”  $p$  “processing elements”

Hallo, I am PE 0 out of 3 processing elements

Hallo, I am PE 2 out of 3 processing elements

Hallo, I am PE 1 out of 3 processing elements

# Analyse paralleler Algorithmen

Im Prinzip nur ein zusätzlicher Parameter:  $p$ .

Finde Ausführungszeit  $T(I, p)$ .

Problem: Interpretation.

Work:  $W = pT(p)$  ist ein Kostenmaß.

(absoluter) Speedup:  $S = T_{\text{seq}}/T(p)$  Beschleunigung. Benutze besten  
bekannten sequentiellen Algorithmus. Relative Beschleunigung  
 $S_{\text{rel}} = T(1)/T(p)$  ist i.allg. was anderes!

Effizienz:  $E = S/p$ . Ziel:  $E \approx 1$  oder wenigstens  $E = \Theta(1)$ .  
(Sinnvolles Kostenmaß?) „Superlineare Beschleunigung“:  $E > 1$ .  
(möglich?).

## 8.2 Beispiel: Assoziative Operationen (=Reduktion)

**Satz 20.** Sei  $\oplus$  ein assoziativer Operator, der in konstanter Zeit berechnet werden kann. Dann lässt sich

$$\bigoplus_{i < p} x_i := (\cdots ((x_0 \oplus x_1) \oplus x_2) \oplus \cdots \oplus x_{p-1})$$

in Zeit  $O(\log p)$  berechnen

Beispiele:  $+$ ,  $\cdot$ ,  $\max$ ,  $\min$ , ... (z.B. ? nichkommutativ?)

# Grundidee für $p = 2^k$ (oBdA?)

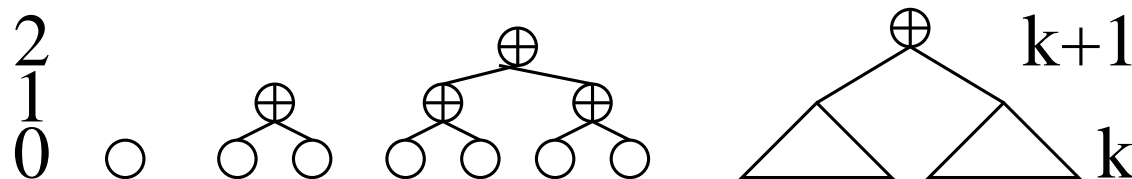
Induktion über  $k$ :

$k = 0$ : trivial

$k \rightsquigarrow k + 1$ :

$$\bigoplus_{i < 2^{k+1}} x_i = \underbrace{\bigoplus_{i < 2^k} x_i}_{\text{Tiefe } k+1} \oplus \underbrace{\bigoplus_{i < 2^k} x_{i+2^k}}_{\text{Tiefe } k \text{ (IA)}}$$

■



## Pseudocode

PE index  $i \in \{0, \dots, p - 1\}$

//Input  $x_i$  located on PE  $i$

active := 1

$s := x_i$

**for**  $0 \leq k < \lceil \log p \rceil$  **do**

**if** active **then**

**if** bit  $k$  of  $i$  **then**

            sync-send  $s$  to PE  $i - 2^k$

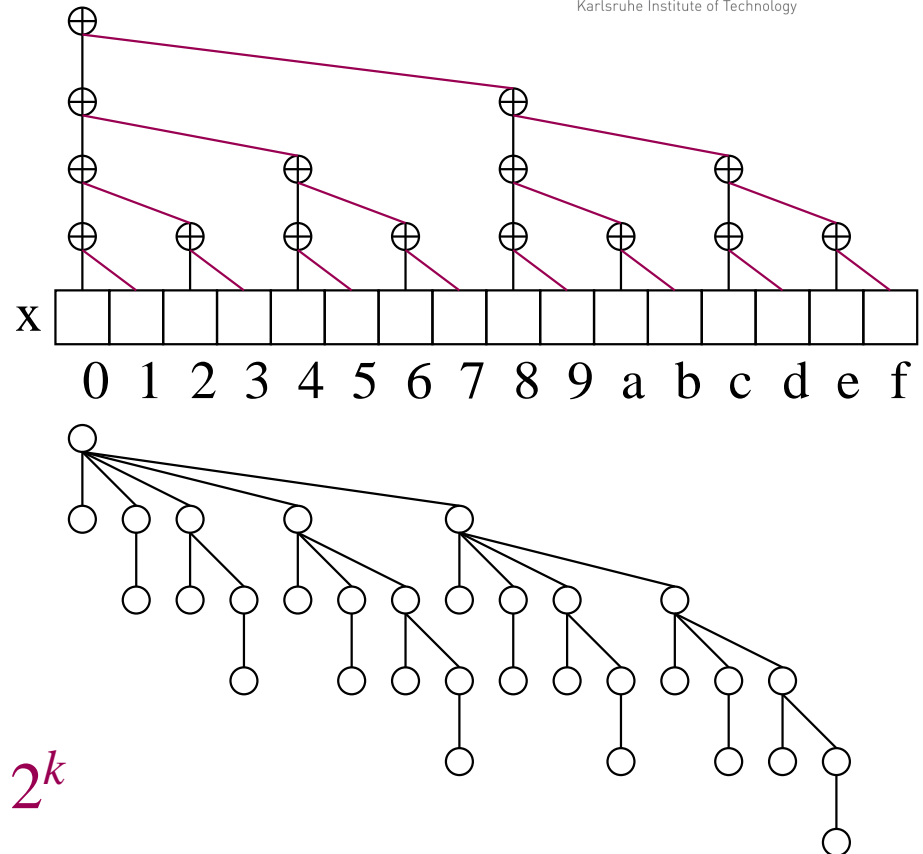
        active := 0

**else if**  $i + 2^k < p$  **then**

        receive  $s'$  from PE  $i + 2^k$

$s := s \oplus s'$

//result is in  $s$  on PE 0



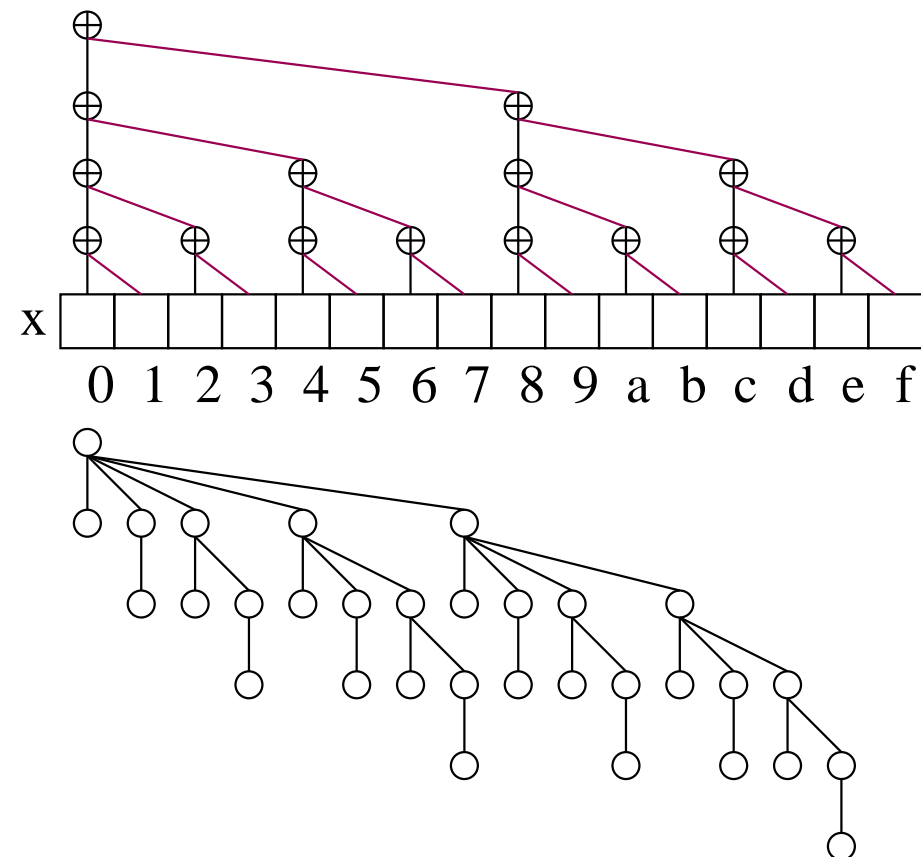
# Analyse

$n$  PEs

Zeit  $O(\log n)$

Speedup  $O(n/\log n)$

Effizienz  $O(1/\log n)$



# Weniger ist Mehr

$p$  PEs

Jedes PE addiert

$n/p$  Elemente sequentiell

Dann parallele Summe

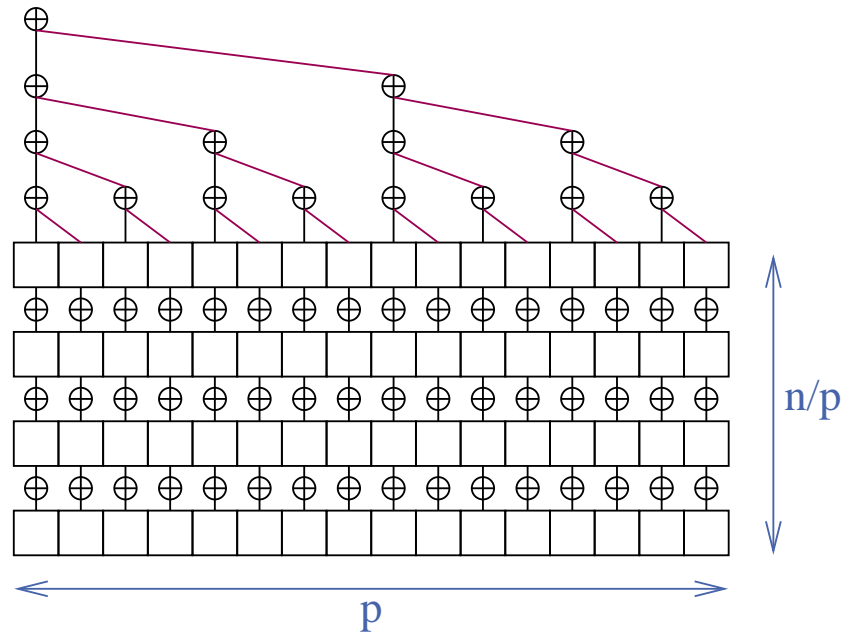
für  $p$  Teilsummen

Zeit  $T_{\text{seq}}(n/p) + \Theta(\log p)$

Effizienz

$$\frac{T_{\text{seq}}(n)}{p(T_{\text{seq}}(n/p) + \Theta(\log p))} = \frac{1}{1 + \Theta(p \log(p))/n} = 1 - \Theta\left(\frac{p \log p}{n}\right)$$

falls  $n \gg p \log p$



# Diskussion Reduktionsoperation

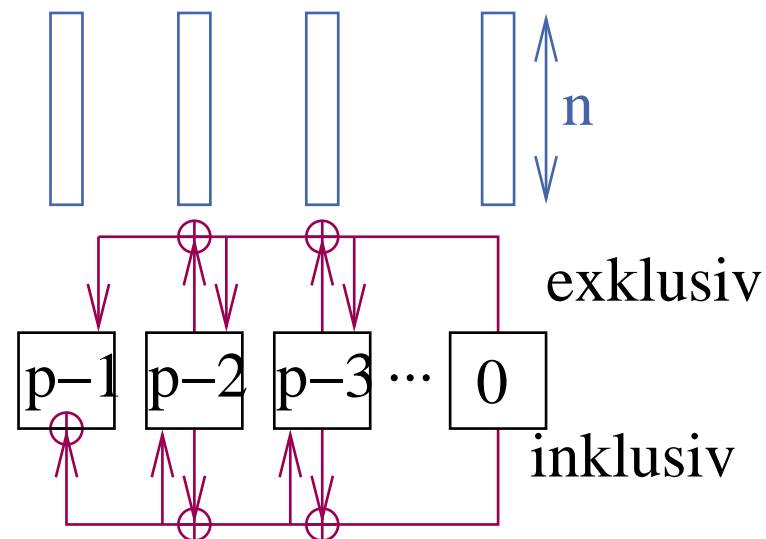
- Binärbaum führt zu logarithmischer Ausführungszeit
- Nützlich auf den meisten Modellen
- Brent's Prinzip: Ineffiziente Algorithmen werden durch Verringerung der Prozessorzahl effizient

# Präfixsummen

Gesucht

$$x @ i := \bigotimes_{i' \leq i} m @ i'$$

(auf PE  $i$ ) Objekte der Länge  $\ell$



inhärent sequentiell ???

# Hyperwürfelalgorithmus

//view PE index  $i$  as a  
 $//d$ -bit bit array

**Function** hcPrefix( $m$ )

$x := \sigma := m$

**for**  $k := 0$  **to**  $d - 1$  **do**

**invariant**  $\sigma = \bigotimes_{j=i[k..d-1]}^{i[k..d-1]} 1^k m @ j$

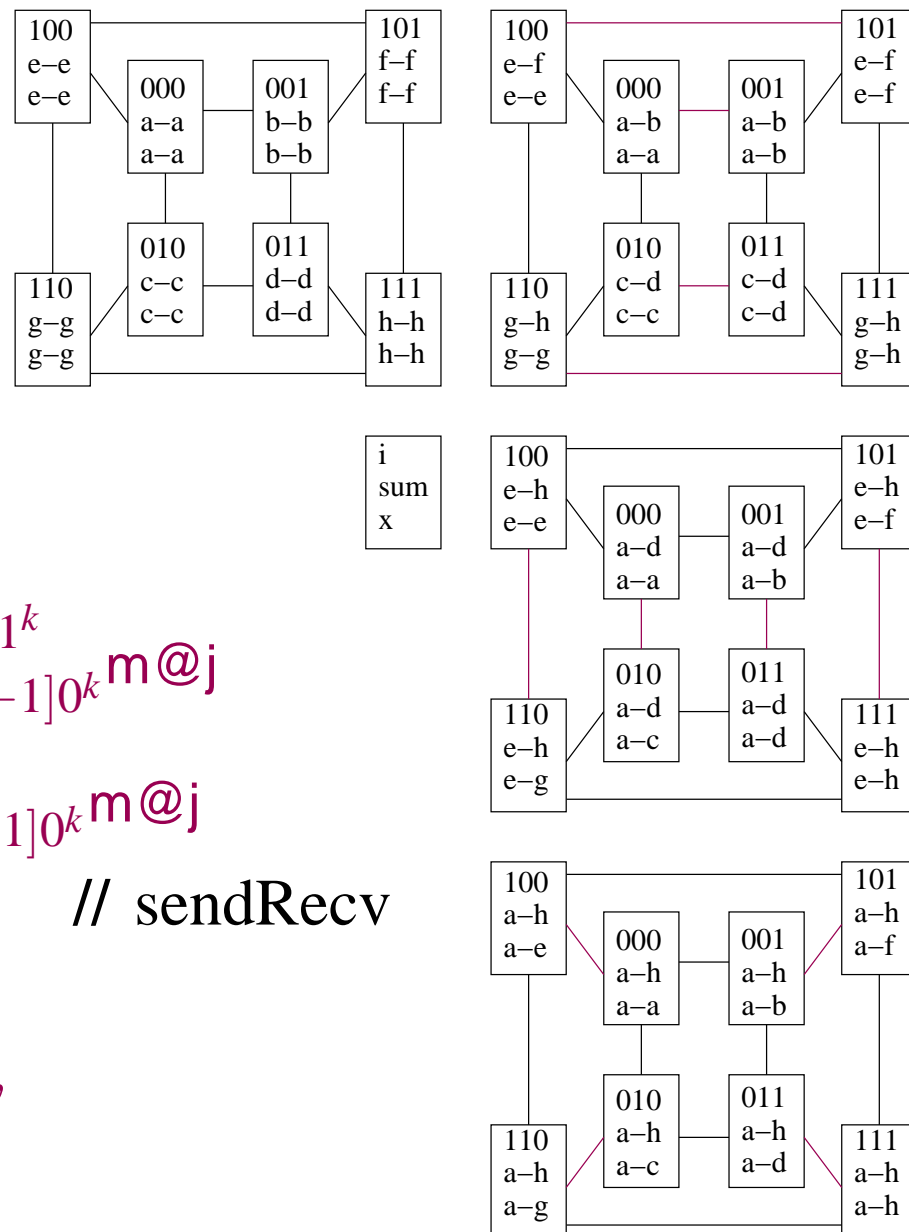
**invariant**  $x = \bigotimes_{j=i[k..d-1]}^i 0^k m @ j$

$y := \sigma @ (i \oplus 2^k)$  // sendRecv

$\sigma := \sigma \otimes y$

**if**  $i[k] = 1$  **then**  $x := x \otimes y$

**return**  $x$



# Analyse

$$T_{\text{prefix}} = O((T_{\text{start}} + \ell T_{\text{byte}}) \log p)$$

## Problemchen:

Nichtoptimal bei  $\ell T_{\text{byte}} > T_{\text{start}}$  (analog schon bei Reduktion)

siehe Spezialvorlesung

$$\rightsquigarrow O(T_{\text{start}} \log P + \ell T_{\text{byte}})$$

## 8.3 Sortieren

- Paralleles Quicksort
- Paralleles Mehrwege-Mergesort
- Hier nicht: binäres Mergesort, Radixsort,...

# Paralleles Quicksort

## Sequentiell (vereinfacht)

**Procedure** qSort( $d[]$ ,  $n$ )

**if**  $n = 1$  **then return**

select a **pivot**  $v$

reorder the elements in  $d$  such that

$$d_0 \leq \dots \leq d_k = v \leq d_{k+1} \leq \dots \leq d_{n-1}$$

qSort( $[d_0, \dots, d_{k-1}]$ ,  $k$ )

qSort( $[d_{k+1}, \dots, d_{n-1}]$ ,  $n - k - 1$ )

## Anfänger-Parallelisierung

Parallelisierung der rekursiven Aufrufe.

$$T_{\text{par}} = \Omega(n)$$

- Sehr begrenzter Speedup
- Schlecht für distributed Memory

## Theoretiker-Parallelisierung

Zur Vereinfachung:  $n = p$ .

Idee: Auch die Aufteilung parallelisieren.

1. Ein PE stellt den Pivot (z.B. zufällig).
2. Broadcast
3. Lokaler Vergleich
4. „Kleine“ Elemente durchnummerieren (Präfix-Summe)
5. Daten umverteilen
6. Prozessoren aufspalten
7. Parallele Rekursion

## Theoretiker-Parallelisierung

//Let  $i \in 0..p - 1$  and  $p$  denote the ‘local’ PE index and partition size

**Procedure** theoQSort( $d, i, p$ )

**if**  $p = 1$  **then return**

$r :=$  random element from  $0..p - 1$  // same value in entire partition

$v := d @ r$  // broadcast **pivot**

$f := d \leq v$  // 1 iff  $d$  is on left side, 0 otherwise

$j := \sum_{k=0}^i f @ k$  // **prefix sum**, count elements on left side

$p' := j @ (p - 1)$  // broadcast, result is border index

**if**  $f$  **then** send  $d$  to PE  $j - 1$

**else** send  $d$  to PE  $p' + i - j$  //  $i - j = \sum_{k=0}^i d @ k > v$

receive  $d$

**if**  $i < p'$  **then** join left partition; qsort( $d, i, p'$ )

**else** join right partition; qsort( $d, i - p', p - p'$ )

# Beispiel

pivot  $v = 44$

PE Nummer

|  | 0 | 1 | 2 | 3 | 4 | 5 | 6 | 7 |
|--|---|---|---|---|---|---|---|---|
|--|---|---|---|---|---|---|---|---|

Nr. d. Elemente  $\leq$  Pivot

|   |   |   |   |   |   |   |   |
|---|---|---|---|---|---|---|---|
| 0 | 1 | 2 | 3 | 2 | 3 | 2 | 4 |
|---|---|---|---|---|---|---|---|

Nr. d. Elemente  $>$  Pivot

|   |   |   |   |   |   |   |
|---|---|---|---|---|---|---|
| 0 | 1 | 2 | 2 | 2 | 2 | 4 |
|---|---|---|---|---|---|---|

Wert vorher

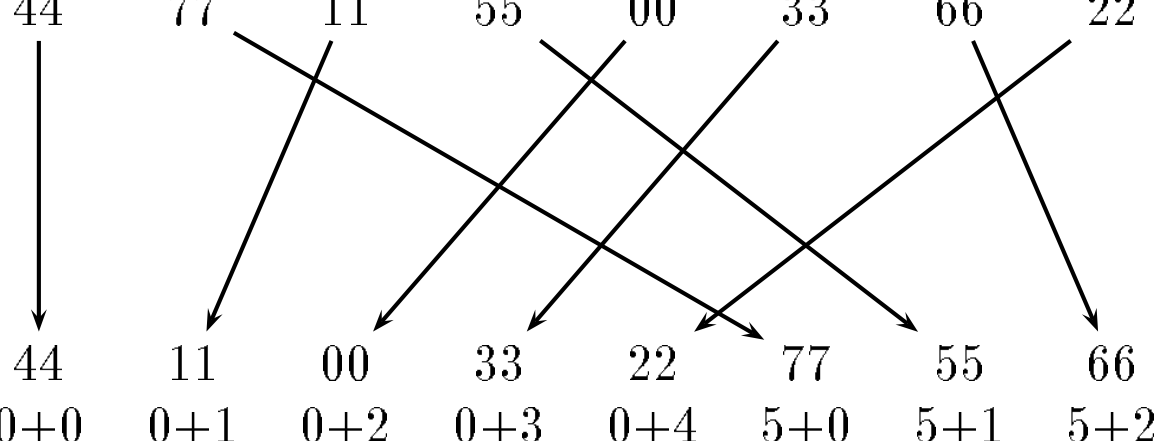
|    |    |    |    |    |    |    |    |
|----|----|----|----|----|----|----|----|
| 44 | 77 | 11 | 55 | 00 | 33 | 66 | 22 |
|----|----|----|----|----|----|----|----|

Wert nachher

|    |    |    |    |    |    |    |    |
|----|----|----|----|----|----|----|----|
| 44 | 11 | 00 | 33 | 22 | 77 | 55 | 66 |
|----|----|----|----|----|----|----|----|

PE Nummer

|     |     |     |     |     |     |     |     |
|-----|-----|-----|-----|-----|-----|-----|-----|
| 0+0 | 0+1 | 0+2 | 0+3 | 0+4 | 5+0 | 5+1 | 5+2 |
|-----|-----|-----|-----|-----|-----|-----|-----|



```
int pQuickSort(int item, MPI_Comm comm)
{ int iP, nP, small, allSmall, pivot;
  MPI_Comm newComm; MPI_Status status;
  MPI_Comm_rank(comm, &iP); MPI_Comm_size(comm, &nP);

  if (nP == 1) { return item; }
  else {
    pivot = getPivot(item, comm, nP);
    count(item <= pivot, &small, &allSmall, comm, nP);
    if (item <= pivot) {
      MPI_Bsend(&item, 1, MPI_INT,     small - 1           , 8, comm);
    } else {
      MPI_Bsend(&item, 1, MPI_INT, allSmall+iP-small, 8, comm);
    }
    MPI_Recv(&item, 1, MPI_INT, MPI_ANY_SOURCE, 8, comm, &status);
    MPI_Comm_split(comm, iP < allSmall, 0, &newComm);
    return pQuickSort(item, newComm); }
```

```
/* determine a pivot */

int getPivot(int item, MPI_Comm comm, int nP)
{ int pivot = item;
  int pivotPE = globalRandInt(nP); /* from random PE */
  /* overwrite pivot by that one from pivotPE */
  MPI_Bcast(&pivot, 1, MPI_INT, pivotPE, comm);
  return pivot;
}

/* determine prefix-sum and overall sum over value */
void
count(int value,int *sum,int *allSum,MPI_Comm comm,int nP)
{ MPI_Scan(&value, sum, 1, MPI_INT, MPI_SUM, comm);
  *allSum = *sum;
  MPI_Bcast(allSum, 1, MPI_INT, nP - 1, comm);
}
```

# Analyse

- pro Rekursionsebene:
  - $2 \times$  broadcast
  - $1 \times$  Präfixsumme
- ~~~ Zeit  $O(T_{\text{start}} \log p)$
- erwartete Rekursionstiefe:  $O(\log p)$

Erwartete Gesamtzeit:  $O(T_{\text{start}} \log^2 p)$

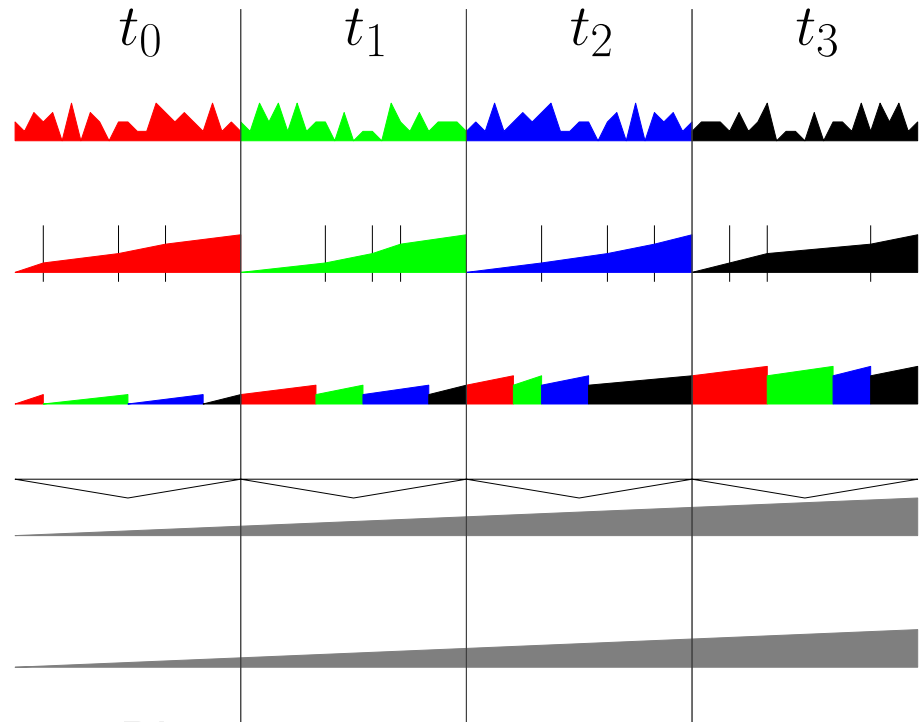
## Verallgemeinerung für $n \gg p$ nach Schema F?

- Jedes PE hat i.allg. „große“ und „kleine“ Elemente.
- Aufteilung geht nicht genau auf
- Präfixsummen weiterhin nützlich
- Unterm Strich ist Zeit  $O\left(\frac{n \log n}{p} + \log^2 p\right)$  möglich
- Bei verteiltem Speicher stört, dass jedes Element  $\Omega(\log p)$  mal transportiert wird.  
 $\rightsquigarrow \dots \rightsquigarrow$  Zeit  $O\left(\frac{n}{p}(\log n + T_{\text{byte}} \log p) + T_{\text{start}} \log^2 p\right)$

# Paralleles Sortieren durch Mehrwegemischen

1.  $p$  Prozessoren sortieren  
je  $n/p$  Elemente lokal
  2. Finde pivots so dass  
 $n/p$  Elemente zwischen  
zwei benachbarten pivots liegen

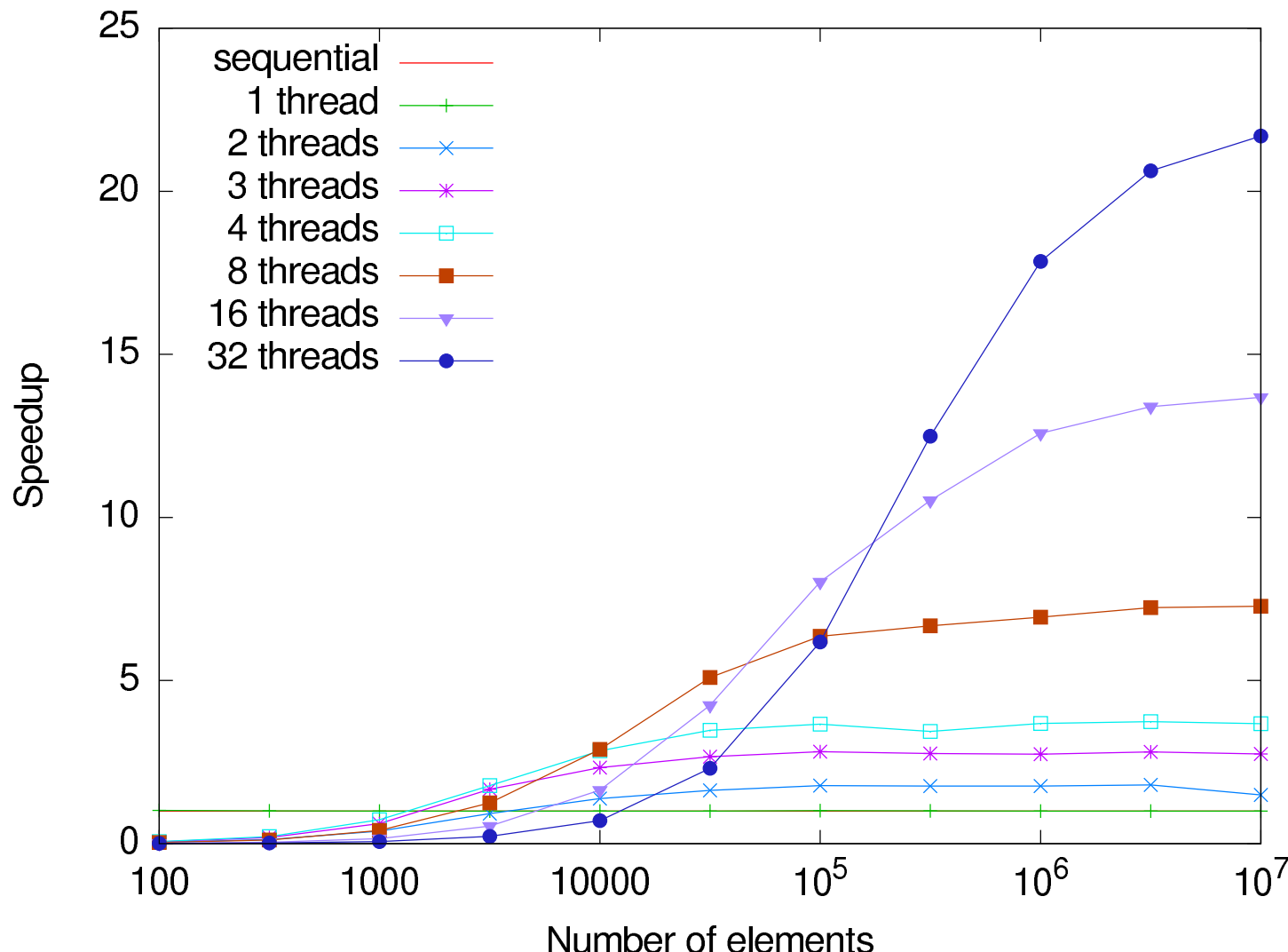
3. Jeder Prozessor macht  
Mehrwegemischen für alle  
Elemente zwischen zwei benachbarten Pivots.



## Mehr in “Parallele Algorithmen”

# Messungen Sparc T1 – 8 Kerne, 128 bit Elemente

## [Sanders Singler 2007]



# Mehr zu parallelem Sortieren

- Theoretikeralgorithmen mit Laufzeit  $O(\log p)$  bei  $p = n$
- Praktikable Algorithmen mit Laufzeit  $O(\log p)$  für  $n = O(\sqrt{p})$  –  
wenn schnell wichtiger als Effizient ist, z.B. base case
- Sample sort:  $k$ -Wegeverallgemeinerung von quicksort
- Paralleles externes Sortieren

# Mehr zu parallelen Algorithmen – Parallelisierung der Basic Toolbox ?

Verteilte Hashtabellen: geht aber teuer                       $\rightsquigarrow$  lieber vermeiden

Prioritätslisten, Suchbäume: ähnliches Problem. Am ehesten mit  
batched updates

BFS: OK bei kleinem Graphdurchmesser

DFS:  $\approx$  inhärent nichtparallelisierbar

kürzeste Wege: ähnlich BFS. Aber all-to-all, Vorberechnungen OK

MST: Ja! Aber u.U. große konstante Faktoren

Optimierungstechniken: dynamische Programmierung OK. Greedy???

LP schwierig, Metaheuristiken teils OK

# Mehr zu parallelen Algorithmen – Die parallele Basic Toolbox

- Kollektive Kommunikation: **Reduktion, Präfixsumme, allg.**  
Nachrichtenaustaus, Gossiping,...
- Lastverteilung

# 9 Stringology

## (Zeichenkettenalgorithmen)

- Strings sortieren
- Patterns suchen
  - Pattern vorverarbeiten
  - Text vorverarbeiten
    - \* Invertierte Indizes
    - \* Suffix Arrays
- Datenkompression

## 9.1 Strings Sortieren

multikey quicksort

**Function** mkqSort( $s$  : Sequence **of** String,  $i$  :  $\mathbb{N}$ ) : Sequence **of** String

**assert**  $\forall e, e' \in s : e[1..i-1] = e'[1..i-1]$

**if**  $|s| \leq 1$  **then return**  $s$  // base case

pick  $p \in s$  uniformly at random // pivot character

**return** concatenation of  $\text{mkqSort}(\langle e \in s : e[i] < p[i] \rangle, i)$ ,

$\text{mkqSort}(\langle e \in s : e[i] = p[i] \rangle, i+1)$ , and

$\text{mkqSort}(\langle e \in s : e[i] > p[i] \rangle, i)$

- Laufzeit:  $O(|s| \log |s| + \sum_{t \in s} |t|)$
- genauer:  $O(|s| \log |s| + d)$  ( $d$ : Summe der eindeutigen Präfixe)
- Tutorium: **in-place!**

## 9.2 Volltextsuche von Langsam bis Superschnell

**Gegeben:** Text  $S$  ( $n := |S|$ ), Muster (Pattern)  $P$  ( $m := |P|$ ),  $n \gg m$

**Gesucht:** Alle/erstes/nächstes Vorkommen von  $P$  in  $S$

naiv:  $O(nm)$

$P$  vorverarbeiten:  $O(n + m)$

Mit Fehlern: ???

$S$  vorverarbeiten: Textindizes. Erstes Vorkommen:

Invertierter Index: gute heuristik

Suffix Array:  $O(m \log n) \dots O(m)$

# Suffixtabellen

aus

## Linear Work Suffix Array Construction

Juha Kärkkäinen, Peter Sanders, Stefan Burkhardt

Journal of the ACM

Seiten 1–19, Nummer 6, Band 53.

## Etwas “Stringology”-Notation

String  $S$ : Array  $S[0..n) := S[0..n - 1] := [S[0], \dots, S[n - 1]]$

von Buchstaben

Suffix:  $S_i := S[i..n)$

Endmarkierungen:  $S[n] := S[n + 1] := \dots := 0$

0 ist kleiner als alle anderen Zeichen

# Suffixe Sortieren

Sortiere die Menge  $\{S_0, S_1, \dots, S_{n-1}\}$

von Suffixen des Strings  $S$  der Länge  $n$

(Alphabet  $[1, n] = \{1, \dots, n\}$ )

in lexikographische Reihenfolge.

- suffix  $S_i = S[i, n]$  für  $i \in [0..n-1]$

$S = \text{banana}:$

|   |        |   |        |
|---|--------|---|--------|
| 0 | banana | 5 | a      |
| 1 | anana  | 3 | ana    |
| 2 | nana   | 1 | anana  |
| 3 | ana    | 0 | banana |
| 4 | na     | 4 | na     |
| 5 | a      | 2 | nana   |

# Anwendungen

- Volltextsuche
- Burrows-Wheeler Transformation (**bzip2** Kompressor)
- Ersatz für kompliziertere **Suffixbäume**
- Bioinformatik: Wiederholungen suchen,...

# Volltextsuche

Suche Muster (pattern)  $P[0..m]$  im Text  $S[0..n]$   
mittels Suffix-Tabelle  $SA$  of  $S$ .

Binäre Suche:  $O(m \log n)$  gut für kurze Muster

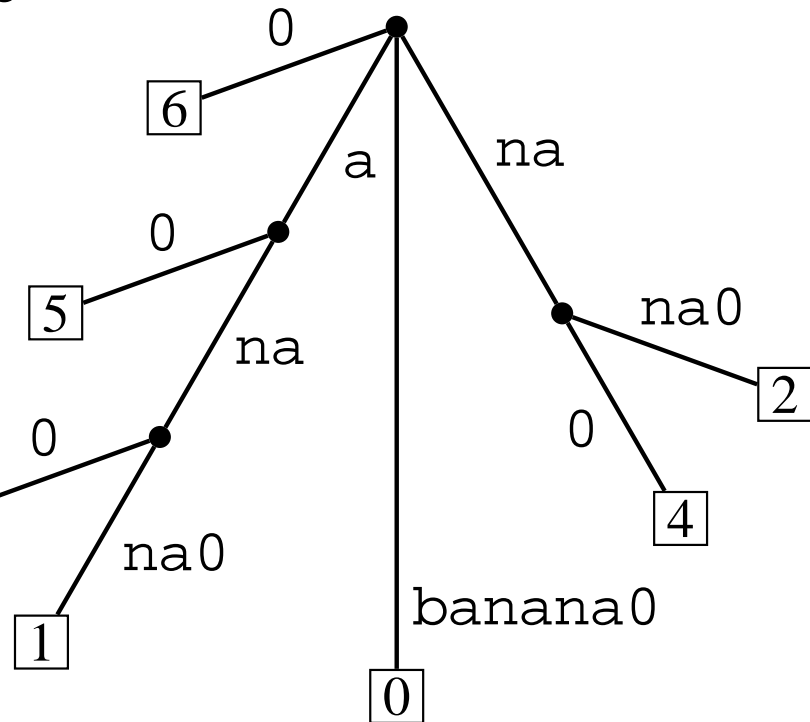
Binäre Suche mit lcp:  $O(m+ \log n)$  falls wir die  
längsten gemeinsamen (common) Präfixe  
zwischen verglichenen Zeichenketten vorberechnen

Suffix-Baum:  $O(m)$  kann aus  $SA$  berechnet werden

# Suffix-Baum

[Weiner '73][McCreight '76]

- kompakterter Trie der Suffixe
- Zeit  $O(n)$  [Farach 97] für ganzzahlige Alphabete
- Mächtigstes Werkzeug der Stringology?
- Hoher Platzverbrauch
- Effiziente direkte Konstruktion ist kompliziert
- kann aus SA in Zeit  $O(n)$  abgelesen werden

 $S = \text{banana}0$ 

# Alphabet-Modell

Geordnetes Alphabet: Zeichen können nur verglichen werden

Konstante Alphabetgröße: endliche Menge  
deren Größe nicht von  $n$  abhängt.

Ganzzahliges Alphabet: Alphabet ist  $\{1, \dots, \sigma\}$   
für eine ganze Zahl  $\sigma \geq 2$

# Geordnetes → ganzzahliges Alphabet

Sortiere die Zeichen von  $S$

Ersetze  $S[i]$  durch seinen Rang

012345      135024

banana   -> aaabnn

213131   <- 111233

## Verallgemeinerung: Lexikographische Namen

Sortiere die  $k$ -Tupel  $S[i..i+k)$  für  $i \in 1..n$

Ersetze  $S[i]$  durch den Rang von  $S[i..i+k)$  unter den Tupeln

# Ein erster Teile-und-Herrsche-Ansatz

1.  $SA^1 = \text{sort } \{S_i : i \text{ ist ungerade}\}$  (Rekursion)
2.  $SA^0 = \text{sort } \{S_i : i \text{ ist gerade}\}$  (einfach mittels  $SA^1$ )
3. Mische  $SA^0$  und  $SA^1$  (schwierig)

Problem: wie vergleicht man gerade und ungerade Suffixe?

[Farach 97] hat einen Linearzeitalgorithmus für  
Suffix-**Baum**-Konstruktion entwickelt, der auf dieser Idee beruht.  
Sehr **kompliziert**.

Das war auch der einzige bekannte Algorithmus für Suffix-**Tabellen**  
(lässt sich leicht aus S-Baum ablesen.)

# SA<sup>1</sup> berechnen

- Erstes Zeichen weglassen.

banana → anana

- Ersetze Buchstabenpaare durch Ihre lexikographischen Namen

|    |    |                |
|----|----|----------------|
| an | an | a <sub>0</sub> |
|----|----|----------------|

 → 221

- Rekursion

⟨1, 21, 221⟩

- Rückübersetzen

⟨a, ana, anana⟩

# Berechne $SA^0$ aus $SA^1$

|   |       |               |   |       |
|---|-------|---------------|---|-------|
| 1 | anana | $\Rightarrow$ | 5 | a     |
| 3 | ana   |               | 3 | ana   |
| 5 | a     |               | 1 | anana |

Ersetze  $S_i$ ,  $i \bmod 2 = 0$  durch  $(S[i], r(S_{i+1}))$

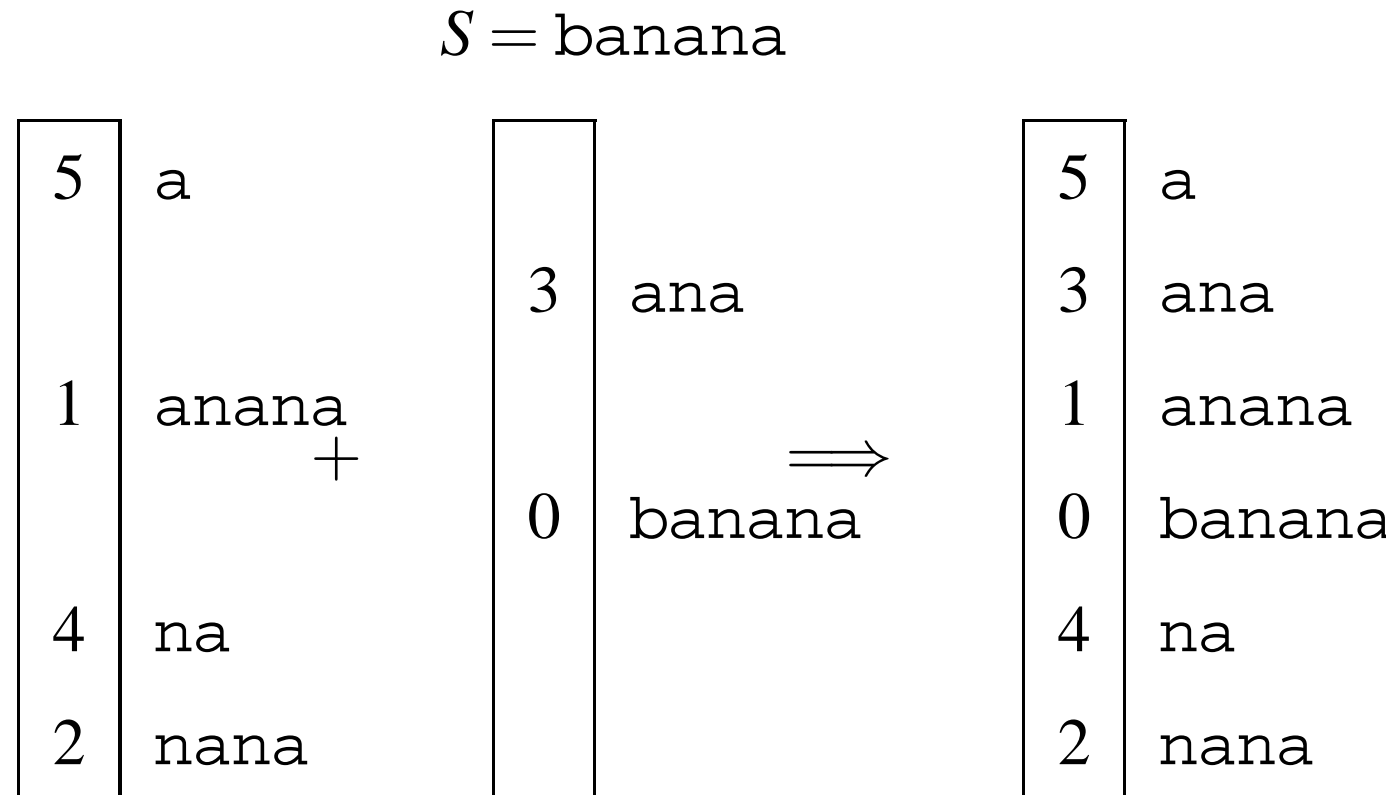
mit  $r(S_{i+1}) :=$  Rang von  $S_{i+1}$  in  $SA^1$

|   |   |           |               |   |        |
|---|---|-----------|---------------|---|--------|
| 0 | b | 3 (anana) | $\Rightarrow$ | 0 | banana |
| 2 | n | 2 (ana)   |               | 4 | na     |
| 4 | n | 1 (a)     |               | 2 | nana   |

Radix-Sort

# Asymmetrisches Divide-and-Conquer

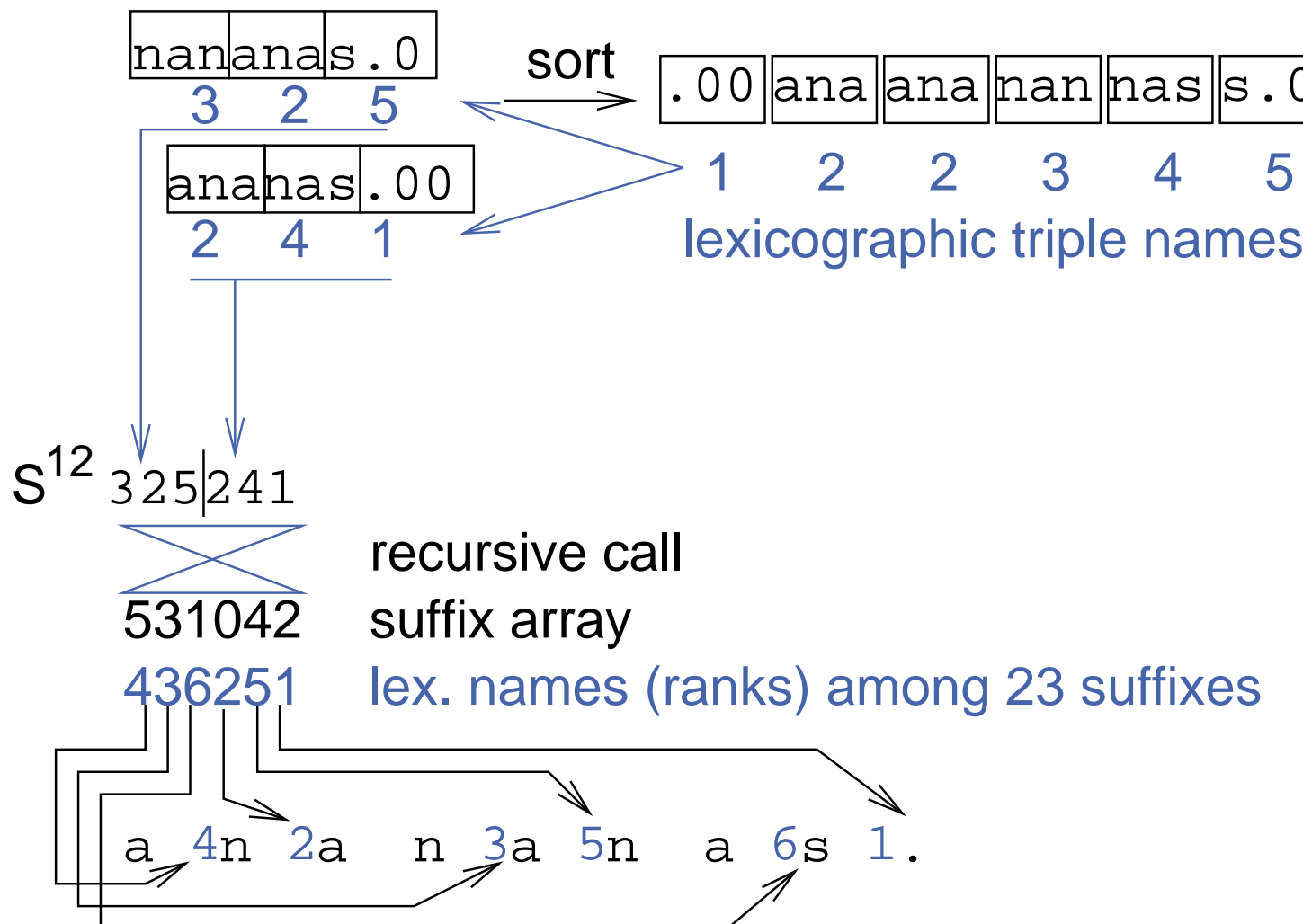
1.  $SA^{12} = \text{sort } \{S_i : i \bmod 3 \neq 0\}$  (Rekursion)
2.  $SA^0 = \text{sort } \{S_i : i \bmod 3 = 0\}$  (einfach mittels  $SA^{12}$ )
3. Mische  $SA^{12}$  und  $SA^0$  (**einfach!**)



# Rekursion, Beispiel

012345678

S anananas .



# Rekursion

- sortiere Tripel  $S[i..i+2]$  für  $i \bmod 3 \neq 0$   
(LSD Radix-Sortieren)
- Finde lexikographische Namen  $S'[1..2n/3]$  der Tripel,  
(d.h.,  $S'[i] < S'[j]$  gdw  $S[i..i+2] < S[j..j+2]$ )
- $S^{12} = [S'[i] : i \bmod 3 = 1] \circ [S'[i] : i \bmod 3 = 2]$ ,  
Suffix  $S_i^{12}$  von  $S^{12}$  repräsentiert  $S_{3i+1}$   
Suffix  $S_{n/3+i}^{12}$  von  $S^{12}$  repräsentiert  $S_{3i+2}$
- Rekursion auf  $(S^{12})$  (Alphabetgröße  $\leq 2n/3$ )
- Annotiere die 23-Suffixe mit ihrer Position in rek. Lösung

# Least Significant Digit First Radix Sort

Hier: Sortiere  $n$  3-Tupel von ganzen Zahlen  $\in [0..n]$  in  
**lexikographische** Reihenfolge

Sortiere nach 3. Position

Elemente sind nach Pos. 3 sortiert

Sortiere **stabil** nach 2. Position

Elemente sind nach Pos. 2,3 sortiert

Sortiere **stabil** nach 1. Position

Elemente sind nach Pos. 1,2,3 sortiert

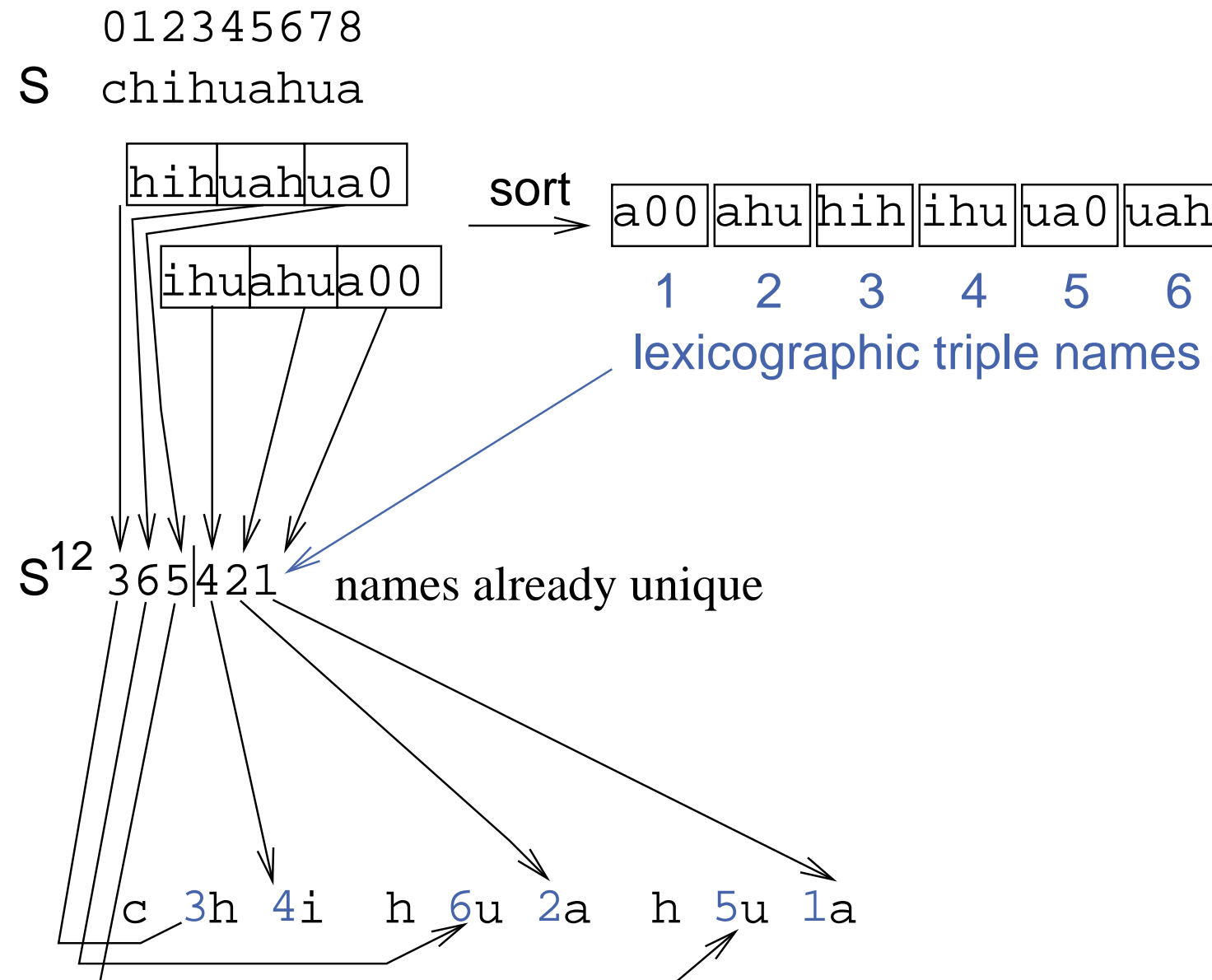
# Stabiles Ganzzahliges Sortieren

Sortiere  $a[0..n)$  nach  $b[0..n)$  mit  $\text{key}(a[i]) \in [0..n]$

```
c[0..n] := [0, ..., 0]                                Zähler
for i ∈ [0..n) do c[a[i]]++                         zähle
s := 0
for i ∈ [0..n) do (s, c[i]) := (s + c[i], s)          Präfixsummen
for i ∈ [0..n) do b[c[a[i]]++] := a[i]                bucket sort
```

Zeit  $O(n)$  !

# Rekursions-Beispiel: Einfacher Fall



# Sortieren der mod 0 Suffixe

|   |                                     |
|---|-------------------------------------|
| 0 | c 3 (h 4 i 5 h 6 u 2 a 5 h 5 u 1 a) |
| 1 |                                     |
| 2 |                                     |
| 3 | h 6 (u 2 a 5 h 5 u 1 a)             |
| 4 |                                     |
| 5 |                                     |
| 6 | h 5 (u 1 a)                         |
| 7 |                                     |
| 8 |                                     |

Benutze Radix-Sort (LSD-Reihenfolge bereits bekannt)

# Mische $SA^{12}$ und $SA^0$

$$0 < 1 \Leftrightarrow c_n < c_n$$

$$0 < 2 \Leftrightarrow cc_n < cc_n$$

3: h 6 u 2 (ahua)

6: h 5 u 1 (a)

0: c 3 h 4 (ihuahua)

|    |        |             |
|----|--------|-------------|
| 4: | ( 6 )u | 2 (ahua)    |
| 7: | ( 5 )u | 1 (a)       |
| 2: | ( 4 )i | h 6 (uahua) |
| 1: | ( 3 )h | 4 (ihuahua) |
| 5: | ( 2 )a | h 5 (ua)    |
| 8: | ( 1 )a | 0 0 0 (0)   |

↓

8: a  
 5: ahua  
 0: chihuahua  
 1: hihuahua  
 6: hua  
 3: huahua  
 2: ihuahua  
 7: ua  
 4: uahua

# Analyse

1. Rekursion:  $T(2n/3)$  plus

  Tripel extrahieren:  $O(n)$  (forall  $i, i \bmod 3 \neq 0$  do ...)

  Tripel sortieren:  $O(n)$

    (e.g., LSD-first radix sort — 3 Durchgänge)

  Lexikographisches benenennen:  $O(n)$  (scan)

  Rekursive Instanz konstruieren:  $O(n)$  (forall names do ...)

2.  $SA^0 =$ sortiere  $\{S_i : i \bmod 3 = 0\}$ :  $O(n)$

  (1 Radix-Sort Durchgang)

3. mische  $SA^{12}$  and  $SA^0$ :  $O(n)$

  (gewöhnliches Mischen mit merkwürdiger Vergleichsfunktion)

Insgesamt:  $T(n) \leq cn + T(2n/3)$

$\Rightarrow T(n) \leq 3cn = O(n)$

# Implementierung: Vergleichs-Operatoren

```
inline bool leq(int a1, int a2,    int b1, int b2) {  
    return(a1 < b1 || a1 == b1 && a2 <= b2);  
}  
inline bool leq(int a1, int a2, int a3,    int b1, int b2, int b3) {  
    return(a1 < b1 || a1 == b1 && leq(a2,a3, b2,b3));  
}
```

# Implementierung: Radix-Sortieren

```
// stably sort a[0..n-1] to b[0..n-1] with keys in 0..K from r
static void radixPass(int* a, int* b, int* r, int n, int K)
{ // count occurrences
    int* c = new int[K + 1];                                // counter array
    for (int i = 0; i <= K; i++) c[i] = 0;                  // reset counters
    for (int i = 0; i < n; i++) c[r[a[i]]]++;             // count occurrences
    for (int i = 0, sum = 0; i <= K; i++) { // exclusive prefix sums
        int t = c[i]; c[i] = sum; sum += t;
    }
    for (int i = 0; i < n; i++) b[c[r[a[i]]]++] = a[i]; // sort
    delete [] c;
}
```

# Implementierung: Tripel Sortieren

```
void suffixArray(int* s, int* SA, int n, int K) {  
    int n0=(n+2)/3, n1=(n+1)/3, n2=n/3, n02=n0+n2;  
    int* s12 = new int[n02 + 3]; s12[n02]= s12[n02+1]= s12[n02+2]=0;  
    int* SA12 = new int[n02 + 3]; SA12[n02]=SA12[n02+1]=SA12[n02+2]=0;  
    int* s0 = new int[n0];  
    int* SA0 = new int[n0];  
  
    // generate positions of mod 1 and mod 2 suffixes  
    // the "+(n0-n1)" adds a dummy mod 1 suffix if n%3 == 1  
    for (int i=0, j=0; i < n+(n0-n1); i++) if (i%3 != 0) s12[j++] = i;  
  
    // lsb radix sort the mod 1 and mod 2 triples  
    radixPass(s12 , SA12, s+2, n02, K);  
    radixPass(SA12, s12 , s+1, n02, K);  
    radixPass(s12 , SA12, s , n02, K);
```

# Implementierung: Lexikographisches Benennen

```
// find lexicographic names of triples
int name = 0, c0 = -1, c1 = -1, c2 = -1;
for (int i = 0; i < n02; i++) {
    if (s[SA12[i]] != c0 || s[SA12[i]+1] != c1 || s[SA12[i]+2] != c2) {
        name++; c0 = s[SA12[i]]; c1 = s[SA12[i]+1]; c2 = s[SA12[i]+2];
    }
    if (SA12[i] % 3 == 1) { s12[SA12[i]/3] = name; } // left half
    else                  { s12[SA12[i]/3 + n0] = name; } // right half
```

# Implementierung: Rekursion

```
// recurse if names are not yet unique
if (name < n02) {
    suffixArray(s12, SA12, n02, name);
    // store unique names in s12 using the suffix array
    for (int i = 0; i < n02; i++) s12[SA12[i]] = i + 1;
} else // generate the suffix array of s12 directly
    for (int i = 0; i < n02; i++) SA12[s12[i] - 1] = i;
```

# Implementierung: Sortieren der mod 0 Suffixe

```
for (int i=0, j=0;  i < n02;  i++) if (SA12[i] < n0) s0[j++] = 3*SA12[i];
radixPass(s0, SA0, s, n0, K);
```

# Implementierung: Mischen

```
for (int p=0, t=n0-n1, k=0; k < n; k++) {  
#define GetI() (SA12[t] < n0 ? SA12[t] * 3 + 1 : (SA12[t] - n0) * 3 + 2)  
    int i = GetI(); // pos of current offset 12 suffix  
    int j = SA0[p]; // pos of current offset 0 suffix  
    if (SA12[t] < n0 ?  
        leq(s[i], s12[SA12[t] + n0], s[j], s12[j/3]) :  
        leq(s[i], s[i+1], s12[SA12[t]-n0+1], s[j], s[j+1], s12[j/3+n0]))  
    { // suffix from SA12 is smaller  
        SA[k] = i; t++;  
        if (t == n02) { // done --- only SA0 suffixes left  
            for (k++; p < n0; p++, k++) SA[k] = SA0[p];  
        }  
    } else {  
        SA[k] = j; p++;  
        if (p == n0) { // done --- only SA12 suffixes left  
            for (k++; t < n02; t++, k++) SA[k] = GetI();  
        }  
    }  
}  
delete [] s12; delete [] SA12; delete [] SA0; delete [] s0; }
```

# Verallgemeinerung: Differenzenüberdeckungen

Ein Differenzenüberdeckung  $D$  modulo  $v$  ist eine Teilmenge von  $[0, v)$ , so dass  $\forall i \in [0, v) : \exists j, k \in D : i \equiv k - j \pmod{v}$ .

Beispiel:

$\{1, 2\}$  ist eine Differenzenüberdeckung modulo 3.

$\{1, 2, 4\}$  ist eine Differenzenüberdeckung modulo y 7.

- Führt zu platzeffizienterer Variante
- Schneller für kleine Alphabete

# Verbesserungen / Verallgemeinerungen

- tuning
- größere Differenzenüberdeckungen
- Kombiniere mit den besten Alg. für einfache Eingaben

[Manzini Ferragina 02, Schürmann Stoye 05, Yuta Mori 08]

# Suffixtabellenkonstruktion: Zusammenfassung

- einfache, direkte, Linearzeit für Suffixtabellenkonstruktion
- einfach anpassbar auf fortgeschrittene Berechnungsmodelle
- Verallgemeinerung auf Diff-Überdeckungen ergibt platzeffiziente Implementierung

# LCP-Array

speichert Längen der längsten gemeinsamen Präfixe lexikographisch benachbarter Suffixe!

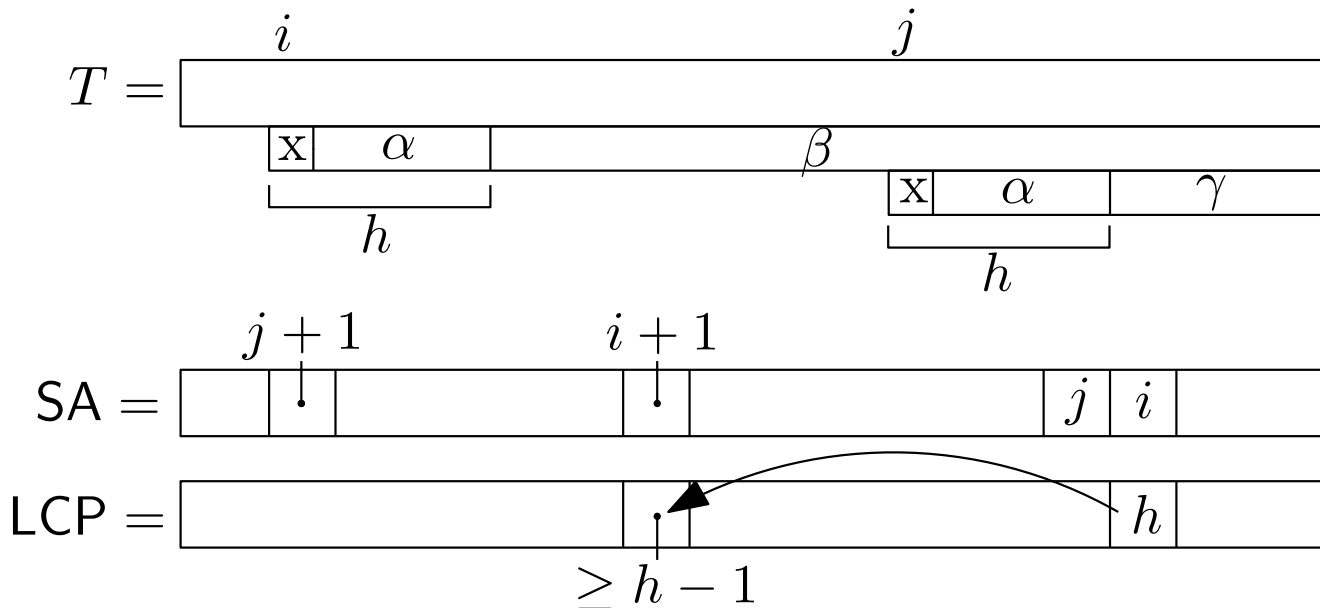
$S = \text{banana}$ :

|   |        |   |        |   |              |
|---|--------|---|--------|---|--------------|
| 0 | banana | 5 | a      | 0 | a            |
| 1 | anana  | 3 | ana    | 1 | <b>ana</b>   |
| 2 | nana   | 1 | anana  | 3 | <b>anana</b> |
| 3 | ana    | 0 | banana | 0 | banana       |
| 4 | na     | 4 | na     | 0 | na           |
| 5 | a      | 2 | nana   | 2 | <b>nana</b>  |

SA =      LCP =

# LCP-Array: Berechnung

- naiv  $O(n^2)$
- inverses Suffix-Array:  $\text{SA}^{-1}[\text{SA}[i]] = i$  (wo steht  $i$  in SA?)
- For all  $1 \leq i < n$ :  $\text{LCP}[\text{SA}^{-1}[i+1]] \geq \text{LCP}[\text{SA}^{-1}[i]] - 1$ .



## LCP-Array: Berechnung

- For all  $1 \leq i < n$ :  $\text{LCP}[\text{SA}^{-1}[i+1]] \geq \text{LCP}[\text{SA}^{-1}[i]] - 1$ .

$h := 0, \text{LCP}[1] := 0$

**for**  $i = 1, \dots, n$  **do**  
**if**  $\text{SA}^{-1}[i] \neq 1$  **then**

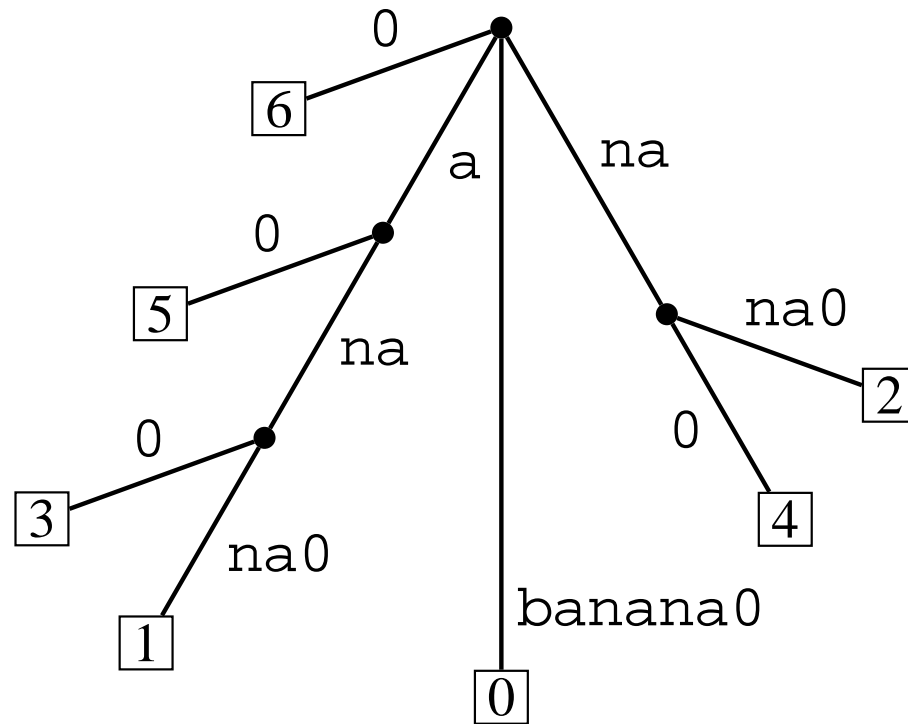
**while**  $t_{i+h} = t_{\text{SA}[\text{SA}^{-1}[i]-1]+h}$  **do**  $h++$

$\text{LCP}[\text{SA}^{-1}[i]] := h$

$h := \max(0, h - 1)$

- Zeit:  $O(n)$

# Suffix-Baum aus SA und LCP

$$S = \text{banana}0$$


- naiv:  $O(n^2)$
- mit Suffix-Array: in lexikographischer Reihenfolge

# Suffix-Baum aus SA und LCP

- LCP-Werte helfen!
- Betrachte nur **rechtesten Pfad!**
- Finde tiefsten Knoten mit String-Tiefe  $\leq \text{LCP}[i] \rightsquigarrow$  **Einfügepunkt!**

|       | 0 | 1 | 2 | 3 | 4 | 5 | 6 |
|-------|---|---|---|---|---|---|---|
| SA =  | 6 | 5 | 3 | 1 | 0 | 4 | 2 |
| LCP = | 0 | 0 | 1 | 3 | 0 | 0 | 2 |

- Zeit  $O(n)$

# Suche in Suffix-Bäumen

- Suche (alle/ein) Vorkommen von  $P_{1..m}$  in  $T$ :
- Wenn ausgehende Kanten Arrays der Größe  $|\Sigma|$ :
  - $O(m)$  Suchzeit
  - $O(n|\Sigma|)$  Gesamtplatz
- Wenn ausgehende Kanten Arrays der Größe prop. zur #Kinder:
  - $O(m \log |\Sigma|)$  Suchzeit
  - $O(n)$  Platz

# Suche in Suffix Arrays

$l := 1; r \leftarrow := n + 1$

**while**  $l < r$  **do** //search left index

$$q := \lfloor \frac{l+r}{2} \rfloor$$

**if**  $P >_{\text{lex}} T_{\text{SA}[q] \dots \min\{\text{SA}[q]+m-1, n\}}$

**then**  $l := q + 1$  **else**  $r := q$

$s := l; l--; r := n$

**while**  $l < r$  **do** //search right index

$$q := \lceil \frac{l+r}{2} \rceil$$

**if**  $P =_{\text{lex}} T_{\text{SA}[q] \dots \min\{\text{SA}[q]+m-1, n\}}$

**then**  $l := q$  **else**  $r := q - 1$

**return**  $[s, l]$

- Zeit  $O(m \log n)$  (geht auch:  $O(m + \log n)$ )

# Burrows-Wheeler-Transformation

 $T = \text{CACAAACCAC\$}$ 

1 2 3 4 5 6 7 8 9 10

C A C A A C C A C \\$  
 A C A A C C A C \\$ C  
 C A A C C A C \\$ C A  
 A A C C A C \\$ C A C  
 A C C A C \\$ C A C A  
 C C A C \\$ C A C A A  
 C A C \\$ C A C A A C  
 A C \\$ C A C A A C C  
 C \\$ C A C A A C C A  
 \\$ C A C A A C C A C

$\uparrow$   
 $T^{(1)}$

$\uparrow$   
 $T^{(6)}$

$\Rightarrow$   
 sort  
 columns  
 lexicogr.

1 2 3 4 5 6 7 8 9 10

\$ A A A A C C C C C  
 C A C C C \\$ A A A C  
 A C \\$ A C C A C C A  
 C C C A A A C \\$ A C  
 A A A C C C C C A \\$  
 A C C C \\$ A A A C C  
 C \\$ A C C A C C C A  
 C C A A A C \\$ A A C  
 A A C \\$ C C C A C A  
 C C C C A A A C \\$ A

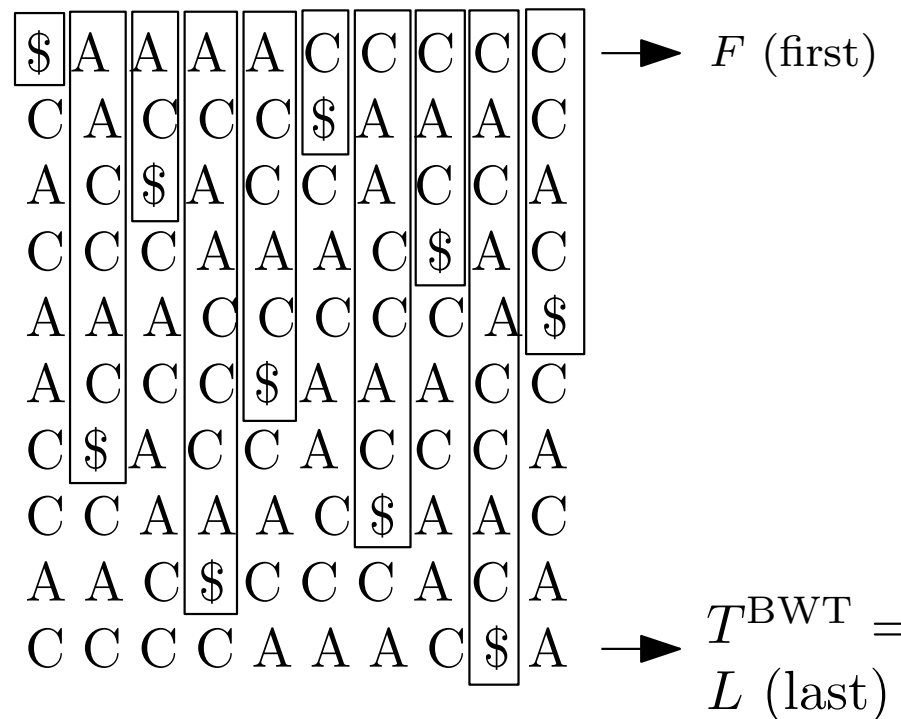
$\rightarrow F$  (first)

$\rightarrow T^{\text{BWT}} =$   
 $L$  (last)  
 $\uparrow$   
 $T^{(1)}$

# Burrows-Wheeler-Transformation

 $T = \text{CACAAACCAC\$}$ 

1 2 3 4 5 6 7 8 9 10  
 A=10 4 8 2 5 9 3 7 1 6

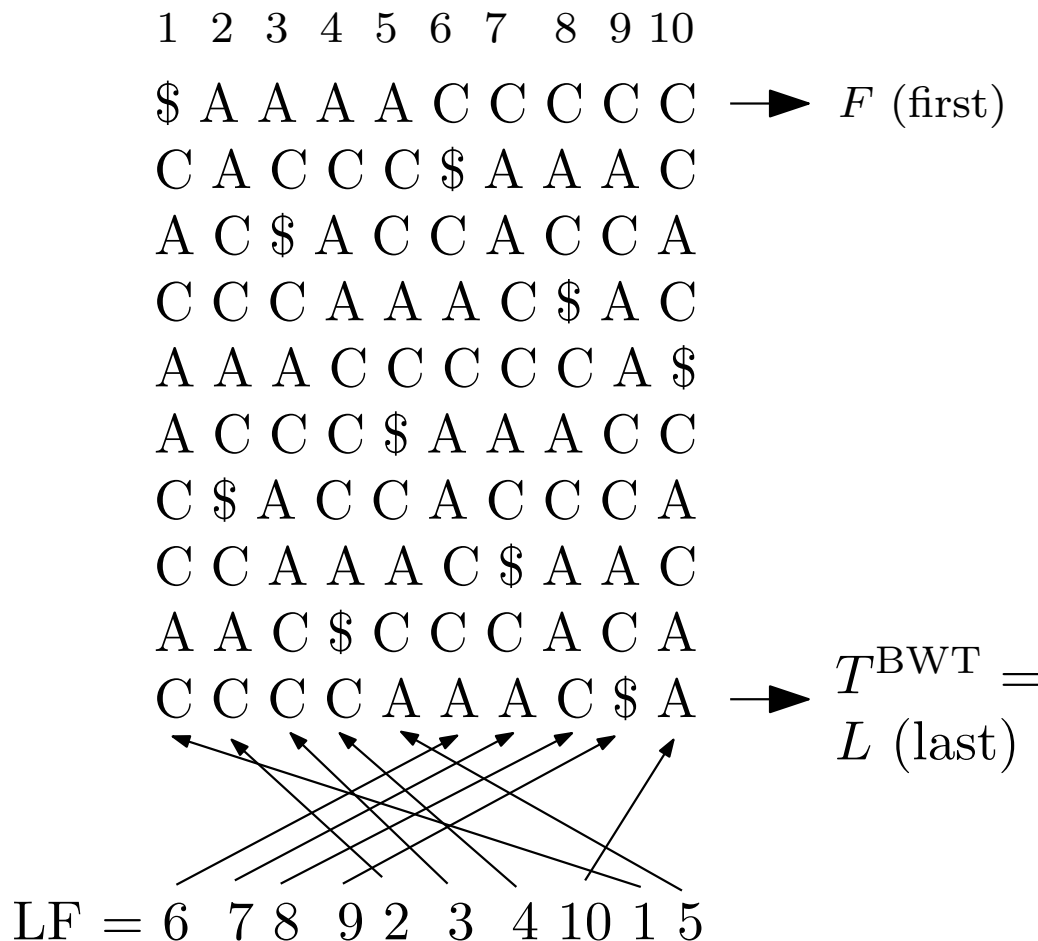


- $L[i] = t_i^{\text{BWT}} = t_{\text{SA}[i]-1} \Rightarrow \text{BWT computable in } O(n) \text{ time}$

# Rücktransformation

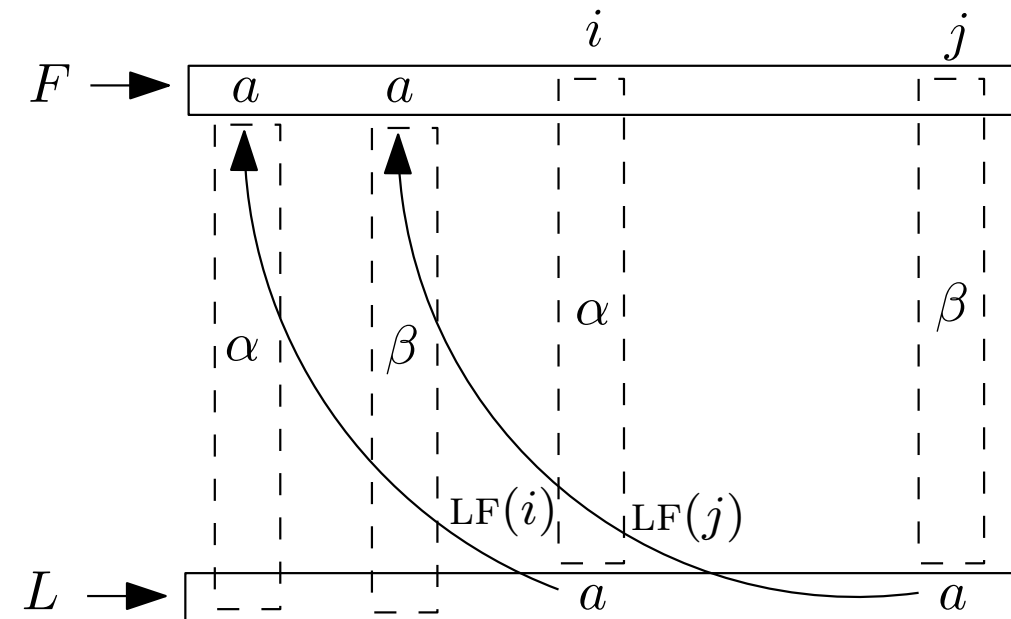
- $LF[i]$  = wo steht mein Vorgängerzeichen?

$T = \text{CACAAACCAC\$}$



# Rücktransformation

- Gleiche Zeichen haben die gleiche Ordnung in  $F$  und  $L$ :
  - falls  $L[i] = L[j]$  und  $i < j$ , dann  $LF[i] < LF[j]$ )



# Rücktransformation

- Gleiche Zeichen haben die gleiche Ordnung in  $F$  und  $L$ :
  - falls  $L[i] = L[j]$  und  $i < j$ , dann  $LF[i] < LF[j]$ )
- Die LF-Funktion kann direkt aus der BWT  $L$  berechnet werden:
  - $C(a)$  = Gesamtzahl aller Zeichen kleiner als  $a$
  - $Occ(i)$  = Anzahl der  $L[i]$ 's in  $L[1, i]$
$$\Rightarrow LF[i] = C(L[i]) + Occ(i)$$

$$C = \begin{matrix} \$ & A & C \\ 0 & 1 & 5 \end{matrix}$$

$$F = \$ \text{ A A A A C C C C C }$$

$$L = \text{C C C C A A A C \$ A}$$

$$\text{OCC} = 1 \ 2 \ 3 \ 4 \ 1 \ 2 \ 3 \ 5 \ 1 \ 4$$

$$\begin{aligned}
 T_n &= \boxed{\$}, k = 1 \\
 L[1] = \text{C} &\Rightarrow T_{n-1} = \boxed{\text{C}}, k = \text{LF}(1) = 6 \\
 L[6] = \text{A} &\Rightarrow T_{n-2} = \boxed{\text{A}}, k = \text{LF}(6) = 3 \\
 L[3] = \text{C} &\Rightarrow T_{n-3} = \boxed{\text{C}}, k = \text{LF}(3) = 8 \\
 L[8] = \text{C} &\Rightarrow T_{n-4} = \boxed{\text{C}}, k = \text{LF}(8) = 10 \\
 L[10] \text{ etc.} &
 \end{aligned}$$



$T$  reversed

# BWT: Kompression

- Erster Schritt: erzeuge **kleine Zahlen** (Move-to-Front)

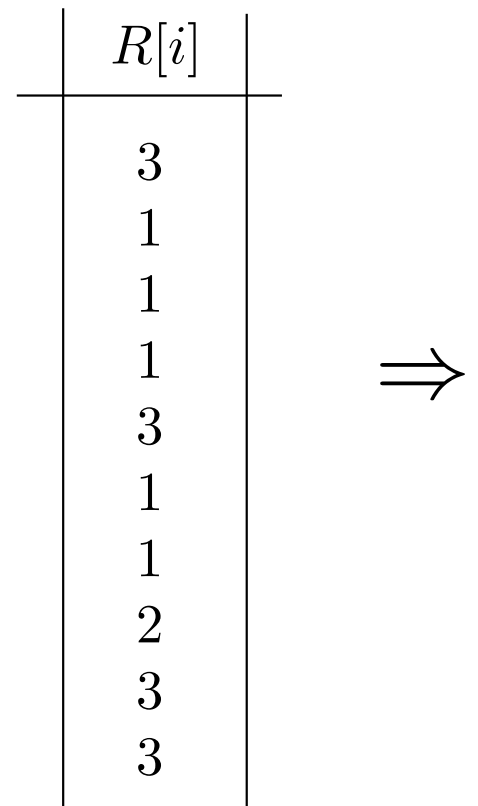
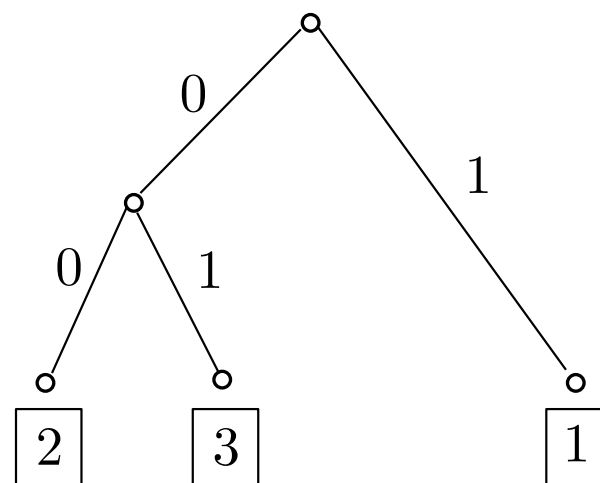
$$T^{\text{BWT}} = \text{C C C C A A A C \$ A}$$

| $i$ | $Y_{old}$ | $T_i^{\text{BWT}}$ | $R[i]$ | $Y_{new}$ |
|-----|-----------|--------------------|--------|-----------|
| 1   | \$AC      | C                  | 3      | C\$A      |
| 2   | C\$A      | C                  | 1      | C\$A      |
| 3   | C\$A      | C                  | 1      | C\$A      |
| 4   | C\$A      | C                  | 1      | C\$A      |
| 5   | C\$A      | A                  | 3      | AC\$      |
| 6   | AC\$      | A                  | 1      | AC\$      |
| 7   | AC\$      | A                  | 1      | AC\$      |
| 8   | AC\$      | C                  | 2      | CA\$      |
| 9   | CA\$      | \$                 | 3      | \$CA      |
| 10  | \$CA      | A                  | 3      | A\$C      |

# BWT: Kompression

- Zweiter Schritt: Variable-Längen-Kodierung
- Huffman

| character | frequency |
|-----------|-----------|
| 1         | 5         |
| 2         | 1         |
| 3         | 4         |



# Huffman-Kodierung

- Präfix-freie Codes variabler Länge
- können greedy konstruiert werden
  - erzeuge binären Baum bottom-up
  - nimm die seltensten 2 Zeichen(gruppen)
  - erzeuge neuen Knoten, der beide Zeichen(gruppen) repräsentiert
  - Häufigkeit neu = Summe der beiden Häufigkeiten
- Path-Labels sind Zeichenkodierungen (li:0; re: 1)
- Operationen: extract-min & increase-key  $\rightsquigarrow O(n \log n)$

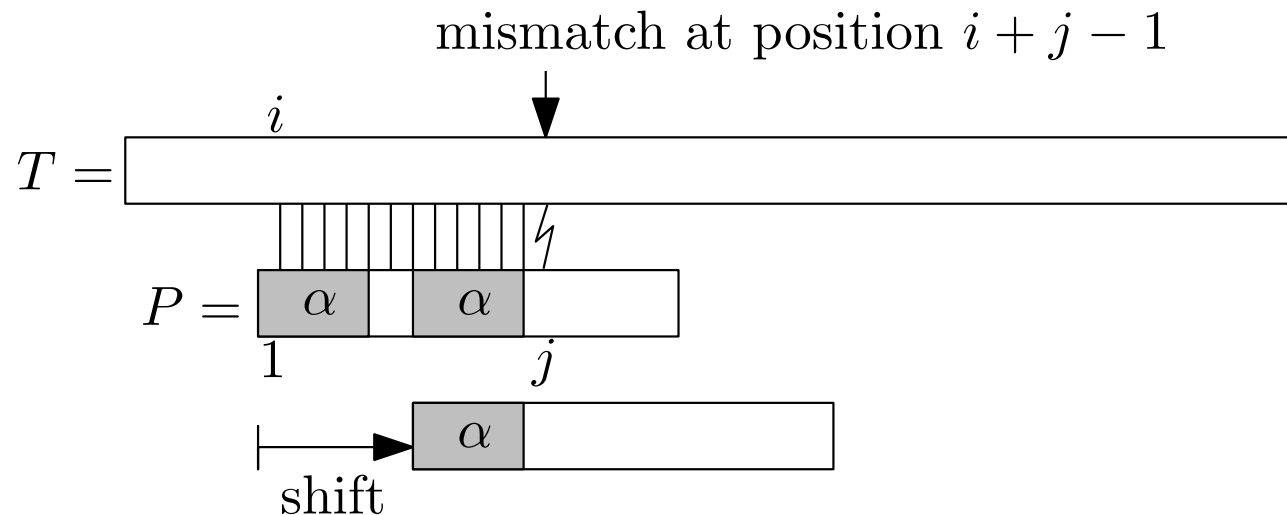
# Naives Pattern Matching

- Aufgabe: Finde alle Vorkommen von  $P$  in  $T$ 
  - $n$ : Länge von  $T$
  - $m$ : Länge von  $P$
- naiv in  $O(nm)$  Zeit

```
i, j := 1                                // indexes in T and P
while i ≤ n - m + 1
    while j ≤ m and ti+j-1 = pj do j++  // compare characters
    if j > m then output "P occurs at position i in T"
    i++                                    // advance in T
    j := 1                                  // restart
```

# Knuth-Morris-Pratt (1977)

- besserer Algorithmus in  $O(n + m)$  Zeit
- Idee: beachte bereits gematchten Teil



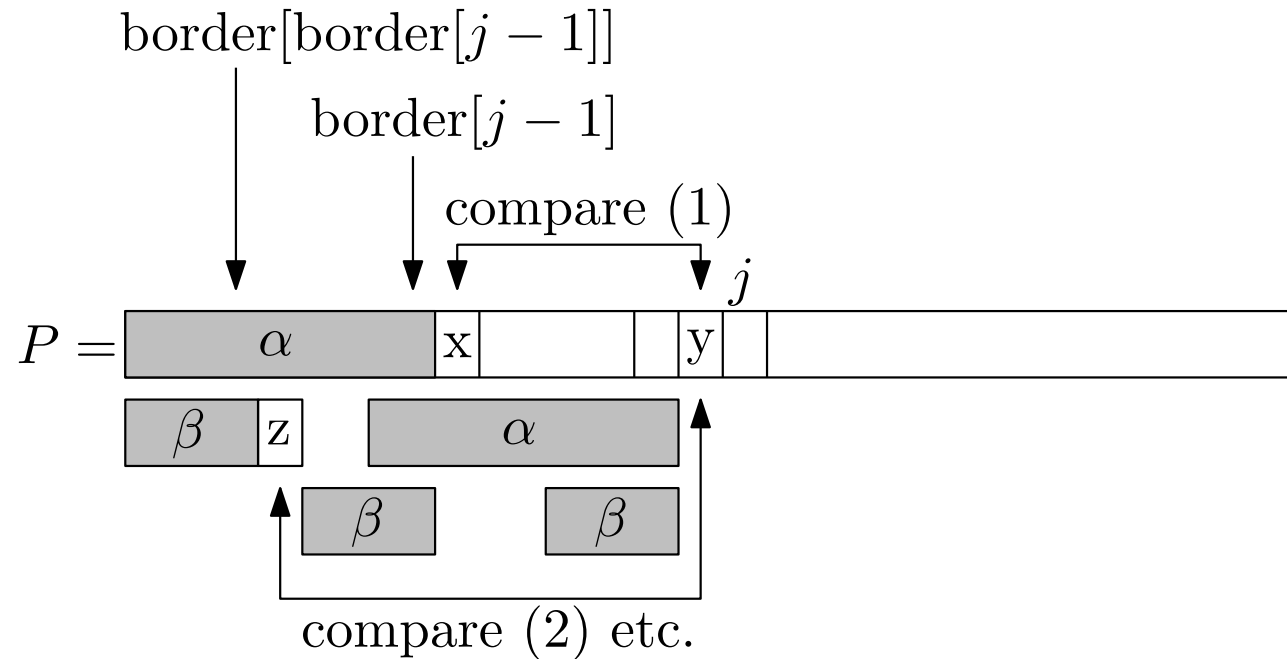
- $\text{border}[j] =$  längstes echtes Präfix von  $P_1 \dots j-1$ , das auch (echtes) Suffix von  $P_1 \dots j-1$  ist

# Knuth-Morris-Pratt (1977)

```
i := 1                                // index in T
j := 1                                // index in P
while i ≤ n - m + 1
    while j ≤ m and ti+j-1 = pj do j++  // compare characters
    if j > m then output "P occurs at position i in T"
    i := i + j - border[j] - 1           // advance in T
    j := max{1, border[j] + 1} // skip first border[j] characters of P
```

# Berechnung des Border-Arrays

- seien die Werte bis zur Position  $j - 1$  bereits berechnet



# Berechnung des Border-Arrays

□ in  $O(m)$  Zeit:

$\text{border}[1] := -1$

$i := \text{border}[1]$  // position in  $P$

**for**  $j = 2, \dots, m$

**while**  $i \geq 1$  and  $p_{i+1} \neq p_j$  **do**  $i = \text{border}[i]$

$i++$

$\text{border}[j] := i$

# Datenkompression

Problem: bei naiver Speicherung verbrauchen Daten sehr viel Speicherplatz / Kommunikationsbandbreite. Das lässt sich oft reduzieren.

## Varianten:

- Verlustbehaftet (mp3, jpg, ...) / **Verlustfrei** (Text, Dateien, Suchmaschinen, Datenbanken, medizin. Bildverarbeitung, Profifotografie, ...)
- 1D** (text, Zahlenfolgen,...) / 2D (Bilder) / 3D (Filme)
- nur Speicherung** / mit Operationen ( $\rightsquigarrow$  succinct data structures)

# Verlustfreie Textkompression

**Gegeben:** Alphabet  $\Sigma$

String  $S = \langle s_1, \dots, s_n \rangle \in \Sigma^*$

Textkompressionsalgorithms  $f : S \rightarrow f(S)$  mit  $|f(S)|$  (z.B. gemessen in bits) möglichst klein.

# Theorie Verlustfreier Textkompression

Informationstheorie. Zum Beispiel

**Entropie:**  $H(S) = -\sum_i \log(p(s_i))$  wobei  $p(x) = |\{s_i : s_i = x\}|/n$   
die relative Häufigkeit von  $s_i$  ist.

untere Schranke für **# bits** pro Zeichen falls Text einer Zufallsquelle  
entspränge.

~~> Huffman-Coding ist annähernd optimal! (Entropiecodierung) ????

Schon eher:

**Entropie höherer Ordnung** betrachte Teilstrings fester Länge

“Ultimativ”: Kolmogorov Komplexität. Leider nicht berechenbar.

# Wörterbuchbasierte Textkompression

Grundidee: wähle  $\Sigma' \subseteq \Sigma^*$  und ersetze  $S \in \Sigma^*$  durch

$S' = \langle s'_1, \dots, s'_k \rangle \in \Sigma'^*$ , so dass  $S = s'_1 \cdot s'_2 \cdots s'_k$ . (mit ‘ $\cdot$ ’= Zeichenkettenkonkatenation.)

Platz  $n \lceil \log \Sigma \rceil \rightarrow k \lceil \log \Sigma' \rceil$  mit Entropiecodierung der Zeichen aus  $\Sigma'$  sogar  $k \text{Entropie}(S')$

**Problem:** zusätzlicher Platz für Wörterbuch.

OK für sehr große Datenbestände.

# Wörterbuchbasierte Textkompression – Beispiel

Volltextsuchmaschinen verwenden oft  $\Sigma' :=$  durch Leerzeichen (etc.)

separierte Wörter der zugrundeliegenden natürlichen Sprache.

Spezialbehandlung von Trennzeichen etc.

Gallia est omnis divisa in partes tres, ...

→ gallia est omnis divisa in partes tres ...

# Lempel-Ziv Kompression (LZ)

Idee: baue Wörterbuch “on the fly” bei Codierung und Decodierung.  
Ohne explizite Speicherung!

# Naive Lempel-Ziv Kompression (LZ)

```
Procedure naiveLZCompress( $\langle s_1, \dots, s_n \rangle$ ,  $\Sigma$ )
     $D := \Sigma$                                 // Init Dictionary
     $p := s_1$                             // current string
    for  $i := 2$  to  $n$  do
        if  $p \cdot s_i \in D$  then  $p := p \cdot s_i$ 
        else
            output code for  $p$ 
             $D := D \cup p \cdot s_i$ 
             $p := s_i$ 
    output code for  $p$ 
```

# Naive LZ Dekompression

**Procedure** naiveLZDecode( $\langle c_1, \dots, c_k \rangle$ )

$D := \Sigma$

$p := \epsilon$

// current string

**for**  $i := 1$  **to**  $k$  **do**

$D := D \cup p \cdot \text{decode}(c_i)[1]$

$p := c_i$

output  $\text{decode}(p)$

# LZ Beispiel: abracadabra

| #  | $p$     | output | input | $D \cup =$ |
|----|---------|--------|-------|------------|
| 1  | $\perp$ | -      | a     | a,b,c,d,r  |
| 2  | a       | a      | b     | ab         |
| 3  | b       | b      | r     | br         |
| 4  | r       | r      | a     | ra         |
| 5  | a       | a      | c     | ac         |
| 6  | c       | c      | a     | ca         |
| 7  | a       | a      | d     | ad         |
| 8  | d       | d      | a     | da         |
| 9  | a       | -      | b     | -          |
| 10 | ab      | ab     | r     | abr        |
| 11 | r       | -      | a     | -          |
| -  | ra      | ra     | -     | -          |

# LZ-Verfeinerungen

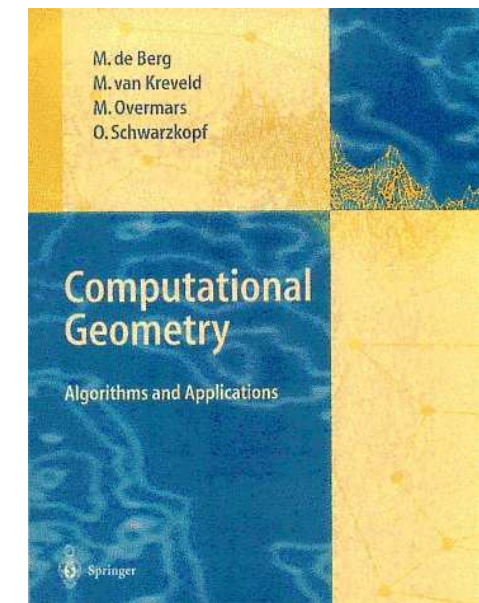
- Wörterbuchgröße begrenzen, z.B.  $|D| \leq 4096 \rightsquigarrow 12\text{bit codes.}$
- Von vorn wenn Wörterbuch voll  $\rightsquigarrow$  Blockweise arbeiten
- Kodierung mit **variabler Zahl Bits** (z.B. Huffman, arithmetic coding)
- Selten benutzte Wörterbucheinträge löschen ???
- Wörterbuch effizient implementieren:  
(universelles) hashing

# 10 Geometrische Algorithmen

- Womit beschäftigen sich geom. Algorithmen?
- Schnitt von Strecken: Bentley-Ottmann-Algorithmus
- Konvexe Hüllen
- Kleinste einschließende Kugel
- Range Search

Quelle:

[Computational Geometry – Algorithms and Applications  
de Berg, van Kreveld, Overmars, Schwarzkopf  
Springer, 1997]

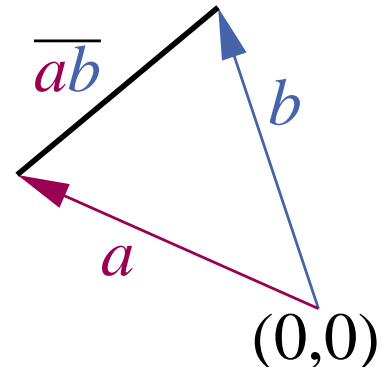


# Elementare Geometrische Objekte

Punkte:  $x \in \mathbb{R}^d$

Strecken:  $\overline{ab} := \{\alpha \mathbf{a} + (1 - \alpha) \mathbf{b} : \alpha \in [0, 1]\}$

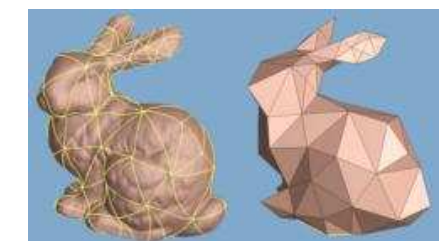
uvam: Halbräume, Ebenen, Kurven,...



## Dimension $d$ :

- 1: Oft trivial. Gilt i. allg. nicht als geometrisches Problem
- 2: Geogr. Informationssysteme (GIS), Bildverarbeitung,...
- 3: Computergrafik, Simulationen,...
- $\geq 4$ : Optimierung, Datenbanken, maschinelles Lernen,...

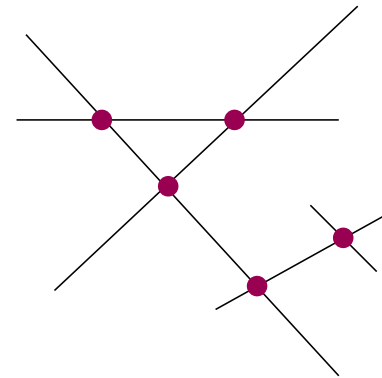
curse of dimensionality!



$n$ : Anzahl vorliegender Objekte

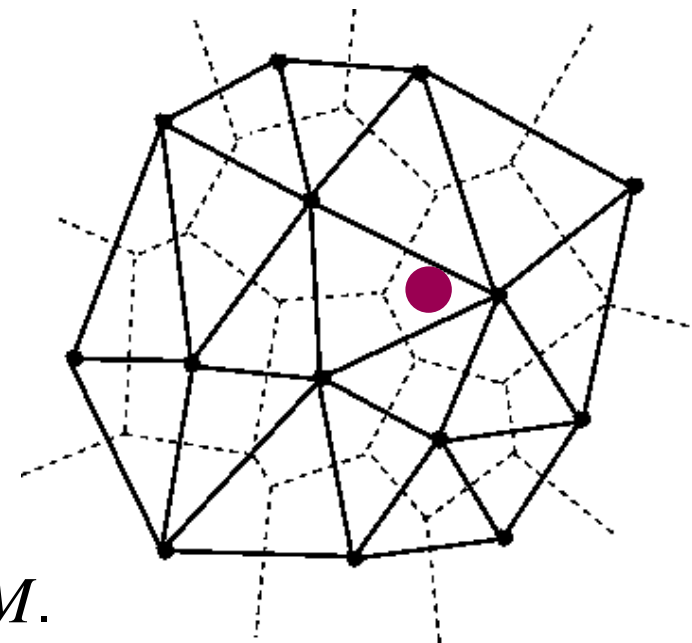
# Typische Fragestellungen

- Schnittpunkte zwischen  $n$  Strecken



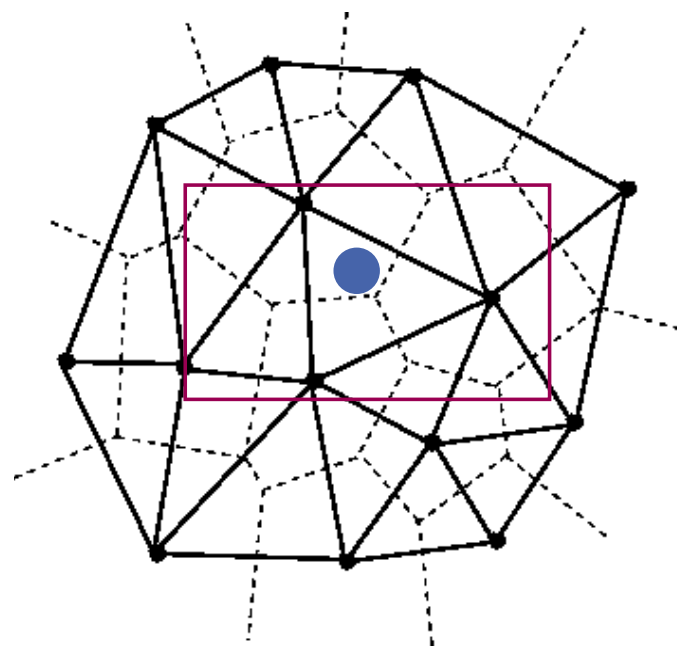
# Typische Fragestellungen

- Schnittpunkte zwischen  $n$  Strecken
- Konvexe Hülle
- Triangulation von Punktmenzen  
(2D, verallgemeinerbar)  
z.B. **Delaunaytriangulierung**:  
Kein Dreieck enthält weiteren Punkt
- Voronoi-Diagramme**: Sei  $x \in M \subseteq \mathbb{R}^d$ .  
 $\forall y \in \mathbb{R}^d$  bestimme nächstes Element aus  $M$ .  
(Unterteilung von  $M$  in  $n$  Voronoizellen)
- Punklokalisierung**: Geg. Unterteilung von  $R^d$ ,  $x \in R^d$ :  
in welchem Teil liegt  $x$  ?



# Datenstrukturen für Punktmengen

- nächsten Nachbarn berechnen
- Bereichsanfragen
- ...



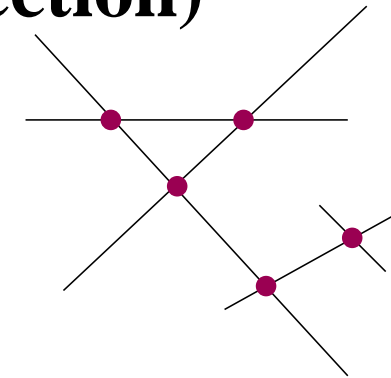
# Mehr Fragestellungen

- Sichtbarkeitsberechnungen
- Lineare Programmierung
- Geometrische Versionen von Optimierungsproblemen
  - Kürzeste Wege, z.B.  
*energieeffiziente Kommunikation in Radionetzwerken*
  - minimale Spannbäume  
*reduzierbar auf Delaunay-Triangulierung + Graphalgorithmus*
  - Matchings
  - Handlungsreisendenproblem
  - ...
- ...

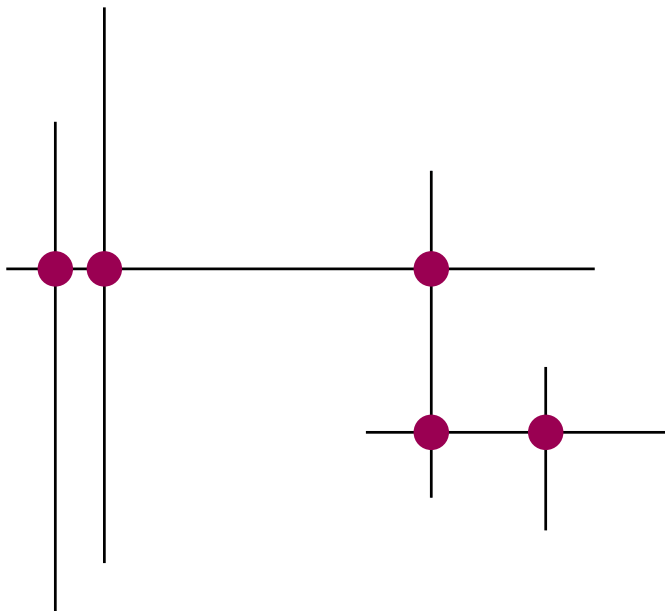
## 10.1 Streckenschnitt (line segment intersection)

**Gegeben:**  $S = \{s_1, \dots, s_n\}$ ,  $n$  Strecken

**Gesucht:** Schnittpunkte  $\bigcup_{s,t \in S} s \cap t$

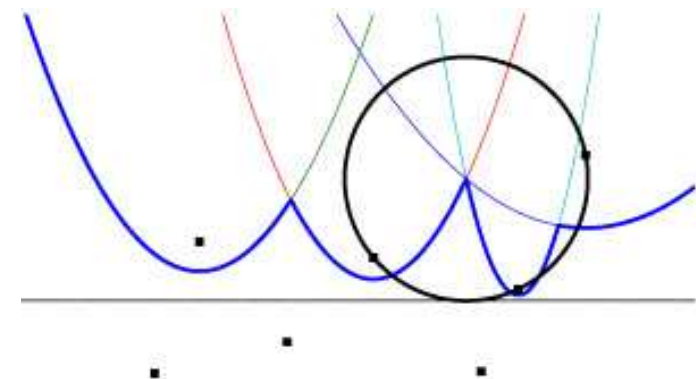


Zum Warmwerden: Orthogonaler Streckenschnitt – die Strecken sind parallel zur x- oder y-Achse



# Streckenschnitt: Anwendungen

- Schaltungsentwurf: wo kreuzen sich Leiterbahnen?
- **GIS**: Strassenkreuzungen, Brücken,...
- Erweiterungen: z.B. Graphen benachbarter Strecken/Flächen aufbauen/verarbeiten
- Noch allgemeiner:  
**Plane-Sweep**-Algorithmen für andere Fragestellungen  
(z.B. Konstruktion von konvexen Hüllen oder Voronoi-diagrammen)



# Streckenschnitt: Naiver Algorithmus

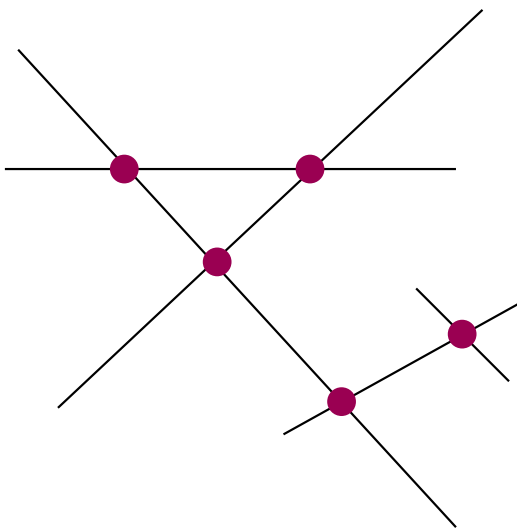
**foreach**  $\{s, t\} \subseteq S$  **do**

**if**  $s \cap t \neq \emptyset$  **then**

        output  $\{s, t\}$

Problem: Laufzeit  $\Theta(n^2)$ .

Zu langsam für große Datenmengen

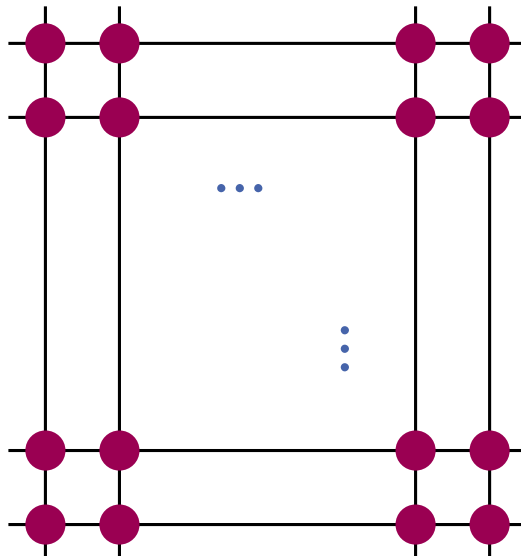


# Streckenschnitt: Untere Schranke

$\Omega(n + k)$  mit  $k :=$  Anzahl ausgegebener Schnitte.

Vergleichsbasiert:  $\Omega(n \log n + k)$  (Beweis: nicht hier)

Beobachtung  $k = \Theta(n^2)$  ist möglich, aber reale Eingaben haben meist  $k = O(n)$ .

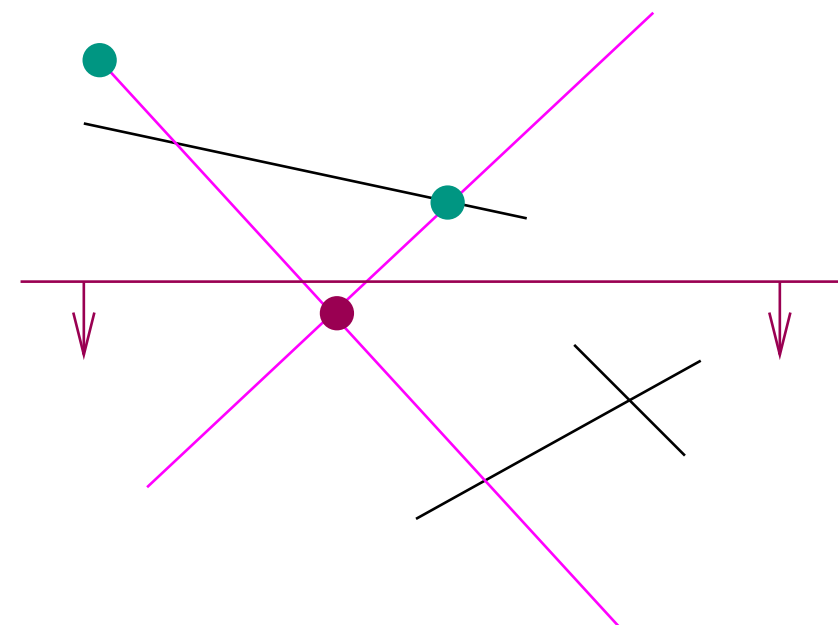


# Idee: Plane-Sweep-Algorithmen

(Waagerechte) Sweep-Line  $\ell$  läuft von oben nach unten.

Invariante: Schnittpunkte oberhalb von  $\ell$  wurden korrekt ausgegeben

Beobachtung: Nur Segmente, die sich mit  $\ell$  schneiden,  
müssen neu ausgegeben werden.



# Plane-Sweep für orth. Streckenschnitt

$T = \langle \rangle$  : SortedSequence **of** Segment

**invariant**  $T$  stores the vertical segments intersecting  $\ell$

$Q := \text{sort}(\langle (y, s) : \exists \text{hor. seg. } s \text{ at } y \text{ or } \exists \text{vert. seg. } s \text{ starting/ending at } y \rangle)$

//tie breaking: vert. starting events first, vert. finishing events last

**foreach**  $(y, s) \in Q$  in descending order **do**

**if**  $s$  is a vertical segment and **starts** at  $y$  **then**  $T.\text{insert}(s)$

**else if**  $s$  is a vertical segment and **ends** at  $y$  **then**  $T.\text{remove}(s)$

**else** //we have a horizontal segment  $s = \overline{(x_1, y)(x_2, y)}$

**foreach**  $t = \overline{(x, y_1)(x, y_2)} \in T$  with  $x \in [x_1, x_2]$  **do**

output  $\{s, t\}$

handle horizontal segments on  $\ell$  // interval intersection problem

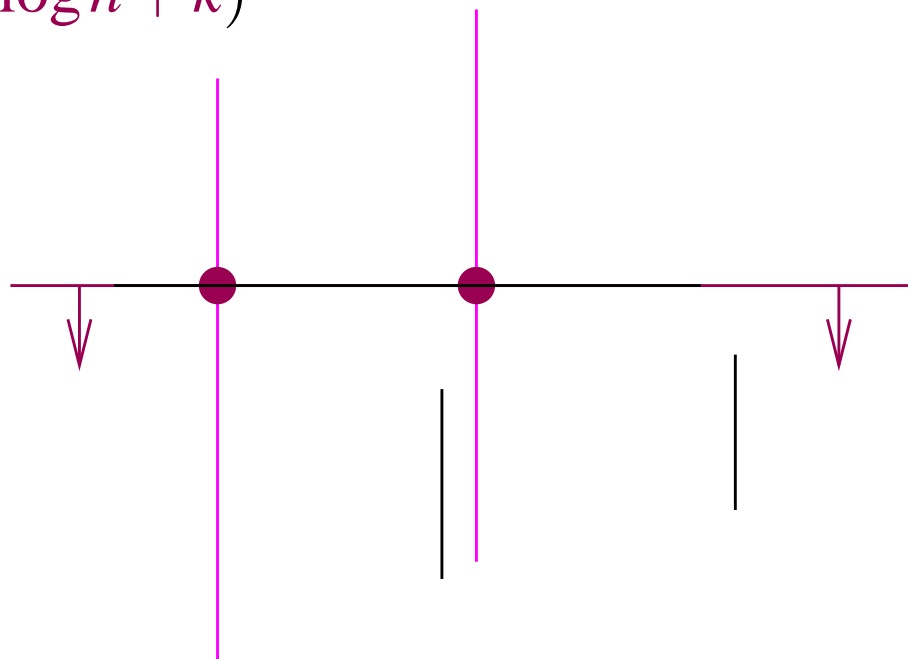
# Analyse orth. Streckenschnitt

insert:  $O(\log n)$  ( $\leq n \times$ )

remove:  $O(\log n)$  ( $\leq n \times$ )

rangeQuery:  $O(\log n + k_s)$ ,  $k_s$  Schnitte mit hor. Segment  $s$

Insgesamt:  $O(n \log n + \sum_s k_s) = O(n \log n + k)$



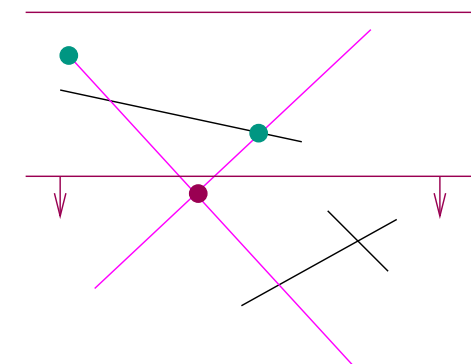
# Verallgemeinerung – aber erstmal “nicht ganz”

Annahme zunächst:

Allgemeine Lage, d.h. hier

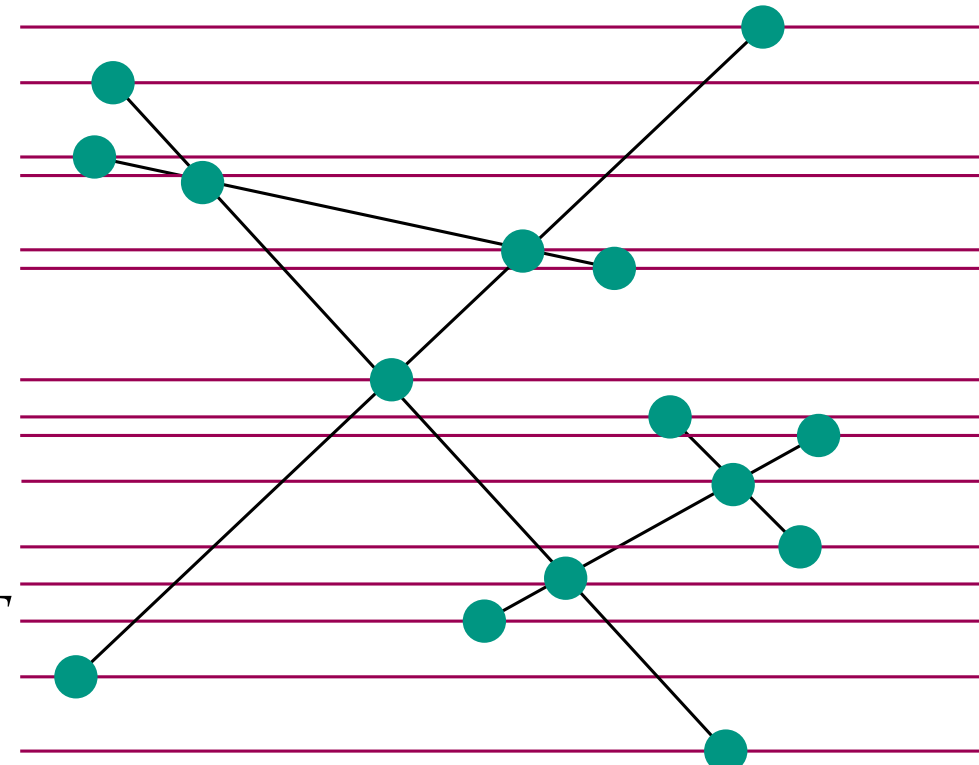
- Keine horizontalen Strecken
- Keine Überlappungen
- Schnittpunkte jeweils im Inneren von genau zwei Strecken

**Beobachtung:** kleine zuf. Perturbationen produzieren allg. Lage.



# Verallgemeinerung – Grundidee

- Plane-Sweep mit Sweep-Line  $\ell$
- Status  $T$  := nach  $x$  geordnete Folge der  $\ell$  schneidenden Strecken
- Ereignis:= Statusänderung
  - Startpunkte
  - Endpunkte
  - Schnittpunkte
- Schnitttest nur für Segmente, die an einem Ereignispunkt in  $T$  benachbart sind.



# Verallgemeinerung – Korrektheit

**Lemma:**

$s \cap t = \{(x, y)\} \longrightarrow \exists \text{ Ereignis : } s, t \text{ werden Nachbarn auf } \ell$

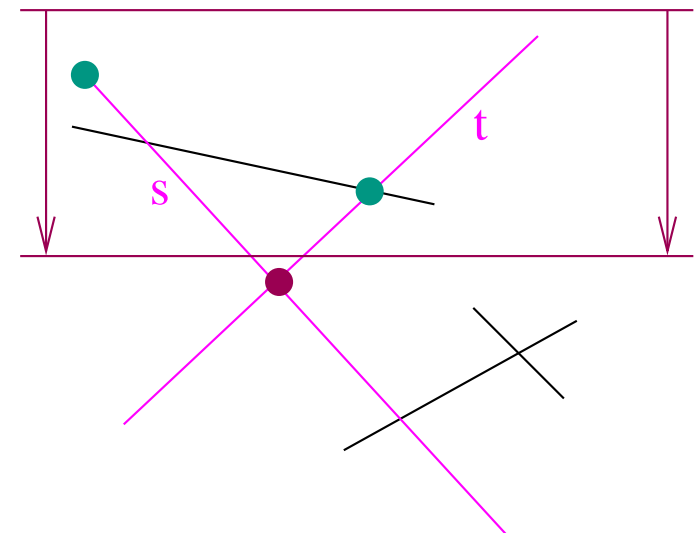
**Beweis:**

Anfangs :  $T = \langle \rangle \longrightarrow s, t \text{ sind nicht in } \ell \text{ benachbart.}$

@ $y + \varepsilon$  :  $s, t$  sind in  $\ell$  benachbart.

$\longrightarrow$

$\exists \text{ Ereignis bei dem } s \text{ und } t \text{ Nachbarn werden.}$



# Verallgemeinerung – Implementierung

$T = \langle \rangle$  : SortedSequence **of** Segment

**invariant**  $T$  stores the relative order of the segments intersecting  $\ell$

$Q$  : MaxPriorityQueue

$Q := Q \cup \left\{ (y, \text{start}, s) : s = \overline{(x, y)(x', y')} \in S, y \geq y' \right\} \quad // \mathcal{O}(n \log n)$

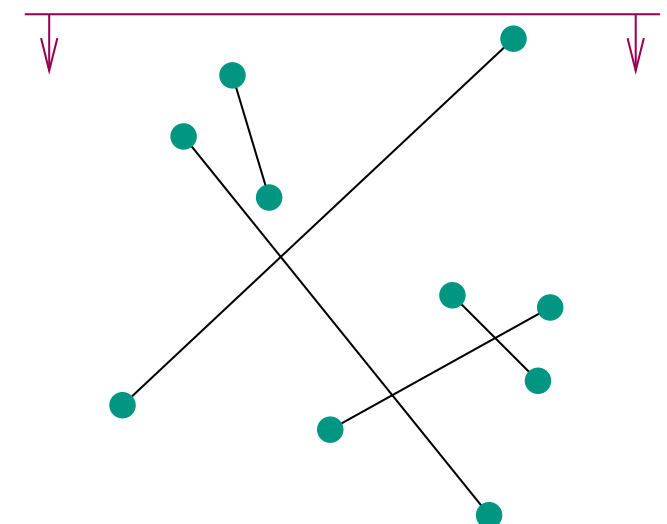
$Q := Q \cup \left\{ (y, \text{finish}, s) : s = \overline{(x, y)(x', y')} \in S, y \leq y' \right\} \quad // \mathcal{O}(n \log n)$

**while**  $Q \neq \emptyset$  **do**

$(y, \text{type}, s) := Q.\text{deleteMax}$

$// \mathcal{O}((n+k) \log n)$

    handleEvent( $y, \text{type}, s, T, Q$ )



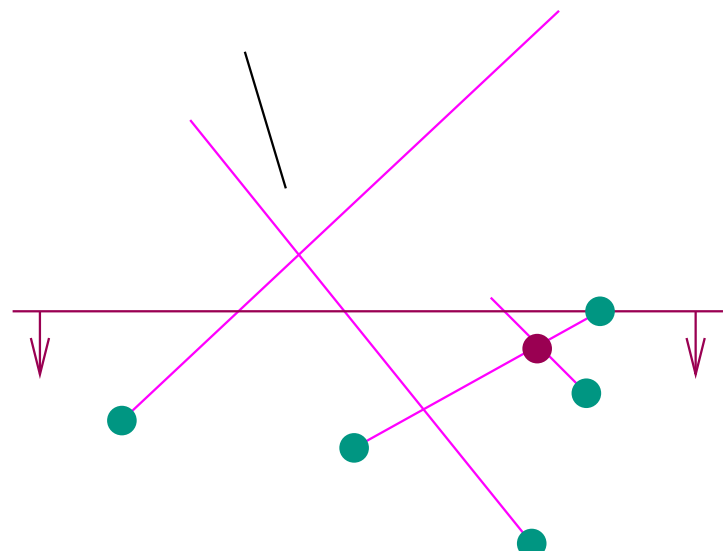
```

handleEvent( $y, \text{start}, s, T, Q$ ) //  $n \times$ 
   $h := T.\text{insert}(s)$  //  $O(\log n)$ 
  prev := pred( $h$ ) //  $O(1)$ 
  next := succ( $h$ ) //  $O(1)$ 
  findNewEvent(prev,  $h$ )
  findNewEvent( $h$ , next)

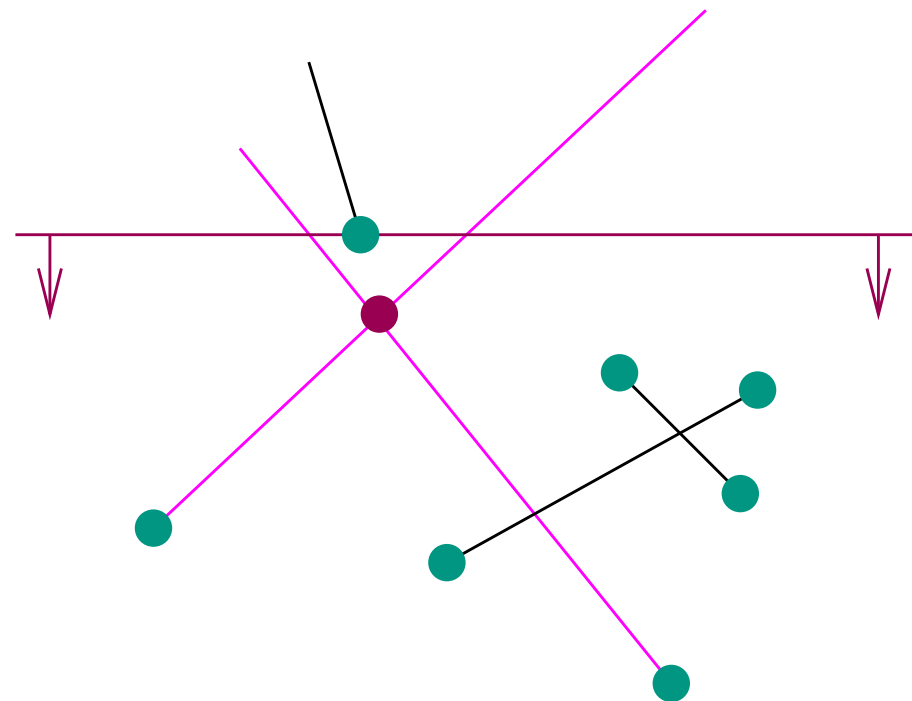
```

**Procedure** findNewEvent( $s, t$ ) //  $O(1 + \log n)$

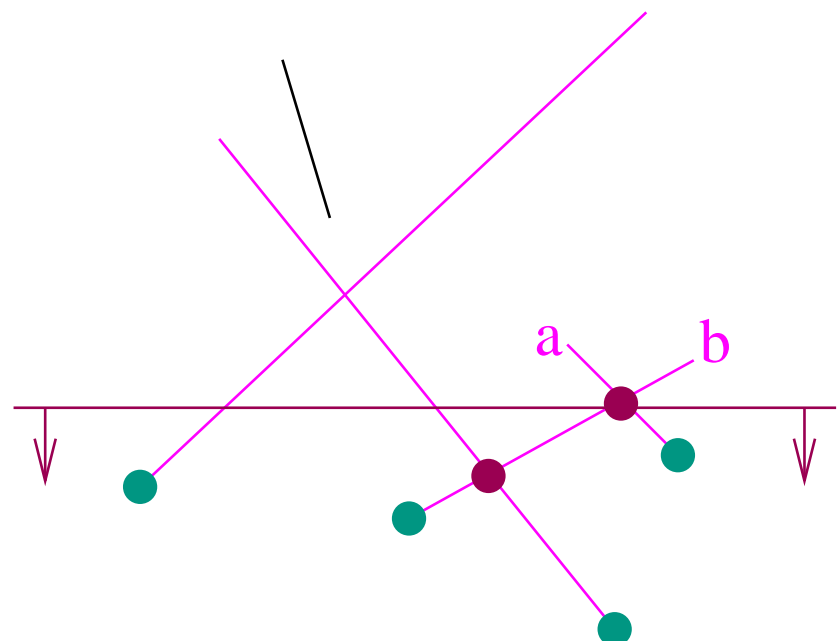
**if**  $*s$  and  $*t$  intersect at  $y' < y$  **then**

$$Q.\text{insert}((y', \text{intersection}, (s, t)))$$


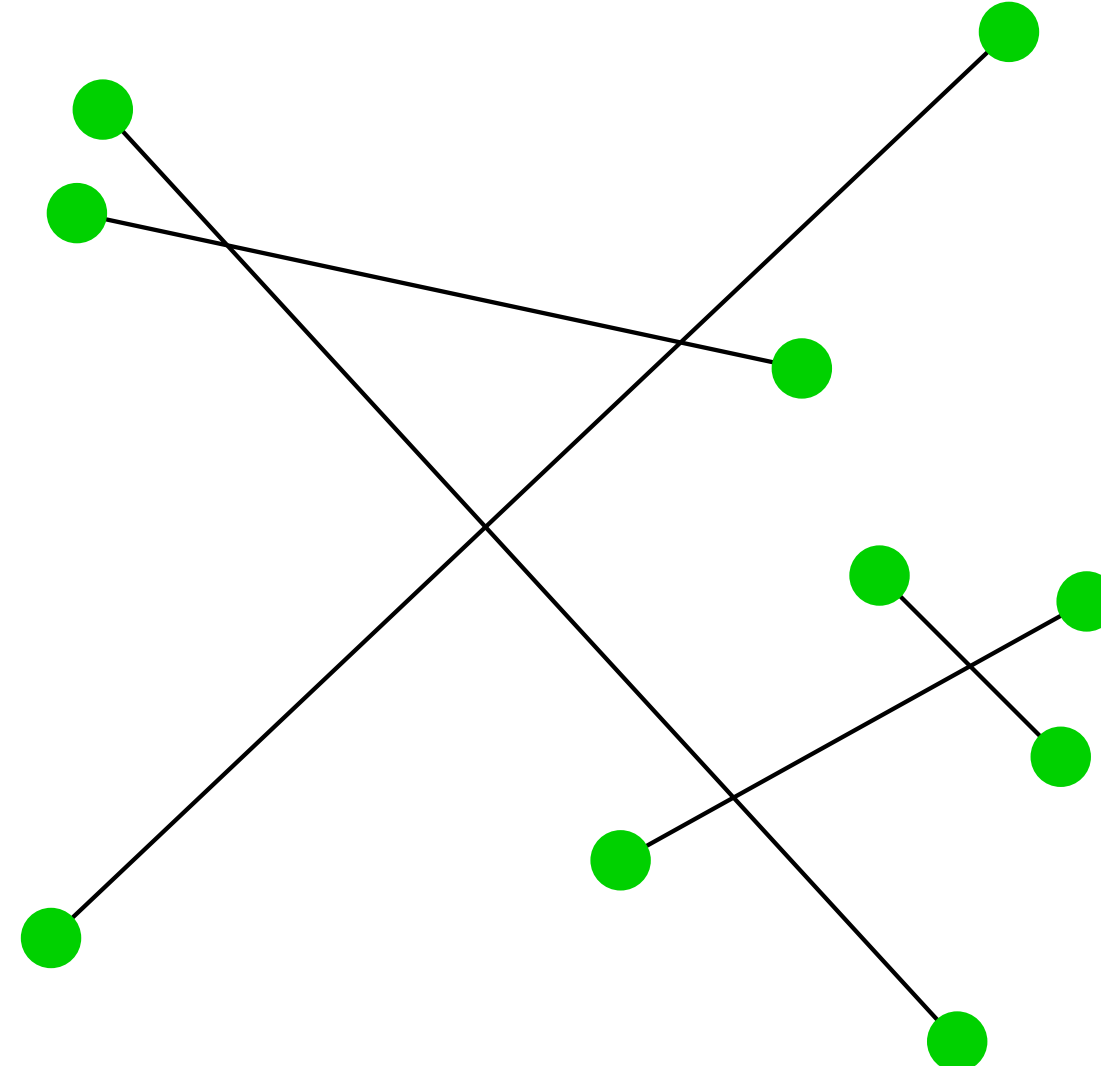
```
handleEvent( $y, \text{finish}, s, T, Q$ ) //  $n \times$ 
     $h := T.\text{locate}(s)$  //  $O(\log n)$ 
    prev := pred( $h$ ) //  $O(1)$ 
    next := succ( $h$ ) //  $O(1)$ 
     $T.\text{remove}(s)$  //  $O(\log n)$ 
    findNewEvent(prev, next)
```



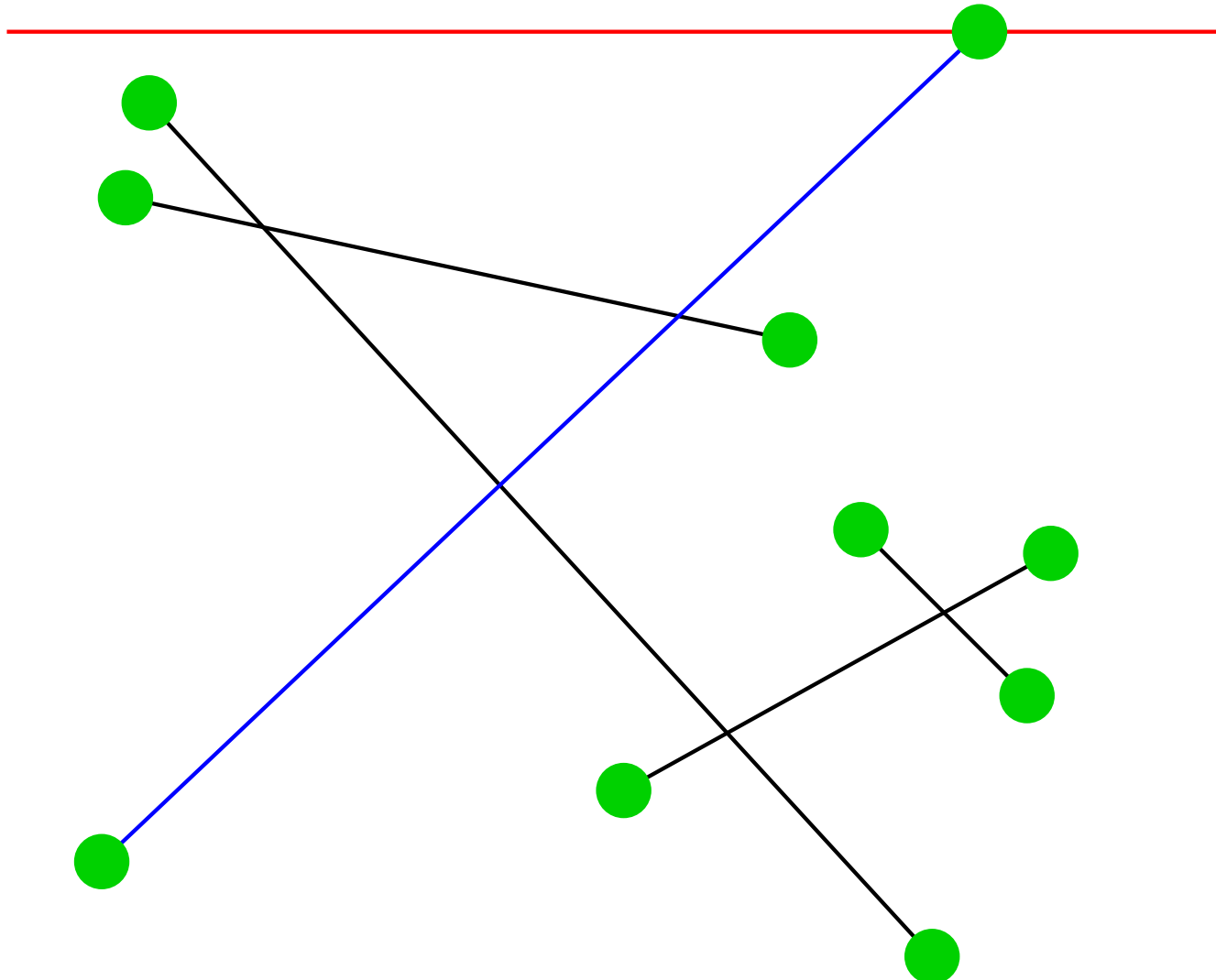
```
handleEvent( $y, \text{intersection}, (a, b), T, Q$ )  
    output  $(*s \cap *t)$  //  $O(1)$   
     $T.\text{swap}(a, b)$  //  $O(\log n)$   
    prev := pred( $b$ ) //  $O(1)$   
    next := succ( $a$ ) //  $O(1)$   
    findNewEvent(prev,  $b$ )  
    findNewEvent( $a$ , next)
```



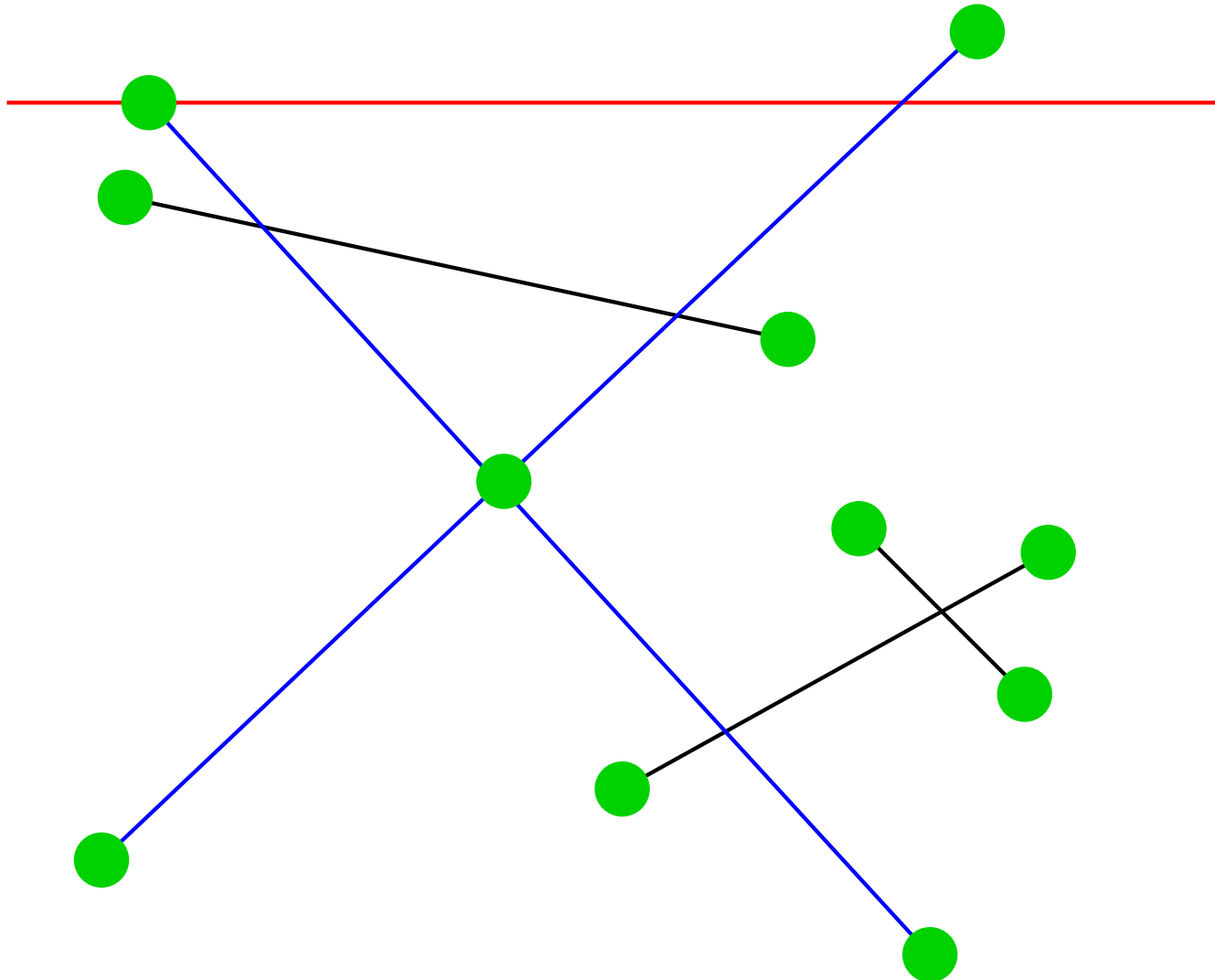
# Verallgemeinerung – Beispiel



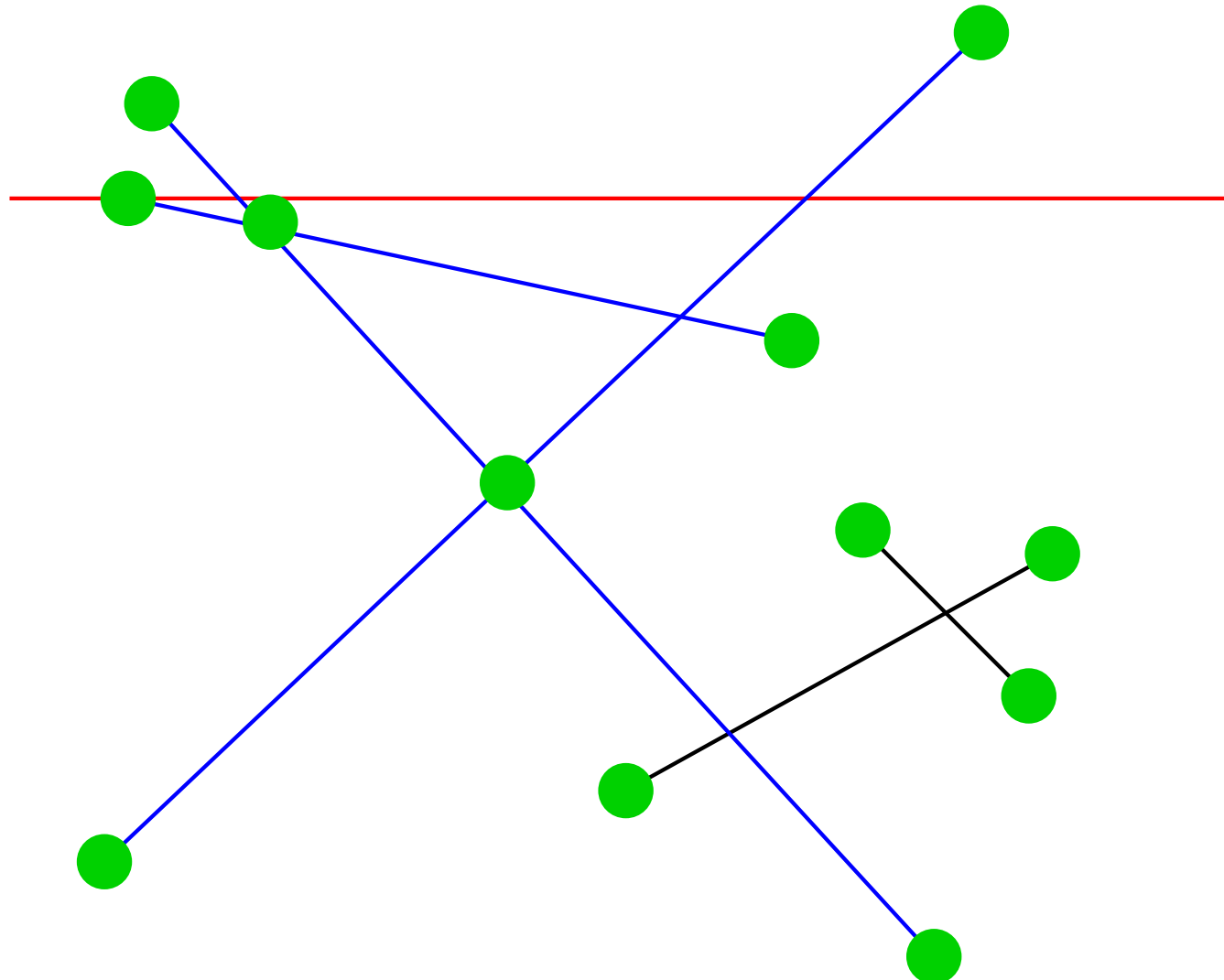
## Verallgemeinerung – Beispiel



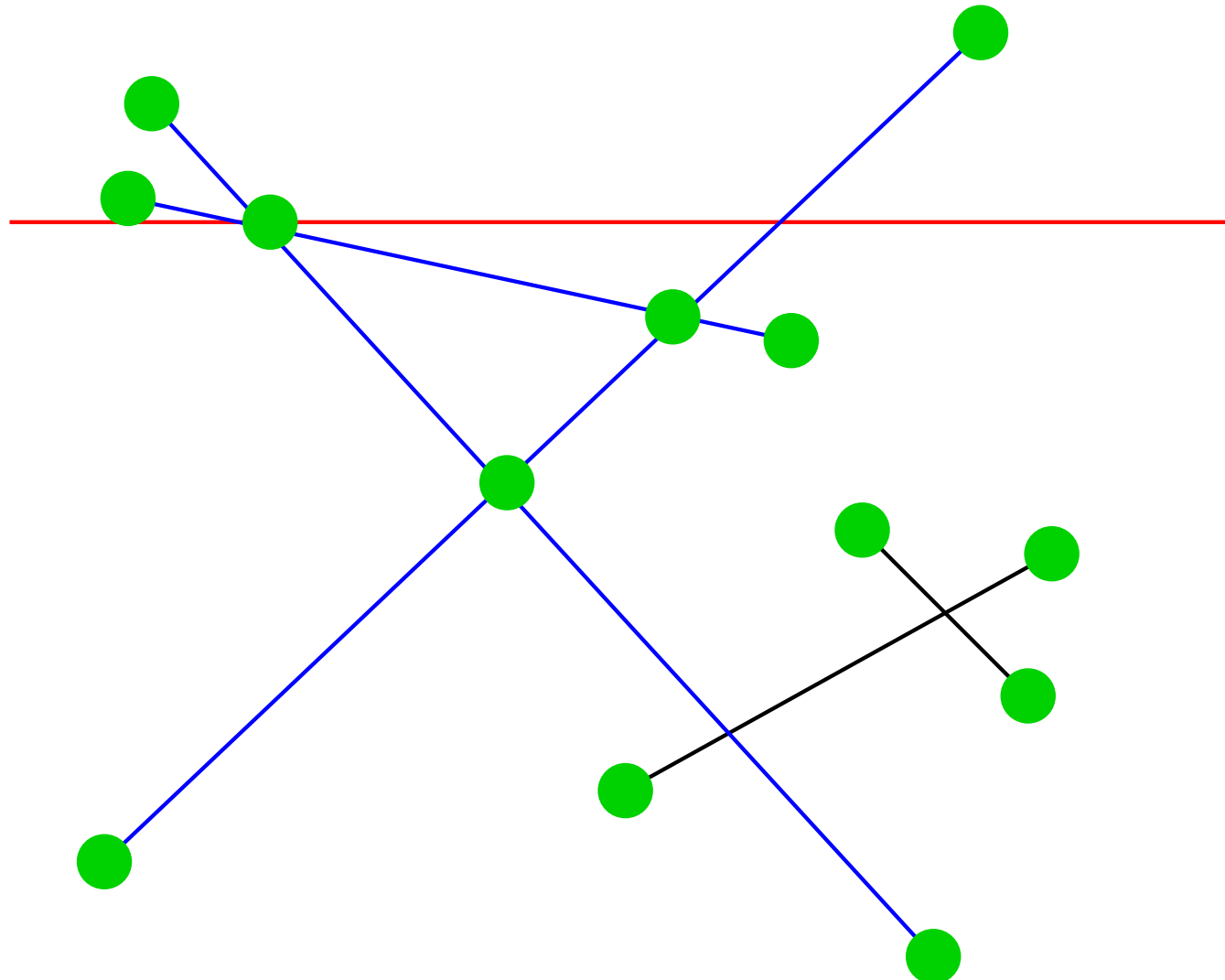
## Verallgemeinerung – Beispiel



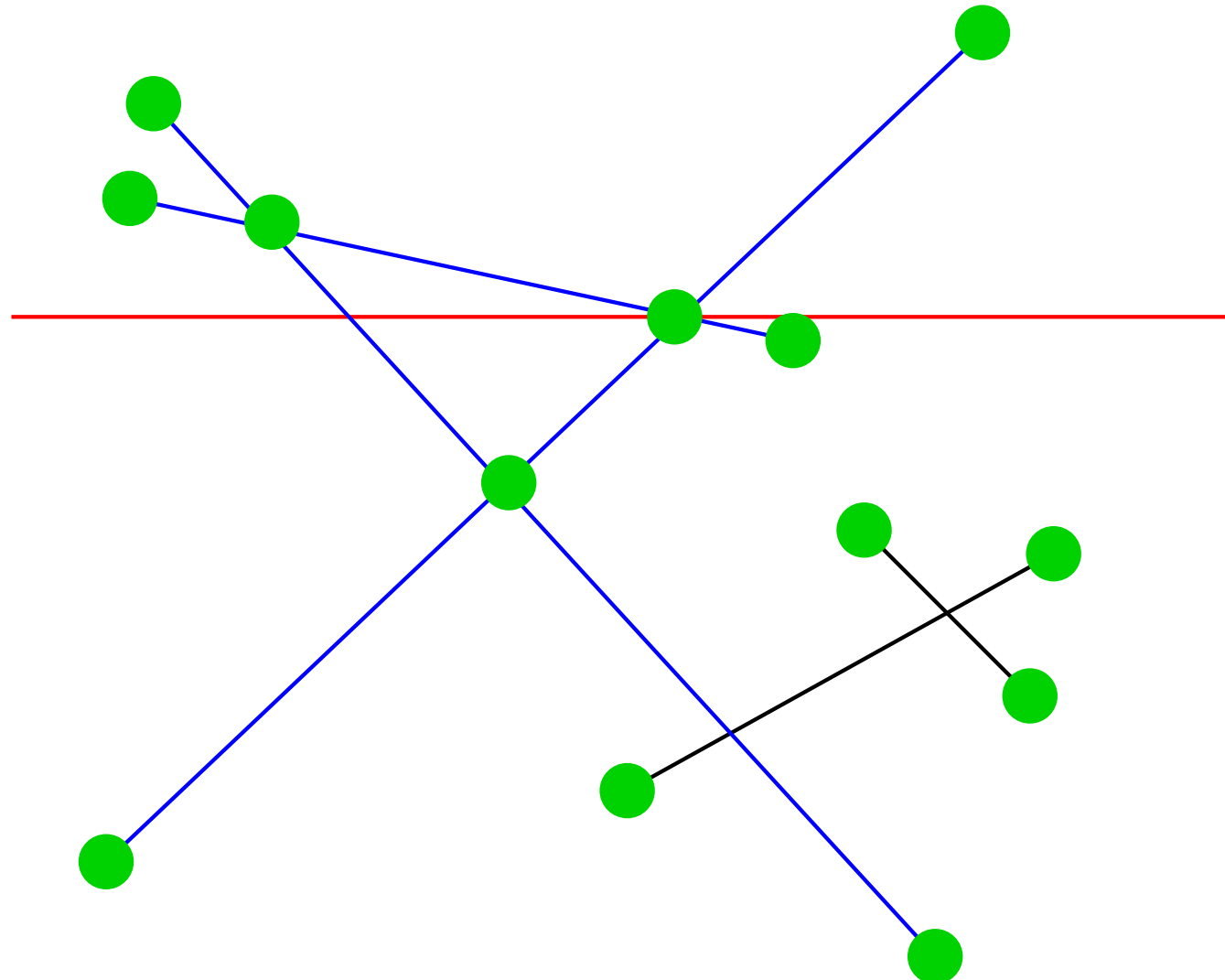
## Verallgemeinerung – Beispiel



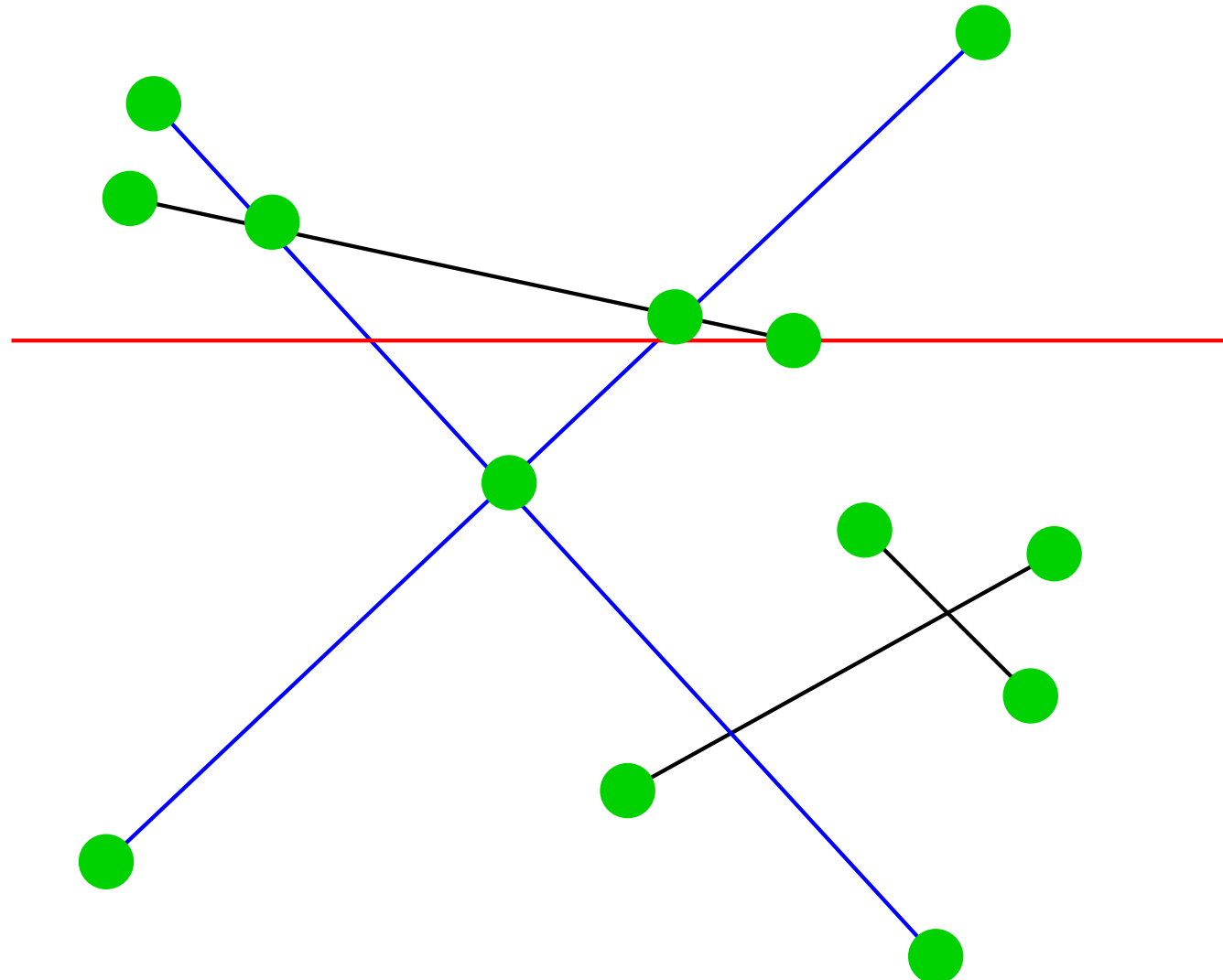
# Verallgemeinerung – Beispiel



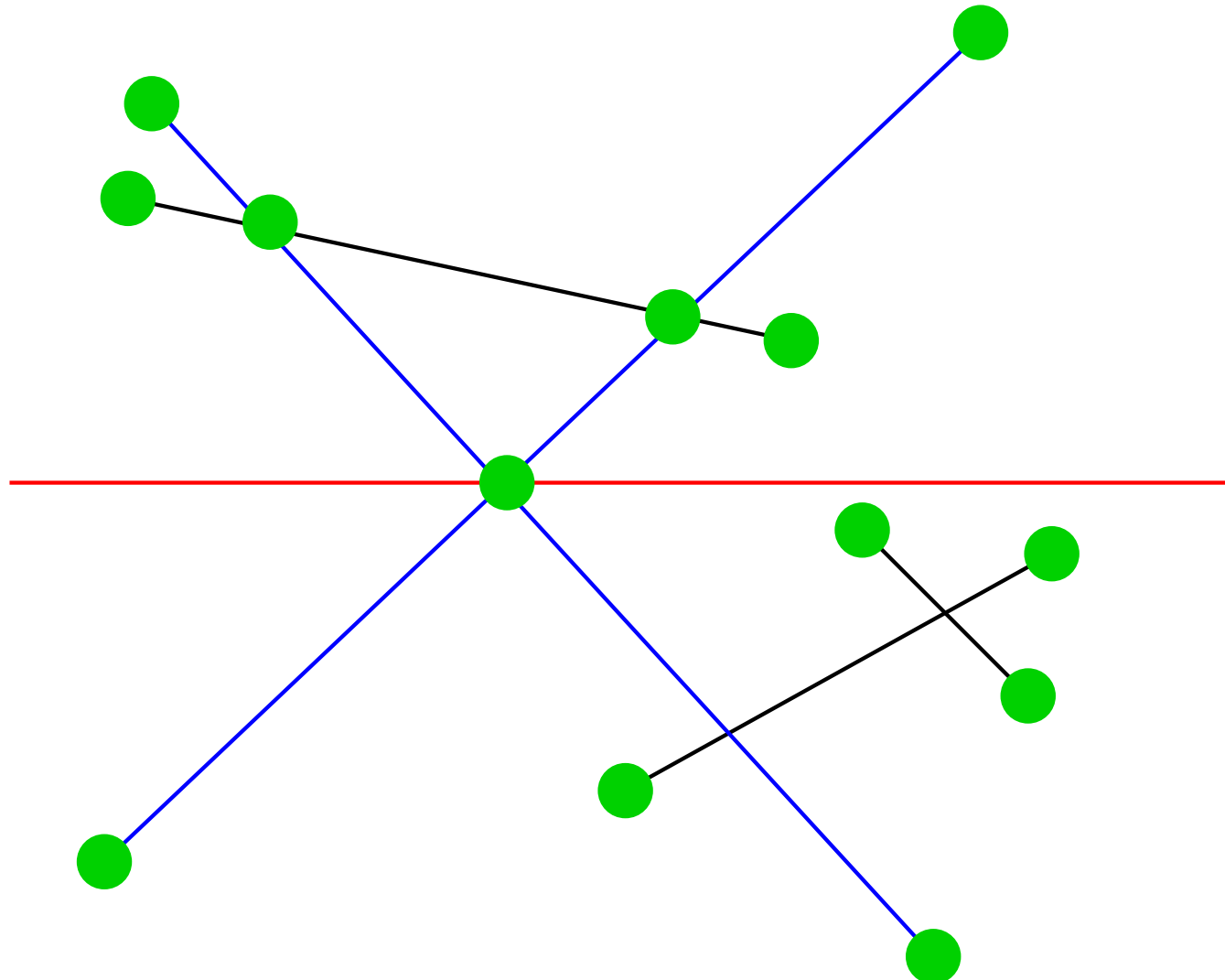
## Verallgemeinerung – Beispiel



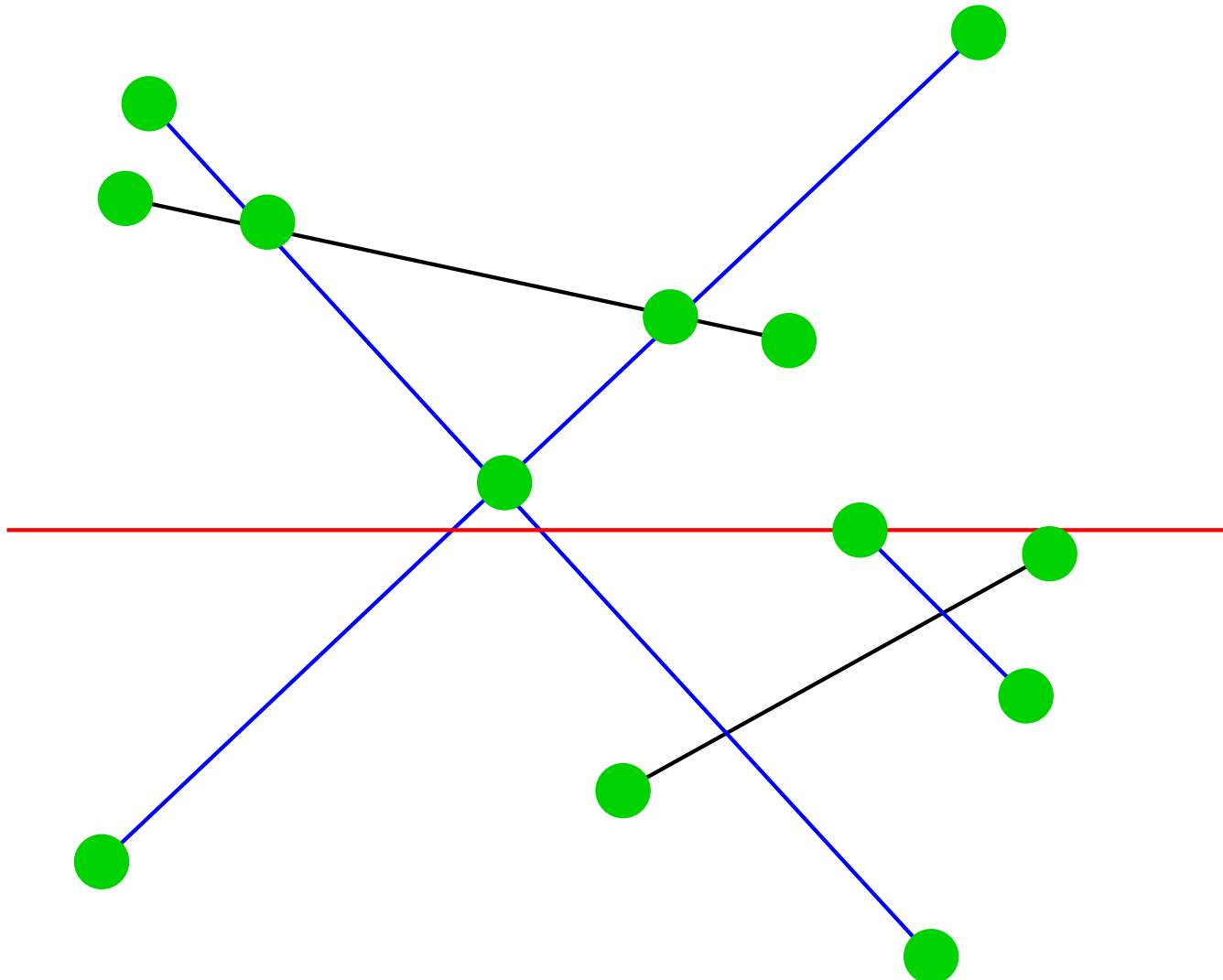
## Verallgemeinerung – Beispiel



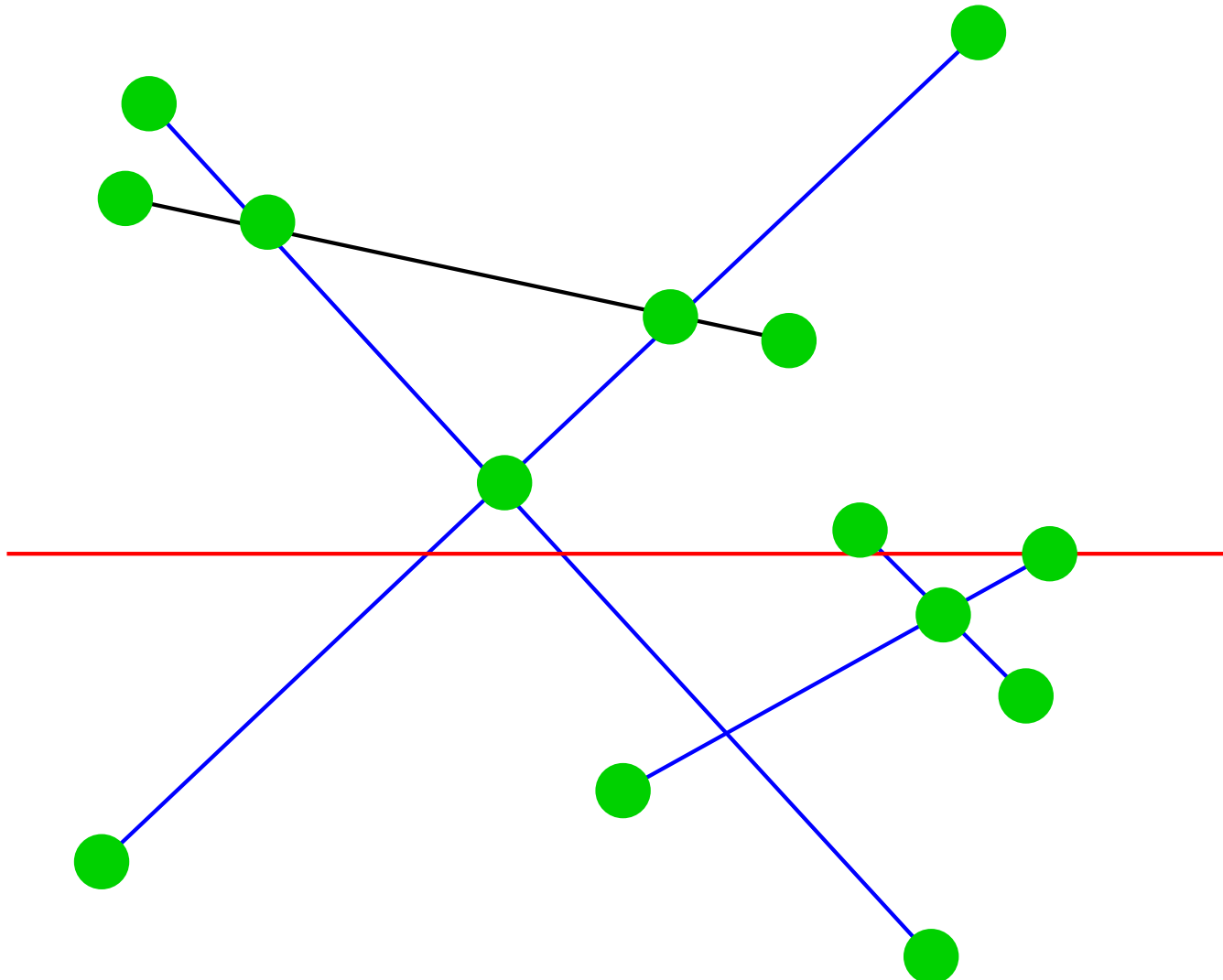
## Verallgemeinerung – Beispiel



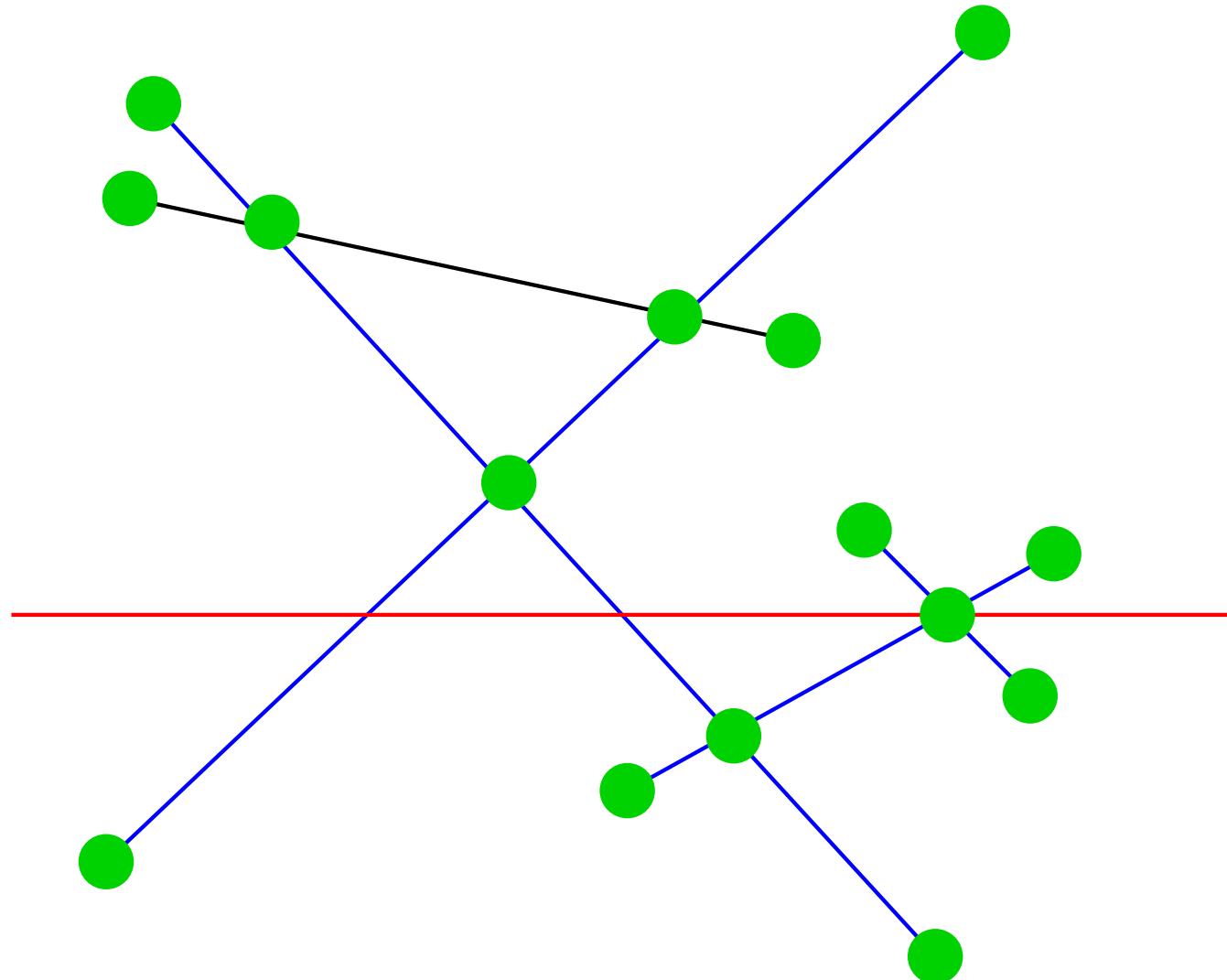
## Verallgemeinerung – Beispiel



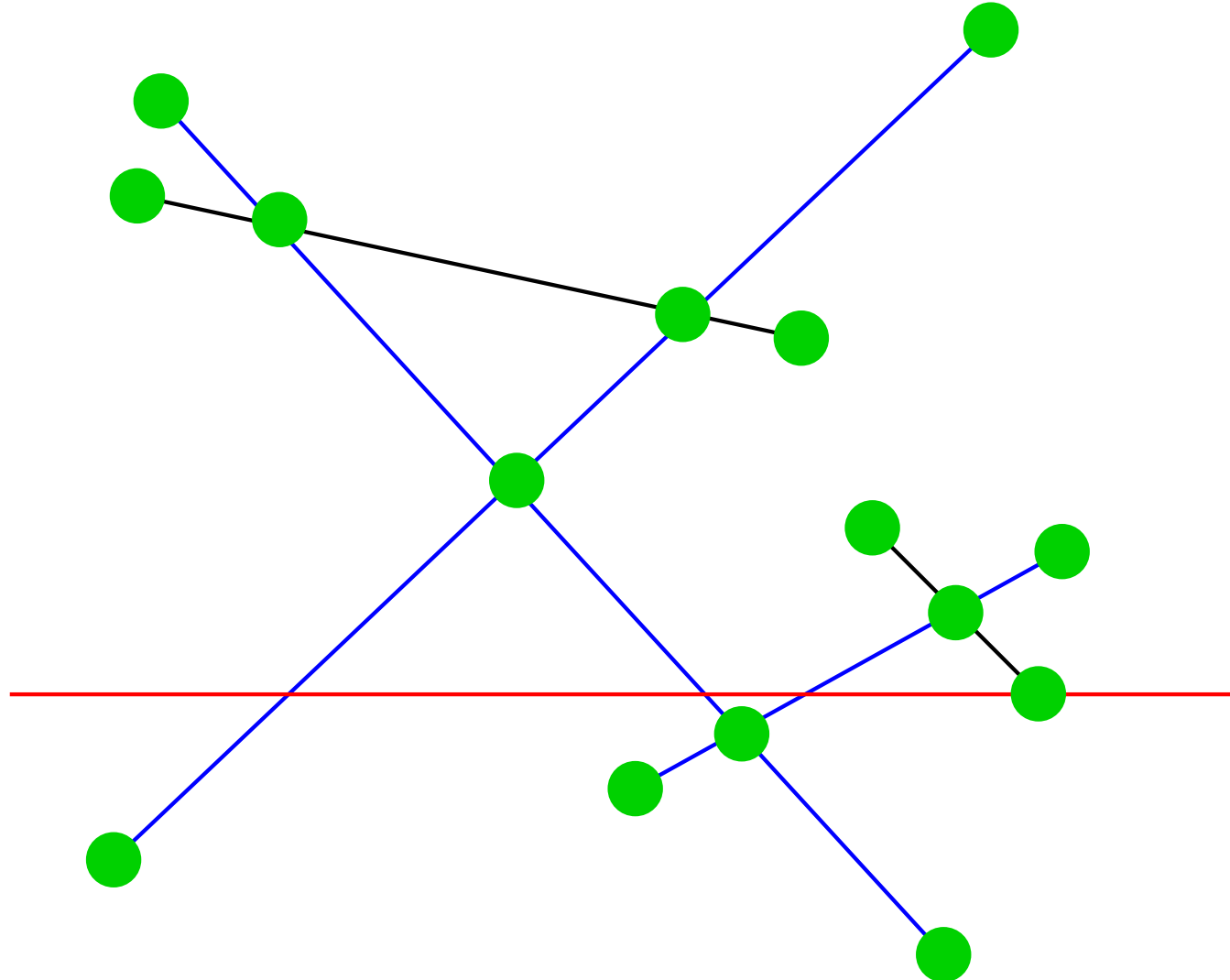
# Verallgemeinerung – Beispiel



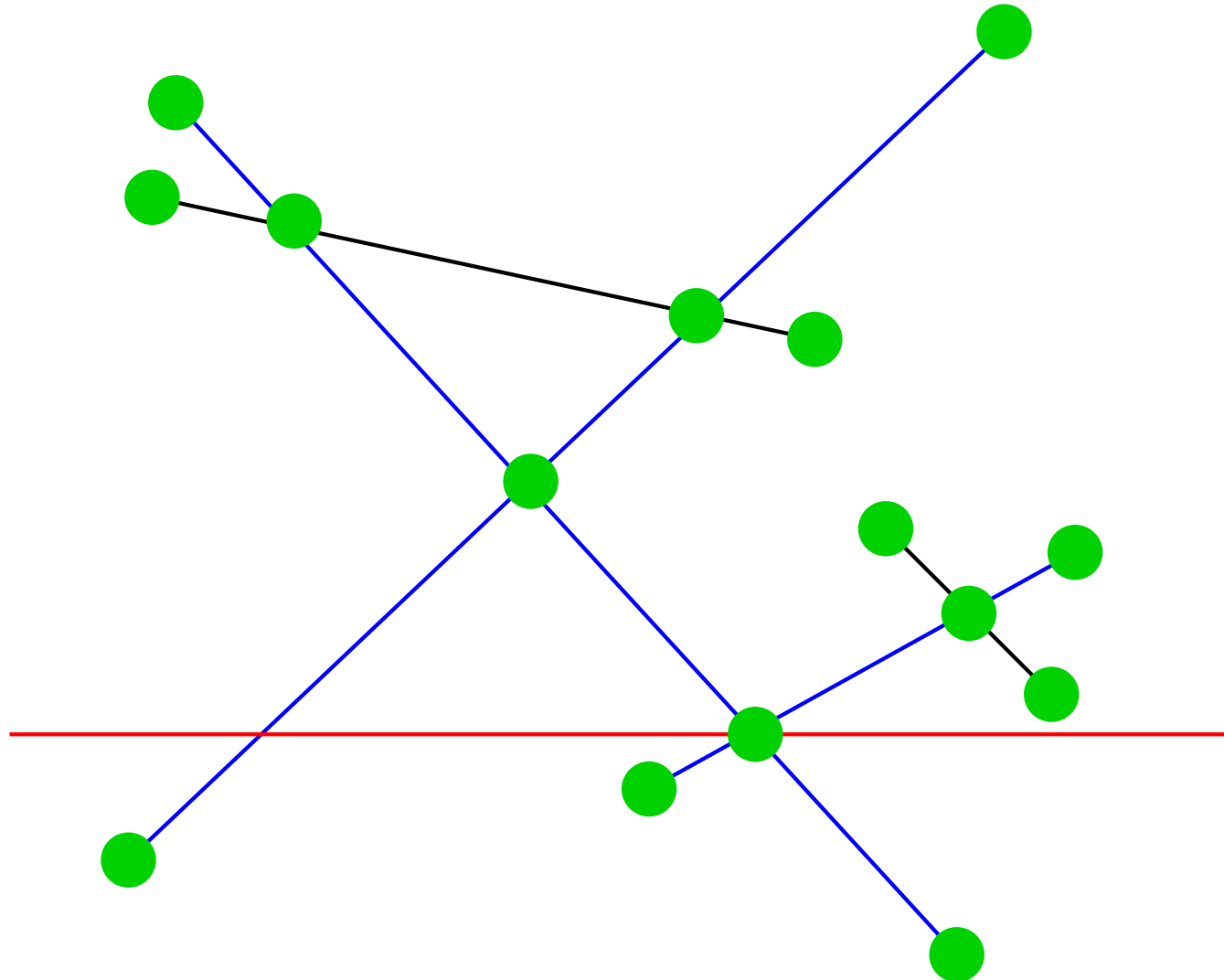
# Verallgemeinerung – Beispiel



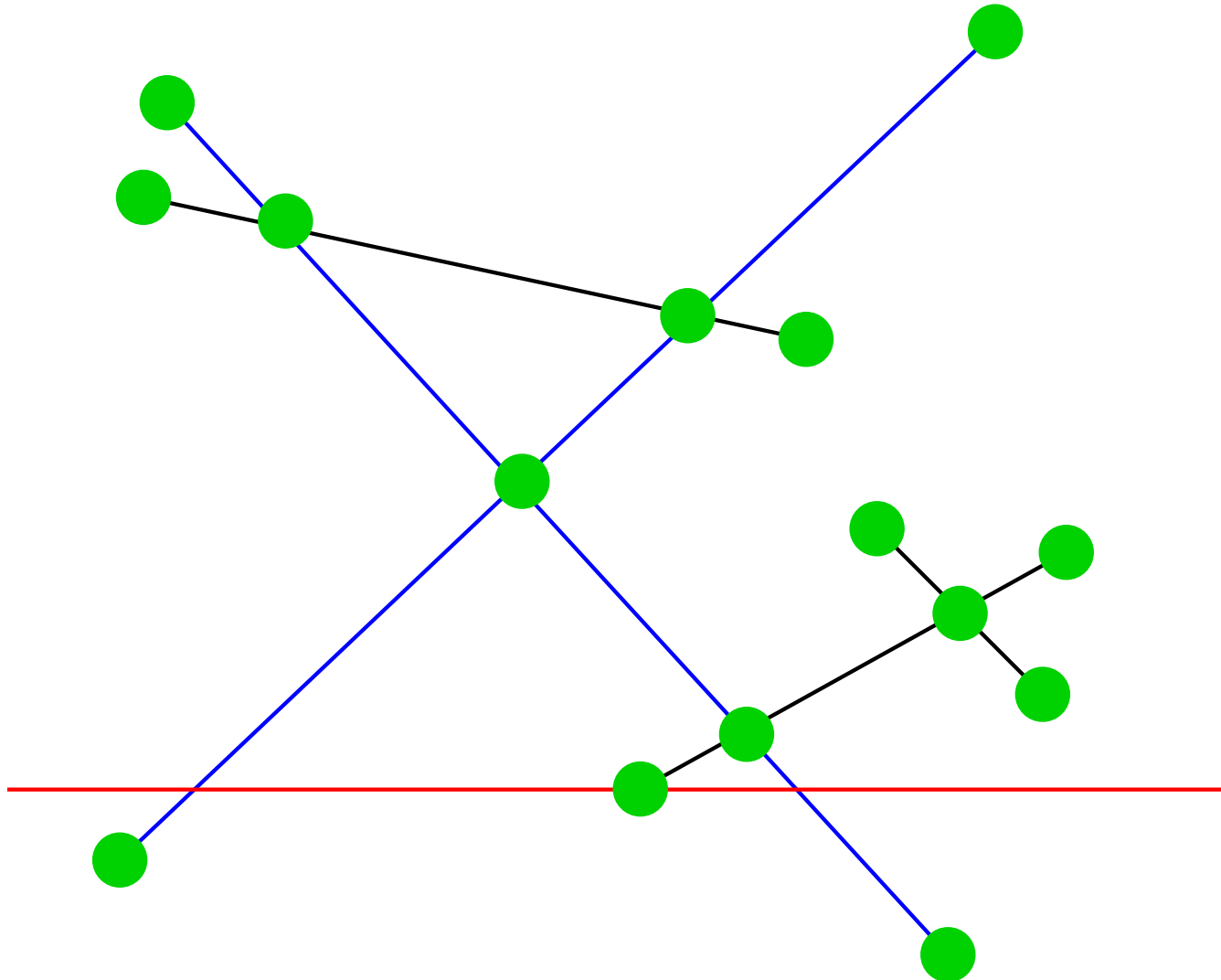
## Verallgemeinerung – Beispiel



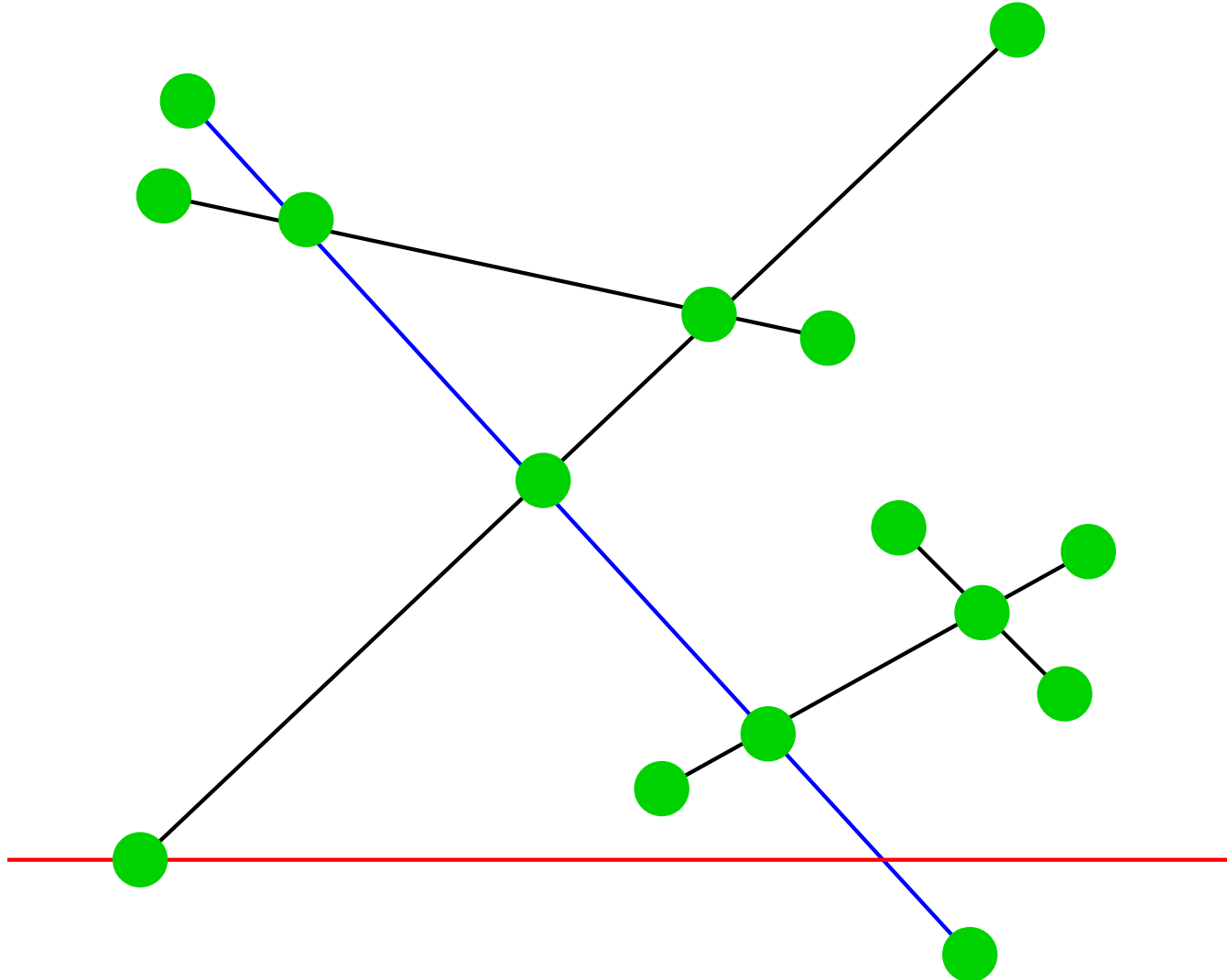
# Verallgemeinerung – Beispiel



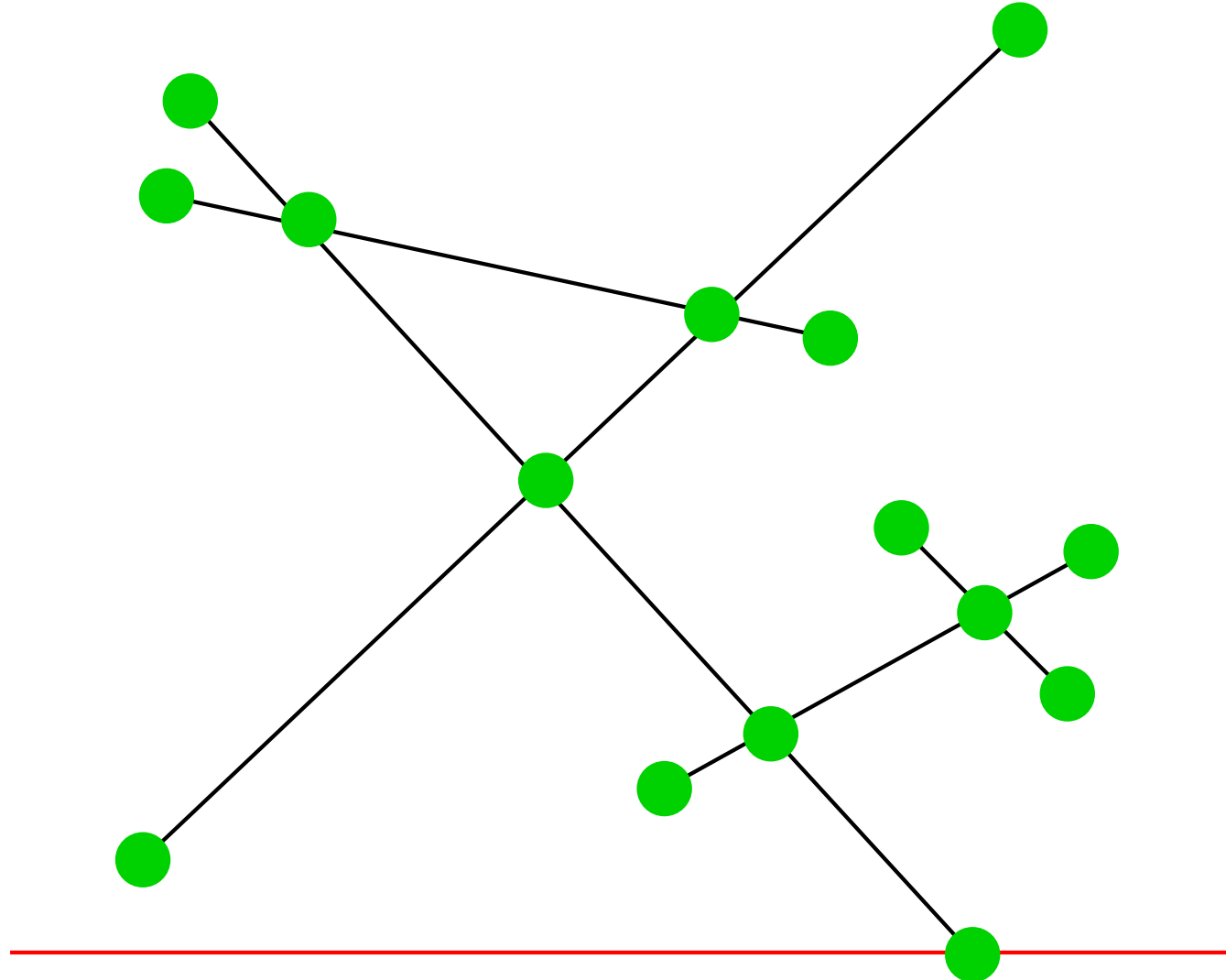
## Verallgemeinerung – Beispiel



# Verallgemeinerung – Beispiel



## Verallgemeinerung – Beispiel



# Verallgemeinerung – Analyse

Insgesamt:  $O((n + k) \log n)$

# Verallgemeinerung – jetzt (fast) wirklich

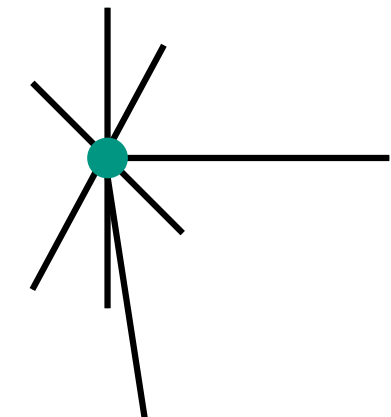
Verbleibende Annahme: Keine Überlappungen

Ordnung für  $Q$ :  $(x, y) \prec (x', y') \Leftrightarrow y > y' \vee y = y' \wedge x < x'$   
(verquere lexikographische Ordnung)

Interpretation: infinitesimal ansteigende Sweep-Line



$Q$  speichert Mengen von Ereignissen mit gleichem  $(x, y)$



**handleEvent**( $p = (x, y)$ )

$U :=$  segments starting at  $p$  // from  $Q$

$C :=$  segments with  $p$  in their interior // from  $T$

$L :=$  segments finishing at  $p$  // from  $Q$

**if**  $|U| + |C| + |L| \geq 2$  **then** report intersection @  $p$

$T.\text{remove}(L \cup C)$

$T.\text{insert}(C \cup U)$  such that order just below  $p$  is correct

**if**  $U \cup C = \emptyset$  **then**

**findNewEvent**( $T.\text{findPred}(p), T.\text{findSucc}(p), p$ )

**else**

**findNewEvent**( $T.\text{findPred}(p), T.\text{findLeftmost}(p), p$ )

**findNewEvent**( $T.\text{findRightmost}(p), T.\text{findSucc}(p), p$ )

**findNewEvent**( $s, t, p$ )

**if**  $s$  and  $t$  intersect at a point  $p' \succ p$  **then**

**if**  $p' \notin Q$  **then**  $Q.\text{insert}(p')$

# Überlappungen finden

Für jede Strecke  $s$  berechne die Gerade  $g(s)$ , auf der  $s$  liegt

Sortiere  $S$  nach  $g(s)$

1D Überlappungsproblem für jede auftretende Gerade.

## Platzverbrauch

Im Moment:  $\Theta(n + k)$

Reduktion auf  $O(n)$ :

lösche Schnittpunkte zwischen nicht benachbarten Strecken aus  $T$ .

Die werden ohnehin wieder eingefügt wenn sie wieder benachbart werden.

## Mehr Linienschnitt

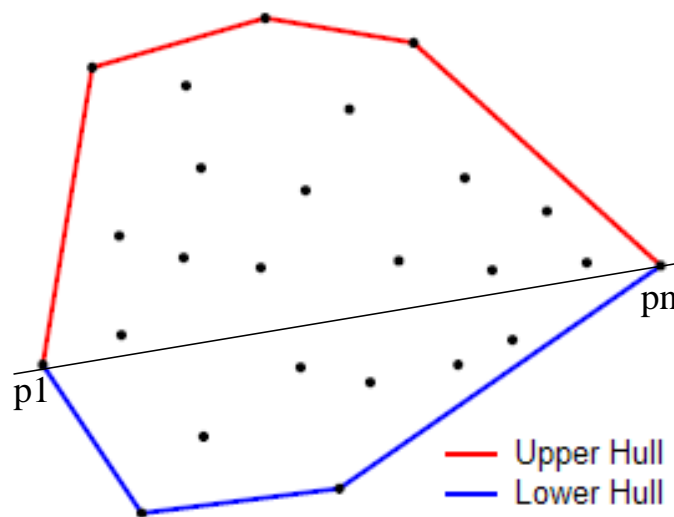
- [Bentley Ottmann 1979] Zeit  $O((n+k)\log n)$
- [Chazelle Edelsbrunner 1988] Zeit  $O(n \log n + k)$
- [Pach Sharir 1991] Zeit  $O((n+k)\log n)$ , Platz  $O(n)$
- [Mulmuley 1988] erwartete Zeit  $O(n \log n + k)$ , Platz  $O(n)$
- [Balaban 1995] Zeit  $O(n \log n + k)$ , Platz  $O(n)$

## 10.2 2D Konvexe Hülle

**Gegeben:** Menge  $P = \{p_1, \dots, p_n\}$  von Punkten in  $\mathbb{R}^2$

**Gesucht:** Konvexes Polygon  $K$  mit Eckpunkten aus  $P$  und  $P \subseteq K$ .

Wir geben einen einfachen Algorithmus, der in Zeit  $O(\text{sort}(n))$  läuft.



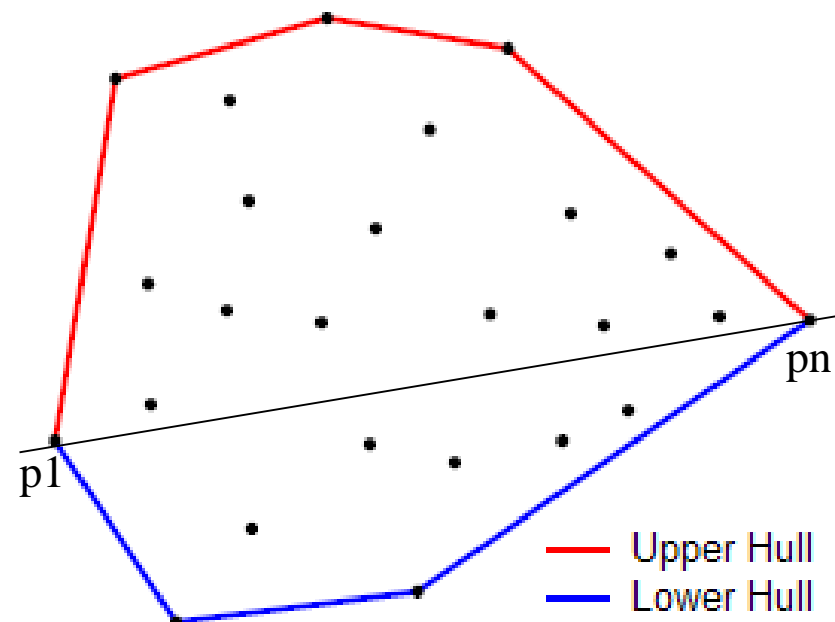
# Konvexe Hülle

sortiere  $P$  lexikographisch, d.h., ab jetzt

$$p_1 < p_2 < \dots < p_n$$

OBdA:

Wir berechnen nur die obere Hülle von Punkten oberhalb von  $\overline{p_1 p_n}$



# Graham's Scan [Graham 1972, Andrew 1979]

**Function**  $\text{upperHull}(p_1, \dots, p_n)$

$L = \langle p_n, p_1, p_2 \rangle$  : Stack of Point

**invariant**  $L$  is the upper hull of  $\langle p_n, p_1, \dots, p_i \rangle$

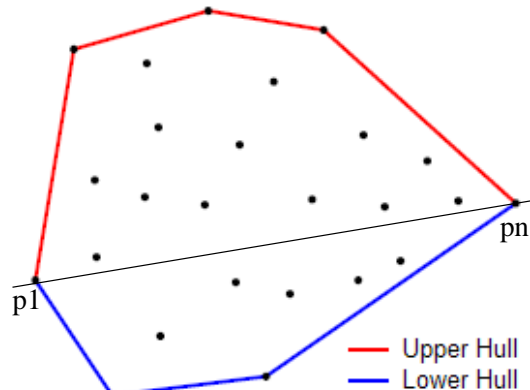
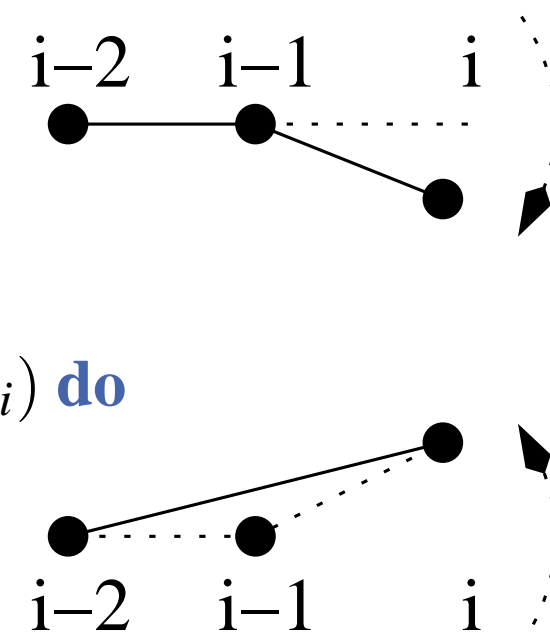
**for**  $i := 3$  **to**  $n$  **do**

**while**  $\neg \text{rightTurn}(L.\text{secondButlast}, L.\text{last}, p_i)$  **do**

$L.\text{pop}$

$L := L \circ \langle p_i \rangle$

**return**  $L$



# Graham's Scan – Beispiel

**Function**  $\text{upperHull}(p_1, \dots, p_n)$

$L = \langle p_n, p_1, p_2 \rangle$  : Stack of Point

**invariant**  $L$  is the upper hull of  $\langle p_n, p_1, \dots, p_i \rangle$

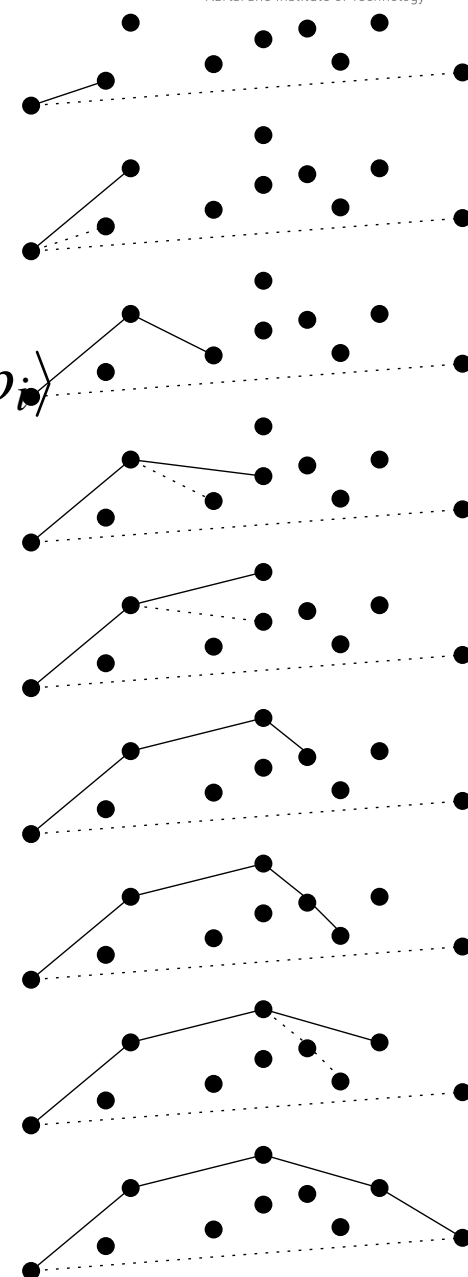
**for**  $i := 3$  **to**  $n$  **do**

**while**  $\neg \text{rightTurn}(L.\text{secondButlast},$   
 $L.\text{last}, p_i)$  **do**

$L.\text{pop}$

$L := L \circ \langle p_i \rangle$

**return**  $L$



# Graham's Scan – Analyse

**Function** upperHull( $p_1, \dots, p_n$ )

$L = \langle p_n, p_1, p_2 \rangle$  : Stack **of** Point

**invariant**  $L$  is the upper hull of  $\langle p_n, p_1, \dots, p_i \rangle$

**for**  $i := 3$  **to**  $n$  **do**

**while**  $\neg \text{rightTurn}(L.\text{secondButlast}, L.\text{last}, p_i)$  **do**

$L.\text{pop}$

$L := L \circ \langle p_i \rangle$

**return**  $L$

Sortieren + $O(n)$

Wieviele Iterationen der While-Schleife insgesamt?

## 3D Konvexe Hülle

Geht in Zeit  $O(n \log n)$  [Preparata Hong 1977]

**Konvexe Hülle,  $d \geq 4$**

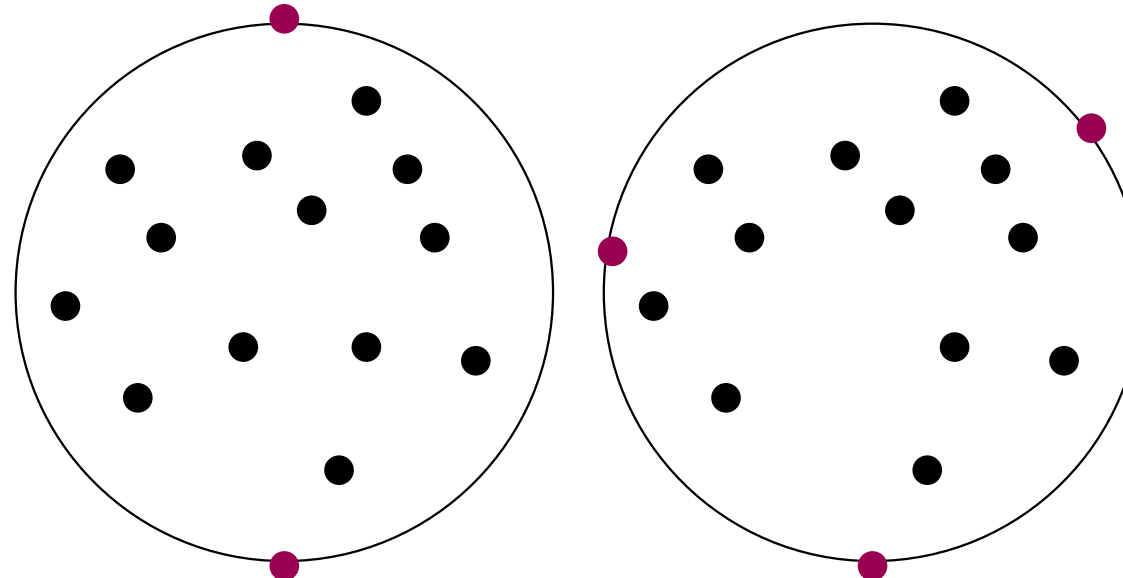
Ausgabekomplexität  $O\left(n^{\lfloor d/2 \rfloor}\right)$

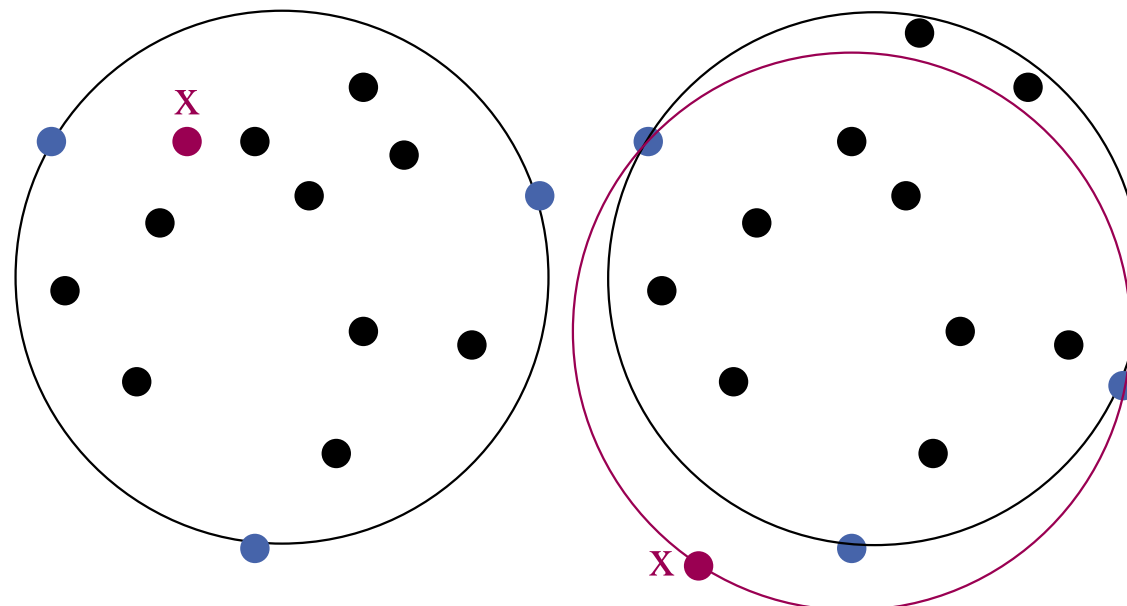
## 10.3 Kleinste einschließende Kugel

**Gegeben:** Menge  $P = \{p_1, \dots, p_n\}$  von Punkten in  $\mathbb{R}^d$

**Gesucht:** Kugel  $K$  mit minimalem Radius, so dass  $P \subseteq K$ .

Wir geben einen einfachen Algorithmus, der in erwarteter Zeit  $O(n)$  läuft. [Welzl 1991].



**Function**  $\text{smallestEnclosingBallWithPoints}(P, Q)$ **if**  $|P| = 1 \vee |Q| = d + 1$  **then return**  $\text{ball}(Q)$ pick random  $x \in P$  $B := \text{smallestEnclosingBallWithPoints}(P \setminus \{x\}, Q)$ **if**  $x \in B$  **then return**  $B$ **return**  $\text{smallestEnclosingBallWithPoints}(P \setminus \{x\}, Q \cup \{x\})$ 

# Kleinste einschließende Kugel – Korrektheit

**Function**  $\text{smallestEnclosingBallWithPoints}(P, Q)$

**if**  $|P| = 1 \vee |Q| = d + 1$  **then return**  $\text{ball}(Q)$

pick random  $x \in P$

$B := \text{smallestEnclosingBallWithPoints}(P \setminus \{x\}, Q)$

**if**  $x \in B$  **then return**  $B$

**return**  $\text{smallestEnclosingBallWithPoints}(P \setminus \{x\}, Q \cup \{x\})$

z.Z.:  $x \notin B \rightarrow x$  ist auf dem Rand von  $\text{sEB}(P)$

Wir zeigen Kontraposition:

$x$  nicht auf dem Rand von  $\text{sEB}(P)$

$\rightarrow \text{sEB}(P) = \text{sEB}(P \setminus \{x\}) = B$

z.Z.: sEBs sind eindeutig!

Also  $x \in B$

**Lemma:** sEB( $P$ ) ist eindeutig bestimmt.

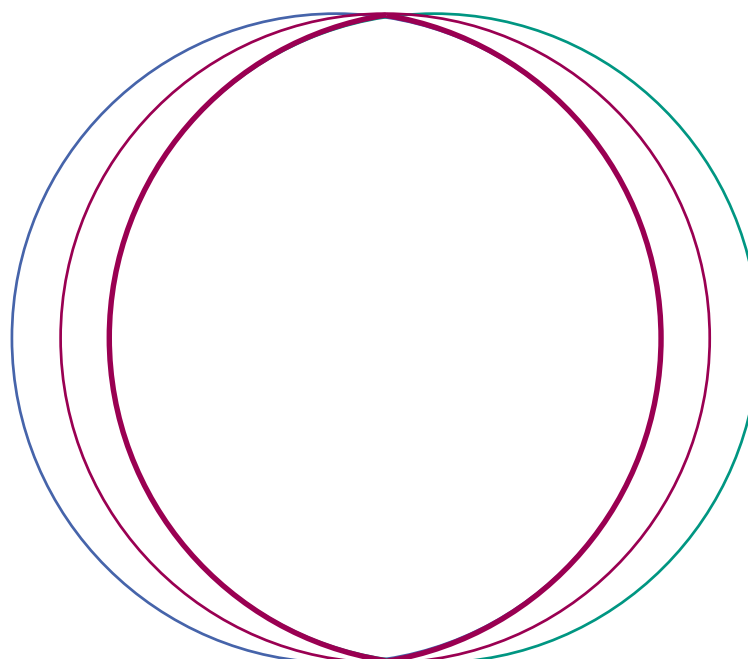
**Beweis:** Annahme,  $\exists$ sEBs  $B_1 \neq B_2$

$$\longrightarrow P \subseteq B_1 \wedge P \subseteq B_2$$

$$\longrightarrow P \subseteq B_1 \cap B_2 \subseteq \text{sEB}(B_1 \cap B_2) =: B$$

Aber dann ist  $\text{radius}(B) < \text{radius}(B_1)$

Widerspruch zur Annahme, dass  $B_1$  eine sEB ist. □



# Kleinste einschließende Kugel – Analyse

Wir zählen die erwartete Anzahl der Tests  $x \in B, T(p, q)$ .

$$T(p, d+1) = T(1, p) = 0 \quad \text{Basis der Rekurrenz}$$

$$T(p, q) \leq 1 + T(p-1, q) + \mathbb{P}[x \notin B] T(p, q+1)$$

$$\leq 1 + T(p-1, q) + \frac{d+1-q}{p} T(p, q+1)$$

# Kleinste einschließende Kugel – Analyse, $d = 2$

$$T(p, d+1) = T(1, p) = 0$$

$$T(p, q) \leq 1 + T(p-1, q) + \frac{d+1-q}{p} T(p, q+1)$$

$$T(p, 2) \leq 1 + T(p-1, 2) + \frac{1}{p} T(p, 3) \leq 1 + T(p-1, 2) \leq p$$

$$\begin{aligned} T(p, 1) &\leq 1 + T(p-1, 1) + \frac{2}{p} T(p, 2) \\ &\leq 1 + T(p-1, 1) + \frac{2}{p} p = 3 + T(p-1, 1) \leq 3p \end{aligned}$$

$$\begin{aligned} T(p, 0) &\leq 1 + T(p-1, 0) + \frac{3}{p} T(p, 1) \\ &\leq 1 + T(p-1, 0) + \frac{3}{p} 3p = 10 + T(p-1, 0) \leq 10p \end{aligned}$$

# Kleinste einschließende Kugel – Analyse

| $d$ | $T(p, 0)$ |
|-----|-----------|
| 1   | $3n$      |
| 2   | $10n$     |
| 3   | $41n$     |
| 4   | $206n$    |

Allgemein  $T(p, 0) \geq d!n$

# Ähnliche Randomisierte Linearzeitalgorithmen

- Lineare Programmierung mit konstantem  $d$  [Seidel 1991]
- Kleinster einschließender Ellipsoid, Kreisring,...
- Support-Vector-Machines (maschinelles Lernen)
- Alles wo (LP-type problem [Sharir Welzl 1992])
  - $O(1)$  Objekte das Optimum festlegen
  - Objekt  $x$  hinzufügen
    - Lösung bleibt gleich oder ist an Lösungsdef. beteiligt

## 10.4 2D Bereichssuche (range search)

**Daten:**  $P = \{p_1, \dots, p_n\} \subseteq \mathbb{R}^2$

**Anfragen:** achsenparallele Rechtecke  $Q = [x, x'] \times [y, y']$

finde  $P \cap Q$  (range reporting)

oder  $k = |P \cap Q|$  (range counting)

Vorverarbeitung erlaubt.

Vorverarbeitungszeit?  $O(n \log n)$

Platz?  $O(n)$  ?

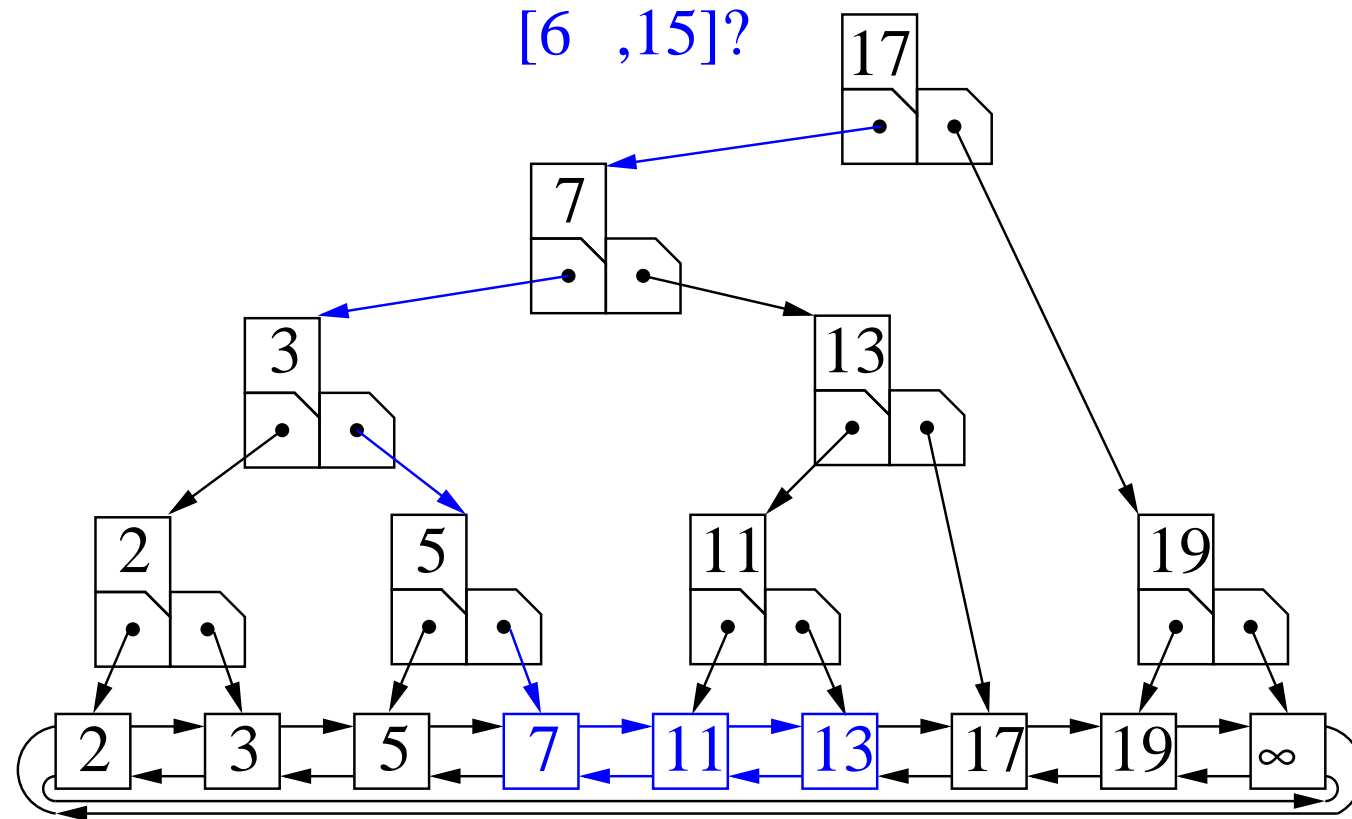
Anfragebearbeitung?

- Counting:  $O(\log n)$

- Reporting:  $O(k + \log n)$  oder wenigstens  $O(k \cdot \log n)$

# 1D Bereichssuche

Suchbaum



Zählanfragen: Teilbaumgrößen speichern

Sogar dynamisch !

# Reduktion auf $1..n \times 1..n$

vereinfachende Annahme: Koordinaten paarweise verschieden.

Ersetze Koordinaten  $P = \{(x_1, y_1), \dots, (x_n, y_n)\}$  durch ihren Rang:

$x_i \rightarrow$  Rang von  $x_i$  in  $\{x_1, \dots, x_n\}$

$y_i \rightarrow$  Rang von  $y_i$  in  $\{y_1, \dots, y_n\}$

# Reduktion auf $1..n \times 1..n$

Ersetze Koordinaten  $P = \{(x_1, y_1), \dots, (x_n, y_n)\}$  durch ihren Rang:

$P_x := \text{sort}(\langle x_1, \dots, x_n \rangle); \quad P_y := \text{sort}(\langle y_1, \dots, y_n \rangle)$

$P := \{( \text{binarySearch}(x, P_x), \text{binarySearch}(y, P_y) ) : (x, y) \in P\}$

**Function** rangeQuery( $[x, x'] \times [y, y']$ )

$x := \text{binarySearchSucc}(x, P_x); \quad x' := \text{binarySearchPred}(x', P_x)$

$y := \text{binarySearchSucc}(y, P_y); \quad y' := \text{binarySearchPred}(y', P_y)$

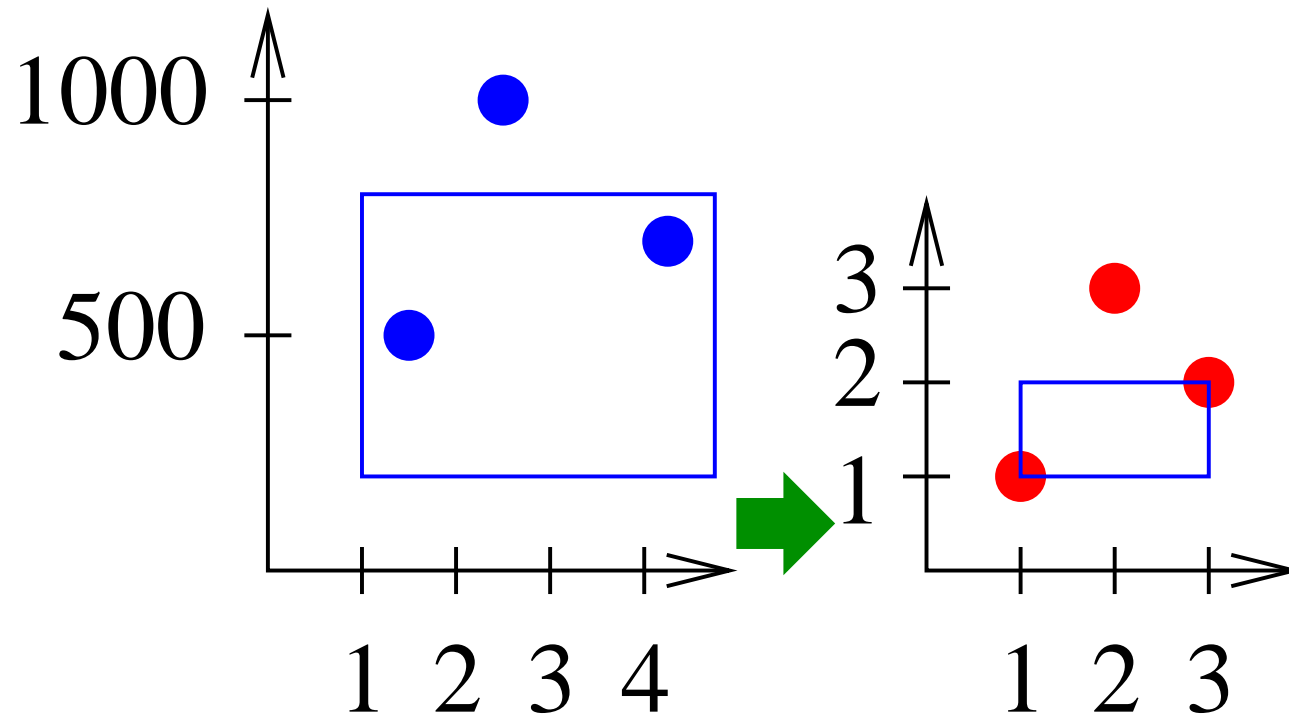
$R := \text{intRangeQuery}([x, x'] \times [y, y'])$

**return**  $\{(P_x[x], P_y[y]) : (x, y) \in R\}$

Zeit  $O(n \log n)$

# Beispiel

$$\{(2.5, 1000), (1.4, 500), (4.2, 700)\} \rightarrow \{(2, 3), (1, 1), (3, 2)\}$$



# Wavelet Tree

[Chazelle 1988, Grossi/Gupta/Vitter 2003, Mäkinen/Navarro 2007]

**Class** WaveletTree( $X = \langle x_1, \dots, x_n \rangle$ )// represents  $(x_1, 1), \dots, (x_n, n)$

//Constructor:

**if**  $n < n_0$  **then** store  $X$  directly

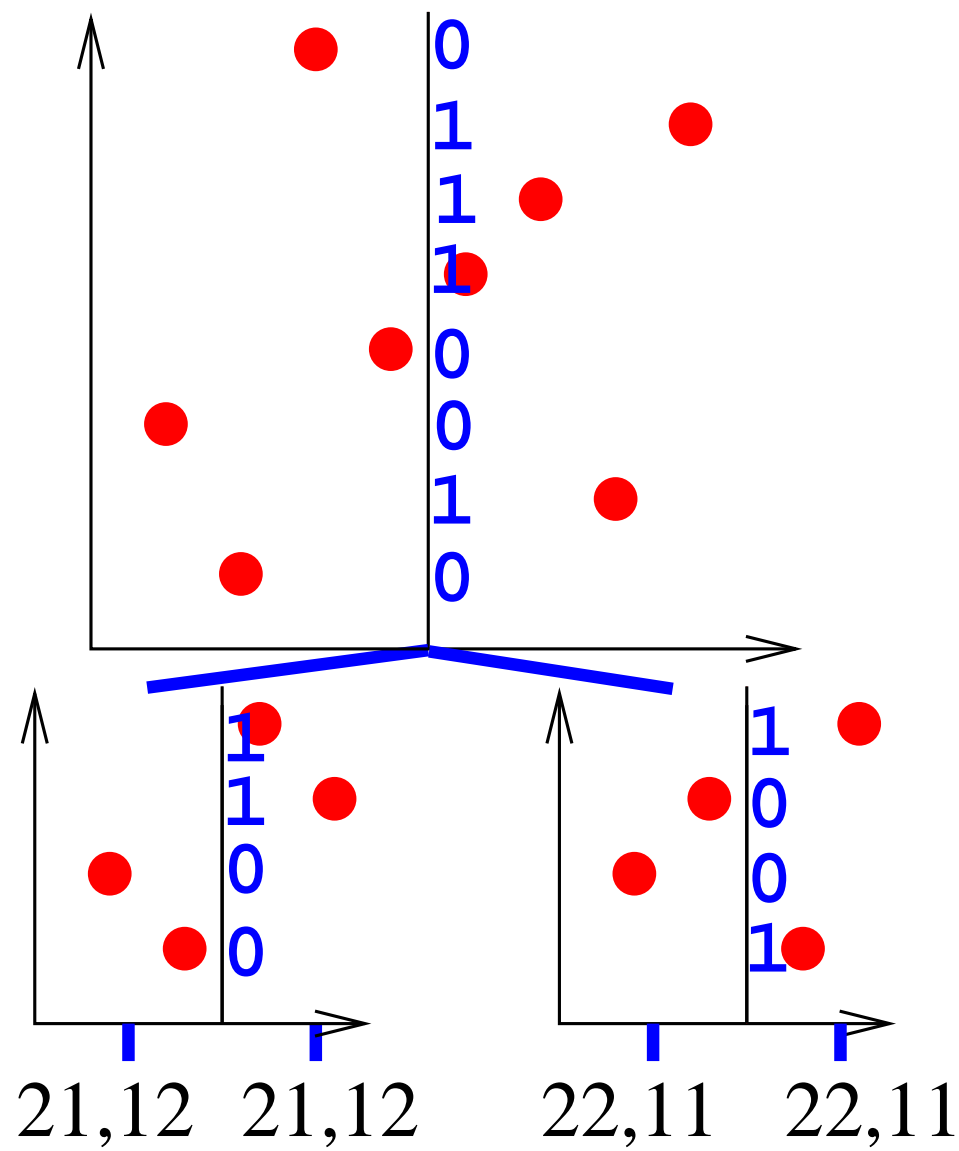
**else**

store bitvector  $b$  with  $b[i] = 1$  iff  $x_i > \lfloor n/2 \rfloor$

$\ell :=$  WaveletTree( $\langle x_i : x_i \leq \lfloor n/2 \rfloor \rangle$ )

$r :=$  WaveletTree( $\langle x_i - \lfloor n/2 \rfloor : x_i > \lfloor n/2 \rfloor \rangle$ )

# Beispiel

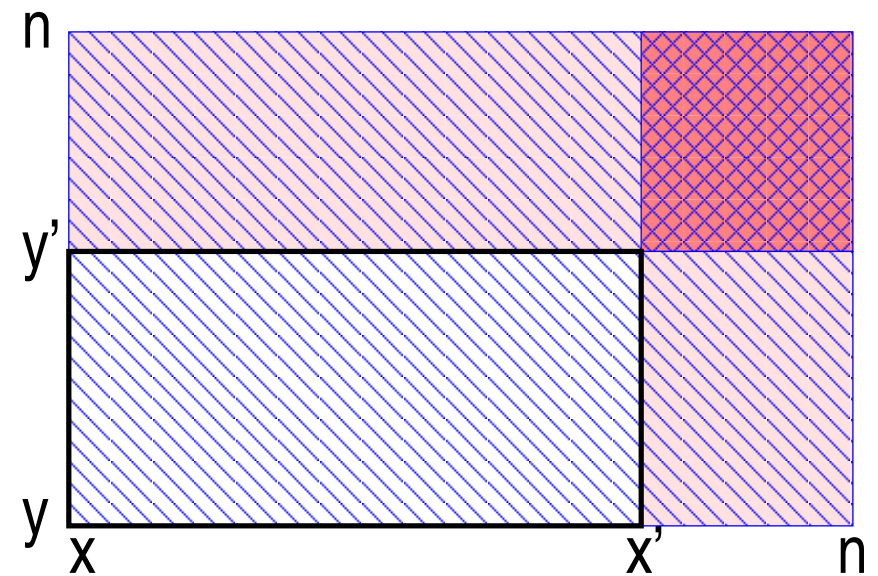


# Wavelet Tree Counting Query

**Function** intRangeCount( $[x, x'] \times [y, y']$ )

**return**

```
intDominanceCount( $x, y$ ) –  
intDominanceCount( $x', y$ ) –  
intDominanceCount( $x, y'$ ) +  
intDominanceCount( $x', y'$ )
```

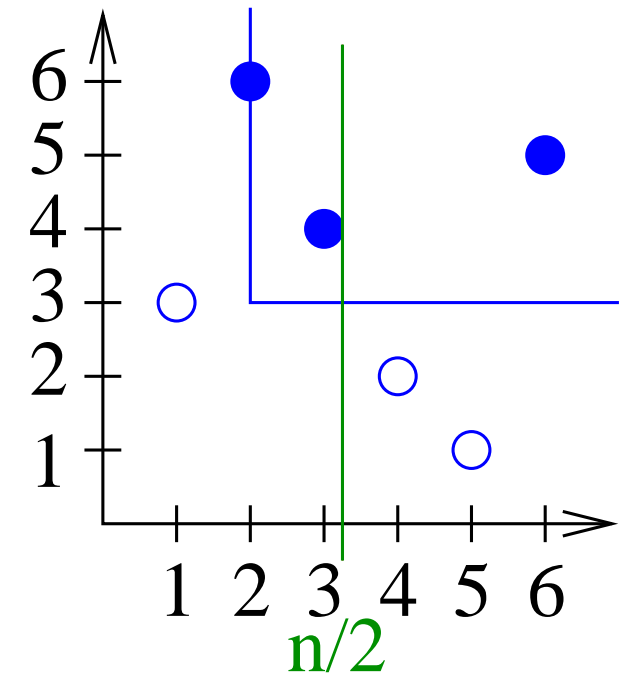


# Wavelet Tree Dominance Counting Query

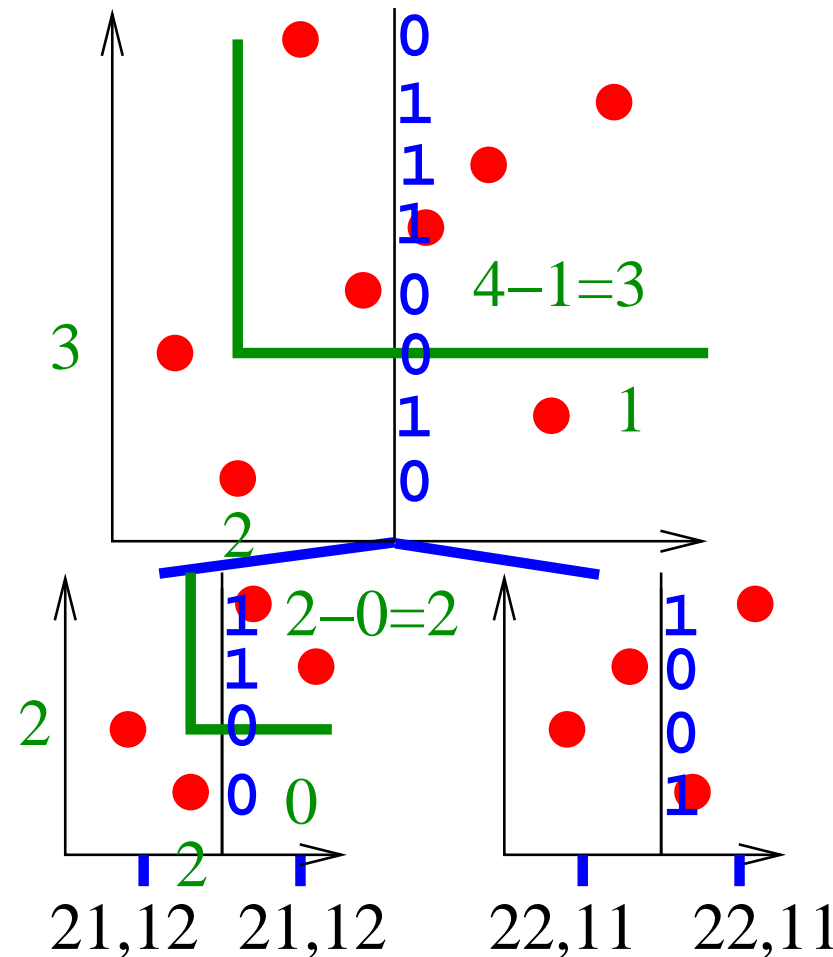
```

Function intDominanceCount( $x, y$ )           //  $|[x, n] \times [y, n] \cap P|$ 
  if  $n \leq n_0$  then return  $|[x, n] \times [y, n] \cap P|$       // brute force
   $y_r := b.rank(y)$           // Number of els  $\leq y$  in right half
  if  $x \leq \lfloor n/2 \rfloor$  then
    return  $\ell.intDominanceCount(x, y - y_r) + \lceil n/2 \rceil - y_r$ 
  else
    return  $r.intDominanceCount(x - \lfloor n/2 \rfloor, y_r)$ 

```



# Beispiel



# Analyse

Nur ein rekursiver Aufruf.

Rekursionstiefe  $O(\log n)$ .

rank in konstanter Zeit (s.u.)

Zeit  $O(\log n)$

# Wavelet Tree Dominance Reporting Query

```

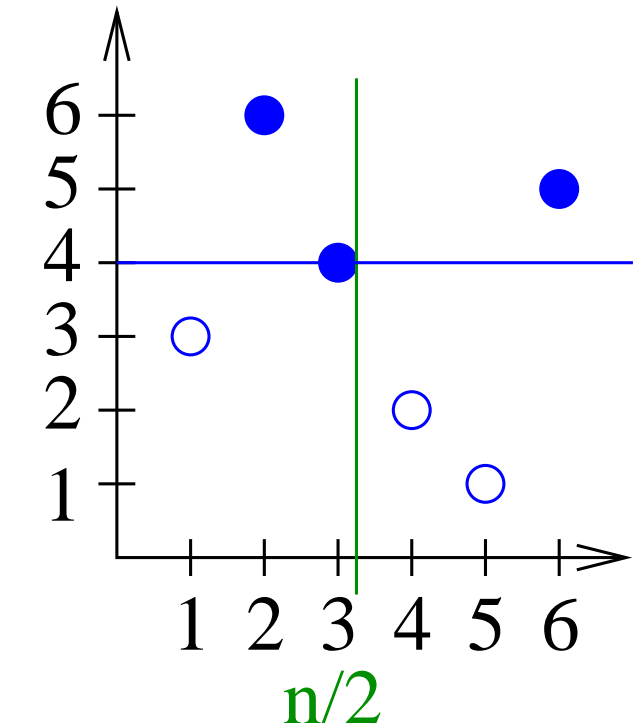
Function intDominanceReporting( $x, y$ )           //  $[x, n] \times [y, n] \cap P$ 
  if  $n \leq n_0$  then return  $[x, n] \times [y, n] \cap P$       // brute force
   $R := \emptyset$                                          // Result
   $y_r := b.rank(y)$                                      // Number of els  $\leq y$  in right half
  if  $x \leq \lfloor n/2 \rfloor$  then                         // Both halves interesting
    if  $y - y_r < \frac{n}{2}$  then  $R := R \cup \ell.intDominanceReporting(x, y - y_r)$ 
    if  $y_r < \frac{n}{2}$  then  $R := R \cup r.oneSidedReporting(y_r)$ 
  else if  $y_r < \frac{n}{2}$  then  $R := R \cup intDominanceReporting(x - \lfloor n/2 \rfloor, y_r)$ 
  return  $R$ 

```

```

Function oneSidedReporting( $y$ ) //  $[1, n] \times [y, n] \cap P$ 
  if  $n \leq n_0$  then return  $[1, n] \times [y, n] \cap P$  // brute force
   $y_r := b.rank(y)$  // Number of els  $\leq y$  in right half
   $R := \emptyset$ 
  if  $y_r < \frac{n}{2}$  then  $R := R \cup r.oneSidedReporting(y_r)$ 
  if  $y - y_r < \frac{n}{2}$  then  $R := R \cup \ell.oneSidedReporting(y - y_r)$ 
  return  $R$ 

```



# Analyse

Rekurrenz

$$T(n_0, 0) = O(1)$$

$$T(n, 0) = T(n/2, 0) + O(1) \implies T(n, 0) = O(\log n)$$

$$T(n, k) = T(n/2, k') + T(n/2, k - k') + O(1) \text{ also}$$

$$\begin{aligned} T(n, k) &\leq ck' \log n + c(k - k') \log n + c = c(1 + k \log n) = \\ &O(k \log n) \end{aligned}$$

Zeit  $O(k + \log n)$  brauch zusätzlichen Faktor  $\log n$  Platz.

Z.B. komplette Listen auf allen Ebenen speichern

Übungsaufgabe?

# Allgemeine Reporting Query

4-seitig

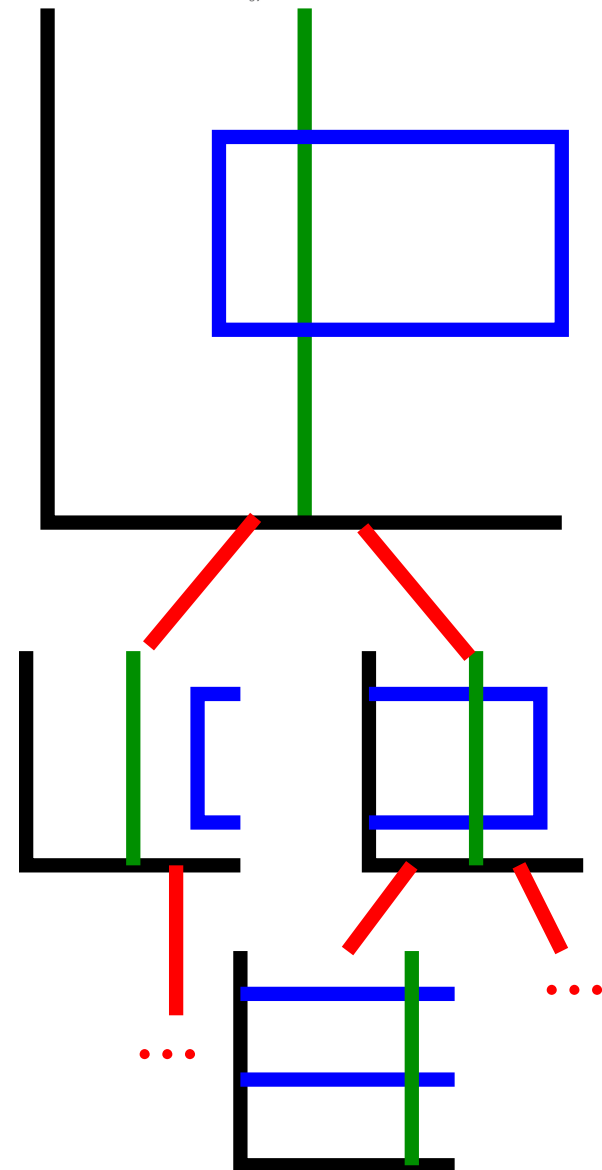
~~~

3-seitig (2 Varianten)

~~~

y-range

Analog oneSidedReporting (zwei Ranks statt einem)



# Bitvektoren $v$ mit rank in $O(1)$

Wähle  $B = \Theta(\log n)$ .

Vorberechnung  $\text{bRank}[i] := v.\text{rank}(iB)$

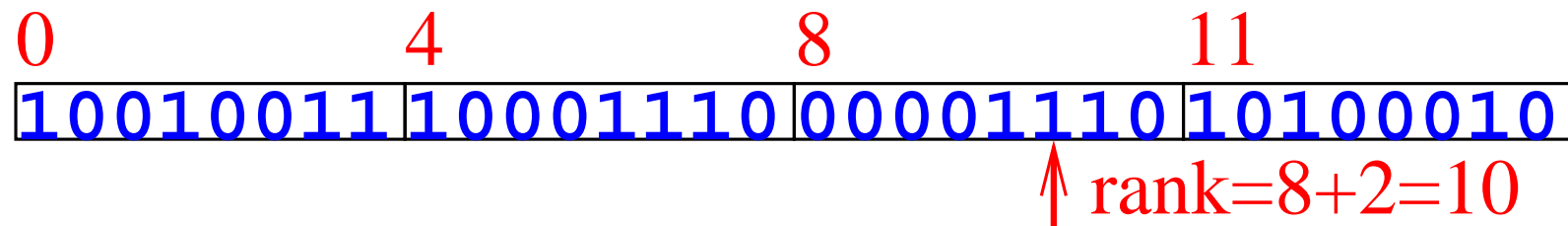
Zeit  $O(n)$ , Platz  $O(n)$  bits

Reduktion auf logarithmische Eingabegröße:

**Function**  $\text{rank}(j)$    **return**  $\text{bRank}[j \text{ div } B] + \text{rank}(v[B(j \text{ div } B)..j])$

Logarithmische Größe:

Maschinenbefehl (population count) oder Tabellenzugriff (z.B. Größe  $\sqrt{n}$  Zahlen)



# Mehr zu Bitvektoren

- weitere wichtige Operation  $b.\text{select}(i)$ := Position des  $i$ -ten 1-bits.  
Ebenfalls  $\mathbf{O}(1)$
- Informationstheoretisch asympt. optimaler Platz  $n + o(n)$  bits möglich.
- Grundlage für weitere succinct data structures
- Beispiel: Baum mit Platz  $2n + o(n)$  bits und Navigation in konstanter Zeit.

# 11 Approximationsalgorithmen

Eine Möglichkeit zum Umgang mit NP-harten Problemen

Beobachtung:

Fast alle interessanten Optimierungsprobleme sind NP-hart

Auswege:

- Trotzdem optimale Lösungen suchen und riskieren, dass der Algorithmus nicht fertig wird
- Ad-hoc Heuristiken. Man kriegt eine Lösung aber wie gut ist die?
- Approximationsalgorithmen:**
  - Polynomielle Ausführungszeit.
  - Lösungen **garantiert „nah“ am Optimum.**
- Problem so umdefinieren, dass es polynomial lösbar wird.

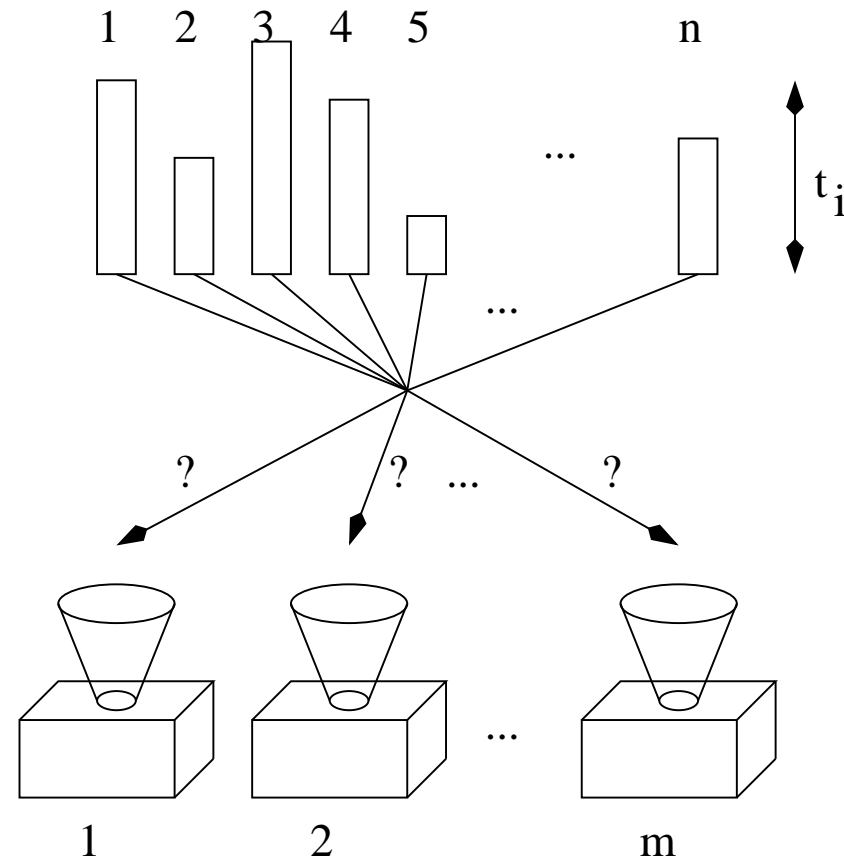
# Scheduling unabhängiger gewichteter Jobs auf parallelen Maschinen

$x(j)$ : Maschine auf der Job  $j$  ausgeführt wird

$L_i$ :  $\sum_{x(j)=i} t_j$ , Last von Maschine  $i$

Zielfunktion: Minimiere Makespan

$$L_{\max} = \max_i L_i$$



Details: Identische Maschinen, unabhängige Jobs, bekannte Ausführungszeiten, offline

# List Scheduling

ListScheduling( $n, m, \mathbf{t}$ )

$J := \{1, \dots, n\}$

array  $L[1..m] = [0, \dots, 0]$

**while**  $J \neq \emptyset$  **do**

    pick **any**  $j \in J$

$J := J \setminus \{j\}$

**//Shortest Queue:**

        pick  $i$  such that  $L[i]$  is minimized

$\mathbf{x}(j) := i$

$L[i] := L[i] + t_j$

**return**  $\mathbf{x}$

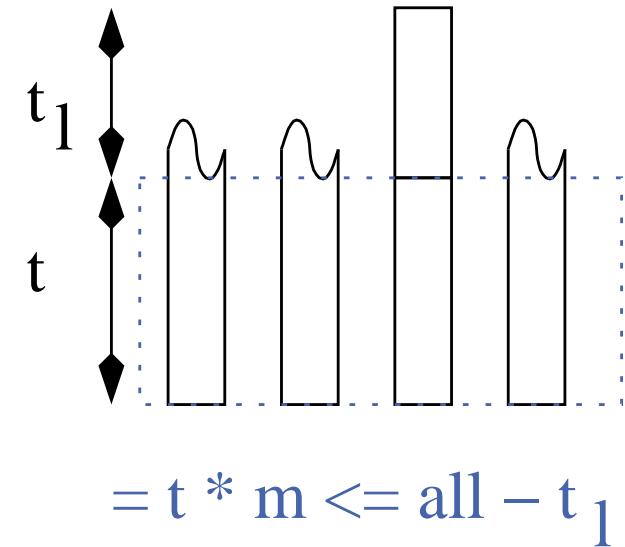
## Viele Kleine Jobs

**Lemma 21.** Falls  $\ell$  der zuletzt beendete Job ist, dann

$$L_{\max} \leq \sum_j \frac{t_j}{m} + \frac{m-1}{m} t_\ell$$

### Beweis

$$L_{\max} = t + t_\ell \leq \sum_{j \neq \ell} \frac{t_j}{m} + t_\ell = \sum_j \frac{t_j}{m} + \frac{m-1}{m} t_\ell$$



## Untere Schranken

**Lemma 22.**  $L_{\max} \geq \sum_j \frac{t_j}{m}$

**Lemma 23.**  $L_{\max} \geq \max_j t_j$

## Der Approximationsfaktor

Definition:

Ein Minimierungsalgorithmus erzielt **Approximationsfaktor  $\rho$**  bezüglich Zielfunktion  $f$  falls er für **alle** Eingaben  $I$ , eine Lösung  $\mathbf{x}(I)$  findet, so dass

$$\frac{f(\mathbf{x}(I))}{f(\mathbf{x}^*(I))} \leq \rho$$

wobei  $\mathbf{x}^*(I)$  die optimale Lösung für Eingabe  $I$  bezeichnet.

**Satz:** ListScheduling erzielt Approximationsfaktor  $2 - \frac{1}{m}$ .

**Beweis:**

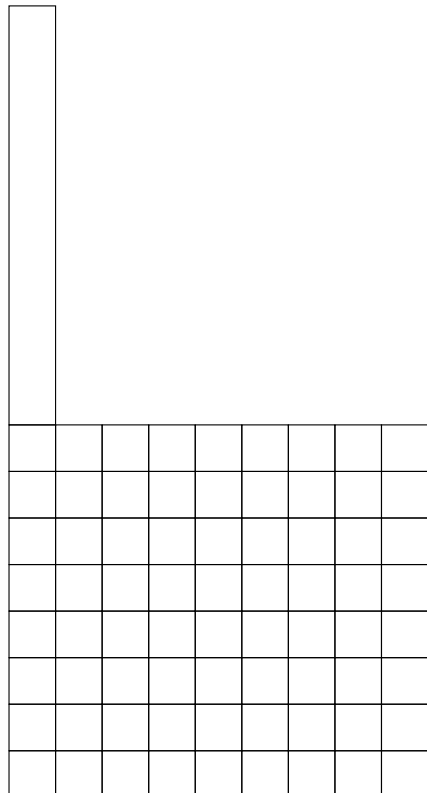
$$\frac{f(\mathbf{x})}{f(\mathbf{x}^*)} \leq \frac{\sum_j t_j / m}{f(\mathbf{x}^*)} + \frac{m-1}{m} \cdot \frac{t_\ell}{f(\mathbf{x}^*)} \quad (\text{obere Schranke Lemma 21})$$

$$\leq 1 + \frac{m-1}{m} \cdot \frac{t_\ell}{f(\mathbf{x}^*)} \quad (\text{untere Schranke Lemma 22})$$

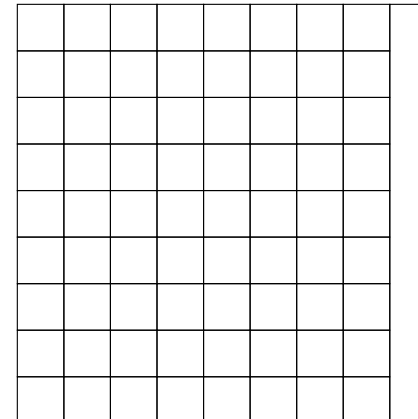
$$\leq 1 + \frac{m-1}{m} = 2 - \frac{1}{m} \quad (\text{unterre Schranke Lemma 23})$$

## Diese Schranke ist bestmöglich

Eingabe:  $m(m - 1)$  Jobs der Größe 1 und ein Job der Größe  $m$ .



List Scheduling:  $2m-1$



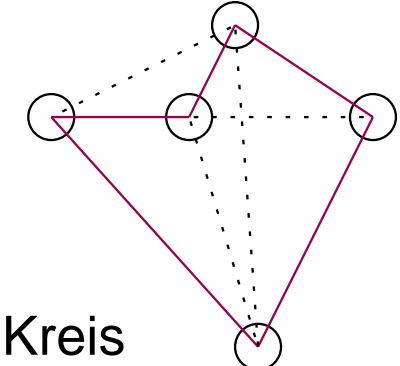
OPT:  $m$

Also ist der Approximationsfaktor  $\geq 2 - 1/m$ .

# Mehr zu Scheduling (siehe Approx-Vorlesung)

- 4/3-Approximation: Sortiere die Jobs nach absteigender Größe.  
Dann List-Scheduling. Zeit  $O(n \log n)$ .
- Schnelle 7/6 Approximation: Rate Makespan (binäre Suche).  
Dann Best Fit Decreasing.
- PTAS ... später ...
- Uniform machines: Maschine  $i$  hat Geschwindigkeit  $v_i$  job  $j$  braucht Zeit  $t_j/v_i$  auf Maschine  $j$ .  $\rightsquigarrow$  relative einfache Verallgemeinerung
- Unrelated Machines Job  $j$  braucht Zeit  $t_{ji}$  auf Maschine  $j$ .  
2-Approximation. Ganz anderer Algorithmus.
- uvam: Andere Zielfunktionen, Reihenfolgebeschränkungen, ...
- z.B. Unser Projekt: Jobs ihrerseits parallel

# Nichtapproximierbarkeit des Handlungsreisendenproblems (TSP)



Gegeben ein Graph  $G = (V, V \times V)$ , finde einen einfachen Kreis  $C = (v_1, v_2, \dots, v_n, v_1)$  so dass  $n = |V|$  und  $\sum_{(u,v) \in C} d(u, v)$  minimiert wird.

**Satz:** Es ist NP-hart das TSP innerhalb irgendeines Faktors  $a$  zu approximieren.

**Beweisansatz:** Es genügt zu zeigen, dass  $\text{HamiltonCycle} \leq_p a\text{-Approximation von TSP}$

# $a$ -Approximation von TSP

**Gegeben:**

Graph  $G = (V, V \times V)$  mit Kantengewichten  $d(u, v)$ ,  
Parameter  $W$ .

Gesucht ist ein Algorithmus, mit folgenden Eigenschaften:

$[G, W]$  wird akzeptiert  $\longrightarrow \exists$  Tour mit Gewicht  $\leq aW$ .

$[G, W]$  wird abgelehnt  $\longrightarrow \nexists$  Tour mit Gewicht  $\leq W$ .

# HamiltonCycle $\leq_p$ $a$ -Approximation von TSP

Sei  $G = (V, E)$  beliebiger ungerichteter Graph.

$$\text{Definiere } d(u, v) = \begin{cases} 1 & \text{falls } (u, v) \in E \\ 1 + an & \text{sonst} \end{cases}$$

Dann und nur dann, wenn  $G$  einen Hamiltonkreis hat gilt

$\exists$  TSP Tour mit Kosten  $n$

(sonst optimale Kosten  $\geq n + an - 1 > an$ )

Entscheidungsalgorithmus für Hamiltonkreis:

Führe  $a$ -approx TSP auf  $[G, n]$  aus.

Wird akzeptiert

→  $\exists$  Tour mit Gewicht  $\leq an$

→  $\exists$  Tour mit Gewicht  $n$  →  $\exists$  Hamiltonpfad

sonst  $\nexists$  Hamiltonpfad

# TSP mit Dreiecksungleichung

$G$  (ungerichtet) erfüllt die **Dreiecksungleichung**

$$\forall u, v, w \in V : d(u, w) \leq d(u, v) + d(v, w)$$

## Metrische Vervollständigung

Betrachte beliebigen ungerichteten Graph  $G = (V, E)$  mit Gewichtsfunktion

$c : E \rightarrow \mathbb{R}_+$ . Definiere

$d(u, v) :=$  Länge des kürzesten Pfades von  $u$  nach  $v$

Beispiel: (ungerichteter) Strassengraph  $\longrightarrow$  Abstandstabelle

# Euler-Touren/-Kreise

Betrachte beliebigen unger. (Multi-)Graph  $G = (V, E)$  mit  $|E| = m$ .

Ein Pfad  $P = \langle e_1, \dots, e_m \rangle$  ist eine **Euler-Tour** falls  $\{e_1, \dots, e_m\} = E$ .  
(Jede **Kante** wird genau einmal besucht)

Satz:  $G$  hat Euler-Kreis gdw.  $\forall v \in V : \text{Grad}(v)$  ist gerade.

Euler-Kreise lassen sich in Zeit  $O(|E| + |V|)$  finden.

# 2-Approximation durch minimalen Spannbaum

## Lemma 24.

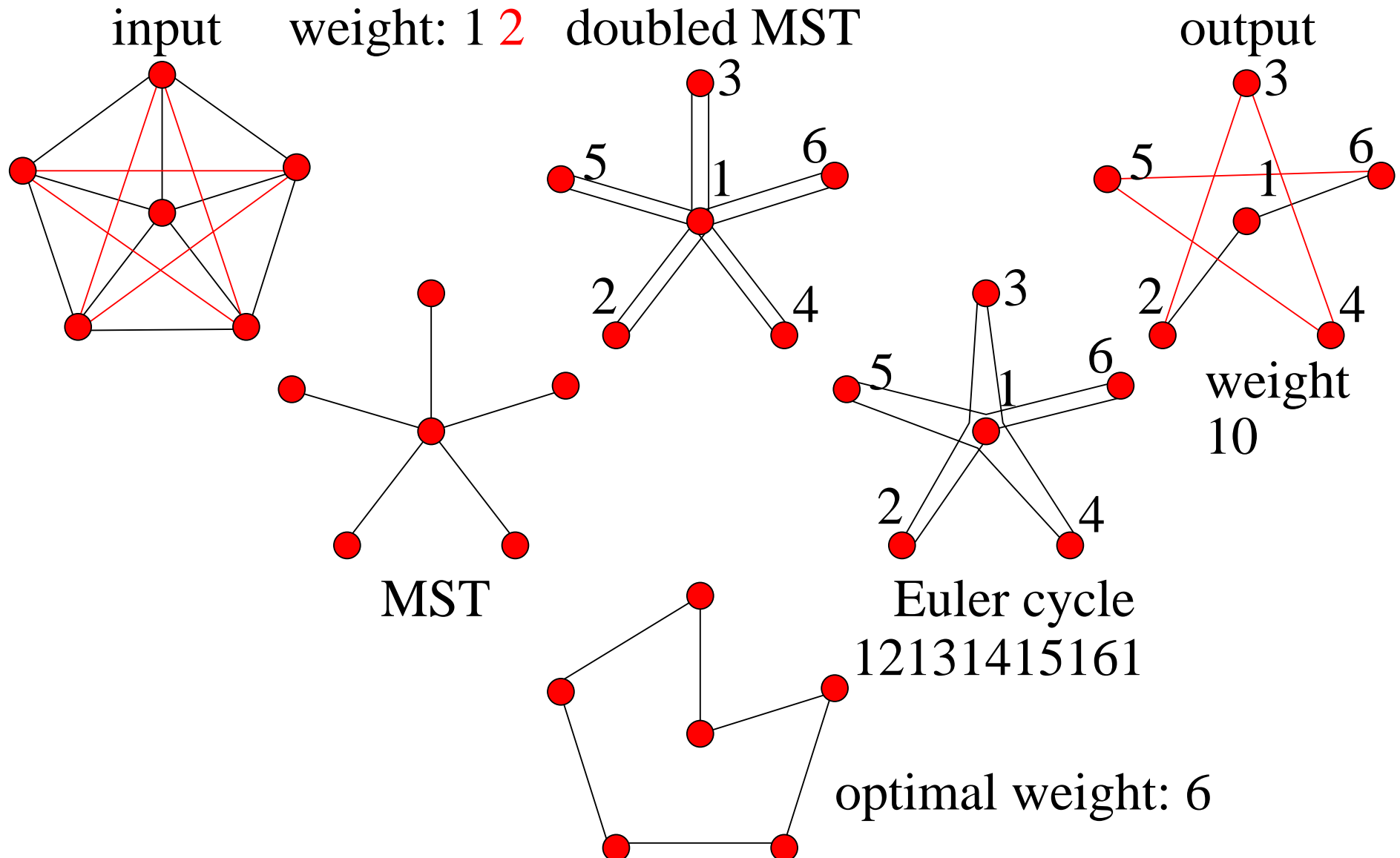
*Gesamtgewicht eines MST  $\leq$*

*Gesamtgewicht jeder TSP-Tour*

Algorithmus:

```
T := MST(G)                                // weight(T) ≤ opt
T' := T with every edge doubled            // weight(T') ≤ 2opt
T'' := EulerKreis(T')                      // weight(T'') ≤ 2opt
output removeDuplicates(T'')                // shortcutting
```

## Beispiel



## Beweis von $\text{Gewicht MST} \leq \text{Gewicht TSP-Tour}$

Sei  $T$  die optimale TSP tour

entferne eine Kante

macht  $T$  leichter

nun ist  $T$  ein Spannbaum

der nicht leichter sein kann als der

MST

■

## Allgemeine Technik: Relaxation

hier: ein TSP-Pfad ist ein Spezialfall eines Spannbaums

# Mehr TSP

- Praktisch bessere 2-Approximationen, z.B. lightest edge first
- Relativ einfache aber unpraktische  $\frac{3}{2}$ -Approximation  
(MST + min. weight perfect matching + Euler-Kreis)
- PTAS for Euclidean TSP
- Versuchskanichen für praktisch jede Optimierungsheuristik
- Optimale Lösungen für praktische Eingaben. Faustregel:  
**Falls es in den Speicher passt, lässt sichs lösen.**  
[<http://www.tsp.gatech.edu/concorde.html>]  
sechsstellige Anzahl Codezeilen.
- TSP-artige Anwendungen sind meist komplizierter

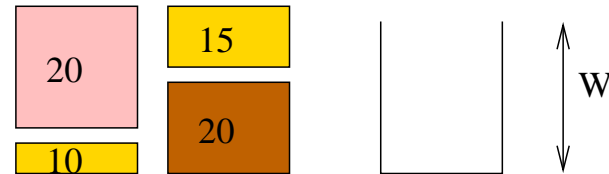
# Pseudopolynomielle Algorithmen

$\mathcal{A}$  ist pseudopolynomieller Algorithmus falls

$$\text{Time}_{\mathcal{A}}(n) \in \mathbf{P}(n)$$

wobei  $n$  die Anzahl Eingabebits ist,  
wenn alle Zahlen unär codiert werden ( $k \equiv 1^k$ ).

# Beispiel Rucksackproblem



- $n$  Gegenstände mit Gewicht  $w_i \in \mathbb{N}$  und profit  $p_i$   
oBdA:  $\forall i \in 1..n : w_i \leq W$
- Wähle eine Teilmenge  $\mathbf{x}$  von Gegenständen
- so dass  $\sum_{i \in \mathbf{x}} w_i \leq W$  und
- maximiere den Profit  $\sum_{i \in \mathbf{x}} p_i$

# Dynamische Programmierung nach Profit

$C(i, P) :=$  kleinste Kapazität für Gegenstände  $1, \dots, i$  die Profit  $\geq P$  ergeben.

**Lemma 25.**

$$\forall 1 \leq i \leq n : C(i, P) = \min(C(i - 1, P), C(i - 1, P - p_i) + w_i)$$

# Dynamische Programmierung nach Profit

Sei  $\hat{P}$  obere Schranke für den Profit (z.B.  $\sum_i p_i$ ).

Zeit:  $O(n\hat{P})$  pseudo-polynomiell

z.B.  $0..n \times 0..\hat{P}$  Tabelle  $C(i, P)$  spaltenweise ausfüllen

Platz:  $\hat{P} + O(n)$  Maschinenworte plus  $\hat{P}n$  bits.

# Fully Polynomial Time Approximation Scheme

Algorithm  $\mathcal{A}$  ist ein

(Fully) Polynomial Time Approximation Scheme

für  $\begin{matrix} \text{minimization} \\ \text{maximization} \end{matrix}$  Problem  $\Pi$  falls:

Eingabe: Instanz  $I$ , Fehlerparameter  $\varepsilon$

Ausgabequalität:  $f(\mathbf{x}) \stackrel{\leq}{\geq} \left( \frac{1+\varepsilon}{1-\varepsilon} \right) \text{opt}$

Zeit: Polynomiell in  $|I|$  (und  $1/\varepsilon$ )

# Beispiele schranken

| PTAS                             | FPTAS                         |
|----------------------------------|-------------------------------|
| $n + 2^{1/\varepsilon}$          | $n^2 + \frac{1}{\varepsilon}$ |
| $n^{\log \frac{1}{\varepsilon}}$ | $n + \frac{1}{\varepsilon^4}$ |
| $n^{\frac{1}{\varepsilon}}$      | $n/\varepsilon$               |
| $n^{42/\varepsilon^3}$           | :                             |
| $n + 2^{2^{1000/\varepsilon}}$   | :                             |
| :                                | :                             |

# FPTAS für Knapsack

```
P:= maxi pi                                // maximaler Einzelprofit
K:= εP/n                                  // Skalierungsfaktor
p'_i:= ⌊ pi / K ⌋                      // skaliere Profite
x':= dynamicProgrammingByProfit(p', w, C)
gib x' aus
```

**Lemma 26.**  $\mathbf{p} \cdot \mathbf{x}' \geq (1 - \varepsilon)\text{opt}$ .

*Beweis.* Betrachte die optimale Lösung  $\mathbf{x}^*$ .

$$\begin{aligned} \mathbf{p} \cdot \mathbf{x}^* - K\mathbf{p}' \cdot \mathbf{x}^* &= \sum_{i \in \mathbf{x}^*} \left( p_i - K \left\lfloor \frac{p_i}{K} \right\rfloor \right) \\ &\leq \sum_{i \in \mathbf{x}^*} \left( p_i - K \left( \frac{p_i}{K} - 1 \right) \right) = |\mathbf{x}^*|K \leq nK, \end{aligned}$$

also,  $K\mathbf{p}' \cdot \mathbf{x}^* \geq \mathbf{p} \cdot \mathbf{x}^* - nK$ . Weiterhin,

$$K\mathbf{p}' \cdot \mathbf{x}^* \leq K\mathbf{p}' \cdot \mathbf{x}' = \sum_{i \in \mathbf{x}'} K \left\lfloor \frac{p_i}{K} \right\rfloor \leq \sum_{i \in \mathbf{x}'} K \frac{p_i}{K} = \mathbf{p} \cdot \mathbf{x}'. \text{ Also,}$$

$$\mathbf{p} \cdot \mathbf{x}' \geq K\mathbf{p}' \cdot \mathbf{x}^* \geq \mathbf{p} \cdot \mathbf{x}^* - nK = \text{opt} - \varepsilon \underbrace{P}_{\leq \text{opt}} \geq (1 - \varepsilon)\text{opt}$$

□

**Lemma 27.** Laufzeit  $O(n^3/\varepsilon)$ .

*Beweis.* Die Laufzeit  $O(n\hat{P}')$  der dynamischen Programmierung dominiert:

$$n\hat{P}' \leq n \cdot (n \cdot \max_{i=1}^n p'_i) = n^2 \left\lfloor \frac{P}{K} \right\rfloor = n^2 \left\lfloor \frac{Pn}{\varepsilon P} \right\rfloor \leq \frac{n^3}{\varepsilon}.$$

□

# Das beste bekannte FPTAS

[Kellerer, Pferschy 04]

$$O\left(\min \left\{ n \log \frac{1}{\varepsilon} + \frac{\log^2 \frac{1}{\varepsilon}}{\varepsilon^3}, \dots \right\} \right)$$

- Weniger buckets  $C_j$  (nichtuniform)
- Ausgefeilte dynamische Programmierung

# Optimale Algorithmen für das Rucksackproblem

Annähernd Linearzeit für fast alle Eingaben! In Theorie und Praxis.

[Beier, Vöcking, An Experimental Study of Random Knapsack Problems, European Symposium on Algorithms, 2004.]

[Kellerer, Pferschy, Pisinger, Knapsack Problems, Springer 2004.]

# 12 Fixed-Parameter-Algorithmen

Praktische Beobachtung: Auch bei NP-harten Problemen können wir u.U. exakte Lösungen finden:

... für **einfache** Instanzen.

Wie charakterisiert man Einfachheit ?

Durch einen weiteren Parameter  $k$  (neben der Eingabegröße)

Beispiel:  $k = \text{Ausgabegröße}$

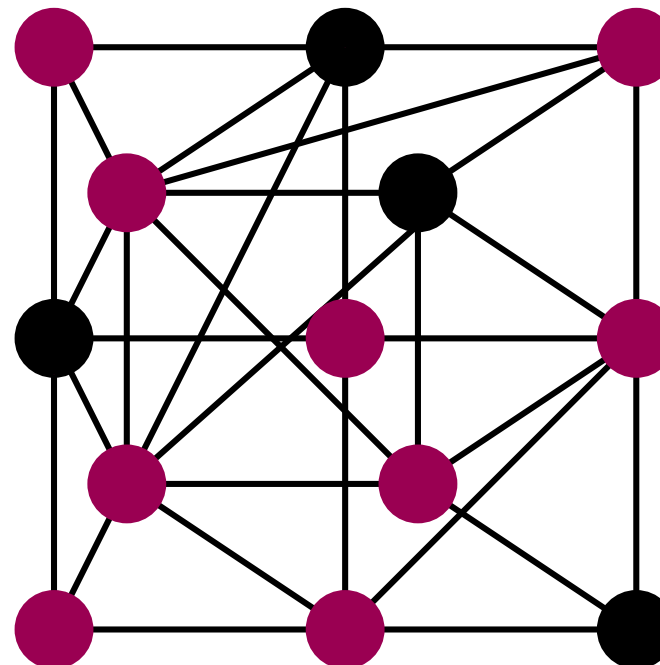
[Niedermeier, Invitation to Fixed Parameter Algorithms, Oxford U. Press, 2006]

# Beispiel: VERTEX COVER (Knotenüberdeckung)

**Gegeben:** ungerichteter Graph  $G = (V, E)$ ,

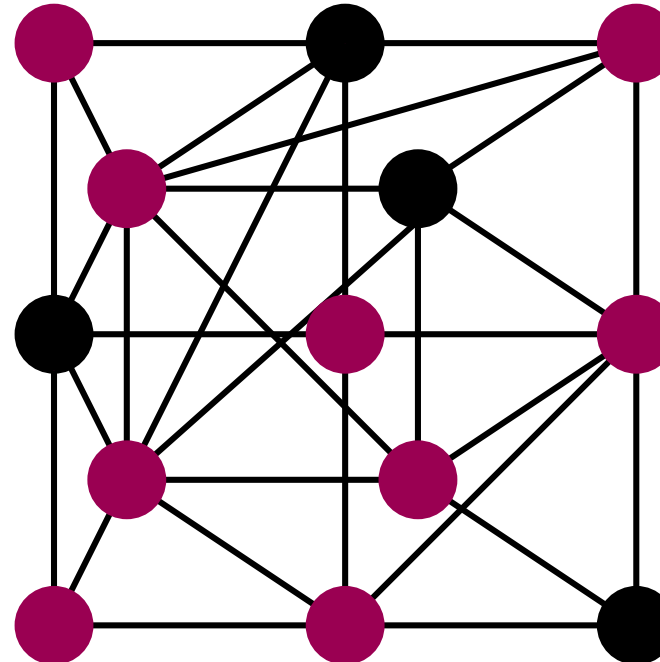
Parameter  $k \in \mathbb{N}$ .

**Frage:**  $\exists V' \subseteq V : |V'| = k \wedge \forall \{u, v\} \in E : u \in V' \vee v \in V'$



# VERTEX COVER Grundlegendes

- Eines der (21) klassischen **NP-harten** Probleme
- Trivialer  $O(n^{k+1})$  Brute-Force-Algorithmus



# Fixed parameter tractable

Eine formale Sprache  $L \in \text{FPT}$  bzgl. Parameter  $k \Leftrightarrow$

$\exists$  Algorithmus mit Laufzeit  $O(f(k) \cdot p(n))$ ,

$f$  berechenbare Funktion, nicht von  $n$  abhängig,

$p$  Polynom, nicht von  $k$  abhängig.

**Beispiele:**  $2^k n^2, k! n^{333}, n + 1 \cdot 1^k$

**Gegenbeispiele:**  $n^k, n^{\log \log k}$

# Parametrisierte Komplexitätstheorie

**Definition:** Parametrisierte Reduktion von  $L$  auf  $L'$ :

$$(\mathcal{I}, k) \rightarrow (f(\mathcal{I}), g(k))$$

- $(f(\mathcal{I}), g(k))$  ist Ja-Instanz für  $L'$  gdw  $(\mathcal{I}, k)$  Ja-Instanz für  $L$
- $f$  hat Laufzeit  $O(h(k) \cdot \text{poly}(n))$  für berechenbare Funktion  $h$

$$\text{FPT} \subseteq W[1] \subseteq W[2] \subseteq \dots \subseteq NP$$

$W[i]$  abgeschlossen bzgl. parametrisierter Reduktion.

~~> Vollständigkeitsbegriff analog NP-Vollständigkeit

**Satz:** Independent Set ist  $W[1]$ -vollständig

**Satz:** Dominating Set ist  $W[2]$ -vollständig

# Beispiel: VERTEX COVER

**Satz:** Vertex Cover ist in FPT bzgl. des Parameters

Ausgabekomplexität

Wir entwickeln Algorithmen mittels zweier auch praktisch wichtiger Entwurfstechniken:

1. **Kernbildung:** (Kernelization) Reduktionsregeln reduzieren Problem auf Größe  $O(f(k))$
2. Systematische Suche mit **beschränkter Tiefe.**

# Naive tiefenbeschränkte Suche

**Function** vertexCover( $G = (V, E)$ ,  $k$ ) : Boolean

**if**  $|E| = 0$  **then return** true

**if**  $k = 0$  **then return** false

    pick any edge  $\{u, v\} \in E$

**return** vertexCover( $G - v, k - 1$ )  $\vee$   
        vertexCover( $G - u, k - 1$ )

Operation  $G - v$  removes node  $v$  and its incident edges

# Naive tiefenbeschränkte Suche – Korrektheit

```
Function vertexCover( $G = (V, E)$ ,  $k$ ) : Boolean
    if  $|E| = 0$  then return true           // triviales Problem
    if  $k = 0$  then return false         // unmögliches Problem
    pick any edge  $\{u, v\} \in E$       //  $u$  oder  $v$  müssen im cover sein !
    //Fallunterscheidung:
    return vertexCover( $G - v, k - 1$ ) ∨      // Fall  $v$  in cover
        vertexCover( $G - u, k - 1$ )           // Fall  $u$  in cover
```

# Naive tiefenbeschränkte Suche – Laufzeit

```
Function vertexCover( $G = (V, E)$ ,  $k$ ) : Boolean
    if  $|E| = 0$  then return true                                // O(1)
    if  $k = 0$  then return false                               // O(1)
    pick any edge  $\{u, v\} \in E$                                 // O(1)
    return vertexCover( $G - v, k - 1$ ) ∨   //  $O(n + m) + T(k - 1)$ 
        vertexCover( $G - u, k - 1$ )                         //  $T(k - 1)$ 
```

Rekursionstiefe  $k \rightsquigarrow O(2^k)$  rekursive Aufrufe also  
**Laufzeit**  $O(2^k(n + m))$ .

**Formaler:** Lösung der **Rekurrenz**  $T(k) = (n + m) + 2T(k - 1)$

# Kernbildung für Vertex Cover

Beobachtung:  $\forall v \in V : \text{degree}(v) > k \implies v \in \text{Lösung} \vee \text{unlösbar}$

**Function** kernelVertexCover( $G = (V, E), k$ ) : Boolean

**while**  $\exists v \in V : \text{degree}(v) > k$  **do**

**if**  $k = 0$  **then return** false

$G := G - v$

$k := k - 1$

    remove isolated nodes

**if**  $|E| > k^2$  **then return** false

**return** vertexCover( $G, k$ )

# Kernbildung für Vertex Cover – Korrektheit

Beobachtung:  $\forall v \in V : \text{degree}(v) > k \implies v \in \text{Lösung} \vee \text{unlösbar}$

```
Function kernelVertexCover( $G = (V, E), k$ ) : Boolean
    while  $\exists v \in V : \text{degree}(v) > k$  do          // siehe Beobachtung
        if  $k = 0$  then return false                  //  $m > k = 0 !$ 
         $G := G - v$                                 //  $v$  muss in die Lösung!
         $k := k - 1$ 
        remove isolated nodes                      // nutzlose Knoten
        if  $|E| > k^2$  then return false      //  $\leq k$  nodes  $\times \leq k$  neighbors
    return vertexCover( $G, k$ )
```

# Kernbildung für Vertex Cover – Laufzeit

```

Function kernelVertexCover( $G = (V, E), k$ ) : Boolean
  while  $\exists v \in V : \text{degree}(v) > k$  do                                //  $\leq k \times$ 
    if  $k = 0$  then return false                                         //  $m \geq k > 0 !$ 
     $G := G - v$  //  $v$  muss in die Lösung!                                //  $O(n)$ 
     $k := k - 1$ 

    remove isolated nodes                                              // nutzlose Knoten
    // Insgesamt  $O(n^2)$ 

    if  $|E| > k^2$  then return false //  $\leq k$  nodes  $\times \leq k$  neighbors
    return vertexCover( $G, k$ )                                     //  $O(2^k k^2)$ 

Insgesamt  $O(nk + 2^k k^2)$                                               Aufgabe:  $O(n + m + 2^k k^2)$ 
  
```

# Kernbildung für Vertex Cover – Beispiel

**Function** kernelVertexCover( $G = (V, E), k$ ) : Boolean

**while**  $\exists v \in V : \text{degree}(v) > k$  **do**

**if**  $k = 0$  **return** false

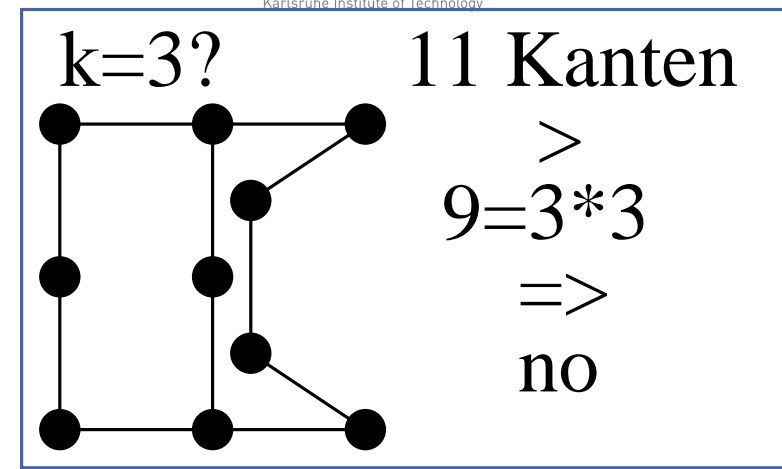
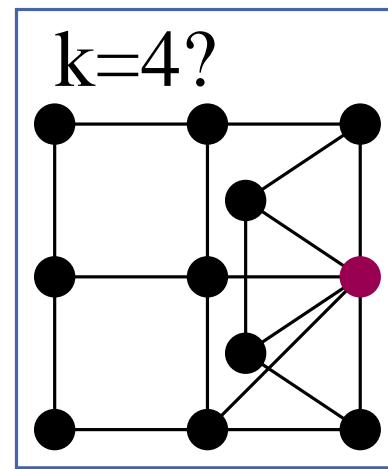
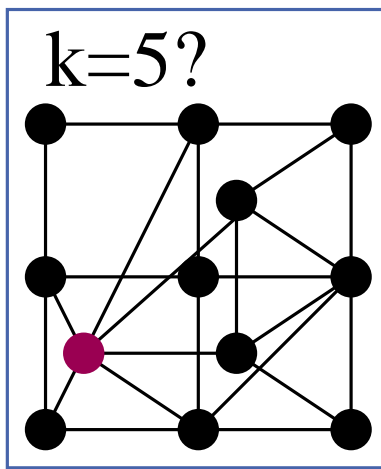
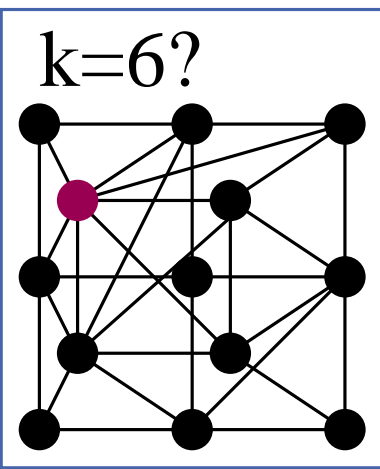
$G := G - v$

$k := k - 1$

    remove isolated nodes

**if**  $|E| > k^2$  **then return** false

**return** vertexCover( $G, k$ )



# Reduktionsregeln

0: nicht im cover

1: OBdA Nachbar im cover

Aufgabe: vertex cover für Bäume?

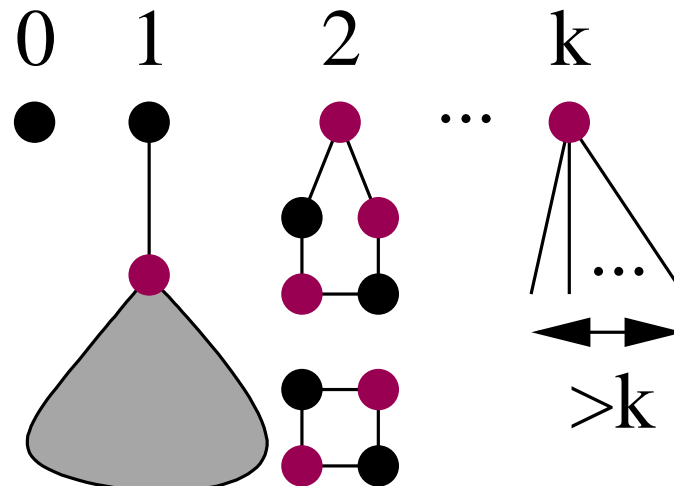
2: geht auch aber komplizierter. Aber,

trivial wenn alle Knoten Grad zwei haben

“Nimm jeden zweiten Knoten”

$> k$ : muss ins cover

Mehr Regeln ?



# Crown Reductions

[Chor Fellows Juedes 2004]

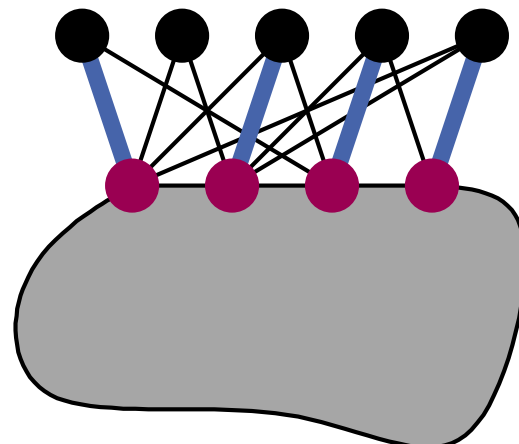
[Linear Kernels in Linear Time, or How to Save  $k$  Colors in  $O(n^2)$  Steps, WG 2004, LNCS 3353]

Sei  $I$  independent set und  $\mathcal{N}(I) = \{v \in V : \exists u \in I : \{u, v\} \in E\}$

die Nachbarschaft von  $I$ . Sei  $M$  ein Matching maximaler Größe im bipartiten Graph  $(I \cup \mathcal{N}(I), \{\{u, v\} : u \in I, v \in \mathcal{N}(I)\})$ .

$|M| = |\mathcal{N}(I)| \Rightarrow \exists$  min. vertex cover, das  $\mathcal{N}(I)$  enthält.

Berechnungsheuristiken mittels max. cardinality matching.



# Verbesserte tiefenbeschränkte Suche

**Function** vertexCover2( $G = (V, E)$ ,  $k$ ) : Boolean

**if**  $|E| = 0$  **then return** true  $\text{// O}(1)$

**if**  $k = 0$  **then return** false  $\text{// O}(1)$

**if**  $\exists v \in V : \text{degree}(v) = 1$  **then**

**return** vertexCover2( $G - \text{neighbor}(v)$ ,  $k - 1$ )

**if**  $\exists v \in V : \text{degree}(v) \geq 3$  **then**

**return** vertexCover2( $G - v$ ,  $k - 1$ )  $\vee$

vertexCover2( $G - \mathcal{N}(v)$ ,  $k - |\mathcal{N}(v)|$ )

**assert** all nodes have degree 2

**return** vertexCoverCollectionOfCycles( $G, k$ )

**Analyse:** Lösung der Rekurrenz

$$T(k) = (n+m) + T(k-1) + T(k-3) = \mathcal{O}((n+m)1.4656^k)$$

$\rightsquigarrow$  benutze erzeugende Funktionen

# Weitere Verbesserungen

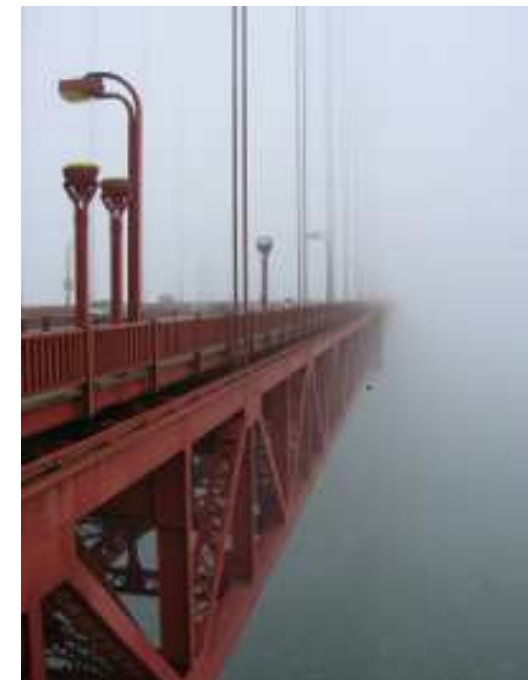
- Kerne der Größe  $2k$  (wieder mittels Matching-Algorithmen)
- Reduziere Zeit pro rekursivem Aufruf auf  $O(1)$
- Detaillierte Fallunterscheidungen  $\rightsquigarrow$   
kleinere Konstante im exponentiellen Teil
$$\rightsquigarrow O\left(1.2738^k + kn\right)$$

[Chen Kanj Xia 2006]

# 13 Onlinealgorithmen

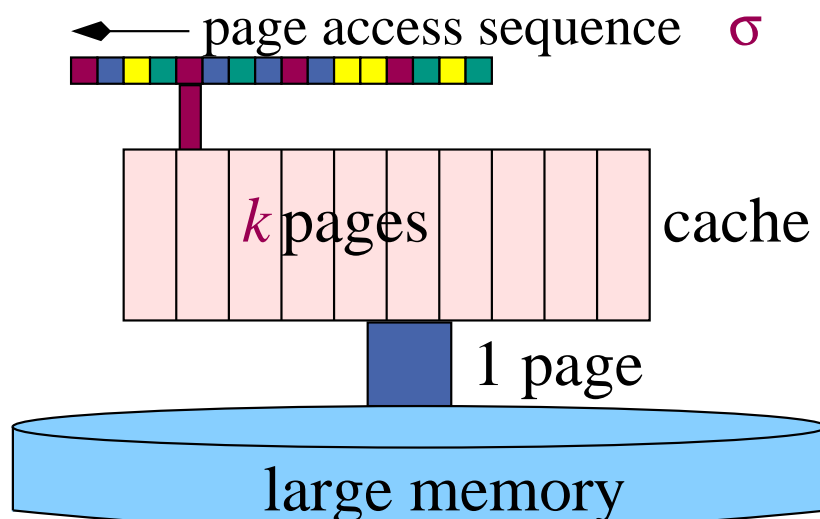
[z.T. von Rob van Stee]

- Information is revealed to the algorithm **in parts**
- Algorithm needs to process each part **before** receiving the next
- There is **no information** about the future  
(in particular, no probabilistic assumptions!)
- How well can an algorithm do  
compared to an algorithm that **knows everything?**
- Lack of **knowledge** vs. lack of processing power



# Examples

- Renting Skis etc.
- Paging in a virtual memory system
- Routing in communication networks
- Scheduling machines in a factory, where orders arrive over time
- Google placing advertisements



# Competitive analysis

- Idea: compare online algorithm ALG to offline algorithm OPT
- Worst-case performance measure
- Definition:

$$C_{ALG} = \sup_{\sigma} \frac{ALG(\sigma)}{OPT(\sigma)}$$

(we look for the input that results in worst **relative** performance)

- Goal:
  - find ALG with **minimal**  $C_{ALG}$

## A typical online problem: ski rental

- Renting skis costs 50 euros, buying them costs 300 euros
- You do not know in advance how often you will go skiing
- Should you rent skis or buy them?



## A typical online problem: ski rental

- Renting skis costs 50 euros, buying them costs 300 euros
- You do not know in advance how often you will go skiing
- Should you rent skis or buy them?
- Suggested algorithm: buy skis on the sixth trip
- Two questions:
  - How good is this algorithm?
  - Can you do better?



# Upper bound for ski rental

- You plan to buy skis on the sixth trip
- If you make five trips or less, you pay optimal cost  
(50 euros per trip)
- If you make at least six trips, you pay 550 euros
- In this case OPT pays at least 300 euros
- Conclusion: algorithm is  $\frac{11}{6}$ -competitive:  
it never pays more than  $\frac{11}{6}$  times the optimal cost

## Lower bound for ski rental

- Suppose you buy skis **earlier**, say on trip  $x < 6$ .

You pay  $300 + 50(x - 1)$ , OPT pays only  $50x$

$$\frac{250 + 50x}{50x} = \frac{5}{x} + 1 \geq 2.$$

- Suppose you buy skis **later**, on trip  $y > 6$ .

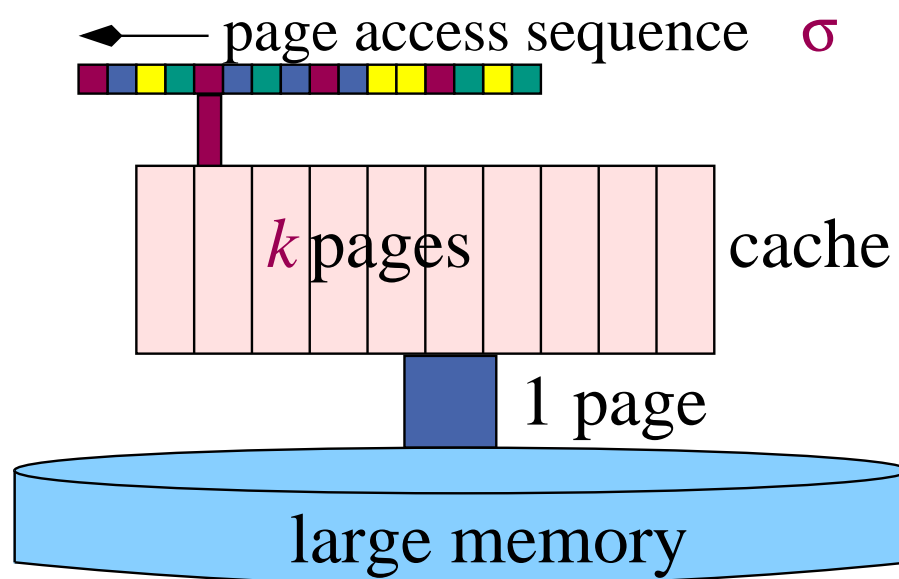
You pay  $300 + 50(y - 1)$ , OPT pays only  $300$

$$\frac{250 + 50y}{300} = \frac{5 + y}{6} \geq 2.$$

- Idea: do not pay the large cost (buy skis) until you would have paid **the same amount** in small costs (rent)

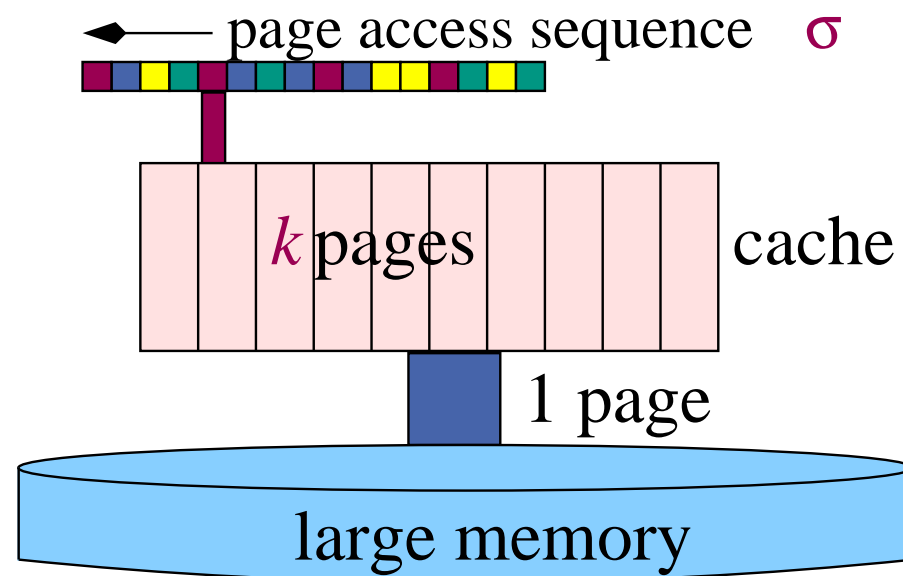
# Paging

- Computers usually have a small amount of fast memory (cache)
- This can be used to store data (pages) that are often used
- Problem when the cache is full and a new page is requested
- Which page should be thrown out (evicted)?



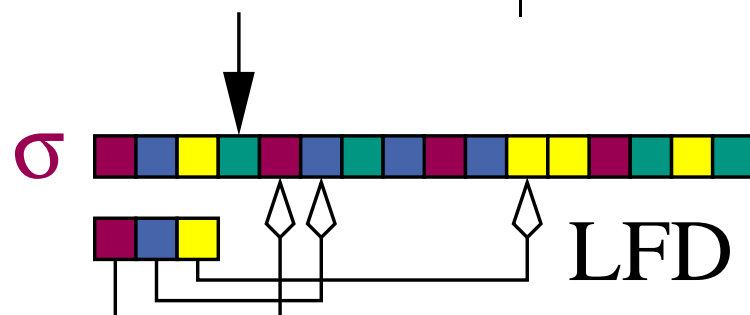
# Definitions

- $k$  = size of cache (number of pages)
- We assume that access to the cache is free, since accessing main memory costs much more
- Thus, a cache hit costs 0 and a miss (fault) costs 1
- The goal is to minimize the number of page faults



# Paging algorithms

| algorithm |                          | which page to evict                |
|-----------|--------------------------|------------------------------------|
| LIFO      | Last In First Out        | newest                             |
| FIFO      | First In First Out       | oldest                             |
| LFU       | Least Frequently used    | requested least often              |
| LRU       | Least Recently Used      | requested least recently           |
| FWF       | Flush When Full          | all                                |
| LFD       | Longest Forward Distance | (re)requested latest in the future |

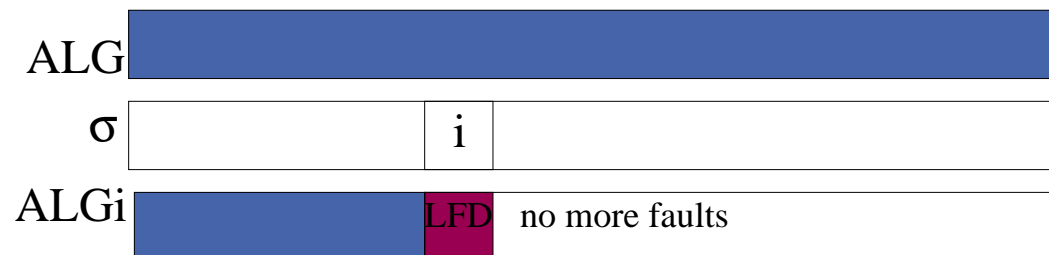


# Longest Forward Distance is optimal

We show: any optimal offline algorithm can be changed to act like LFD without increasing the number of page faults.

Inductive claim: given an algorithm ALG, we can create  $\text{ALG}_i$  such that

- ALG and  $\text{ALG}_i$  act identically on the first  $i - 1$  requests
- If request  $i$  causes a fault (for both algorithms),  
 $\text{ALG}_i$  evicts page with longest forward distance
- $\text{ALG}_i(\sigma) \leq \text{ALG}(\sigma)$



# Using the claim

- Start with a given request sequence  $\sigma$  and an optimal offline algorithm ALG
- Use the claim for  $i = 1$  on ALG to get  $\text{ALG}_1$ , which evicts the LFD page on the first request (if needed)
- Use the claim for  $i = 2$  on  $\text{ALG}_1$  to get  $\text{ALG}_2$



# Proof of the claim

not this time

# Comparison of algorithms

- OPT is not online, since it looks forward
- Which is the best online algorithm?
- LIFO is **not** competitive: consider an input sequence

$$p_1, p_2, \dots, p_{k-1}, \textcolor{violet}{p_k}, p_{k+1}, p_k, p_{k+1}, \dots$$

- LFU is also **not** competitive: consider

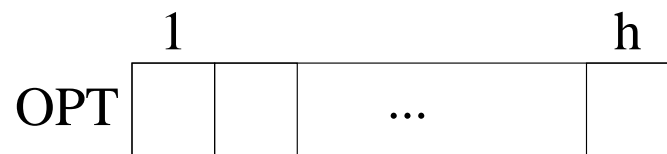
$$p_1^m, p_2^m, \dots, p_{k-1}^m, (\textcolor{violet}{p_k}, p_{k+1})^{m-1}$$

# A general lower bound

- To illustrate the problem, we show a lower bound for **any** online paging algorithm ALG
- There are  $k + 1$  pages
- At all times, ALG has  $k$  pages in its cache
- There is always one page missing: request this page at each step
- OPT only faults **once every  $k$  steps**  
⇒ **lower bound of  $k$**  on the competitive ratio

# Resource augmentation

- We will compare an online algorithm ALG to an optimal offline algorithm which has a smaller cache
- We hope to get more realistic results in this way
- Size of offline cache =  $h < k$
- This problem is known as  $(h, k)$ -paging



# Conservative algorithms

- An algorithm is **conservative** if it has at most  $k$  page faults on any request sequence that contains at most  $k$  distinct pages
- The request sequence may be **arbitrarily long**
- LRU and FIFO are conservative
- LFU and LIFO are **not** conservative (recall that they are not competitive)

# Competitive ratio

**Theorem:** Any conservative algorithm is  $\frac{k}{k-h+1}$ -competitive

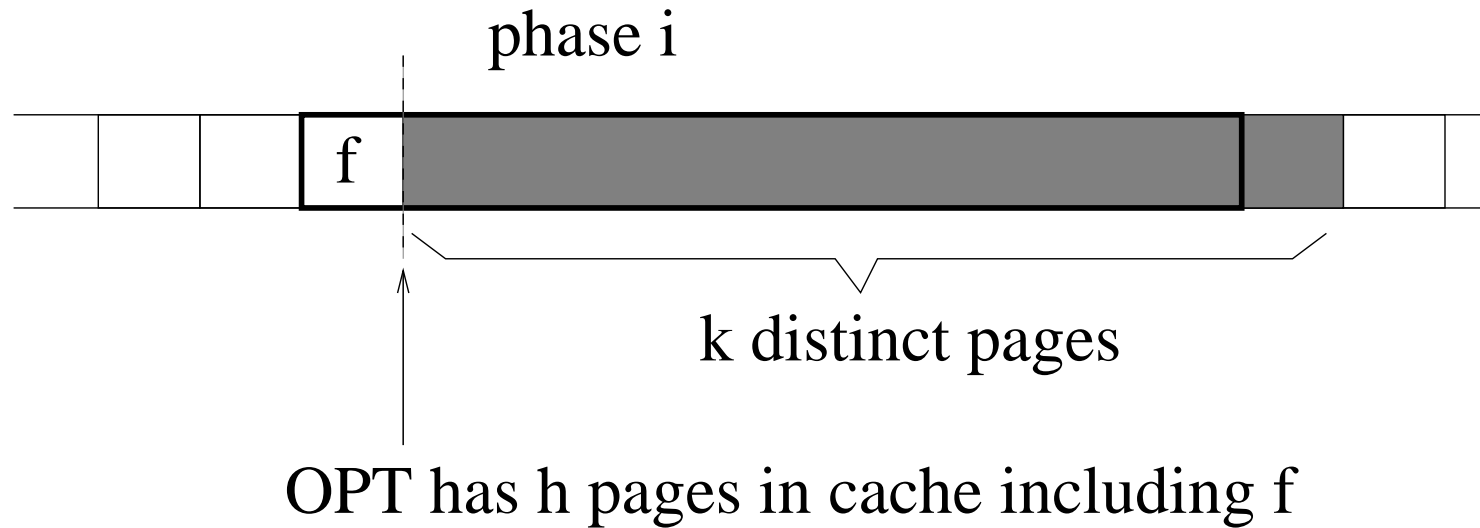
**Proof:** divide request sequence  $\sigma$  into **phases**.

- Phase 0 is the empty sequence
- Phase  $i > 0$  is the maximal sequence following phase  $i - 1$  that contains at most  $k$  distinct pages

Phase partitioning **does not depend on algorithm**. A conservative algorithm has at most  $k$  faults per phase.

## Counting the faults of OPT

Consider some phase  $i > 0$ , denote its first request by  $f$



Thus OPT has at least  $k - (h - 1) = k - h + 1$  faults on the grey requests

# Conclusion

- In each phase, a conservative algorithm has  $k$  faults
- To each phase except the last one, we can assign (charge)  
 $k - h + 1$  faults of OPT
- Thus

$$\text{ALG}(\sigma) \leq \frac{k}{k - h + 1} \cdot \text{OPT}(\sigma) + r$$

where  $r \leq k$  is the number of page faults of ALG in the last phase

- This proves the theorem

# Notes

- For  $h = k/2$ , we find that conservative algorithms are 2-competitive
- The previous lower bound construction does not work for  $h < k$
- In practice, the “competitive ratio” of LRU is a small constant
- Resource augmentation can give better (more realistic) results than pure competitive analysis

## New results (Panagiotou & Souza, STOC 2006)

- Restrict the adversary to get more “natural” input sequences
- Locality of reference**: most consecutive requests to pages have short distance
- Typical memory access patterns**: consecutive requests have either short or long distance compared to the cache size

## Randomized algorithms

- Another way to avoid the lower bound of  $k$  for paging is to use a **randomized algorithm**
- Such an algorithm is allowed to use random bits in its decision making
- Crucial is **what the adversary knows** about these random bits

## Three types of adversaries

- **Oblivious**: knows only the probability distribution that ALG uses,  
determines input in advance
- **Adaptive online**: knows random choices made so far, bases input  
on these choices
- **Adaptive offline**: knows random choices in advance (!)

Randomization **does not help** against adaptive offline adversary

We focus on the **oblivious** adversary

# Marking Algorithm

- marks pages which are requested
- never evicts a marked page
- When all pages are marked and there is a fault, unmark everything  
(but mark the page which caused the fault)  
(new phase)

# Marking Algorithms

Only difference is eviction strategy

- LRU
- FWF
- RMARK: Evict an unmarked page chosen uniformly at random

# Competitive ratio of RMARK

**Theorem:** RMARK is  $2H_k$ -competitive

where

$$H_k = 1 + \frac{1}{2} + \frac{1}{3} + \cdots + \frac{1}{k} \leq \ln k + 1$$

is the  $k$ -the harmonic number

# Analysis of RMARK

Consider a phase with  $m$  new pages  
(that are not cached in the beginning of the phase)

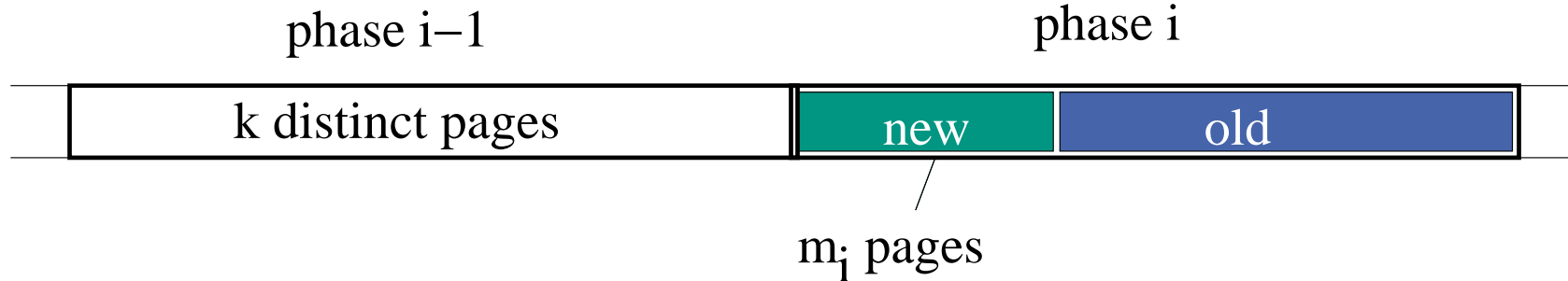
Miss probability when  $j + 1$ st old page becomes marked

$$1 - \frac{\# \text{ old unmarked cached pages}}{\# \text{ old unmarked pages}} \leq 1 - \frac{k-m-j}{k-j} = \frac{m}{k-j}$$

Overall expected number of faults (including new pages):

$$m + \sum_{j=0}^{k-m-1} \frac{m}{k-j} = m + m \sum_{i=m+1}^k \frac{1}{i} = m(1 + H_k - H_m) \leq mH_k$$

# Lower bound for OPT



- There are  $m_i$  new pages in phase  $i$
- Thus, in phases  $i - 1$  and  $i$  together,  $k + m_i$  pages are requested
- OPT makes at least  $m_i$  faults in phases  $i$  and  $i - 1$  **for any  $i$**
- Total number of OPT faults is at least  $\frac{1}{2} \sum_i m_i$

# Upper bound for RMARK

- Expected number of faults in phase  $i$  is at most  $m_i H_k$  for RMARK
- Total expected number of faults is at most  $H_k \sum_i m_i$
- OPT has at least  $\frac{1}{2} \sum_i m_i$  faults
- Conclusion: RMARK is  $2H_k$ -competitive

# Randomized lower bound

**Theorem:** No randomized can be better than  $H_k$ -competitive against an oblivious adversary.

**Proof:** not here

# Discussion

- $H_k \ll k$
- The upper bound for RMARK holds against an oblivious adversary  
(the input sequence is **fixed in advance**)
- No algorithm can be better than  $H_k$ -competitive
- Thus, RMARK is optimal apart from a factor of 2
- There is a (more complicated) algorithm that is  $H_k$  competitive
- Open question (?): competitiveness of RMARK with ressource augmentation?

## Why competitive analysis?

There are many models for “decision making in the absence of complete information”

- Competitive analysis leads to algorithms that would not otherwise be considered
- Probability distributions are rarely known precisely
- Assumptions about distributions must often be unrealistically crude to allow for mathematical tractability
- Competitive analysis gives a **guarantee** on the performance of an algorithm, which is essential in e.g. financial planning

# Disadvantages of competitive analysis

- Results can be too pessimistic (adversary is too powerful)
  - Resource augmentation
  - Randomization
  - Restrictions on the input
- Unable to distinguish between some algorithms that perform differently in practice
  - Paging: LRU and FIFO
  - more refined models